

# برقی آلات

خالد خان یوسفزئی

کامپیٹ انسٹیٹیوٹ آف انفارمیشن ٹیکنالوجی، اسلام آباد

email: [khalidyousafzai@comsats.edu.pk](mailto:khalidyousafzai@comsats.edu.pk)

## دیباچہ

گزشتہ چند برسوں سے حکومتِ پاکستان اعلیٰ تعلیم کی طرف توجہ دے رہی ہے جس سے ملک کی تاریخ میں پہلی مرتبہ اعلیٰ تعلیمی اداروں میں تحقیق کا رجحان پیدا ہوا ہے۔ امید کی جاتی ہے کہ یہ سلسلہ جاری رہے گا۔

پاکستان میں اعلیٰ تعلیم کا نظام انگریزی زبان میں رائج ہے۔ دنیا میں تحقیقی کام کا بیشتر حصہ انگریزی زبان میں ہی چھپتا ہے۔ انگریزی زبان میں ہر موضوع پر لاتعداد کتابیں پائی جاتی ہیں جن سے طلبہ و طالبات استفادہ حاصل کر سکتے ہیں۔

ہمارے ملک میں طلبہ و طالبات کی ایک بہت بڑی تعداد بنیادی تعلیم اردو زبان میں حاصل کرتی ہے۔ ان کے لئے انگریزی زبان میں موجود مواد سے استفادہ حاصل کرنا تو ایک طرف، انگریزی زبان از خود ایک رکاوٹ کے طور پر ان کے سامنے آتی ہے۔ یہ طلبہ و طالبات ذہین ہونے کے باوجود آگے بڑھنے اور قوم و ملک کی بھرپور خدمت کرنے کے قابل نہیں رہتے۔ ایسے طلبہ و طالبات کو اردو زبان میں نصاب کی اچھی کتابیں درکار ہیں۔ ہم نے قومی سطح پر ایسا کرنے کی کوئی خاطر خواہ کوشش نہیں کی۔

میں برسوں تک اس صورت حال کی وجہ سے پریشانی کا شکار رہا۔ کچھ کرنے کی نیت رکھنے کے باوجود کچھ نہ کر سکتا تھا۔ میرے لئے اردو میں ایک صفہ بھی لکھنا ناممکن تھا۔ آخر کار ایک دن میں نے اپنی اس کمزوری کو کتاب نہ لکھنے کا جواز بنانے سے انکار کر دیا اور یوں یہ کتاب وجود میں آئی۔

یہ کتاب اردو زبان میں تعلیم حاصل کرنے والے طلبہ و طالبات کے لئے

نہایت آسان اردو میں لکھی گئی ہے۔ کوشش کی گئی ہے کہ اسکول کی سطح پر نصاب میں استعمال تکنیکی الفاظ ہی استعمال کئے جائیں۔ جہاں ایسے الفاظ موجود نہ تھے وہاں روز مرہ میں استعمال ہونے والے الفاظ چنے گئے۔ تکنیکی الفاظ کی چنائی کے وقت اس بات کا دبان رکھا گیا کہ ان کا استعمال دیگر مضامین میں بھی ممکن ہو۔

کتاب میں بین الاقوامی نظام اکائی استعمال کی گئی ہے۔ اہم متغیرات کی علامتیں وہی رکھی گئی ہیں جو موجودہ نظام تعلیم کی نصابی کتابوں میں رائج ہیں۔ یوں اردو میں لکھی اس کتاب اور انگریزی میں اسی مضمون پر لکھی کتاب پڑھنے والے طلبہ و طالبات کو ساتھ کام کرنے میں دشواری نہیں ہوگی۔

امید کی جاتی ہے کہ یہ کتاب ایک دن خالصتاً اردو زبان میں انجینئرنگ کی نصابی کتاب کے طور پر استعمال کی جائے گی۔ اردو زبان میں الیکٹریکل انجینئرنگ کی مکمل نصاب کی طرف یہ پہلا قدم ہے۔

اس کتاب کے پڑھنے والوں سے گزارش کی جاتی ہے کہ اسے زیادہ سے زیادہ طلبہ و طالبات تک پہنچانے میں مدد دیں اور انہیں جہاں اس کتاب میں غلطی نظر آئے وہ اس کی نشاندہی میری ای۔میل پر کریں۔ میں ان کا نہایت شکر گزار ہوں گا۔

اس کتاب میں تمام غلطیاں مجھ سے ہی ڈلی ہیں البتہ اسے درست بنانے میں بہت لوگوں کا ہاتھ ہے۔ میں ان سب کا شکریہ ادا کرتا ہوں۔ یہ سلسلہ ابھی جاری ہے اور مکمل ہونے پر ان حضرات کے تاثرات یہاں شامل کئے جائیں گے۔

میں یہاں کامیٹی یونیورسٹی اور ہائر ایجوکیشن کمیشن کا شکریہ ادا کرنا چاہتا ہوں جن کی وجہ سے ایسی سرگرمیاں ممکن ہوئیں۔

خالد خان یوسفزئی

28 اکتوبر 2011

## فہرست عنوان

10	1	بنیادی حقائق
10	1.1	بنیادی اکائیاں
10	1.2	مقداری
11	1.3	سمتیہ
12	1.4	محدد ، خط مرتب
21	1.5	سمتیہ رقبہ
24	1.6	رقبہ عمودی تراش
27	1.7	برقی میدان اور مقناطیسی میدان
30	1.8	سطحی اور حجمی کثافت
34	1.9	ضربِ صلیبی اور ضربِ نقطہ
42	1.10	تفرق اور جزوی تفرق
43	1.11	خطی تکمل
45	1.12	سطحی تکمل
48	1.13	فوریر تسلسل
48	1.14	دوری سمتیہ

## 2 مقناطیسی دور 54

- 54 2.1 مزاحمت اور ہچکچاہٹ
- 57 2.2 کثافتِ برقی رو اور برقی میدان کی شدت
- 60 2.3 برقی دور
- 62 2.4 مقناطیسی دور حصہ اول
- 65 2.5 کثافتِ مقناطیسی بہاؤ اور مقناطیسی میدان کی شدت
- 71 2.6 مقناطیسی دور حصہ دوم
- 79 2.7 خود امالہ ، مشترکہ امالہ اور توانائی
- 91 2.8 مقناطیسی مادہ کے خصوصیات
- 101 2.9 ہیجان شدہ لچھا

## 3 ٹرانسفارمر 112

- 114 3.1 ٹرانسفارمر کی اہمیت
- 119 3.2 ٹرانسفارمر کی اقسام
- 120 3.3 امالی برقی دباؤ
- 124 3.4 ہیجان انگیز برقی رو اور مرکزی ضیاع
- 130 3.5 تبادلہ برقی دباؤ اور تبادلہ برقی رو کے خصوصیات
- 140 3.6 ثانوی جانب بار کا ابتدائی جانب اثر
- 142 3.7 مقاومت کا تبادلہ
- 152 3.8 ٹرانسفارمر کے وولٹ-ایمپیئر
- 156 3.9 ٹرانسفارمر کے امالہ اور اس کے مساوی دور

- 172 3.10 کھلے دور معائنہ اور کسر دور معائنہ  
184 3.11 تین دور کے ٹرانسفارمر  
198 3.12 ٹرانسفارمر چالو کرتے لمحہ زیادہ محرکی برقی رو کا گزرنا

#### 4 برقی اور میکانی توانائی کا باہمی تبادلہ 201

- 201 4.1 مقناطیسی نظام میں قوت اور مروڑ  
212 4.2 تبادلہ توانائی والا ایک لچھے کا نظام  
221 4.3 توانائی اور کو-توانائی  
231 4.4 زیادہ لچھوں کا مقناطیسی نظام

#### 5 گھومتے مشین کے بنیادی اصول 245

- 245 5.1 قانونِ فیراڈے  
246 5.2 معاصر مشین  
264 5.3 محرک برقی دباؤ  
270 5.4 پھیلے لچھے اور سائن نما مقناطیسی دباؤ  
287 5.5 مقناطیسی دباؤ کی گھومتی موجیں  
306 5.6 محرک برقی دباؤ  
317 5.7 بھوار قطب کے آلوں میں مروڑ

#### 6 یکساں حال چالو معاصر آلے 333

334	6.1	ایک سے زیادہ دور کے معاصر مشین کا تعارف
339	6.2	معاصر مشین کے امالہ
349	6.3	معاصر مشین کا مساوی دور
354	6.4	برقی طاقت کی منتقلی
363	6.5	یکساں حال چالو مشین کے خصوصیات
369	6.6	کھلے دور اور کسر دور معائنہ

## 7 امالی مشین 389

390	7.1	ساکن چھو کی گھومتی مقناطیسی موج
391	7.2	مشین کی سرک اور گھومتی موجوں پر تبصرہ
395	7.3	ساکن چھو میں امالی برقی دباؤ
	7.4	ساکن چھو کی موج کا گھومتے چھو کے ساتھ
397		اضافی رفتار اور ان میں پیدا امالی برقی دباؤ
403	7.5	گھومتے چھو کی گھومتی مقناطیسی دباؤ کی موج
405	7.6	گھومتے چھو کے مساوی فرضی ساکن چھو
408	7.7	امالی موثر کا مساوی برقی دور
417	7.8	مساوی برقی دور پر غور
425	7.9	امالی موثر کا مساوی تھونن دور
438	7.10	پنجرا نما امالی موثر
439	7.11	بے بار موثر اور رکے موثر کے معائنہ



## 8 یک سمتی رو مشین 454

- 454 8.1 آلہ تبدیل کی بنیادی کارکردگی
- 464 8.2 یک سمتی جنریٹر کی برقی دباؤ
- 468 8.3 مروڑ
- 470 8.4 خارجی ہیجان شدہ اور داخلی ہیجان شدہ یک سمتی جنریٹر
- 478 8.5 یک سمتی آلوں کی کارکردگی کے خط

## 1 بنیادی حقائق

اس کتاب میں جگہ جگہ مختلف حقائق آڈی گئے جنہیں اس باب میں اکٹھے کرنے کی کوشش کی گئی ہے۔ یہ توقع کی جاتی ہے کہ یوں کتاب پڑھتے وقت اصل مضمون پر توجہ رکھنا زیادہ آسان ہوگا۔

### 1.1 بنیادی اکائیاں

اس کتاب میں بین الاقوامی نظام اکائی<sup>1</sup> استعمال کیا جائے گا۔ اس نظام میں کمیت<sup>2</sup> کی اکائی کلوگرام، لمبائی کی اکائی میٹر اور وقت کی اکائی سیکنڈ ہے۔

### 1.2 مقداری<sup>3</sup>

وہ متغیر جس کی مقدار معین ہو اسے مقداری کہتے ہیں۔ اس کتاب میں مقداری متغیر کو سادہ طرز کی لکھائی میں انگریزی یا لاطینی زبان کے چھوٹے حروف یعنی  $a, b, \alpha, \dots$  یا بڑے حروف یعنی  $A, B, \Psi, \dots$  سے ظاہر کیا جائے گا، مثلاً برقی رو کو  $i$  یا  $I$  سے ظاہر کیا جاتا ہے۔

---

1 International System Of Units (SI)

2 mass

3 scalar

### 1.3 سمتیہ<sup>4</sup>

وہ خط جس کا طول اور سمت معین ہو، اسے سمتیہ کہتے ہیں۔ سمتیہ کو انگریزی یا لاطینی زبان کے چھوٹے یا بڑے حروف، جن کو موٹے طرز کی لکھائی میں لکھا گیا ہو، سے ظاہر کیا جائے گا، مثلاً قوت کو  $F$  سے ظاہر کیا جائے گا۔ یہاں شکل 1.1 سے رجوع کرنا بہتر ہے۔ ایک ایسا سمتیہ جس کا طول ایک ہو، کو اکائی سمتیہ کہتے ہیں۔ اس کتاب میں اکائی سمتیہ کو انگریزی کے پہلے حرف جس کو موٹے طرز کی لکھائی میں لکھا گیا ہو اور جس پر ٹوپی کا نشان ہو سے ظاہر کیا جائے گا، مثلاً اکائی سمتیہ  $\hat{a}_x, \hat{a}_y, \hat{a}_z$  خلاء کی تین عمودی سمتوں کو ظاہر کرتے ہیں۔  $\hat{a}_x$  میں، چھوٹی لکھائی میں،  $x$  اس بات کی نشان دہی کرتا ہے کہ یہ سمتیہ خلاء کی  $x$  سمت کو ظاہر کرتا ہے۔ اگر کسی سمتیہ کا طول اور اس کی سمت کو علیحدہ علیحدہ لکھنا ہو تو اس کے طول کو ظاہر کرنے کے لئے سادہ طرز کی لکھائی میں وہی حرف استعمال کیا جائے گا جو اس سمتیہ کو ظاہر کرنے کے لئے، موٹے طرز کی لکھائی میں، استعمال کیا گیا ہو۔ یعنی سمتیہ  $F$  کا طول کو  $F$  سے ظاہر کیا جائے گا۔ شکل میں سمتیہ  $F$  کا طول  $F$ ، چار کے برابر ہے۔ اگر کسی سمتیہ کی سمت میں ایک اکائی سمتیہ بنایا جائے تو یہ اکائی سمتیہ اس سمتیہ کی سمت کو ظاہر کرتا ہے۔ جیسے پہلے ذکر ہوا ہے ایسے اکائی سمتیہ کو انگریزی کے پہلے حرف، جس کو موٹے طرز کی لکھائی میں لکھا گیا ہو اور جس پر ٹوپی کا نشان ہو، سے ظاہر کیا جائے گا یعنی سمتیہ  $F$  کی سمت کو  $\hat{a}_F$  سے ظاہر کیا جائے گا۔ یہاں، چھوٹی لکھائی میں،  $F$  اس بات کی یاد دہانی کراتا ہے کہ یہ اکائی سمتیہ  $F$  کی سمت کو ظاہر کر رہا ہے۔ شکل میں چونکہ قوت  $F$  دائیں جانب کو ہے لہذا  $\hat{a}_F$  اور  $\hat{a}_y$  برابر ہیں۔

## 1.4 محدد<sup>5</sup>، خط مرتب

ایک ایسا طریقہ جس کے ذریعہ کسی نقطہ کا مقام متعین کیا جا سکے کو خط مرتب یا محدد کہتے ہیں۔

خلاء تین طرفہ<sup>6</sup> ہے۔ لہذا اس میں کسی ایک نقطہ کے مقام کو تین محدد کی مدد سے ظاہر کیا جا سکتا ہے۔ مزید یہ کہ خلاء میں کسی سمتیہ کو تین عمودی اکائی سمتیوں کی مدد سے لکھا جا سکتا ہے۔ اب ہم ایسے چند محدد کے نظام دیکھتے ہیں۔

### 1.4.1 کارتیسی محدد کا نظام<sup>7</sup>

شکل 1.1 میں خلاء کی سمتیں تین اکائی سمتیہ  $\hat{a}_x, \hat{a}_y, \hat{a}_z$  سے ظاہر کی گئی ہیں۔ یہ تینوں آپس میں عمودی ہیں جس کا مطلب ہے کہ ان میں سے ہر دو کا آپس میں  $90^\circ$  کا زاویہ ہے۔ ایسے تین سمتیوں کو عمودی اکائی سمتیہ<sup>8</sup> کہتے ہیں۔ ان سمتوں کی جانب، طول کو  $x, y, z$  سے ظاہر کیا جاتا ہے۔ آپ ان سے بخوبی واقف ہیں۔

اگر دائیں ہاتھ کی چار انگلیوں کو  $\hat{a}_x$  کی جانب رکھ کر انہی  $\hat{a}_y$  کی جانب موڑا جائے تو اس ہاتھ کا انگوٹھا  $\hat{a}_z$  کی سمت کو ظاہر کرے گا۔ لہذا،

---

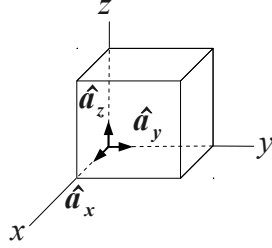
5 co-ordinates

6 three dimensional

7 Cartesian co-coordinate system

8 unit perpendicular vectors or orthonormal vectors

خلاء کا یہ تین اکائی سمتوں والا نظام ایک دائیں ہاتھ کا نظام<sup>9</sup> ہے۔



دائیں جانب کی سمت میں  
چار نیوٹن کی قوت  $F$

$$\begin{aligned} \vec{F} &= 4 \\ \hat{a}_F &= \hat{a}_y \\ F &= F \hat{a}_F = 4 \hat{a}_y \end{aligned}$$

شکل 1.1: کارتیسی محدود

شکل 1.2 میں ایک سمتیہ  $A$ ، مرکز سے نقطہ  $P(x, y, z)$  تک بنایا گیا ہے۔ اس سمتیہ کو ہم کارتیسی نظام محدود میں تین سمتیہ سے یوں ظاہر کر سکتے ہیں۔

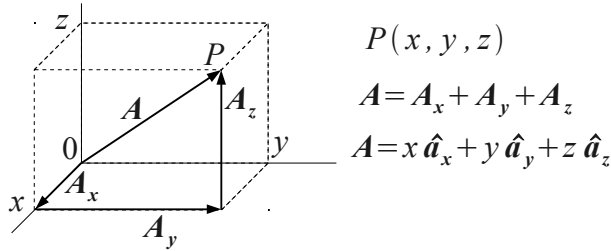
$$A = A_x + A_y + A_z \quad (1.1)$$

یا

---

<sup>9</sup> right handed cartesian co-ordinate system

$$A = x \hat{a}_x + y \hat{a}_y + z \hat{a}_z \quad (1.2)$$



شکل 1.2: کارتیسی محدود نظام میں ایک سمتیہ

کارتیسی محدود کے نظام میں اگر ہم متغیر  $z$  کو صفر رکھیں اور  $x, y$  کو تبدیل کریں تو ہمیں  $x-y$  سطح ملتی ہے۔ اس طرح اگر شکل 1.2 میں نقطہ  $P(2, 4, 3)$  ہو اور  $x-y$  سطح کو زمینی سمجھا جائے تو شکل میں ڈبہ کے بالائی سطح پر  $z$  کی مقدار معینی ہے یعنی  $z=3$  جبکہ  $x$  صفر سے تین کے درمیان تبدیل اور  $y$  صفر سے چار کے درمیان تبدیل ہوتا ہے۔ یعنی اس ڈبہ کے بالائی سطح کو یوں لکھا جا سکتا ہے۔

$$\text{ڈبہ کا بالائی سطح} = \begin{cases} 0 < x < 2 \\ 0 < y < 4 \\ z = 3 \end{cases} \quad (1.3)$$

اسی طرح اگر  $z$  کو صفر اور تین کے درمیان ہر ممکن قیمت پر رکھ کر  $x$  اور  $y$  کو اسی طرح ان حدود کے درمیان تبدیل کیا جائے تو بھی اس ڈبہ کا پورا حجم حاصل ہوگا۔ لہذا اس ڈبہ کے حجم کو ہم یوں لکھ سکتے ہیں۔

$$\text{ڈبہ کا حجم} = \begin{cases} 0 < x < 2 \\ 0 < y < 4 \\ 0 < z < 3 \end{cases} \quad (1.4)$$

#### 1.4.2 نلکی محدود کا نظام<sup>10</sup>

شکل 1.3 میں ایک سمتیہ  $A$  مرکز سے نقطہ  $P(x, y, z)$  تک بنایا گیا ہے۔ اس سمتیہ کو شکل میں دو سمتیوں کی مدد سے ظاہر کیا گیا ہے۔  
یعنی

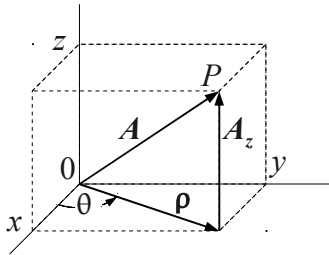
---

<sup>10</sup> cylindrical co-ordinate system

$$\mathbf{A} = \rho + A_z \hat{z} \quad (1.5)$$

یا

$$\mathbf{A} = \rho \hat{a}_\rho + z \hat{a}_z \quad (1.6)$$



$$P(x, y, z) = P(\rho, \theta, z)$$

$$\mathbf{A} = \rho + A_z \hat{z}$$

$$\mathbf{A} = \rho \hat{a}_\rho + z \hat{a}_z$$

شکل 1.3: نلکی محدد

سمتیہ  $\rho$  سطح  $x-y$  پر ہے۔ اس شکل سے ظاہر ہے کہ



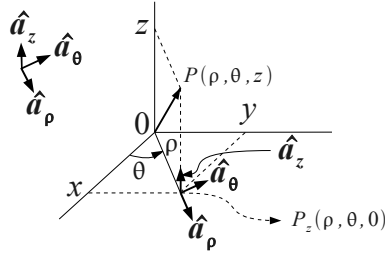
$$x = \rho \cos \theta \quad (1.7)$$

$$y = \rho \sin \theta \quad (1.8)$$

لہذا ہم نقطہ  $P(x, y, z)$  کو متغیرہ  $x, y, z$  کی جگہ متغیرہ  $\rho, \theta, z$  کی مدد سے یوں لکھ سکتے ہیں  $P(\rho, \theta, z)$ ۔ لہذا ہم خلاء میں کسی بھی نقطہ کو اس کے تین متغیرہ  $\rho, \theta, z$  سے ظاہر کر سکتے ہیں۔

وہ نظام جس میں متغیرہ  $\rho, \theta, z$  کسی نقطہ کو متعین کرنے کے لئے استعمال ہو تو اس کو نلکی محدود کہتے ہیں۔ یہاں شکل 1.4 سے رجوع کریں۔ اس نظام کے تین عمودی اکائی سمتیہ  $\hat{a}_\rho, \hat{a}_\theta, \hat{a}_z$  ہیں۔ یہ نظام بھی دائیہ ہاتھ کا نظام ہے۔ لہذا اگر دائیں ہاتھ کی چار انگلیوں کو اکائی سمتیہ  $\hat{a}_\rho$  کی جانب رکھ کر انہیں  $\hat{a}_\theta$  کی جانب موڑیں تو اس ہاتھ کا انگوٹھا  $\hat{a}_z$  کی سمت میں ہوگا۔ یہ تین عمودی اکائی سمتیہ کی تفصیل یوں ہے۔

سطح  $x-y$  میں محدود  $x$  سے زاویہ  $\theta$  کی جانب اگر اکائی سمتیہ بنائی جائے تو یہ اکائی سمتیہ  $\hat{a}_\rho$  ہوگی۔ اگر اسی سطح  $x-y$  پر اکائی سمتیہ  $\hat{a}_\rho$  کی عمودی سمت میں، زاویہ  $\theta$  بڑھانے والے سمت میں، ایک اکائی سمتیہ بنائی جائے تو یہ اکائی سمتیہ  $\hat{a}_\theta$  ہوگی۔ اکائی سمتیہ  $\hat{a}_z$  وہی اکائی سمتیہ ہے جو کارتیسی محدود نظام میں تھی۔



شکل 1.4: نلکی نما محدد کی تعریف

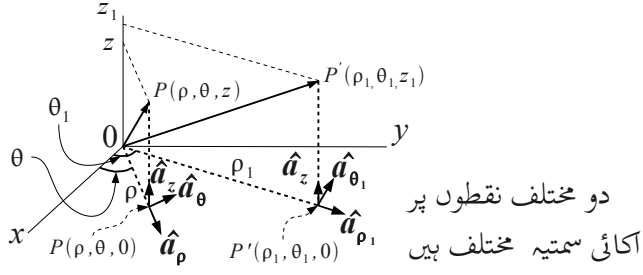
یہاں یہ واضح رہے کہ اس نلکی محدد کے نظام میں  $\hat{a}_\rho$  اور  $\hat{a}_\theta$  کی سمتیں ہر نقطہ پر مختلف ہیں جیسا کہ شکل 1.5 میں دکھایا گیا ہے۔

یہاں شکل 1.6 سے رجوع کریں۔ اگر نلکی محدد میں ایک سمتیہ ( جس کا متغیر  $z$  صفر کے برابر ہو، یعنی  $z=0$  ) اور اس کا رداس  $\rho$  ایک مستقل مقدار ہو مثلاً  $\rho=\rho_0$  ) کو یوں بنایا جائے کہ اس کا زاویہ  $\theta$  کو صفر سے  $2\pi$  تک لے جایا جائے تو اس سمتیہ کی چونچ  $x-y$  سطح پر ایک دائرہ بنائے گی۔ اب اگر اسی سمتیہ کے متغیر  $z$  کو بھی تبدیل کیا جائے، مثلاً  $z$  کو صفر اور تین کے درمیان اس طرح تبدیل کیا جائے کہ ہر  $\theta$  پر  $z$  کو صفر سے تین تک لے جایا جائے تو یہ سمتیہ ایک نلکی بنائے گی۔ اسی وجہ سے اس نظام کو نلکی محدد کہتے ہیں۔ اب اگر ہم سمتیہ کے تینوں متغیر تبدیل کریں تو ہمیں نلکی کا حجم ملتا ہے۔ اگلے تین مساوات ان باتوں کو ظاہر کرتے ہیں۔

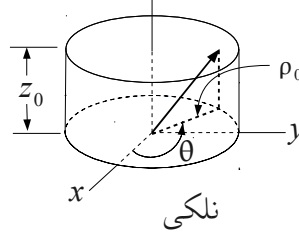
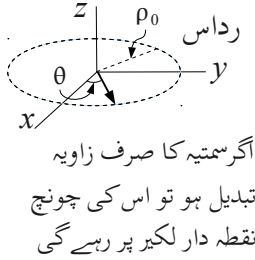
$$\text{دائرہ} = \begin{cases} z=0 \\ \rho=\rho_0 \\ 0<\theta<2\pi \end{cases} \quad (1.9)$$

$$\text{نلکی نما سطح} = \begin{cases} 0< z < z_0 \\ \rho=\rho_0 \\ 0<\theta<2\pi \end{cases} \quad (1.10)$$

$$\text{نلکی کا حجم} = \begin{cases} 0< z < z_0 \\ 0<\rho<\rho_0 \\ 0<\theta<2\pi \end{cases} \quad (1.11)$$



شکل 1.5: نلکی محدد میں اکائی سمتیہ  $\hat{a}_\rho$  اور  $\hat{a}_\theta$  ہر نقطہ پر مختلف ہیں



شکل 1.6: نلکی محدد میں دائرہ اور ایک نلکی

## 1.5 سمتیہ رقبہ

شکل 1.7 کو مدِ نظر رکھیے۔ کسی سطح سے اگر اس کے عمود کی جانب ایک فرضی لکیر کھینچی جائے تو اس لکیر پر اکائی سمتیہ اس سطح کی سمت کو ظاہر کرتی ہے۔ چونکہ کسی بھی سطح، مثلاً اس کتاب کا ایک صفحہ، کے دو اطراف ہوتے ہیں لہذا اس کے دو، آپس میں اُلٹ، سمتیں بیان کی جا سکتی ہیں۔ عموماً مسئلہ کو مدِ نظر رکھتے ہوئے ان میں سے ایک سمت کو اس سطح کی سمت لیا جاتا ہے۔ البتہ اگر یہ سطح بند سطح ہو، مثلاً گیند کی شکل کا ہو، تب باہر جانب کو ہی اس سطح کی سمت لیا جاتا ہے۔ شکل میں اُوپر کی سطح  $A_1$  کا رقبہ  $A_1$  ہے اور اس کی سمت  $\hat{a}_z$  ہے۔ لہذا  $A_1$  سمتیہ کا طول  $A_1$  ہے اور اس کی سمت  $\hat{a}_z$  ہے یعنی

$$A_1 = w l \quad (1.12)$$

$$\hat{a}_{A_1} = \hat{a}_z \quad (1.13)$$

لہذا

$$A_1 = A_1 \hat{a}_{A_1} = w l \hat{a}_z \quad (1.14)$$

اسی طرح دائیں جانب سطح  $A_2$  سمتیہ کا طول  $A_2$  ہے اور اس کی سمت  $\hat{a}_y$  ہے۔ یعنی

$$A_2 = w h \quad (1.15)$$

$$\hat{a}_{A_2} = \hat{a}_y \quad (1.16)$$

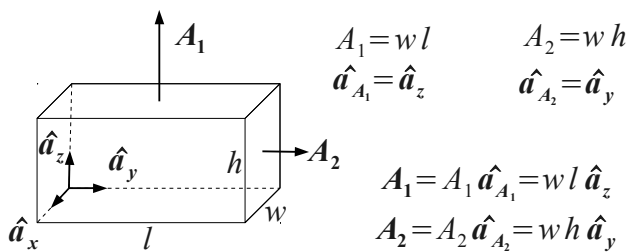
لہذا

$$A_2 = A_2 \hat{a}_{A_2} = w h \hat{a}_y \quad (1.17)$$

یوں نیچے کی سطح کا رقبہ  $A_3 = w l$  ہے اور اس کی سمت خلاء کی اکائی سمتیہ  $\hat{a}_z$  کے اُلٹ ہے لہذا

$$A_3 = A_3 \hat{a}_{A_3} = (w l)(-\hat{a}_z) = -w l \hat{a}_z \quad (1.18)$$

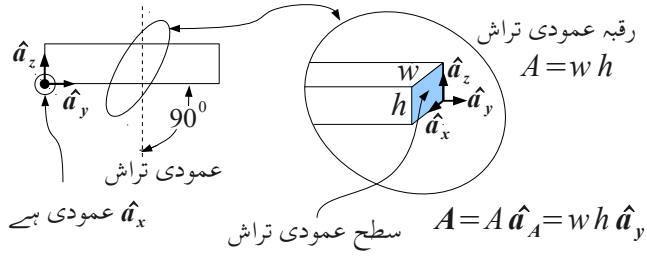
یہاں دھیان کریں کہ رقبہ ہر صورت میں مثبت ہی ہوتا ہے البتہ اس کی سمت مثبت یا منفی ہو سکتی ہے۔ یہ بات کسی بھی سمتیہ کے لئے درست ہے لہذا کسی بھی سمتیہ کا طول ہر صورت میں مثبت ہی ہوتا ہے البتہ اس کی سمت مثبت یا منفی ہو سکتی ہے۔



شکل 1.7: سمتیه رقبه کا تعارف

## 1.6 رقبه عمودی تراش





شکل 1.8 رقبہ عمودی تراش

زاویہ قائمہ بناتے ہوئے لمبائی میں کسی چیز کی کٹائی کو عمودی تراش<sup>11</sup> کہتے ہیں۔

شکل 1.8 میں ایک سلاخ دکھائی گئی ہے۔ اس کو اکائی سمتیہ  $\hat{a}_y$  کی سمت میں لٹایا گیا ہے۔ اگر ہم تصور میں اس سلاخ کو لمبائی کی عمودی سمت میں کاٹیں تو اس کا جو سرا بنے گا اس سطح کے رقبہ کو رقبہ عمودی تراش<sup>12</sup> کہتے ہیں۔ شکل میں دکھایا گیا رقبہ عمودی تراش  $A$  کی مقدار  $A$  ہے جہاں

11 cross section

12 cross sectional area

$$A = w h \quad (1.19)$$

مسئلہ کو دیکھتے ہوئے اس رقبہ عمودی تراش کی سمت کا تعین کیا جاتا ہے۔  
 شکل میں اس کی سمت  $\hat{a}_A$  خلاء کے اکائی سمتیہ  $\hat{a}_y$  کی جانب ہے لہذا

$$\hat{a}_A = \hat{a}_y \quad (1.20)$$

شکل میں بائیں جانب سلاخ کے نچلے کونے پر اکائی سمتیہ  $\hat{a}_y$  اور  
 $\hat{a}_z$  دکھائے گئے ہیں۔ ان کے ابتدائی نقطہ پر گول دائرہ میں ایک نقطہ دکھایا گیا  
 ہے۔ گول دائرہ میں بند نقطہ صفحہ سے عمودی طور پر کتاب کی باہر جانب سمت  
 کو ظاہر کرتا ہے۔ یہاں یہ سمتیہ  $\hat{a}_x$  کی سمت دکھلا رہا ہے۔ اس کی اُلٹ سمت  
 یعنی صفحہ کی عمودی اندر کی جانب کو گول دائرہ میں بند صلیب کے نشان سے  
 ظاہر کیا جاتا ہے۔

## 1.7 برقی میدان<sup>13</sup> اور مقناطیسی میدان<sup>14</sup>

### 1.7.1 برقی میدان اور برقی میدان کی شدت<sup>15</sup>

کولمب کے قانون<sup>16</sup> کے تحت چارج شدہ جسموں کے درمیان قوت کشش<sup>17</sup> یا قوت دفع<sup>18</sup> ان اجسام پر چارج کی مقدار کے حاصل ضرب کے راست متناسب اور باہمی فاصلہ کے مربع کے بالعکس متناسب ہوتی ہے۔ اس قانون کو مساوات کی شکل میں یوں لکھا جاتا ہے۔

$$F = \frac{q_1 q_2}{4\pi \epsilon r^2} \quad (1.21)$$

اگر ایک چارج کسی جگہ موجود ہو اور دوسرا چارج اس کے قریب لایا جائے تو دوسرے چارج پر کشش یا دفع کی قوت عمل کرے گی جس کا تعین کولمب کے قانون سے ہوتا ہے۔ اگر دوسرے چارج کو پہلے چارج سے آہستہ آہستہ دور لے جائیں تو قوت کشش یا دفع کم ہوتی جاتی ہے۔ ایک خاص فاصلے کے بعد یہ قوت عملی طور پر صفر ہو جاتی ہے اور دوسرا چارج پہلے چارج کے حلقہ

---

13 electric field

14 magnetic field

15 electric field intensity

16 Coulomb's law

17 attractive force

18 repulsive force

اثر سے باہر ہو جاتا ہے۔ اس حلقہ کے اندر واقع جگہ کو برقی میدان کہا جاتا ہے۔ برقی میدان کسی ایک چارج کی وجہ سے بھی ہو سکتا ہے اور بہت سے چارجوں کی وجہ سے بھی ہو سکتا ہے۔ لہذا برقی میدان کی تعریف یوں کی جاتی ہے۔

کسی چارج کے برقی میدان سے مراد چارج کے اردگرد وہ جگہ ہے جس میں اس کا برقی اثر محسوس کیا جاتا ہے۔

برقی میدان کی شدت <sup>19</sup>  $E$  کی مقدار اور اس کی سمت کسی مقام پر معلوم کرنے کا طریقہ یہ ہے کہ ایک مثبت اکائی چارج کو اگر کسی چارج  $Q$  کے برقی میدان میں رکھا جائے تو جس سمت میں وہ مثبت اکائی چارج حرکت کرے یا حرکت کرنے کے لئے مائل ہو، وہی برقی میدان کی شدت کی سمت ہوگی اور جو قوت اس پر اثر انداز ہو وہ برقی میدان کی شدت ہوگی۔ برقی میدان کی شدت کی اکائی وولٹ فی میٹر <sup>20</sup> ہے۔

کولمب کے قانون یعنی مساوات 1.21 کی مدد سے ایک چارج  $Q$  کی برقی میدان کی شدت کی مقدار یوں حاصل کی جا سکتی ہے۔ چارج  $Q$  اور اکائی چارج یعنی ایک کولمب چارج کے درمیان قوت کشش یا قوت دفع

$$F = \frac{Q \times 1}{4\pi \epsilon r^2} = \frac{Q}{4\pi \epsilon r^2} \quad (1.22)$$

---

19 electric field intensity

20 V/m

نیوٹن ہوگی۔ یہی برقی میدان کی شدت کی مقدار ہے یعنی

$$E = \frac{Q}{4\pi\epsilon r^2} \quad (1.23)$$

اگر دو چارجوں کے درمیان سیدھی لکیر کھینچی جائے تو ان کے مابین قوت کشش یا قوت دفع کی سمت اس لکیر کی سمت میں ہوگی۔

### 1.7.2 مقناطیسی میدان اور مقناطیسی میدان کی شدت<sup>21</sup>

مقناطیسی میدان اور مقناطیسی میدان کی شدت بالکل برقی میدان اور برقی میدان کی شدت کی طرح ہوتی ہے۔

مقناطیسی میدان کی تعریف یوں کی جاتی ہے۔ کسی مقناطیس کے مقناطیسی میدان سے مراد مقناطیس کے ارد گرد وہ جگہ ہے جس میں اس کا مقناطیسی اثر محسوس کیا جاتا ہے۔

---

21 magnetic field intensity

## 1.8 سطحی اور حجمی کثافت

### 1.8.1 سطحی کثافت

اکائی رقبہ کی سطح پر کسی چیز کی کُل مقدار کو اس چیز کی سطحی کثافت<sup>22</sup> کہتے ہیں۔ مثال کے طور پر اگر رقبہ  $A$  پر کسی متغیرہ کی کُل مقدار  $\phi$  ہو تب اس متغیرہ کی اوسط سطحی کثافت<sup>23</sup>  $B_{\text{اوسط}}$  یہ ہوگی

$$B_{\text{اوسط}} = \frac{\phi}{A} \quad (1.24)$$

اس مساوات کو یوں بھی لکھا جا سکتا ہے

$$\phi = B_{\text{اوسط}} A \quad (1.25)$$

یعنی اگر ہمیں کسی سطح پر ایک متغیرہ کی اوسط سطحی کثافت معلوم ہو تب ہم اس سطح پر اس متغیرہ کی کُل مقدار اس مساوات کی مدد سے معلوم کر سکتے ہیں۔

---

22 surface density

23 average surface density

اگر سطح پر متغیر ہر جگہ یکساں نہ ہو تب اس سطح پر سطحی کثافت جگہ جگہ تبدیل ہوگی۔ اس صورت میں اگر اتنا چھوٹا رقبہ لیا جائے کہ اس پر متغیرہ یکساں تصور کیا جا سکے تب اس نقطہ پر سطحی کثافت یوں حاصل ہوگی

$$B = \frac{\Delta \phi}{\Delta A} \quad (1.26)$$

جہاں  $\Delta A$  یہ چھوٹا رقبہ اور  $\Delta \phi$  اس پر متغیرہ کی چھوٹی سی مقدار ہے۔ اگر یہ رقبہ ایک نقطہ کی مانند کر دیا جائے تب اس مساوات کو یوں لکھا جائے گا۔

$$B = \frac{d\phi}{dA} \quad (1.27)$$

اس مساوات کو ہم یوں بھی بیان کر سکتے ہیں

$$d\phi = B dA \quad (1.28)$$

یعنی اگر ہمیں کسی نقطہ پر ایک متغیرہ کی سطحی کثافت معلوم ہو تب اس نقطہ کے چھوٹے سے رقبہ پر ہم اس متغیرہ کی کم سے کم کُل مقدار اس مساوات کی

مدد سے معلوم کر سکتے ہیں۔

اسی طرح اگر ایک برقی تار کا رقبہ عمودی تراش  $A$  ہو اور اس میں برقی رو  $I$  گزر رہی ہو تو اس تار میں اوسط کثافت برقی رو  $\rho_{au}$

$$\rho_{au} = \frac{I}{A} \quad (1.29)$$

ہو گی۔

### 1.8.2 حجمی کثافت

اکائی حجم میں کسی چیز کی کُل مقدار کو اس چیز کی حجمی کثافت<sup>24</sup> کہتے ہیں۔ یہاں ہم کمیت کی مثال لیتے ہیں۔ اگر کسی چیز کا حجم  $V$  اور اس کی کمیت  $m$  ہو تب اس کی اوسط حجمی کثافت  $\rho_{\text{اوسط}}$ <sup>25</sup> یہ ہو گی۔

$$\rho_{\text{اوسط}} = \frac{m}{V} \quad (1.30)$$

---

<sup>24</sup> volume density

<sup>25</sup>  $\rho$  کی علامت بقایا کتاب میں رداسی فاصلہ کے لئے استعمال کی جائے گی



اسی طرح اگر اس چیز کی کمیت اس کے حجم میں جگہ جگہ مختلف ہو تب اس کی ایک نقطہ کی حجمی کثافت معلوم کرنے کے لئے اس کا اتنا چھوٹا حصہ لیا جاتا ہے کہ اس چھوٹے حصہ میں اس کی کمیت کو ہر جگہ یکساں تصور کیا جا سکے تب اس چھوٹے حصے کی حجمی کثافت یہ ہوگی۔

$$\rho = \frac{\Delta m}{\Delta V} \quad (1.31)$$

اب اگر اس چھوٹے حصے کو ایک نقطہ مانند کر دیا جائے تب ہم لکھ سکتے ہیں کہ

$$\rho = \frac{dm}{dV} \quad (1.32)$$

اور

$$dm = \rho dV \quad (1.33)$$

یعنی اگر ہمیں ایک نقطہ کی حجمی کثافت معلوم ہو تب ہم ایک نہایت چھوٹے حجم کی کمیت اس مساوات کی مدد سے حاصل کر سکتے ہیں۔

## 1.9 ضربِ صلیبی<sup>26</sup> اور ضربِ نقطہ<sup>27</sup>

دو مقداری متغیرات کا حاصل ضرب مقداری متغیرہ ہی ہوتی ہے جبکہ دو سمتیہ متغیرات کا حاصل ضرب سمتیہ متغیرہ یا مقداری متغیرہ ہو سکتی ہے۔ ان دو اقسام کے ضرب پر یہاں غور کیا جائے گا۔

### 1.9.1 ضربِ صلیبی

ایسی دو سمتیہ متغیرات کا ضرب جس کا حاصل ضرب سمتیہ متغیرہ ہو کو ضربِ صلیبی کہتے ہیں اور اسے یوں لکھا جاتا ہے۔

$$C = A \times B \quad (1.34)$$

ضربِ صلیبی میں ضرب کے نشان کو صلیب کی علامت سے ظاہر کیا جاتا ہے۔ اسی سے اس کا نام ضربِ صلیبی لیا گیا ہے۔ حاصل ضرب سمتیہ  $C$  کی مقدار

$$\begin{aligned} C &= |C| = |A||B| \sin \theta_{AB} \\ &= AB \sin \theta_{AB} \end{aligned} \quad (1.35)$$

---

26 cross product

27 dot product

ہے جہاں  $\theta_{AB}$  ان کے مابین زاویہ ہے۔ اس حاصل سمتیہ کی سمت دائی ہاتھ کے قانون سے یوں حاصل کی جاتی ہے۔

اگر آپ دائیں ہاتھ کی چار انگلیوں کو  $A$  سمتیہ کی سمت میں رکھ کر  $B$  سمتیہ کی سمت موڑیں تو اس ہاتھ کا انگوٹھا  $C$  سمتیہ کی سمت کو ظاہر کرے گا۔

مثال 1.1:

مندرجہ ذیل ضربِ صلیبی حاصل کریں

$$\hat{a}_z \times \hat{a}_x \quad \hat{a}_y \times \hat{a}_z \quad \hat{a}_x \times \hat{a}_y \quad \bullet$$

$$\hat{a}_y \times \hat{a}_y \quad \hat{a}_z \times \hat{a}_y \quad \hat{a}_x \times \hat{a}_z \quad \bullet$$

$$\hat{a}_z \times \hat{a}_\rho \quad \hat{a}_\rho \times \hat{a}_\theta \quad \bullet$$

حل: اس مثال میں سب سمتیہ اکائی ہیں۔ اکائی سمتیہ کا طول ایک کے برابر

ہوتا ہے۔ لہذا

$$\hat{a}_x \times \hat{a}_y = (1)(1) \sin 90^\circ \hat{a}_z = \hat{a}_z \quad \bullet$$

$$\hat{a}_y \times \hat{a}_z = (1)(1) \sin 90^\circ \hat{a}_x = \hat{a}_x \quad \bullet$$

$$\hat{a}_z \times \hat{a}_x = (1)(1) \sin 90^\circ \hat{a}_y = \hat{a}_y \quad \bullet$$

$$\hat{a}_x \times \hat{a}_z = (1)(1) \sin 90^\circ (-\hat{a}_y) = -\hat{a}_y \quad \bullet$$

$$\hat{a}_z \times \hat{a}_y = (1)(1) \sin 90^\circ (-\hat{a}_x) = -\hat{a}_x \quad \bullet$$

• اس مثال میں چونکہ دونوں سمتیہ ایک ہی جانب ہیں لہذا ان کے مابین

زاویہ صفر ہے۔ صفر زاویہ کا سائن صفر ہی ہوتا ہے یعنی  $\sin 0^\circ = 0$

لہذا ان دو سمتیہ کا ضربِ صلیبی صفر ہوگا  $\hat{a}_y \times \hat{a}_y = 0$

$$\hat{a}_\rho \times \hat{a}_\theta = (1)(1) \sin 90^\circ \hat{a}_z = \hat{a}_z \quad \bullet$$

$$\hat{a}_z \times \hat{a}_\rho = (1)(1) \sin 90^\circ \hat{a}_\theta = \hat{a}_\theta \quad \bullet$$

مثال 1.2:

شکل 1.9 الف میں چار نیوٹن کی قوت  $F$  محور سے تین میٹر کی سمتیہ فاصلہ  $L$  پر لاگو ہے۔ شکل 1.9 کے حصہ با میں اس کی تفصیل دی گئی ہے۔ اس قوت کی مروڑ حاصل کریں۔

حل:

مروڑ  $T$  کی تعریف یہ ہے

$$T = L \times F \quad (1.36)$$

کارتیسی نظام میں اس سمتیہ فاصلہ کو یوں لکھا جا سکتا ہے

$$\mathbf{L} = L \sin \theta \hat{\mathbf{a}}_x - L \cos \theta \hat{\mathbf{a}}_y \quad (1.37)$$

لہذا

$$\begin{aligned} \mathbf{T} &= (L \sin \theta \hat{\mathbf{a}}_x - L \cos \theta \hat{\mathbf{a}}_y) \times F \hat{\mathbf{a}}_y \\ &= L F \sin \theta (\hat{\mathbf{a}}_x \times \hat{\mathbf{a}}_y) - L F \cos \theta (\hat{\mathbf{a}}_y \times \hat{\mathbf{a}}_y) \\ &= L F \sin \theta \hat{\mathbf{a}}_z \end{aligned} \quad (1.38)$$

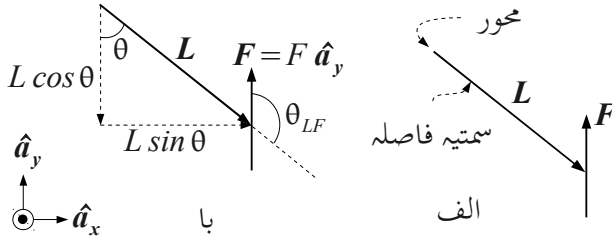
یہاں پچھلی مثال کی مدد سے  $\hat{\mathbf{a}}_x \times \hat{\mathbf{a}}_y = \hat{\mathbf{a}}_z$  اور  $\hat{\mathbf{a}}_y \times \hat{\mathbf{a}}_y = 0$  لی گئی ہیں۔ یوں

$$\mathbf{T} = L F \sin \theta \hat{\mathbf{a}}_z = 12 \sin \theta \hat{\mathbf{a}}_z \quad N \cdot m$$

ہمیں۔ اس مثال میں  $\theta_{LF} = 180^\circ - \theta$  ہے۔ چونکہ کسی بھی زاویہ  $\alpha$  کے لئے  $\sin \alpha = \sin(180^\circ - \alpha)$  ہوتا ہے لہذا اس مروڑ کو یوں بھی لکھا جا سکتا ہے۔

$$\begin{aligned} \mathbf{T} &= L F \sin \theta \hat{\mathbf{a}}_z \\ &= L F \sin \theta_{LF} \hat{\mathbf{a}}_z \end{aligned} \quad (1.39)$$

یہی جواب ضربِ صلیبی کی تعریف یعنی مساوات 1.35 اور دائی ہاتھ کے قانون کی مدد سے زیادہ آسانی سے حاصل ہوتا ہے۔



شکل 1.9: کارتیزیسی نظام میں مروڑ کا حل

### 1.9.2 ضربِ نقطہ

ایسی دو سمتیہ متغیرات کا ضرب جس کا حاصل ضرب مقداری متغیرہ ہو کو ضربِ نقطہ کہتے ہیں اور اسے یوں لکھا جاتا ہے۔

$$C = A \cdot B \quad (1.40)$$

ضربِ نقطہ میں ضرب کے نشان کو نقطہ کی علامت سے ظاہر کیا جاتا ہے۔ اسی سے اس کا نام ضربِ نقطہ لیا گیا ہے۔  
ضربِ نقطہ میں حاصل ضرب مقداری کی مقدار یوں حاصل ہوتی ہے

$$\begin{aligned} C &= A \cdot B \\ &= |A| |B| \cos \theta_{AB} \\ &= A B \cos \theta_{AB} \end{aligned} \quad (1.41)$$

جہاں  $\theta_{AB}$  ان دو کے مابین زاویہ ہے۔

مثال 1.3:

مندرجہ ذیل ضربِ نقطہ حاصل کریں

$$\begin{array}{lll} \hat{a}_z \cdot \hat{a}_z & \hat{a}_y \cdot \hat{a}_y & \hat{a}_x \cdot \hat{a}_x \quad \bullet \\ \hat{a}_\rho \cdot \hat{a}_\rho & \hat{a}_y \cdot \hat{a}_z & \hat{a}_x \cdot \hat{a}_y \quad \bullet \end{array}$$

$$\hat{a}_\rho \cdot \hat{a}_\theta \quad \bullet$$

حل: اس مثال میں سب اکائی سمتیہ ہیں۔ اکائی سمتیہ کا طول ایک کے برابر ہوتا ہے۔

$$\hat{a}_x \cdot \hat{a}_x = (1)(1) \cos 0^\circ = 1 \quad \bullet$$

$$\hat{a}_y \cdot \hat{a}_y = (1)(1) \cos 0^\circ = 1 \quad \bullet$$

$$\hat{a}_z \cdot \hat{a}_z = (1)(1) \cos 0^\circ = 1 \quad \bullet$$

$$\hat{a}_x \cdot \hat{a}_y = (1)(1) \cos 90^\circ = 0 \quad \bullet$$

$$\hat{a}_y \cdot \hat{a}_z = (1)(1) \cos 90^\circ = 0 \quad \bullet$$

$$\hat{a}_\rho \cdot \hat{a}_\rho = (1)(1) \cos 0^\circ = 1 \quad \bullet$$

$$\hat{a}_\rho \cdot \hat{a}_\theta = (1)(1) \cos 90^\circ = 0 \quad \bullet$$

شکل 1.10 میں قوت  $F$  ایک بار کو دھکیل رہی ہے۔ سمتیہ فاصلہ  $L$  طے کرنے پر قوت کتنا کام کر چکی ہوگی۔

مثال 1.4:

حل:

کام  $W$  کی تعریف یہ ہے



$$W = \mathbf{F} \cdot \mathbf{L} \quad (1.42)$$

ہم کارتیسی نظام میں سمتیہ فاصلہ کو یوں لکھ سکتے ہیں

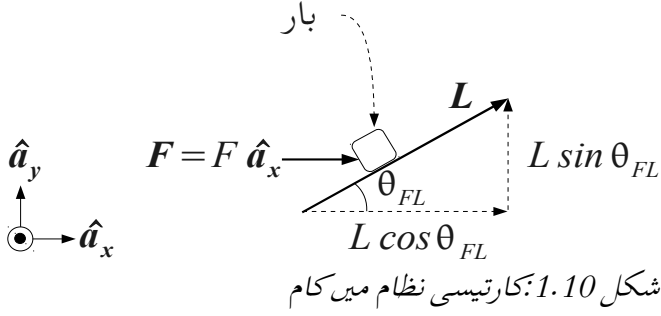
$$\mathbf{L} = L \cos \theta_{FL} \hat{\mathbf{a}}_x + L \sin \theta_{FL} \hat{\mathbf{a}}_y \quad (1.43)$$

لہذا

$$\begin{aligned} W &= \mathbf{F} \cdot \mathbf{L} \\ &= (F \hat{\mathbf{a}}_x) \cdot (L \cos \theta_{FL} \hat{\mathbf{a}}_x + L \sin \theta_{FL} \hat{\mathbf{a}}_y) \\ &= F L \cos \theta_{FL} (\hat{\mathbf{a}}_x \cdot \hat{\mathbf{a}}_x) + F L \sin \theta_{FL} (\hat{\mathbf{a}}_x \cdot \hat{\mathbf{a}}_y) \\ &= F L \cos \theta_{FL} \end{aligned} \quad (1.44)$$

جہاں پچھلی مثال کی مدد سے  $\hat{\mathbf{a}}_x \cdot \hat{\mathbf{a}}_x = 1$  اور  $\hat{\mathbf{a}}_x \cdot \hat{\mathbf{a}}_y = 0$  لی گئی ہیں۔

یہی جواب ضربِ نقطہ کی تعریف یعنی مساوات 1.41 سے با آسانی حاصل ہوتا ہے۔



### 1.10 تفرق<sup>28</sup> اور جزوی تفرق<sup>29</sup>

مساوات 1.45 میں ایک تفاعل جس میں  $B_0$  مقررہ ہے کا تفرق<sup>30</sup> دیا گیا ہے جبکہ مساوات 1.46 میں ایک تفاعل کا جزوی تفرق<sup>31</sup> دیا گیا ہے۔

$$\begin{aligned} B(\theta) &= B_0 \cos \theta \\ \frac{dB(\theta)}{d\theta} &= -B_0 \sin \theta \end{aligned} \quad (1.45)$$

28 differentiation

29 partial differentiation

30 differential

31 partial differential

$$\partial W(x, \lambda) = \frac{\partial W(x, \lambda)}{\partial x} dx + \frac{\partial W(x, \lambda)}{\partial \lambda} d\lambda \quad (1.46)$$

## 1.11 خطی تکمل<sup>32</sup>

مساوات 1.47 میں ایک تفاعل  $B(\theta)$  دیا گیا ہے جسے شکل 1.11 میں دکھایا گیا ہے۔ اس کی طول موج<sup>33</sup>  $2\pi$  ریڈیئن کے برابر ہے۔ ہم  $(-\pi/2) < \theta < (\pi/2)$  کے مابین اس کا اوسط معلوم کرتے ہیں۔ یہ تکمل سے یوں ہو گا۔

$$B(\theta) = B_0 \cos \theta \quad (1.47)$$

$$B_{\text{اوسط}} = \frac{B_0}{\pi} \int_{-\pi/2}^{+\pi/2} \cos \theta d\theta = \frac{2 B_0}{\pi} \quad (1.48)$$

اسی طرح اگر اسی خطہ پر تفاعل کے مربع یعنی  $B^2(\theta)$  کا اوسط درکار ہو تو ایسا کرنا مساوات 1.49 میں دکھایا گیا ہے۔

---

32 line integral

33 wavelength

$$\begin{aligned}
B_{\text{اوسط}}^2 &= \frac{B_0^2}{\pi} \int_{-\pi/2}^{+\pi/2} \cos^2 \theta \, d\theta \\
&= \frac{B_0^2}{\pi} \int_{-\pi/2}^{+\pi/2} \frac{(1 + \cos 2\theta)}{2} \, d\theta \\
&= \frac{B_0^2}{2}
\end{aligned} \tag{1.49}$$

تفاعل کے مربع کی اوسط کا جزر<sup>34</sup> بہت اہمیت رکھتا ہے۔ لہذا اس تفاعل کے مربع کی اوسط کا جزر  $B_{rms}$  مساوات 1.49 کی مدد سے یوں حاصل ہوتا ہے۔

$$B_{rms} = \sqrt{B_{\text{اوسط}}^2} = \frac{B_0}{\sqrt{2}} \tag{1.50}$$

یہ ایک بہت اہم نتیجہ ہے جو آپ کو زبانی یاد ہونا چاہئے۔ یہ مساوات ہر سائن نما تفاعل کے لئے درست ہے۔ کسی بھی متغیرہ کے مربع کی اوسط کا جزر اس متغیرہ کا موثر قیمت<sup>35</sup> کہلاتا ہے۔

---

34 root mean square (rms)

35 effective value ( rms )

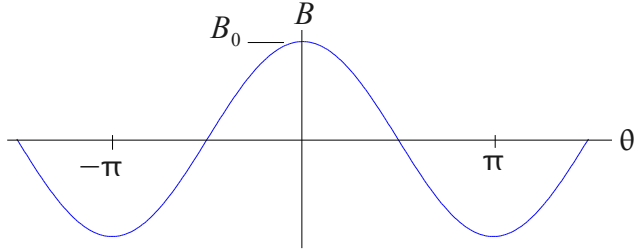
## 1.12 سطحی تکمل<sup>36</sup>

مثال کے طور پر اگر مساوات 1.47 شکل 1.12 میں نلی کے بیرونی سطح پر متغیر  $B$  کی مقدار بتلاتی ہے اور یہ متغیرہ سطحی کثافت کو ظاہر کرے ہم آدھے بیرونی سطح مثلاً زاویہ  $(-\pi/2)$  اور  $(\pi/2)$  کے مابین اس کی کُل مقدار  $\Phi$  معلوم کرتے ہیں۔ اس سطح میں نلی کے دونوں سرے شامل نہیں ہیں۔

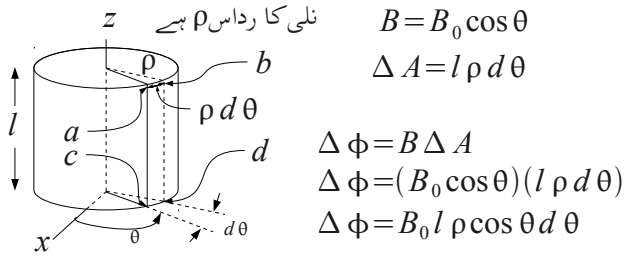
ہم نلی کے بیرونی سطح پر  $\Delta A$  رقبہ لیتے ہیں جس کی قوسِ صغیرہ  $\rho d\theta$  اور لمبائی  $l$  ہے۔ اس طرح اس سطح کا رقبہ  $\rho l d\theta$  ہے۔ چونکہ اس سطح پر  $B$  کی مقدار محوری لمبائی کی جانب تبدیل نہیں ہو رہی اس لئے سطح  $\Delta A$  پر  $\Delta \Phi = B \Delta A$  ہوگا اور کُل  $\Phi$  تکمل کی مدد سے یوں حاصل ہوگا۔

---

36 surface integral



شکل 1.11: کوسائن موج



شکل 1.12: نلی کی بیرونی سطح پر متغیرہ کا تکمیل کُل مقدار دیے گی

$$\Delta \phi = B \Delta A = B_0 l \rho \cos \theta d \theta \quad (1.51)$$

$$\phi = B_0 l \rho \int_{-\pi/2}^{+\pi/2} \cos \theta d \theta = 2 B_0 l \rho \quad (1.52)$$

اب ہم یہی مقدار نلی کے آدھے بیرونی سطح پر کہی پر بھی حاصل کرنا چاہیں تو ہمیں صرف تکمل کے دو حد تبدیل کرنے ہوں گے۔ اگر ہم مساوات 1.52 میں نچلا حد  $(-\frac{\pi}{2} - \alpha)$  اور اوپر کا حد  $(\frac{\pi}{2} - \alpha)$  لپی تو یہ حاصل ہوگا۔

$$\phi(\alpha) = B_0 l \rho \int_{-\pi/2 - \alpha}^{+\pi/2 - \alpha} \cos \theta d \theta = 2 B_0 l \rho \cos \alpha \quad (1.53)$$

یہاں  $\phi(\alpha)$  اس بات کو واضح کرتا ہے کہ نتیجہ  $\alpha$  پر منحصر ہے۔ یہ ایک بہت اہم مساوات ہے۔ مساوات 1.53 میں اگر  $\alpha = 0$  ہو تو مساوات 1.52 ملتا ہے۔

### 1.13 فوریر تسلسل<sup>37</sup>

### 1.14 دوری سمتیہ<sup>38</sup>

سائن نما موج جن کا تعدد معین ہو کو دوری سمتیہ سے ظاہر کرنا نہایت مفید ثابت ہوتا ہے۔ مساواتِ یولر<sup>39</sup>

$$A_0 e^{\mp j(\omega t + \phi)} = A_0 [\cos(\omega t + \phi) \mp j \sin(\omega t + \phi)] \quad (1.54)$$

کی مدد سے کو-سائن موج یوں لکھی جا سکتی ہے

$$A_0 \cos(\omega t + \phi) = \frac{A_0}{2} (e^{j(\omega t + \phi)} + e^{-j(\omega t + \phi)}) \quad (1.55)$$

اس سے ثابت ہوتا ہے کہ کو-سائن موج دراصل دو مخلوط اعداد کا مجموعہ ہے۔ مساواتِ یولر ایک مخلوط عدد کو ظاہر کرتا ہے جس کے دو جز ہوں۔ اس کا ایک

---

37 Fourier series

38 phase vector or phasor

39 Euler's equation



جُز حقیقی عدد ہے اور اس کا دوسرا جُز فرضی عدد ہے۔ اس کا حقیقی جُز کو- سائن موج کو ظاہر کرتا ہے۔ لہذا ایک کو-سائن موج  $A_0 e^{j(\omega t + \phi)}$  یا  $A_0 e^{-j(\omega t + \phi)}$  کا حقیقی جُز ہوتا ہے۔ رسمی طور پر سائن نما موج کو  $A_0 e^{j(\omega t + \phi)}$  سے ظاہر کیا جاتا ہے۔ مزید یہ کہ اس عدد کو چھوٹا کر کے صرف  $A_0 e^{j\phi}$  یا پھر  $A_0 \angle \phi$  لکھا جاتا ہے۔ کو-سائن موج کے اس طرح ظاہر کرنے کو دوری سمتیہ کہتے ہیں جہاں اس سمتیہ کا طول  $A_0$  اور اُفقی لکیر سے زاویہ  $\phi$  ہے۔

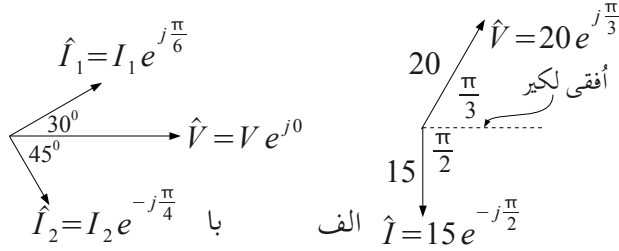
دوری سمتیہ استعمال کرتے وقت آپ کو یہ ذہن میں رکھنا ہوتا ہے کہ یہ ایک کو-سائن موج ہے جس کا محیطہ  $A_0$  ، دوری زاویہ  $\phi$  اور زاویاتی تعدد  $\omega$  ہے۔

اس کتاب میں دوری سمتیہ کو سادہ طرز لکھائی میں انگریزی کے بڑے حروف جن پر ٹوپی کا نشان ہو سے ظاہر کیا جائے گا، یعنی  $\hat{V}, \hat{I}$  وغیرہ اور ان کے طول کو بغیر ٹوپی کے نشان کے اسی حرف سے ظاہر کیا جائے گا۔ مثلاً برقی دباؤ  $v = 20 \cos\left(\omega t + \frac{\pi}{3}\right)$  کے لئے یہ سب درست ہیں۔

$$\begin{aligned}
v &= 20\cos(\omega t + \frac{\pi}{3}) \\
\hat{V} &= 20\angle\frac{\pi}{3} = 20e^{j\frac{\pi}{3}} \\
V &= 20 \\
\phi &= \frac{\pi}{3}
\end{aligned}
\tag{1.56}$$

اس مساوات میں پہلا جُز ایک عام کوسائن موج ہے۔ دوسرا جُز اِسی کو دوری سمتیہ سے ظاہر کر رہا ہے۔ تیسرا اس دوری سمتیہ کا طول اور چوٹھا اس کا زاویہ بتلا رہا ہے۔

دوری سمتیہ کو عام سمتیوں کی طرح ہی تصور کیا جاتا ہے۔ اس مساوات میں  $\hat{V}$  کا طول 20 اور اُفقی لکیر سے زاویہ  $\pi/3$  ریڈیئن ہے۔ زاویہ اُفقی لکیر سے گھڑی کی اُلٹی سمت ناپا جاتا ہے۔ اس سمت میں زاویہ مثبت ہے۔ شکل میں اسے اور چند اور دوری سمتیہ دکھائے گئے ہیں۔



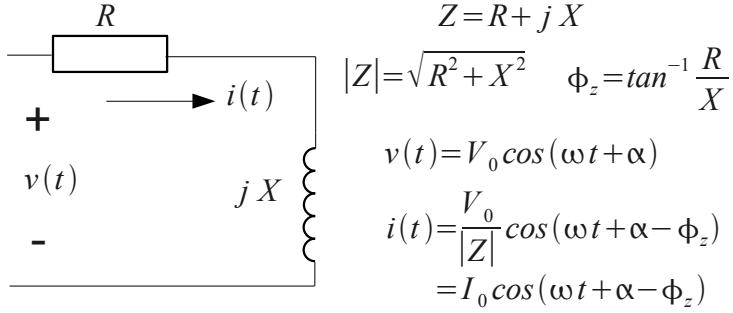
شکل 1.13: دوری سمتیہ

برقی دور حل کرتے وقت برقی دباؤ  $\hat{V}$  کو افقی سمت میں بنا کر برقی رو  $\hat{I}$  اس کی نسبت سے بنایا جاتا ہے۔ شکل حصہ با میں  $\hat{I}_1$  تیس درجہ زاویہ برقی دباؤ سے آگے <sup>40</sup> ہے جبکہ  $\hat{I}_2$  پینتالیس درجہ زاویہ اس کے پیچھے <sup>41</sup> ہے۔ یہاں یہ دھیان رہے کہ شکل میں  $45^\circ$  مثبت لکھا گیا ہے۔ چونکہ یہ افقی لکیر سے زاویہ ناپنے کی اُلٹ سمت میں ہے لہذا یہ ایک منفی زاویہ ہے۔

یہاں دوری سمتیوں کو استعمال کر کے ایک سادہ برقی دور حل کرتے ہیں۔ یوں ان سے وابستگی پیدا ہو جائے گی اور ان کا استعمال بھی سیکھ لیں گے۔

40 leading

41 lagging



شکل 1.14: دوری سمتیہ کی مدد سے ایک  $R-L$  دور کا حل

شکل 1.14 ایک سادہ  $R-L$  برقی دور ہے جس پر لاگو برقی دباؤ

$$v(t) = V_0 \cos(\omega t + \alpha) \quad (1.57)$$

$$\hat{V}_0 = V_0 \angle \alpha$$

ہے۔ دوری سمتیہ کے استعمال سے ہم اس میں برقی رو  $i(t)$  معلوم کرنا چاہتے ہیں۔

$$\begin{aligned}
\hat{I}_0 &= \frac{\hat{V}_0}{R + jX} = \frac{V_0 \angle \alpha}{|Z| \angle \phi_z} \\
&= \frac{V_0}{|Z|} \angle (\alpha - \phi_z) = I_0 \angle (\alpha - \phi_z)
\end{aligned} \tag{1.58}$$

جہاں مقاومت کا زاویہ  $\phi_z$  ہے۔ لہذا

$$i(t) = I_0 \cos(\omega t + \alpha - \phi_z) \tag{1.59}$$

## 2 مقناطیسی دور<sup>42</sup>

### 2.1 مزاحمت اور ہچکچاہٹ

شکل 2.1 میں ایک سلاخ دکھائی گئی ہے۔ اس کی لمبائی کی سمت میں مزاحمت<sup>43</sup>  $R$  یہ ہے

$$R = \frac{l}{\sigma A} \quad (2.1)$$

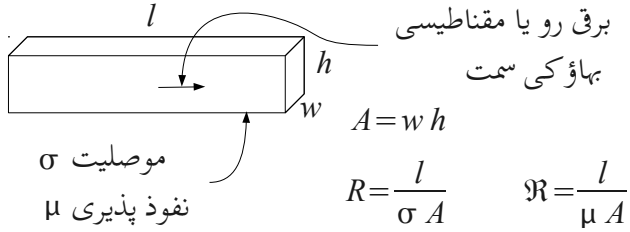
جہاں  $\sigma$  موصلیت<sup>44</sup> کو ظاہر کرتی ہے۔

---

42 magnetic circuit

43 resistance

44 conductivity



شکل 2.1: مزاحمت اور ہپچکچاہٹ

اگر اس سلاخ کی نفوذ پذیری  $\mu$ <sup>45</sup> ہو تو اس سلاخ کی ہپچکچاہٹ  $\mathfrak{R}$ <sup>46</sup> یوں بیان کی جائے گی۔

$$\mathfrak{R} = \frac{l}{\mu A} \quad (2.2)$$

نفوذ پذیری  $\mu$  کو عموماً خالی خلاء کی نفوذ پذیری  $\mu_0$  کی نسبت سے لکھا جاتا ہے یعنی

45 permeability

46 reluctance

$$\mu = \mu_r \mu_0 \quad (2.3)$$

جہاں  $\mu_r$  نسبتِ نفوذ پذیری<sup>47</sup> کہلاتی ہے۔ ہچکچاہٹ کی اکائی ایمپیئر۔چکر فی ویئر<sup>48</sup> ہے جس کی وضاحت آپ کو جلد ہو جائے گی۔

مثال 2.1:

شکل 2.1 میں دی گئی سلاخ کی ہچکچاہٹ معلوم کریں

$$\begin{aligned}\mu_r &= 2000 \\ l &= 10 \text{ cm} \\ h &= 3 \text{ cm} \\ w &= 2.5 \text{ cm}\end{aligned}$$

حل:

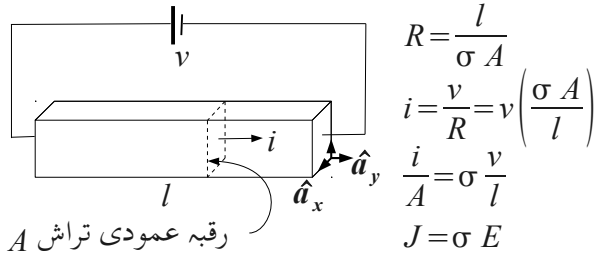
$$\begin{aligned}\mathcal{R} &= \frac{l}{\mu_r \mu_0 A} \\ &= \frac{0.1}{2000 \times 4\pi \times 10^{-7} \times 0.03 \times 0.025} \\ &= 53044 \text{ A}\cdot\text{turns/Wb}\end{aligned}$$

47 relative permeability

48 A.turns/Wb



## 2.2 کثافتِ برقی رو<sup>49</sup> اور برقی میدان کی شدت<sup>50</sup>



شکل 2.2: کثافتِ برقی رو اور برقی دباؤ کی شدت

اگر اس سلاخ کے سروں پر برقی دباؤ  $v$  لاگو کی جائے جیسا کہ شکل 2.2 میں دکھایا گیا ہے تو اس میں برقی رو  $i$  گزرے گا جس کی مقدار اوہم کے قانون<sup>52</sup> سے یوں حاصل ہوتی ہے

49 electric current density

50 electric field intensity

51 برقی میدان کا لفظ جنگی میدان سے نکلا ہے جہاں قوت کی آزمائش ہوتی ہے

52 Ohm' law

$$i = \frac{v}{R} \quad (2.4)$$

اس مساوات کو مساوات 2.1 کی مدد سے یوں لکھ سکتے ہیں

$$i = v \left( \frac{\sigma A}{l} \right) \quad (2.5)$$

یا

$$\left( \frac{i}{A} \right) = \sigma \left( \frac{v}{l} \right) \quad (2.6)$$

اسے مزید یوں لکھ سکتے ہیں

$$J = \sigma E \quad (2.7)$$

اگر شکل میں سمتیہ  $J$  کا طول  $J$  ہو اور سمتیہ  $E$  کا طول  $E$  ہو جہاں ان دونوں سمتیہ کی سمت  $\hat{a}_y$  ہے تب اس مساوات کو یوں لکھا جا سکتا ہے۔

$$\mathbf{J} = \sigma \mathbf{E} \quad (2.8)$$

یہ دونوں مساوات اوہم کے قانون کی ایک اور شکل ہیں۔ مساوات 2.7 میں

$$J = \frac{i}{A} \quad (2.9)$$

$$E = \frac{V}{l} \quad (2.10)$$

ہیں۔ شکل سے واضح ہے کہ برقی رو  $i$  سلاخ کی رقبہ عمودی تراش  $A$  سے گزرتی ہے لہذا مساوات 2.9 کے تحت  $J$  برقی رو کی کثافت کو ظاہر کرتی ہے۔ اسی وجہ سے  $J$  کو کثافتِ برقی رو<sup>53</sup> ہی کہتے ہیں۔ اسی طرح مساوات 2.10 سے یہ واضح ہے کہ  $E$  برقی دباؤ فی اکائی لمبائی کو ظاہر کرتی ہے۔ یوں  $E$  کو برقی میدان کی شدت<sup>54</sup> کہتے ہیں۔ جہاں متن سے واضح ہو کہ برقی میدان کی بات ہو رہی ہے وہاں اس نام کو چھوٹا کر کے  $E$  کو میدانی شدت سے پکارا جاتا ہے۔ برقی میدان<sup>55</sup> سے مراد کسی چارج کے اردگرد وہ جگہ ہے جس میں اس

---

53 electric current density

54 electric field intensity

55 electric field

چارج کا اثر محسوس کیا جاتا ہے۔

ہم بالکل اسی طرح مقناطیسی متغیرہ کے لئے بھی اس طرح کے مساوات لکھ سکتے ہیں۔ حصہ 2.5 میں بھی یہی کریں گے۔

### 2.3 برقی دور

برقی دور میں برقی دباؤ  $v$ <sup>57</sup> کی وجہ سے برقی رو  $i$ <sup>58</sup> پیدا ہوتی ہے۔ تانبہ  $\sigma_{Cu} = 5.9 \times 10^7 \Omega^{-1} m^{-1}$ <sup>60</sup> کی موصلیت ہے جہاں  $\Omega^{-1} m^{-1}$  موصلیت کی اکائی ہے۔ لہذا تانبہ کی بنی تار کی مزاحمت  $R_{\text{تانبہ}}$ <sup>61</sup> قابلِ نظر انداز ہوتی ہے۔ اگر ایسی تار میں برقی رو  $i$  کا گزر ہو تو اس تار کی مزاحمت  $R_{\text{تانبہ}}$  میں اوہم کے قانون کے تحت برقی دباؤ کم ہوگی اور اس کمی کی مقدار  $\Delta v = i R_{\text{تانبہ}}$  ہوگی۔  $R_{\text{تانبہ}}$  کی قابلِ نظر انداز ہونے کی وجہ سے یہ مقدار بھی قابلِ نظر انداز ہی ہوگی۔ اس کا مطلب ہے کہ برقی تار کی مدد سے برقی دباؤ کی ایک جگہ سے دوسری جگہ رسائی بغیر کم ہوئے ممکن ہے۔ اسی

56 voltage

57 برقی دباؤ کی اکائی وولٹ ہے جو اٹلی کے الیسانڈرو وولٹا کے نام ہے جنہوں نے برقی بیٹری ایجاد کی

58 electric current

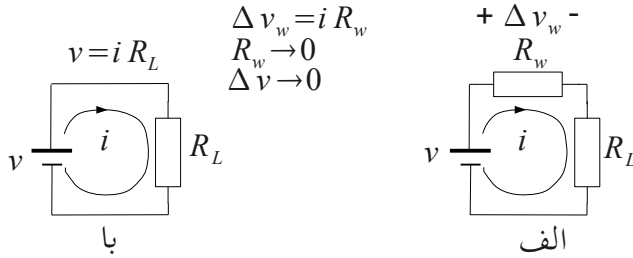
59 برقی رو کی اکائی ایمپیئر ہے جو فرانس کے انڈر میر ایمپیئر کے نام ہے جن کا برقی و مقناطیسی میدان میں اہم کردار ہے

60 copper

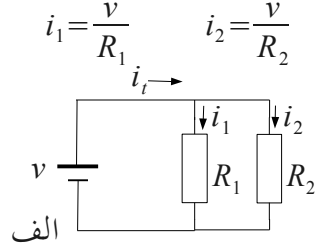
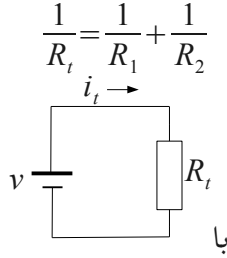
61 resistance

62 مزاحمت کی اکائی اوہم ہے جو جرمنی کے جارج سائمن اوہم کے نام ہے جنہوں نے قانونِ اوہم دریافت کیا

لئے تانبہ کی تار کو عموماً برقی دباؤ کی ایک جگہ سے دوسری جگہ رسائی کے لئے استعمال کیا جاتا ہے اور اس کی مزاحمت کو صفر ہی سمجھا جاتا ہے۔ شکل 2.3 حصہ الف میں ایک ایسا ہی برقی دور دکھایا گیا ہے۔ اس برقی دور میں کل تار کی مزاحمت  $R_{\text{تانبہ}}$  ہے۔ اگر تار کی مزاحمت  $R_{\text{تانبہ}}$  کو نظر انداز کیا جا سکے تو بھی برقی دور 2.3 حصہ با ملتا ہے۔ اس برقی دور میں برقی دباؤ  $v$  کو مزاحمت  $R_L$  تک بغیر کم کئے پہنچایا گیا ہے۔



شکل 2.3: برقی دور میں تار کی مزاحمت کو نظر انداز کیا جاتا ہے



شکل 2.4: برقی بہاؤ کم مزاحمت کے راستے زیادہ ہوتی ہے

شکل 2.4 میں ایک اور مثال دی گئی ہے۔ یہاں ہم دیکھتے ہیں کہ برقی رو اس راستے زیادہ ہوتی ہے جس کی مزاحمت کم ہو۔ لہذا اگر  $R_1 < R_2$  ہو تو  $i_1 > i_2$  ہوگی۔

## 2.4 مقناطیسی دور<sup>63</sup> حصہ اول

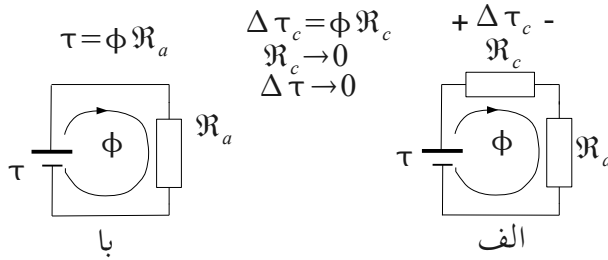
مقناطیسی دور بالکل برقی دور کی طرح ہوتے ہیں۔ بس ان میں برقی دباؤ  $v$  کی جگہ مقناطیسی دباؤ  $\tau$ <sup>64</sup>، برقی رو  $i$  کی جگہ مقناطیسی بہاؤ<sup>65</sup>

<sup>63</sup> magnetic circuit

<sup>64</sup> magneto-motive force (mmf)

<sup>65</sup> magnetic flux

$\phi$  اور مزاحمت  $R$  کی جگی ہچکچاہٹ  $\mathcal{R}^{66}$  ہوتی ہے۔ لہذا ہم بالکل ایک برقی دور کی طرح ایک مقناطیسی دور بنا سکتے ہیں۔ ایسا ہی ایک دور شکل 2.5 حصہ الف میں دکھایا گیا ہے۔



شکل 2.5: مقناطیسی دور

یہاں بھی کوشش یہی ہے کہ کسی طرح مقناطیسی دباؤ  $\tau$  کو بغیر کم کئے ہچکچاہٹ  $\mathcal{R}_a$  تک پہنچایا جائے۔ عموماً  $\mathcal{R}_a$  خلائی درز کی ہچکچاہٹ ہوتی ہے اور  $\mathcal{R}_c$  مقناطیسی مرکز کی یہاں بھی اگر  $\mathcal{R}_c$  کو نظر انداز کرنا ممکن ہو تو ہمیں شکل 2.5 حصہ ب ملتا ہے جس میں مقناطیسی بہاؤ  $\phi$  کو، بالکل اوہم کے قانون کی طرح، مساوات سے حل کیا جا سکتا ہے۔ یعنی

66 reluctance

$$\tau = \phi \mathcal{R}_a \quad (2.11)$$

اگر  $\mathcal{R}_c$  کو نظر انداز کرنا ممکن نہ ہو تب بالکل سلسلہ وار مزاحمتوں کی طرح ہم اس شکل میں دیئے گئے دو سلسلہ وار ہچکچاہٹوں کا مجموعہ ہچکچاہٹ  $\mathcal{R}_s$  کو استعمال کر کے برقی رو کا حساب لگائیں گے، یعنی

$$\mathcal{R}_s = \mathcal{R}_c + \mathcal{R}_a \quad (2.12)$$

$$\tau = \phi \mathcal{R}_s \quad (2.13)$$

بالکل برقی مثال کی طرح، مقناطیسی دباؤ کو کم ہچکچاہٹ والے راستے سے اس جگہ پہنچایا جاتا ہے جہاں اس کی ضرورت ہو۔ مساوات 2.2 سے ہم دیکھتے ہیں کہ ہچکچاہٹ، مقناطیسی نفوذ پذیری  $\mu$  سے منسلک ہے۔  $\mu$  کو عموماً  $\mu = \mu_r \mu_0$  لکھا جاتا ہے جہاں  $\mu_0 = 4\pi \cdot 10^{-7}$  ہینری فی میٹر<sup>67</sup> کے برابر ہے۔ لوہا، کچھ دھاتیں اور چند جدید مصنوعی اشیاء ایسی ہیں جن کی  $2000 < \mu_r < 80000$  ہے۔ لہذا انہیں کو مقناطیسی دباؤ ایک جگہ سے دوسری جگہ منتقلی کے لئے استعمال کیا جاتا ہے۔ البتہ  $\mu$  کی مقدار اتنی نہیں ہے کہ اس سے بنی سلاخ کی ہچکچاہٹ ہر جگہ نظر انداز کی جا سکے۔

---

67 Henry per meter ( H/m )



مساوات 2.2 سے ہم دیکھتے ہیں کہ ہچکچاہٹ کم سے کم کرنے کی خاطر رقبہ عمودی تراش زیادہ سے زیادہ رکھنی پڑتی ہے۔ لہذا عموماً مقناطیسی دباؤ منتقل کرنے کے لئے ایک تار نہیں بلکہ خاصی زیادہ سطح عمودی تراش رکھنے والا راستہ درکار ہوتا ہے جسے مقناطیسی مرکز<sup>68</sup> کہتے ہیں۔ برقی آلوں میں استعمال مقناطیسی مرکز لوہے کی باریک چادر یا پتری<sup>69</sup> تہہ در تہہ رکھ کر بنائی جاتی ہے۔ مقناطیسی مرکز کے بارے میں ہم حصہ 2.8 میں مزید معلومات حاصل کریں گے۔

## 2.5 کثافت مقناطیسی بہاؤ<sup>70</sup> اور مقناطیسی میدان کی شدت<sup>71</sup>

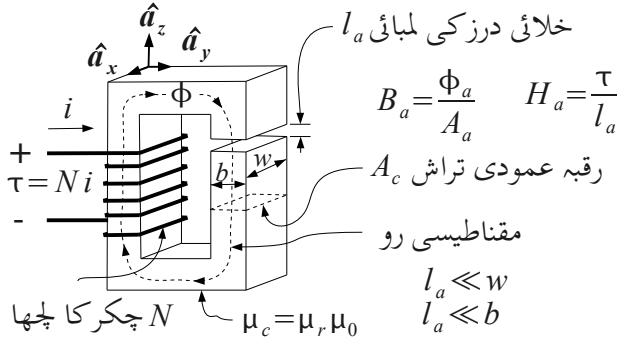
حصہ 2.2 میں ہم نے برقی مثال دی۔ یہاں ہم مقناطیسی مثال پیش کرتے ہیں۔ شکل 2.6 میں ایک مقناطیسی مثال دکھائی گئی ہے۔ یہاں مقناطیسی مرکز کی  $\mu_r = \infty$  تصور کی گئی ہے لہذا اس مرکز کی ہچکچاہٹ  $\mathcal{R}_c$  صفر ہو گئی۔ لہذا جیسے حصہ 2.2 میں تانبہ کی تار استعمال کی گئی تھی یہاں اسی طرح مقناطیسی مرکز کو مقناطیسی دباؤ  $\tau$  ایک جگہ سے دوسری جگہ منتقل کرنے کے لئے استعمال کیا گیا ہے۔ اس شکل میں مقناطیسی دباؤ کو خلائی درز کی مزاحمت  $\mathcal{R}_a$  تک پہنچایا گیا ہے۔

68 magnetic core

69 laminations

70 magnetic flux density

71 magnetic field intensity



شکل 2.6: کثافتِ مقناطیسی بہاؤ اور مقناطیسی میدان کی شدت

لہذا یہاں کل ہچکچاہٹ صرف خلائی درز کی ہچکچاہٹ ہی ہے یعنی

$$\mathfrak{R}_a = \frac{l_a}{\mu_0 A_a} \quad (2.14)$$

خلائی درز کے رقبہ عمودی تراش  $A_a$  کو مرکز کے رقبہ عمودی تراش  $A_c$  کے برابر لیا گیا ہے۔ یعنی

$$A_a = A_c = w b \quad (2.15)$$

اگر خلائی درز کی لمبائی  $l_a$  مرکز کے رقبہ کے اطراف  $b$  اور  $w$  سے نہایت کم ہو یعنی  $l_a \ll b$  اور  $l_a \ll w$  تب ایسا کرنا ممکن ہوتا ہے۔ اس کتاب میں یہی کیا جائے گا۔

مقناطیسی دباؤ کو یوں بیان کیا جاتا ہے

$$\tau = N i \quad (2.16)$$

یعنی برقی تار کے چکر ضرب ان میں برقی رو۔ لہذا مقناطیسی دباؤ کی اکائی ایمپیئر۔ چکر<sup>72</sup> ہے۔ بالکل حصہ 2.2 کی طرح ہم مساوات 2.13 کو یوں لکھ سکتے ہیں۔

$$\Phi_a = \frac{\tau}{\mathfrak{R}_a} \quad (2.17)$$

---

72 ampere-turn

مقناطیسی بہاؤ کی اکائی ویبر<sup>73</sup> ہے اور ہچکچاہٹ کی اکائی ایمپیئر-چکر فی ویبر<sup>74</sup> ہے۔ خلائی درز میں مقناطیسی بہاؤ  $\Phi_a$  اور مرکز میں مقناطیسی بہاؤ  $\Phi_c$  برابر ہیں۔ اس مساوات کو مساوات 2.2 کی مدد سے یوں لکھ سکتے ہیں۔

$$\Phi_a = \tau \left( \frac{\mu_0 A_a}{l_a} \right) \quad (2.18)$$

$$\left( \frac{\Phi_a}{A_a} \right) = \mu_0 \left( \frac{\tau}{l_a} \right) \quad (2.19)$$

اس مساوات میں بائیں جانب مقناطیسی بہاؤ فی اکائی رقبہ کو کثافتِ مقناطیسی بہاؤ  $B_a$  اور دائیں جانب برقی دباؤ فی اکائی لمبائی کو مقناطیسی میدان کی شدت<sup>75</sup>  $H_a$  لکھا جا سکتا ہے۔ یعنی

$$B_a = \frac{\Phi_a}{A_a} \quad (2.20)$$

---

73 Weber: یہ اکائی جرمنی کے ولیم اڈورڈ ویبر کے نام ہے جن کا برقی و مقناطیسی میدان میں اہم کردار رہا ہے

74 ampere-turn per weber

75 magnetic field intensity

$$H_a = \frac{\tau}{l_a} \quad (2.21)$$

کثافتِ مقناطیسی بہاؤ کی اکائی ویبر فی مربہ میٹر ہے جس کو ٹیسلہ<sup>76</sup> کا نام دیا گیا ہے۔ مقناطیسی میدان کی شدت کی اکائی ایمپیئر فی میٹر<sup>77</sup> ہے۔ لہذا مساوات 2.19 کو ہم لکھ سکتے ہیں۔

$$B_a = \mu_0 H_a \quad (2.22)$$

جہاں متن سے واضح ہو کہ مقناطیسی میدان کی بات ہو رہی ہے وہاں مقناطیسی میدان کی شدت کو میدانی شدت<sup>78</sup> کہا جاتا ہے۔ شکل میں ہم دیکھتے ہیں کہ خلائی درز میں مقناطیسی بہاؤ کی سمت، اکائی سمتیہ  $\hat{a}_z$  کی الٹ سمت میں ہے لہذا ہم کثافتِ مقناطیسی بہاؤ کو  $B_a = -B_a \hat{a}_z$  لکھ سکتے ہیں۔ اسی طرح خلائی درز میں مقناطیسی دباؤ اکائی سمتیہ  $\hat{a}_z$  کی الٹ سمت میں دباؤ ڈال رہی ہے لہذا ہم مقناطیسی دباؤ کی شدت کو  $H_a = -H_a \hat{a}_z$  لکھ سکتے ہیں۔ لہذا اس مساوات کو یوں لکھا جا سکتا ہے۔

---

76 Tesla: یہ اکائی سربیا کے نکولا ٹیسلہ کے نام ہے جنہوں نے بدلتی رو برقی طاقت عام کرنے میں اہم کردار ادا کیا

77 ampere per meter

78 field intensity

$$B_a = \mu_0 H_a \quad (2.23)$$

اگر خلاء کی جگہ کوئی ایسے مادہ ہو جس کی  $\mu = \mu_r \mu_0$  ہو، تب ہم اس مساوات کو یوں لکھتے

$$B = \mu H \quad (2.24)$$

مثال 2.2:

شکل 2.6 میں خلائی درز میں کثافتِ مقناطیسی بہاؤ 0.1 ٹیسلا درکار ہے۔ مرکز کی  $\mu_r = \infty$  ہے اور خلائی درز کی لمبائی 1 ملی میٹر ہے۔ اگر مرکز کے گرد برقی تار کے 100 چکر ہوں تو ان میں درکار برقی رو معلوم کریں۔  
حل:

$$\tau = \Phi \Re$$

$$N i = \Phi \left( \frac{l}{\mu_0 A} \right)$$

$$\frac{\Phi}{A} = \frac{N i \mu_0}{l}$$

لہذا

$$0.1 = \frac{100 \times i \times 4 \pi 10^{-7}}{0.001}$$

$$i = \frac{0.1 \times 0.001}{100 \times 4 \pi 10^{-7}} = 0.79567 A$$

یعنی 0.79567 ایمپیئر برقی رو سے خلائی درز میسی 0.1 ٹیسلا کثافت مقناطیسی بہاؤ حاصل ہو جائے گی۔

## 2.6 مقناطیسی دور حصہ دوم

شکل 2.7 میں ایک سادہ مقناطیسی نظام دکھایا گیا ہے جس میں مرکز کی نفوذ پذیری کو محدود تصور کیا گیا ہے۔ شکل میں مقناطیسی دباؤ  $\tau = N i$  مقناطیسی مرکز میں مقناطیسی بہاؤ  $\Phi_c$  کو جنم دیتی ہے۔ یہاں مرکز کا رقبہ عمودی تراش  $A_c$  ہر جگہ یکساں ہے اور مرکز میں نقطہ دار لکیر کی لمبائی  $l_c$  ہے۔ مرکز میں مقناطیسی بہاؤ کی سمت فلیمنگ کے دائیں ہاتھ کے قانون<sup>79</sup> سے معلوم کی جا سکتی ہے۔ اس قانون کو دو طریقوں سے بیان کیا جا سکتا

79 Fleming's right hand rule

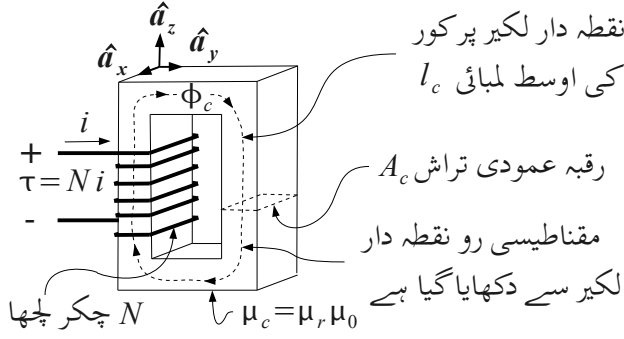
ہے۔

1. اگر ایک چمھے کو دائی ہاتھ سے یوں پکڑا جائے کہ ہاتھ کی چار انگلیاں چمھے میں برقی رو کی سمت میں لپٹی ہوں تو انگوٹھا اُس مقناطیسی ہاؤ کی سمت میں ہوگا جو اس برقی رو کی وجہ سے وجود میں آئیگا۔

2. اگر ایک تار جس میں برقی رو کا گزر ہو، کو دائی ہاتھ سے یوں پکڑا جائے کہ انگوٹھا برقی رو کی سمت میں ہو تو باقی چار انگلیاں اُس مقناطیسی رو، جو اس برقی رو کی وجہ سے وجود میں آئے، کی سمت میں لپٹی ہوں گی۔

ان دو بیانات میں پہلا بیان، چمھے میں مقناطیسی ہاؤ کی سمت معلوم کرنے کے لئے زیادہ آسان ثابت ہوتا ہے جبکہ کسی ایک سیدھی تار کے گرد مقناطیسی ہاؤ کی سمت دوسرے بیان سے زیادہ آسانی سے معلوم کی جا سکتی ہے۔





شکل 2.7: سادہ مقناطیسی دور

لہذا مرکز میں مقناطیسی بہاؤ گھڑی کے سمت میں ہے۔ یہ شکل میں نقطہ دار لکیر پر تیر کے نشان سے ظاہر کیا گیا ہے۔ یہاں مرکز کی ہیچکچاٹ

$$\mathcal{R}_c = \frac{l_c}{\mu_c A_c} \quad (2.25)$$

$$\Phi_c = \frac{\tau}{\mathfrak{R}_c} = N i \left( \frac{\mu_c A_c}{l_c} \right) \quad (2.26)$$

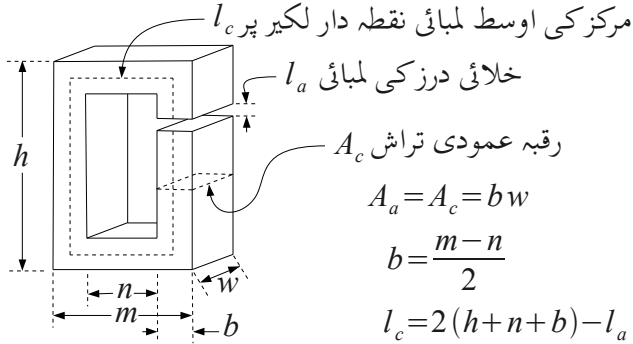
اس طرح ہم سب متغیرہ حاصل کر سکتے ہیں۔

مثال 2.3:

شکل 2.8 میں ایک مقناطیسی دور دکھایا گیا ہے جہاں

$$\text{کور} = \begin{cases} h = 20 \text{ cm} & m = 10 \text{ cm} \\ n = 8 \text{ cm} & w = 2 \text{ cm} \\ l_a = 1 \text{ mm} & u_r = 40000 \end{cases} \quad (2.27)$$

ہیں۔ مرکز اور خلائی درز کی ہچکچاہٹیں حاصل کریں۔



شکل 2.8: خلائی درز اور مرکز کے ہچکچاہٹ

حل:

$$b = \frac{m-n}{2} = \frac{0.1-0.08}{2} = 0.01 \text{ m}$$

$$A_a = A_c = bw = (0.01)(0.02) = 0.0002 \text{ m}^2$$

$$l_c = 2(h+n+b) - l_a = 2(0.2+0.08+0.01) - 0.001 = 0.579 \text{ m}$$

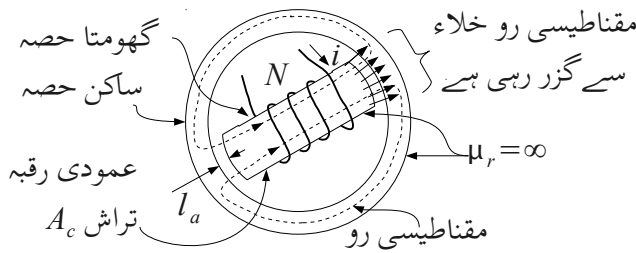
$$\mathfrak{R}_c = \frac{l_c}{\mu_r \mu_0 A_c} = \frac{0.579}{40000 \times 4\pi 10^{-7} \times 0.0002} = 57586 \text{ A} \cdot \text{t} / \text{Wb}$$

$$\mathfrak{R}_a = \frac{l_a}{\mu_0 A_a} = \frac{0.001}{4\pi 10^{-7} \times 0.0002} = 3978358 \text{ A} \cdot \text{t} / \text{Wb}$$

ہم دیکھتے ہیں اگرچہ مرکز کی لمبائی خلائی درز کی لمبائی سے 579 گنا زیادہ ہے تب بھی خلائی درز کی ہچکچاہٹ 69 گنا زیادہ ہے یعنی  $\mathcal{R}_a \gg \mathcal{R}_c$

مثال 2.4:

شکل 2.9 سے رجوع کریں۔ اگر ایک خلائی درز 5 ملی میٹر لمبا ہو اور گھومتے حصہ پر 1000 چکر ہوں تو خلائی درز میں 0.95 ٹیسلا کثافت برقی بہاؤ حاصل کرنے کی خاطر درکار برقی رو معلوم کریں۔



شکل 2.9: سادہ گھومنے والا مشین

حل:

اس شکل میں ایک گھومتے مشین، مثلاً موٹر، کی ایک سادہ شکل دکھائی گئی ہے۔ ایسے آلوں میں بابر کا حصہ ساکن رہتا ہے جس کو مشین کا ساکن حصہ کہتے ہیں اور اس ساکن حصہ کے اندر اس کا ایک حصہ گھومتا ہے جسے گھومتا حصہ کہتے ہیں۔ اس مثال میں ان دونوں حصوں کا  $\mu_r = \infty$  ہے لہذا ان کی ہچکچاہٹ صفر ہے۔ مقناطیسی بہاؤ نقطہ دار لکیر سے ظاہر کی گئی ہے۔ یہ خلائی درز میں سے، ایک مکمل چکر کے دوران، دو مرتبہ گزرتی ہے۔ یہ دو خلائی درز ہر لحاظ سے ایک جیسے ہیں لہذا ان دونوں خلائی درز کی ہچکچاہٹ بھی برابر ہوں گی۔ مزید یہ کہ ان خلائی درز کی ہچکچاہٹ سلسلہ وار ہیں۔ شکل میں مقناطیسی بہاؤ کو گھومتے حصہ سے ساکن حصہ کی طرف، خلائی درز سے گزرتے دکھایا گیا ہے۔ خلائی درز کی لمبائی  $l_a$  بہت کم ہے لہذا خلائی درز کا عمودی رقبہ تراش  $A_a$  وہی ہوگا جو گھومتے حصہ کا ہے یعنی  $A_c$  ایک خلائی درز کی ہچکچاہٹ

$$\mathfrak{R}_a = \frac{l_a}{\mu_0 A_a} = \frac{l_a}{\mu_0 A_c} \quad (2.28)$$

ہے۔ لہذا کُل ہچکچاہٹ ہو گی

$$\mathfrak{R}_s = \mathfrak{R}_a + \mathfrak{R}_a = \frac{2l_a}{\mu_0 A_c} \quad (2.29)$$

یوں خلائی درز میں مقناطیسی بہاؤ  $\Phi_a$  اور کثافتِ مقناطیسی بہاؤ  $B_a$  یہ ہوں گے۔

$$\Phi_a = \frac{\tau}{\mathfrak{R}_s} = (Ni) \left( \frac{\mu_0 A_c}{2l_a} \right) = \frac{\mu_0 Ni A_c}{2l_a} \quad (2.30)$$

$$B_a = \frac{\Phi_a}{A_a} = \frac{\mu_0 Ni}{2l_a} \quad (2.31)$$

اس مساوات میں اعداد استعمال کرتے ہیں

$$0.95 = \frac{4\pi 10^{-7} \times 1000 \times i}{2 \times 0.005}$$

$$i = \frac{0.95 \times 2 \times 0.005}{4\pi 10^{-7} \times 1000} = 7.558879694 \text{ A}$$

موثر اور جنریٹروں کی خلاء میں تقریباً ایک ٹیسلا کثافتِ برقی بہاؤ ہوتی

## 2.7 خود امالہ<sup>80</sup>، مشترکہ امالہ<sup>81</sup> اور توانائی

مقناطیسی بہاؤ کی، وقت کے ساتھ تبدیلی، برقی دباؤ  $e$  کو جنم دیتی ہے۔ لہذا اگر شکل 2.6 کے مرکز میں مقناطیسی بہاؤ تبدیل ہو رہی ہو تو اس کی وجہ سے اس کے چلھے میں برقی دباؤ پیدا ہوگی جو کہ اس چلھے کے سروں پر نمودار ہوگی۔ اس طرح پیدا ہونے والی برقی دباؤ کو امالی برقی دباؤ<sup>82</sup> کہتے ہیں۔ قانونِ فیراڈے<sup>83</sup> کے تحت<sup>84</sup>

$$e = N \frac{\partial \Phi}{\partial t} = \frac{\partial \lambda}{\partial t} \quad (2.32)$$

اس مساوات میں ہم چلھے میں، وقت کے ساتھ تبدیل ہونے والی، مقناطیسی بہاؤ کو  $\Phi$  سے ظاہر کر رہے ہیں۔  $N \Phi$  کو چلھے کی ارتباطِ بہاؤ

80 self inductance

81 mutual inductance

82 induced voltage

83 Michael Faraday

84 مائیکل فیراڈے انکلسٹانی سائنسدان تھے جنہوں نے محرک برقی دباؤ دریافت کی

<sup>85</sup>  $\lambda$  کہتے ہیں جس کی اکائی ویبر-چکر<sup>86</sup> ہے۔ اس امالی برقی دباؤ کی سمت کا تعین یوں کیا جاتا ہے کہ اگر دیئے گئے چلھے کی سروں کو کسر دور<sup>87</sup> کیا جائے تو اس میں برقی رو اُس سمت میں ہوگی جس میں مقناطیسی بہاؤ کی تبدیلی کو روکا جا سکے۔

جن مقناطیسی دوروں میں نفوذ پذیری<sup>88</sup>  $\mu$  کو اٹل مقدار تصور کیا جا سکے یا جن میں خلائی درز کی ہچکچاہٹ مرکز کی ہچکچاہٹ سے بہت زیادہ ہو یعنی  $\mathcal{R}_a \gg \mathcal{R}_c$ ، ان حالات میں ہم چلھے کی امالہ<sup>89</sup>  $L$  کو یوں بیان کرتے ہیں۔

$$L = \frac{\lambda}{i} \quad (2.33)$$

امالہ کی اکائی ویبر-چکر فی ایمپیئر ہے جس کو ہینری<sup>90</sup>  $H$  کا نام دیا گیا ہے۔ لہذا

---

85 flux linkage

86 weber-turn

87 short circuit

88 permeability

89 inductance

90 Henry (H)

91 امریکی سائنسدان جوزف ہینری جنہوں نے مائیکل فیراڈے سے علیحدہ طور پر محرک برقی دباؤ دریافت کی



$$L = \frac{N\Phi}{i} = \frac{N B_c A_c}{i} = \frac{N^2 \mu_0 A_a}{l_a} \quad (2.34)$$


---

مثال 2.5:

شکل 2.6 میں آگر  $b=5\text{ cm}$ ,  $w=4\text{ cm}$ ,  $l_a=3\text{ mm}$  ہو  
 لچھے کے 1000 چکر ہوں اور مرکز کے گرد اوسط لمبائی  
 $l_c=30\text{ cm}$  ہو تب ان دو صورتوں میں لچھے کی امالہ معلوم

کریں۔

- مرکز کی  $\mu_r = \infty$  ہے
- مرکز کی  $\mu_r = 500$  ہے

حل:

پہلی صورت میں مرکز کی  $\mu_r = \infty$  ہونے کی وجہ سے مرکز کی  
 بچکچاہٹ نظر انداز کی جا سکتی ہے۔ یوں

$$\begin{aligned}
 L &= \frac{N^2 \mu_0 w b}{l_a} \\
 &= \frac{1000^2 \times 4 \pi 10^{-7} \times 0.04 \times 0.05}{0.003} \\
 &= 0.8378666 H
 \end{aligned}$$

دوسری صورت میں  $\mu_r = 500$  ہے۔ یوں مرکز کی ہچکچاہٹ صفر نہیں۔ خلاء اور مرکز کی ہچکچاہٹ پہلے دریافت کرتے ہیں

$$\begin{aligned}
 \mathfrak{R}_a &= \frac{l_a}{\mu_0 w b} = \frac{0.003}{4 \pi 10^{-7} \times 0.04 \times 0.05} = 1193507 A \cdot \text{turns} / Wb \\
 \mathfrak{R}_c &= \frac{l_c}{\mu_r \mu_0 w b} = \frac{0.3}{500 \times 4 \pi 10^{-7} \times 0.04 \times 0.05} = 238701 A \cdot \text{turns} / Wb
 \end{aligned}$$

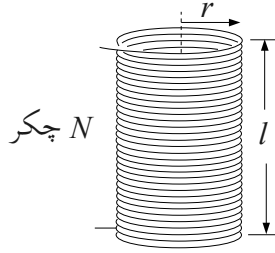
لہذا

$$\begin{aligned}
 \Phi &= \frac{N i}{\mathfrak{R}_c + \mathfrak{R}_a} \\
 \lambda &= N \Phi = \frac{N^2 i}{\mathfrak{R}_c + \mathfrak{R}_a} \\
 L &= \frac{\lambda}{i} = \frac{N^2}{\mathfrak{R}_c + \mathfrak{R}_a} = \frac{1000 \times 1000}{238701 + 1193507} = 0.69822 H
 \end{aligned}$$

مثال 2.6:

شکل میں ایک پیچدار لچھا <sup>92</sup> دکھایا گیا ہے جس کی تفصیل یوں ہے

$$N=11; \quad r=0.49\text{m}; \quad l=0.94\text{m}$$



شکل 2.10: پیچدار لچھا

ایسے پیچدار لچھے کی بیشتر مقناطیسی بہاؤ لچھے کے اندر محوری سمت میں ہوتی ہے۔ لچھے کے باہر مقناطیسی بہاؤ کی مقدار قابل نظر انداز ہوتی ہے۔ یوں

لچھے کے اندر محوری جانب مقناطیسی شدت

$$H = \frac{N i}{l}$$

ہوتی ہے۔

اس لچھے کی خود امالہ حاصل کریں۔

حل:

$$B = \mu_0 H = \frac{\mu_0 N i}{l}$$

$$\Phi = B \pi r^2 = \frac{\mu_0 N i \pi r^2}{l}$$

$$\lambda = N \Phi = \frac{\mu_0 N^2 i \pi r^2}{l}$$

$$L = \frac{\lambda}{i} = \frac{\mu_0 N^2 \pi r^2}{l}$$

یوں

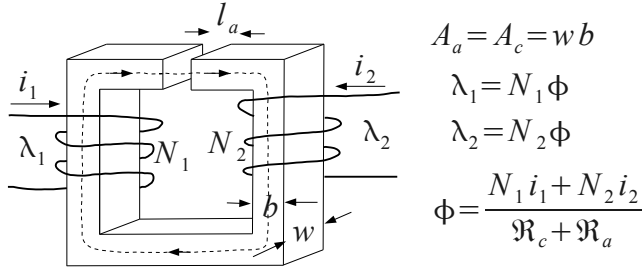
$$L = \frac{4\pi \times 10^{-7} \times 11^2 \times \pi \times 0.49^2}{0.94} = 122 \times 10^{-6} \text{ H}$$

یہ پیچدار لچھا میں نے 3000 کلوگرام لوہا گلانے والی بھٹی میں استعمال کیا ہے۔<sup>93</sup>

شکل 2.11 میں دو لچھے والا ایک مقناطیسی دور دکھایا گیا ہے۔ ایک لچھے کے  $N_1$  چکر ہیں اور اس میں برقی رو  $i_1$  ہے اور دوسرا لچھا  $N_2$  چکر کا ہے اور اس میں برقی رو  $i_2$  ہے۔ دونوں لچھوں میں برقی رو کی سمتیں یوں ہیں کہ ان دونوں کا مقناطیسی دباؤ جمع ہو۔ یوں اگر مرکز کے امالہ کو نظر انداز کیا جائے تو ہم مقناطیسی بہاؤ  $\Phi$  کے لئے لکھ سکتے ہیں

$$\Phi = (N_1 i_1 + N_2 i_2) \frac{\mu_0 A_a}{l_a} \quad (2.35)$$

93 یہاں آپ مثال 4.4 بھی دیکھنا پسند کریں گے



شکل 2.11: دو لچھے والا مقناطیسی دور

یہاں  $\phi$  دونوں لچھوں کے مجموعی مقناطیسی دباؤ یعنی  $N_1 i_1 + N_2 i_2$  سے پیدا ہونے والا مقناطیسی بہاؤ ہے۔ اس مقناطیسی بہاؤ کی ان لچھوں کے ساتھ ارتباط کو یوں لکھا جا سکتا ہے۔

$$\lambda_1 = N_1 \phi = N_1^2 \frac{\mu_0 A_a}{l_a} i_1 + N_1 N_2 \frac{\mu_0 A_a}{l_a} i_2 \quad (2.36)$$

اس کو یوں لکھا جا سکتا ہے

$$\lambda_1 = L_{11} i_1 + L_{12} i_2 \quad (2.37)$$

جہاں

$$L_{11} = N_1^2 \frac{\mu_0 A_a}{l_a} \quad (2.38)$$

$$L_{12} = N_1 N_2 \frac{\mu_0 A_a}{l_a} \quad (2.39)$$

ہیں۔ یہاں  $L_{11}$  پہلے چمھے کی خود امالہ<sup>94</sup> ہے اور  $L_{11} i_1$  اس چمھے کی اپنے برقی رو  $i_1$  سے پیدا مقناطیسی بہاؤ کے ساتھ ارتباط بہاؤ ہے جسے خود ارتباط بہاؤ<sup>95</sup> کہتے ہیں۔  $L_{12}$  ان دونوں چمھوں کا مشترکہ امالہ<sup>96</sup> ہے اور  $L_{12} i_2$  چمھا نمبر-1 کے ساتھ برقی رو  $i_2$  کی وجہ سے پیدا کردہ مقناطیسی بہاؤ کا ارتباط بہاؤ ہے جسے مشترکہ ارتباط بہاؤ<sup>97</sup> کہتے ہیں۔ بالکل اسی طرح ہم دوسرے چمھے کے لئے لکھ سکتے ہیں

---

94 self inductance

95 self flux linkage

96 mutual inductance

97 mutual flux linkage

$$\lambda_2 = N_2 \Phi = N_1 N_2 \frac{\mu_0 A_a}{l_a} i_1 + N_2^2 \frac{\mu_0 A_a}{l_a} i_2 \quad (2.40)$$

$$\lambda_2 = L_{21} i_1 + L_{22} i_2 \quad (2.41)$$

$$L_{22} = N_2^2 \frac{\mu_0 A_a}{l_a} \quad (2.42)$$

$$L_{12} = L_{21} = N_1 N_2 \frac{\mu_0 A_a}{l_a} \quad (2.43)$$

$L_{22}$  دو نمبر چلھے کی خود امالہ اور  $L_{21} = L_{12}$  ان دو چلھوں کی مشترکہ امالہ ہے۔ یہاں یہ واضح کرنا ضروری ہے کہ امالہ کا تصور اس وقت کارآمد ہوتا جب ہم نفوذ پذیری  $\mu$  کو اٹل تصور کر سکیں۔

مساوات 2.33 کو مساوات 2.32 میں استعمال کریں تو

$$e = \frac{\partial \lambda}{\partial t} = \frac{\partial (N \Phi)}{\partial t} = \frac{\partial (L i)}{\partial t} \quad (2.44)$$



اگر امالہ مقررہ ہو جیسا کہ ساکن آلوں میں ہوتا ہے تب ہمیں امالہ کی جانی پہچانی مساوات ملتی ہے

$$e = L \frac{\partial i}{\partial t} \quad (2.45)$$

مگر اگر امالہ بھی تبدیل ہو جیسا کہ موٹروں اور جنریٹروں میں ہوتا ہے تب

$$e = L \frac{\partial i}{\partial t} + i \frac{\partial L}{\partial t} \quad (2.46)$$

توانائی<sup>98</sup> کی اکائی جاؤل<sup>99</sup>  $J$  ہے اور طاقت<sup>101</sup> کی اکائی<sup>102</sup> جاؤل فی سیکنڈ یا واٹ<sup>103</sup> ہے۔

---

98 energy

99 Joule (J)

100 جیمس پریسکوٹ جاؤل انگلستانی سائنسدان جنہوں نے حرارت اور میکانی کام کا رشتہ دریافت کیا

101 power

102 سکاٹلینڈ کے جیمز واٹ جنہوں نے بخارات پر چلنے والے انجن پر کام کیا

103 Watt (W)

اس کتاب میں توانائی یا کام کو  $W$  سے ظاہر کیا جائے گا مگر طاقت کی اکائی واٹ کے لئے بھی  $W$  ہی کی علامت استعمال ہوتی ہے۔ امید کی جاتی ہے کہ اس سے غلطی پیش نہیں آئے گی اور استعمال کو دیکھ کر یہ فیصلہ کرنا کہ اس کا کون سا مطلب لیا جا رہا ہے دشوار نہ ہوگا۔

وقت کے ساتھ توانائی کی شرح کو طاقت کہتے ہیں لہذا کسی چلھے کے لئے ہم لکھ سکتے ہیں

$$p = \frac{\partial W}{\partial t} = ie = i \frac{\partial \lambda}{\partial t} \quad (2.47)$$

لہذا ایک مقناطیسی دور میں  $t_1$  سے  $t_2$  تک کے وقفے میں مقناطیسی توانائی میں تبدیلی کو تکمیل کے ذریعہ یوں حاصل کیا جا سکتا ہے۔

$$\Delta W = \int_{t_1}^{t_2} p dt = \int_{\lambda_1}^{\lambda_2} i d\lambda \quad (2.48)$$

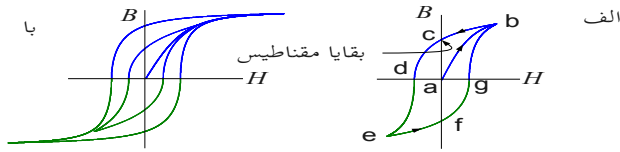
اگر مقناطیسی دور میں ایک ہی چلھا ہو اور اس دور میں امالہ اٹل ہو تب

$$\Delta W = \int_{\lambda_1}^{\lambda_2} i d\lambda = \int_{\lambda_1}^{\lambda_2} \frac{\lambda}{L} d\lambda = \frac{1}{2L} (\lambda_2^2 - \lambda_1^2) \quad (2.49)$$

اگر ہم لمحہ  $t_1$  پہ  $\lambda_1 = 0$  تصور کریں تب ہم کسی دیئے گئے  $\lambda$  پہ مقناطیسی توانائی کو یوں لکھ سکتے ہیں

$$\Delta W = \frac{\lambda^2}{2L} = \frac{Li^2}{2} \quad (2.50)$$

## 2.8 مقناطیسی مادہ کے خصوصیات



شکل 2.12:  $B-H$  کے خط یا مقناطیسی چال کے دائرے

مقناطیسی دوروں میں مرکز استعمال کرنے سے دو طرح کے فوائد حاصل ہوتے ہیں۔ مرکز کے استعمال سے ایک تو کم مقناطیسی دباؤ سے زیادہ مقناطیسی بہاؤ پیدا کی جا سکتی ہے اور دوسری، مقناطیسی بہاؤ کو اپنی مرضی کے راستوں پابند کیا جاسکتا ہے۔ ٹرانسفارمرز میں مرکز کو استعمال کر کے مقناطیسی بہاؤ کو اس طرح پابند کیا جاتا ہے کہ جو مقناطیسی بہاؤ ایک چلھے سے گزرتا ہے، وہی مقناطیسی بہاؤ، سارا کا سارا، باقی چلھوں سے بھی گزرتا ہے۔ موٹروں میں مرکز کو استعمال کر کے مقناطیسی بہاؤ کو یوں پابند کیا جاتا ہے کہ زیادہ سے زیادہ قوت پیدا ہو جبکہ جنریٹروں میں اسے زیادہ سے زیادہ برقی دباؤ حاصل کرنے کی نیت سے پابند کیا جاتا ہے۔

مقناطیسی اشیاء کی  $B$  اور  $H$  کے تعلق کو گراف کے ذریعہ سے پیش کیا جاتا ہے۔ لوہا نما مقناطیسی اشیاء کی  $B-H$  گراف شکل 2.12 الف میں دکھائی گئی ہے۔ ایک لوہا نما مقناطیسی شہ جس میں کسی قسم کی مقناطیسی اثر نہ ہو کو نقطہ  $a$  سے ظاہر کیا گیا ہے۔ اس نقطہ پر

$$\begin{aligned} H_a &= 0 \\ B_a &= 0 \end{aligned} \quad (2.51)$$

ہیں۔

ایسی شہ کو چلھے میں رکھ کر اس پر مقناطیسی دباؤ لاگو کی جا سکتی ہے۔ مقناطیسی میدان کی شدت  $H$  لاگو کرنے سے لوہا نما مقناطیسی شہ میں کثافتِ مقناطیسی بہاؤ  $B$  پیدا ہوگی۔ میدانی شدت بڑھانے سے کثافتِ

مقناطیسی بہاؤ بھی بڑھے گی۔ اس عمل کو نقطہ  $a$  سے شروع ایک نوکدار خط سے دکھلایا گیا ہے۔ میدانی شدت کو نقطہ  $b$  تک بڑھایا گیا ہے جہاں یہ مقداریں  $H_b$  اور  $B_b$  ہیں۔

اگر اس نقطہ تک پہنچنے کے بعد میدانی شدت کم کی جائے تو دیکھا یہ گیا ہے کہ واپسی کی خط مختلف راستہ اختیار کرتی ہے۔ یوں نقطہ  $b$  سے اگر میدانی شدت کم کرتے کرتے صفر کی جائے تو لوہا نما شہ کی کثافت مقناطیسی بہاؤ کم ہو کر نقطہ  $c$  پر آ پہنچتی ہے۔ نقطہ  $b$  سے نقطہ  $c$  تک نوکدار خط اس عمل کو دکھلا رہی ہے۔ اس نقطہ پر بیرونی میدانی شدت صفر ہے لیکن لوہا نما شہ کی کثافت مقناطیسی بہاؤ صفر نہیں۔ یہ اب ایک مقناطیس بن گیا ہے جس کی کثافت مقناطیسی بہاؤ  $B_c$  ہے۔ اس مقدار کو بقایا کثافت مقناطیسی بہاؤ<sup>104</sup> کہتے ہیں۔ مصنوعی مقناطیس اسی طرح بنائے جاتے ہیں۔

اگر یہاں سے میدانی شدت منفی سمت میں بڑھائی جائے تو  $B$  کم ہوتے ہوتے آخر کار ایک بار پھر صفر ہو جاتی ہے۔ اس نقطہ کو  $d$  سے ظاہر کیا گیا ہے۔ مقناطیسیت ختم کرنے کے لئے درکار میدانی شدت کی مقدار  $|H_d|$  کو مقناطیسیت ختم کرنے والی شدت<sup>105</sup> کہتے ہیں۔

منفی سمت میں میدانی شدت بڑھاتے نقطہ  $e$  حاصل ہوتا ہے جہاں سے منفی سمت کی میدانی شدت کی مقدار ایک بار پھر کم کی جاتی ہے۔ یوں نقطہ  $f$  حاصل ہوتا ہے جہاں میدانی شدت صفر ہونے کے باوجود کثافت مقناطیسی بہاؤ صفر نہیں۔ اس نقطہ پر لوہا نما شہ الٹ سمت میں مقناطیس بن چکا ہے اور

104 residual magnetic flux density

105 coercivity

$B_f$  بقایا کثافت مقناطیسی بہاؤ ہے۔ اسی طرح اس جانب مقناطیسیت ختم کرنے کی شدت  $|H_g|$  ہے۔

اگر لوہا نما شہ پر باری باری مثبت اور منفی یکساں میدانی شدت کئی بار لاگو کی جائے تو اس کی  $B-H$  کی خط ایک بند دائرہ کی شکل اختیار کر لیتی ہے جسے مقناطیسی چال کا دائرہ<sup>106</sup> کہتے ہیں<sup>107</sup>۔ یہی شکل کے حصہ الف میں دکھائی گئی ہے۔

حصہ الف میں نقطہ  $a$  سے نقطہ  $b$  پہنچنے کے بعد اگر میدانی شدت مزید بڑھائی جائے اور پھر مقناطیسی چال حاصل کی جائے تو شکل کے حصہ با کا بیرونی بند دائرہ ملتا ہے۔ حصہ الف کی مقناطیسی چال یہاں اندرونی دائرہ سے دکھائی گئی ہے۔

شکل 2.12 کی طرح کے خطوط کی چونچوں (یعنی زیادہ سے زیادہ مقدار واضح کرنے والے نکتوں) میں سے اگر ایک خط گزاری جائے تو شکل 2.13 حاصل ہوتی ہے۔ یہ شکل ٹرانسفارمروں میں استعمال ہونے والی مرکز کی 0.3048 ملی میٹر موٹی پتری کا گراف ہے جسے M5 مرکز کہتے ہیں۔ اس خط میں موجود مواد ایک فہرست کی شکل میں شکل 2.15 میں دیا گیا ہے۔ عموماً مسائل اس خط میں موجود مواد سے حل ہوتے ہیں۔ دھیان رہے کہ اس خط میں H کا پیمانہ لاگ<sup>108</sup> میں دکھایا گیا ہے۔ اسی شکل کے کچھ حصہ کو سادہ گراف کے ذریعہ شکل 2.14 میں دکھایا گیا ہے۔

106 hysteresis loop

107 عام زندگی میں پیچ کی چوڑی میں چال پیدا ہونے سے اسی قسم کے اثرات مرتب ہوتے ہیں

108 log

لوہا نما مقناطیسی اشیاء پر لاگو مقناطیسی شدت بڑھانے سے کثافتِ مقناطیسی بہاؤ بڑھنے کی شرح بتدریج کم ہوتی جاتی ہے حتیٰ کہ آخر کار یہ شرح خلاء کی شرح  $\mu_0$  رہ جاتی ہے یعنی

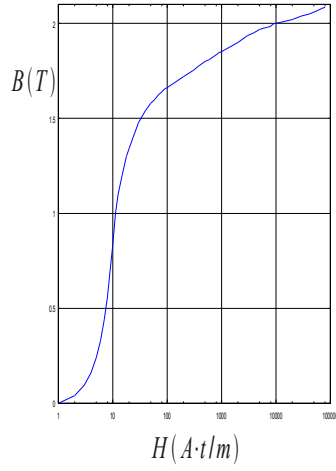
$$\frac{\Delta B}{\Delta H} = \mu_0 \quad (2.52)$$

اس اثر کو سیرابیت<sup>109</sup> کہتے ہیں۔ یہ شکل 2.14 میں دکھائی گئی ہے۔

گراف کو دیکھا جائے تو  $B$  کے کسی ایک متعین مقدار کے لئے  $H$  کے دو ممکنہ مقدار ہیں۔ اگر مقناطیسی بہاؤ بڑھ رہا ہو تو، گراف میپی نیچے سے اُوپر جانے والی لکیر، اس میں  $B$  اور  $H$  کے تعلق کو پیش کرتی ہے اور اگر مقناطیسی بہاؤ کم ہو رہا ہو تو، اوپر سے نیچے آنے والی لکیر، اس تعلق کو پیش کرتی ہے۔ چونکہ  $\mu = B/H$ ، لہذا  $B$  کے مقدار تبدیل ہونے سے  $\mu$  بھی تبدیل ہوتی ہے۔ باوجود اس کے ہم مقناطیسی دوروں میں یہ تصور کرتے ہیں کہ  $\mu$  ایک مقررہ ہے۔ یہ تصور کر لینے سے عموماً جواب پر زیادہ اثر نہیں پڑتا۔

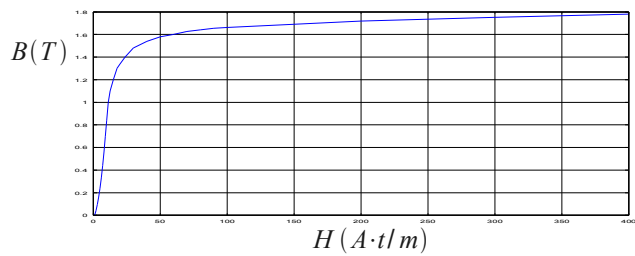
---

109 saturation



شکل  $M5:2.13$  سٹیل کی  $0.3048$  موٹی پتری کا خط  
میدانی شدت کا پیمانہ لاگ ہے





شکل 2.14: مقناطیسی سیرابیت

B	H	B	H	B	H
0.000	0	1.480	30	1.852	1000
0.040	2	1.540	40	1.900	2000
0.095	3	1.580	50	1.936	3000
0.160	4	1.601	60	1.952	4000
0.240	5	1.626	70	1.968	5000
0.330	6	1.640	80	1.975	6000
0.440	7	1.655	90	1.980	7000
0.560	8	1.662	100	1.985	8000
0.700	9	1.720	200	1.998	9000
0.835	10	1.752	300	2.000	10000
1.000	11.22	1.780	400	2.020	20000
1.100	12.59	1.800	500	2.040	30000
1.200	14.96	1.810	600	2.048	40000

1.300	17.78	1.824	700	2.060	50000
1.340	20	1.835	800	2.070	60000
1.400	23.77	1.846	900	2.080	70000

شکل 2.15

مثال 2.7:

شکل 2.13 یا اس کے مساوی فہرست میں دیئے گئے مواد کو استعمال کرتے ہوئے شکل 2.6 کی خلاء میں ایک ٹیسلہ اور دو ٹیسلہ کثافتِ مقناطیسی بہاؤ حاصل کرنے کے لئے درکار برقی رو معلوم کریں۔ اس شکل میں

$$b=5\text{ cm}, w=4\text{ cm}, l_a=3\text{ mm}, l_c=30\text{ cm}, N=1000$$

ہیں۔ مرکز اور خلاء کی رقبہ عمودی تراش برابر لیں۔

حل ایک ٹیسلہ کے لئے:

فہرست سے ہم دیکھتے ہیں کہ مرکز میں 1 ٹیسلہ حاصل کرنے کے لئے مرکز کو 11.22 ایمپیئر-چکرفی میٹر  $H$  درکار ہے۔ یوں 30 سم لمبے مرکز کو  $0.3 \times 11.22 = 3.366$  ایمپیئر چکر درکار ہیں۔

خلاء کو

$$H = \frac{B}{\mu_0} = \frac{1}{4\pi 10^{-7}} = 795671$$

ایمپیئر-چکر فی میٹر درکار ہے۔ لہذا 3 ملی میٹر لمبی خلاء کو  
 $0.003 \times 795671 = 2387$  ایمپیئر چکر درکار ہیں۔

یوں کل ایمپیئر-چکر  $3.366 + 2387 = 2390.366$  ہیں جن سے

$$i = \frac{2390.366}{1000} = 2.390366 A$$

حاصل ہوتی ہے۔

حل دو ٹیسلہ کے لئے:

فہرست سے ہم دیکھتے ہیں کہ مرکز میں 2 ٹیسلہ حاصل کرنے کے لئے  
مرکز کو 10000 ایمپیئر-چکر فی میٹر  $H$  درکار ہے۔ یوں 30 سم لمبے مرکز  
کو  $0.3 \times 10000 = 3000$  ایمپیئر چکر درکار ہیں۔  
خلاء کو

$$H = \frac{B}{\mu_0} = \frac{2}{4\pi 10^{-7}} = 1591342$$

ایمپیئر-چکر فی میٹر درکار ہے۔ لہذا 3 ملی میٹر لمبی خلاء کو  
 $0.003 \times 1591342 = 4774.026$  ایمپیئر چکر درکار ہیں۔

یوں کل ایمپیئر-چکر  $3000 + 4774.026 = 7774.026$  ہیں جن سے

$$i = \frac{7774.026}{1000} = 7.774 A$$

حاصل ہوتی ہے۔

اس مثال میں مقناطیسی سیرایت کے اثرات واضح ہیں۔

---

## 2.9 ہیجان شدہ لچھا

بدلتی رو میں برقی دباؤ اور مقناطیسی بہاؤ سائن نما ہوتے ہیں یعنی یہ وقت کے ساتھ  $\sin \omega t$  یا  $\cos \omega t$  کا تعلق رکھتے ہیں۔ اس سبق میں ہم بدلتی رو سے لچھے کو ہیجان کرنا اور اس سے نمودار ہونے والے برقی توانائی کے ضیاع کا تذکرہ کریں گے۔ شکل 2.19 سے رجوع کریں۔ ہم فرض کرتے ہیں کہ مرکز میں کثافت مقناطیسی بہاؤ

$$B = B_0 \sin(\omega t) \quad (2.53)$$

یوں مرکز میں مقناطیسی بہاؤ

$$\varphi = A_c B = A_c B_0 \sin(\omega t) \quad (2.54)$$

ہے۔ اس مساوات میں مقناطیسی بہاؤ کا حیطہ  $\pm \Phi_0$  اور  $B$  کا حیطہ  $\pm B_0$  ہے۔  $A_c$  مرکز کا رقبہ عمودی تراش ہے جو ہر جگہ یکساں ہے۔  $\omega = 2\pi f$  جہاں  $f$  تعدد ہے۔

فیراڈے کے قانون یعنی مساوات 2.32 کے تحت اس مقناطیسی بہاؤ کی وجہ سے چمھے میں  $e(t)$  برقی دباؤ پیدا ہوگی۔

$$\begin{aligned} e(t) &= \frac{\partial \lambda}{\partial t} \\ &= \omega N \Phi_0 \cos(\omega t) \\ &= \omega N A_c B_0 \cos(\omega t) \\ &= E_0 \cos(\omega t) \end{aligned} \quad (2.55)$$

جس کا حیطہ

$$E_0 = \omega N \Phi_0 = 2\pi f N A_c B_0 \quad (2.56)$$

ہے۔  $e(t)$  کو امالی برقی دباؤ<sup>110</sup> کہتے ہیں۔

ہم بدلتی رو مقداروں کے مربع کی اوسط کے جزر<sup>111</sup> میں دلچسپی رکھتے ہیں۔ یہی ان مقداروں کی موثر قیمت<sup>112</sup> ہوتی ہے۔ جیسا مساوات 1.50 میں دیکھا گیا ہے، ایک سائن نما موج کے لئے یہ مقدار اس کے حیطہ کے  $1/\sqrt{2}$  گنا ہوتی

---

110 induced voltage

111 root mean square (rms)

112 effective value

ہے لہذا

$$E_{rms} = \frac{E_0}{\sqrt{2}} = \frac{2\pi}{\sqrt{2}} f N A_c B_0 = 4.44 f N A_c B_0 \quad (2.57)$$

یہ مساوات بہت اہمیت رکھتی ہے اور ہم اس کو بار بار استعمال کریں گے۔ بدلتی برقی دباؤ یا بدلتی برقی رو کی مقدار کی جب بھی ذکر ہو، یہ ان کی مربع کی اوسط کے جزر<sup>113</sup> یعنی اس کے موثر قیمت<sup>114</sup> کا ذکر ہوتا ہے۔

مثال 2.8:

شکل میں 27 چکر ہیں۔ مرکز کی لمبائی 30 سم جبکہ اس کا رقبہ عمودی تراش 229.253 مربع سم ہے۔ لچھے میں گھریلو 220 وولٹ موثر برقی دباؤ سے ہیجان پیدا کیا جاتا ہے۔ فہرست کی مدد سے مختلف برقی دباؤ پر محرک برقی رو معلوم کریں اور اس کا گراف بنائیں۔

حل:

گھریلو برقی دباؤ 50 ہرٹز کی سائن نما موج ہوتی ہے یعنی

113 پاکستان میں گھریلو برقی دباؤ 220 وولٹ ہے۔ اس کا مطلب ہے کہ اس برقی دباؤ کی موثر قیمت 220 وولٹ ہے۔ چونکہ یہ سائن نما ہے لہذا اس کی چوٹی  $\sqrt{2} \times 220 = 311$  وولٹ ہے۔

114 effective value

$$v = \sqrt{2} \times 220 \cos(2\pi 50 t)$$

مساوات 2.57 کی مدد سے ہم کثافتِ مقناطیسی بہاؤ کی چوٹی حاصل کرتے ہیں

$$B_0 = \frac{220}{4.44 \times 50 \times 27 \times 0.0229253} = 1.601 T$$

لہذا مرکز میں کثافتِ مقناطیسی بہاؤ صفر سے  $\pm 1.601$  ٹیسلا کے درمیان تبدیل ہوتی رہتی ہے۔ یوں مرکز میں کثافتِ مقناطیسی بہاؤ کی مساوات یہ ہوگی

$$B = 1.601 \times \sin \omega t \quad (2.58)$$

ہم فہرست کی مدد سے کثافتِ مقناطیسی بہاؤ کے 0 سے 1.601 ٹیسلا کے درمیان مختلف قیمتوں پر درکار محرک برقی رو  $i_\phi$  معلوم کرنا چاہتے ہیں۔ ہم مختلف  $B$  پر فہرست سے مرکز کی  $H$  حاصل کریں گے جو کہ ایک میٹر لمبی مرکز کے لئے درکار ایمپیئر-چکر دیتی ہے۔ اس سے 30 سم لمبی مرکز کے لئے درکار ایمپیئر-چکر حل کر کے برقی رو حاصل کریں گے۔

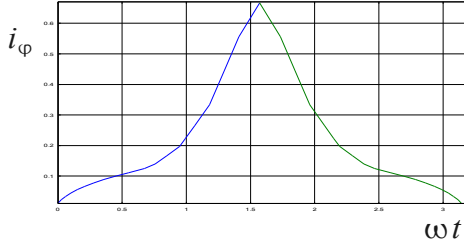


$\omega t$	B	H	$0.3 \times H$	$i_{\varphi} = \frac{0.3 \times H}{27}$
0.000	0.000	0	0.000	0.000
0.025	0.040	2	0.600	0.022
0.059	0.095	3	0.900	0.033
0.100	0.160	4	1.200	0.044
0.150	0.240	5	1.500	0.056
0.208	0.330	6	1.800	0.067
0.278	0.440	7	2.100	0.078
0.357	0.560	8	2.400	0.089
0.453	0.700	9	2.700	0.100
0.549	0.835	10	3.000	0.111
0.675	1.000	11.22	3.366	0.125
0.757	1.100	12.59	3.777	0.140

0.847	1.200	14.96	4.488	0.166
0.948	1.300	17.78	5.334	0.198
0.992	1.340	20	6.000	0.222
1.064	1.400	23.77	7.131	0.264
1.180	1.480	30	9.000	0.333
1.294	1.540	40	12.000	0.444
1.409	1.580	50	15.000	0.556
1.571	1.601	60	18.000	0.667

2.16 شکل

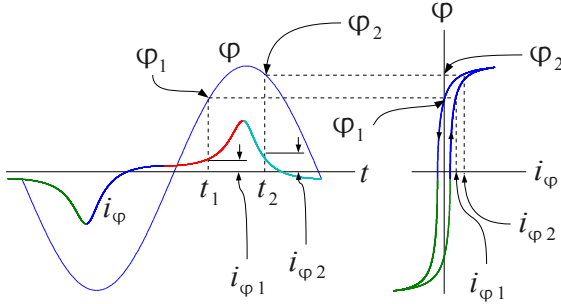
یہ فہرست مختلف کثافتِ مقناطیسی بہاؤ کے لئے درکار محرک برقی رو دیتی ہے۔ فہرست میں ہر  $B$  کی قیمت پر  $\omega t$  مساوات 2.58 کی مدد سے حاصل کی گئی ہے۔  $\omega t$  بالمقابل محرک برقی رو کا گراف شکل 2.17 میں دیا گیا ہے۔



شکل 2.17:M5 پتری کے مرکز میں 1.6 ٹیسلہ تک ہیجان پیدا کرنے کے لئے درکار ہیجان انگیز برقی رو

برقی چلھے میں برقی دباؤ سے ہیجان پیدا کیا جاتا ہے۔ ہیجان شدہ چلھے میں برقی رو کی وجہ سے مرکز میں مقناطیسی بہاؤ پیدا ہوتا ہے۔ اس برقی رو  $i_{\phi}$  کو ہم ہیجان انگیز برقی رو<sup>115</sup> کہتے ہیں۔

<sup>115</sup> excitation current



شکل 2.18: ہیجان انگیز برقی رو

مثال 2.8 میں ہیجان انگیز برقی رو معلوم کی گئی جسے شکل 2.17 میں دکھایا گیا۔ اسے حاصل کرتے وقت مقناطیسی چال<sup>116</sup> کو نظر انداز کیا گیا۔ شکل 2.18 میں ہیجان انگیز برقی رو دکھائی گئی ہے جو مقناطیسی چال کو مدِ نظر رکھ کر حاصل کی گئی ہے۔ اس کو سمجھنا نہایت ضروری ہے۔

اس شکل میں دائیں جانب مقناطیسی چال کی خط ہے۔ چونکہ

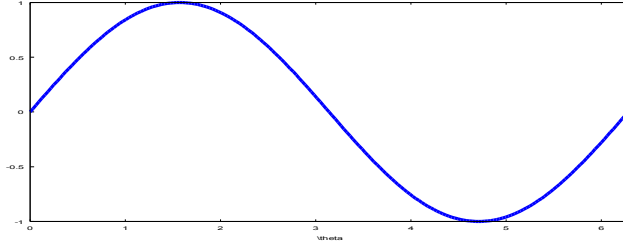
$$\begin{aligned} H l &= N i \\ \varphi &= B A_c \end{aligned} \quad (2.59)$$

لہذا اس خط کو  $\varphi - i_\varphi$  کا خط تصور کیا جا سکتا ہے۔ شکل کی بائیں جانب مرکز میں سائن نما مقناطیسی بہاؤ  $\varphi$  دکھائی گئی ہے۔ یہ سائن نما مقناطیسی بہاؤ کی موج وقت کے ساتھ تبدیل ہوتی ہے۔ لمحہ  $t_1$  پر اس موج کی مقدار  $\varphi_1$  ہو گی۔ یہ شکل میں دکھائی گئی ہے۔ اتنی مقناطیسی بہاؤ حاصل کرنے کے لئے درکار ہیجان انگیز برقی رو  $i_{\varphi 1}$  مقناطیسی چال کی خط سے حاصل کی جا سکتی ہے۔ اس ہیجان انگیز برقی رو کو شکل میں لمحہ  $t_1$  پر دکھایا گیا ہے۔

دھیان رہے کہ اس لمحہ مقناطیسی بہاؤ بڑھ رہی ہے لہذا مقناطیسی چال کی خط کا صحیح حصہ استعمال کرنا ضروری ہے۔ شکل 2.12 میں اس حصہ کو  $efgb$  سے واضح کیا گیا ہے۔

اسی طرح ایک اور لمحہ  $t_2$  جب مقناطیسی بہاؤ کم ہو رہی ہے یہی کچھ دوبارہ شکل میں ہوتے دکھایا گیا ہے البتہ اس مرتبہ شکل 2.12 میں  $bcde$  سے واضح کیا گیا حصہ استعمال کیا گیا ہے۔ اس لمحہ پر مقناطیسی بہاؤ  $\varphi_2$  ہے اور اسے حاصل کرنے کے لئے درکار ہیجان انگیز برقی رو  $i_{\varphi 2}$  ہے۔

اگر اسی طرح مختلف لمحات پر درکار ہیجان انگیز برقی رو حاصل کی جائے تو ہمیں شکل میں دکھائی گئی  $i_\varphi$  کی خط ملے گی۔ یہ ایک غیر سائن نما خط ہے۔



شکل 2.19: سائن موج

اگر مرکز میں  $B = B_0 \sin(\omega t)$  ہو تو اس میں  $H$  اور  $i_\phi$  ایک غیر سائن نما شکل اختیار کر لیتے ہیں۔ اس صورت میں ان کے موثر قیمتوں  $H_{c,rms}$  اور  $i_{\phi,rms}$  کا تعلق یہ ہے

$$N i_{\phi,rms} = l_c H_{c,rms} \quad (2.60)$$

مساوات 2.57 اور 2.60 سے ملتا ہے

$$E_{rms} i_{\phi,rms} = \sqrt{2} \pi f B_0 H_{c,rms} A_c l_c \quad (2.61)$$

یہاں  $A_c l_c$  مرکز کا حجم ہے۔ لہذا یہ مساوات ہمیں  $A_c l_c$  حجم کی مرکز کو  $B_0$  کثافتِ مقناطیسی بہاؤ تک ہیجان کرنے کے لئے درکار  $E_{rms} i_{\phi,rms}$

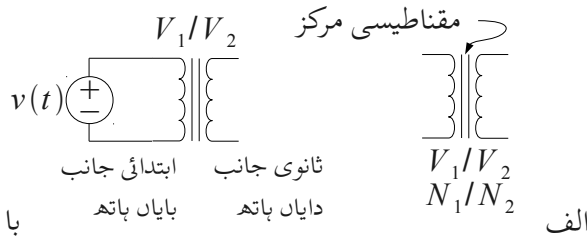
بتلاتا ہے۔ ایک مقناطیسی مرکز جس کا حجم  $A_c l_c$  اور کثافت  $\rho_c$  ہو، اس کی کمیت  $m_c = \rho_c A_c l_c$  ہوگی۔ یوں ہم، ایک کلوگرام مرکز، کے لئے مساوات 2.61 کو یوں لکھ سکتے ہیں

$$P_a = \frac{E_{rms} I_{\phi, rms}}{m_c} = \frac{\sqrt{2} \pi f}{\rho_c} B_0 H_{c, rms} \quad (2.62)$$

دیکھا جائے تو کسی ایک تعدد  $f$  پہ  $P_a$  صرف مرکز اور اس میں  $B_0$  پر منحصر ہے، چونکہ  $H_{c, rms}$  خود  $B_0$  پر منحصر ہے۔ اسی وجہ سے مرکز بنانے والے، اکائی کمیت کے مرکز میں مختلف  $B_0$  پیدا کرنے کیلئے درکار  $E_{rms} i_{\phi, rms}$  کو  $B_0$  اور  $P_a$  کے مابین گراف کی شکل میں دیتے ہیں۔ ایسا ہی ایک گراف شکل میں دکھایا گیا ہے۔

### 3 ٹرانسفارمر

ٹرانسفارمر وہ آلہ ہے جو بدلتی برقی دباؤ تبدیل کرتا ہے۔ یہ دو یا دو سے زیادہ چلھوں پر مشتمل ہوتا ہے جو مقناطیسی مرکز<sup>117</sup> پر لپٹے ہوتے ہیں۔ یہ چلھے عموماً آپس میں جڑے ہوئے نہیں ہوتے۔ شکل 3.1 الف میں ٹرانسفارمر کی علامت دکھائی گئی ہے۔ دو چلھوں کے درمیان متوازی لکیریں مقناطیسی مرکز کو ظاہر کرتی ہیں۔



شکل 3.1: ٹرانسفارمر کی علامت

<sup>117</sup> ferromagnetic core



دستیاب برق دباؤ<sup>118</sup> پر ٹرانسفارمر کے ایک چلھے کو برق طاقت فراہم کی جاتی ہے اور باقی چلھوں سے مختلف برق دباؤ پر یہی برق طاقت حاصل کی جاتی ہے۔ جس چلھے پر برق دباؤ لاگو کیا جائے اسے ابتدائی چلھا<sup>119</sup> کہتے ہیں اور ٹرانسفارمر کی اس جانب کو ابتدائی جانب<sup>120</sup> کہتے ہیں۔ اسی طرح جس چلھے (چلھوں) سے برق طاقت حاصل کی جاتی ہے اسے (انہیں) ثانوی چلھا<sup>121</sup> (چلھے) کہتے ہیں اور اس جانب کو ثانوی جانب<sup>122</sup> کہتے ہیں۔ یہ شکل کے حصہ با میی دکھایا گیا ہے۔ ٹرانسفارمر کی ابتدائی جانب کو بائیں ہاتھ اور ثانوی جانب کو دائیں ہاتھ بنایا جاتا ہے۔

بڑے ٹرانسفارمر عموماً دو ہی چلھوں پر مشتمل ہوتے ہیں۔ اس کتاب میں ہم دو ہی چلھوں کے مقناطیسی مرکز پر لیپے قوی ٹرانسفارمر پر تبصرہ کریں گے۔

ٹرانسفارمر کے کم برق دباؤ کے چلھے کو کم برق دباؤ کا چلھا<sup>123</sup> کہتے ہیں اور ٹرانسفارمر کی اس جانب کو کم برق دباؤ والا جانب<sup>124</sup> کہتے ہیں جبکہ اس کے زیادہ برق دباؤ کے چلھے کو زیادہ برق دباؤ کا چلھا<sup>125</sup> کہتے ہیں اور

---

118 بدلتی برق دباؤ کی علامت میں مثبت اور منفی نشان وقت صفر پر برق دباؤ کی مثبت اور منفی سرے ظاہر کرتے ہیں

119 primary coil

120 primary side

121 secondary coil

122 secondary side

123 low voltage coil

124 low voltage side

125 high voltage coil

ٹرانسفارمر کی اس جانب کو زیادہ برقی دباؤ والی جانب <sup>126</sup> کہتے ہیں۔

یوں اگر ٹرانسفارمر کے کم برقی دباؤ کی جانب برقی دباؤ لاگو کیا جائے اور زیادہ برقی دباؤ کی جانب سے برقی دباؤ حاصل کیا جائے تو ٹرانسفارمر کی کم برقی دباؤ والی جانب کو ابتدائی جانب کہیں گے اور اس کی زیادہ برقی دباؤ والی جانب کو ثانوی جانب کہیں گے۔

### 3.1 ٹرانسفارمر کی اہمیت

بدلتی رو کی برقی طاقت اتنی مقبول اس لئے ہوئی ہے کہ یہ ایک جگہ سے دوسری جگہ با آسانی اور نہایت کم برقی طاقت کی ضیاع کے ساتھ منتقل کی جا سکتی ہے۔ ٹرانسفارمر کی تبادلہ برقی دباؤ <sup>127</sup> کی خصوصیت ایسا کرنے میں کلیدی کردار ادا کرتی ہے۔ یہ ایک مثال سے بہتر سمجھا جا سکتا ہے۔

128

مثال 3.1:

شکل 3.2 سے رجوع کریں۔ برقی دباؤ اور برقی رو کی حاصل ضرب برقی طاقت ہوتی ہے یعنی

126 high voltage side

127 voltage transformation property

128 اس کتاب میں مثال ترچھی لکھائی میں دیئے گئے ہیں

$$p = v_1 i_1 = v_2 i_2 \quad (3.1)$$

اب تصور کریں کہ تقریباً ڈیم 10,000,000,000 واٹ یعنی دس گیگا واٹ<sup>129</sup> برقی طاقت پیدا کر رہا ہے اور اس طاقت کو لاہور<sup>130</sup> شہر منتقل کرنا ہے جہاں گھریلو صارفین کو یہ 220 وولٹ پر مہیا کرنی ہے۔ اگر ہم اس طاقت کو 220 وولٹ پر ہی منتقل کرنا چاہیں تو برقی رو

$$i = \frac{p}{v} = \frac{10000000000}{220} = 45454545 \quad (3.2)$$

ایمپیئر ہوگی۔ برقی تار میں کثافتِ برقی رو  $J_{au}$  تقریباً 5 ایمپیئر فی مربع ملی میٹر (  $J_{au} = 5 \text{ A/mm}^2$  ) ممکن ہوتی ہے۔ یہ ایک محفوظ کثافتِ برقی رو ہے۔ اگر برقی تار میں اس سے زیادہ برقی رو گزاری جائے تو اس کی مزاحمت میں برقی طاقت کے ضیاع سے یہ گرم ہو کر پگھل سکتی ہے۔ اس طرح مساوات 1.29 سے برقی تار کا رقبہ عمودی تراش

---

129 Giga Watt

130 ضلع صوابی میں بھی لاہور ایک تحصیل ہے لیکن اس شہر کو اتنی طاقت نہیں درکار

$$A = \frac{I}{J_{au}} = \frac{45454545}{5} = 9090909 \text{ mm}^2 \quad (3.3)$$

ہوگا۔ گول تار تصور کریں تو اس کا رداس

$$r = \sqrt{\frac{A}{\pi}} = \sqrt{\frac{9090909}{\pi}} = 1701 \text{ mm} = 1.7 \text{ m} \quad (3.4)$$

حاصل ہوتی ہے۔ آپ نے دیکھا کہ درکار برقی تار کا رداس 1.7 میٹر ہے۔ اتنی موٹی برقی تار کہیں نہیں پائی جاتی ہے<sup>131</sup>۔ اگر یہ تار المونیم کی بنی ہو جس کی حجمی کثافت  $\rho_v = 2700 \text{ Kg/m}^3$  ہے تو ایک میٹر لمبی تار کی کمیت

$$m = 2700 \times \pi \times 1.7^2 \times 1 = 24513 \text{ Kg} \quad (3.5)$$

یعنی 24 ٹن ہوگی۔ المونیم اتنی مہنگی ہے کہ اس صورت میں اتنی برقی طاقت کو لاہور پہنچانا ممکن نہیں<sup>132</sup>۔

اب دیکھتے ہیں ٹرانسفارمر کی مدد سے یہ کیسا ممکن ہوگا۔ اگر تربیلا ڈیم

---

131 آپ مانیں یا نہ مانیں، آپ نے بھی اتنی موٹی برقی تار کبھی نہیں دیکھی

132 آج کل کی لوڈ شیدنگ اس وجہ سے نہیں

پر ایک ٹرانسفارمر نسب کیا جائے جو برقی دباؤ کو بڑھا کر 500,000 وولٹ یعنی 500 کلو وولٹ<sup>133</sup> کر دے تب یہی برقی طاقت صرف

$$i = \frac{p}{v} = \frac{10000000000}{500000} = 20000 \quad (3.6)$$

ایمپیئر ہوگی جس کے لئے درکار برقی تار

$$A = \frac{i}{J_{au}} = \frac{20000}{5} = 4000 \text{ mm}^2 \quad (3.7)$$

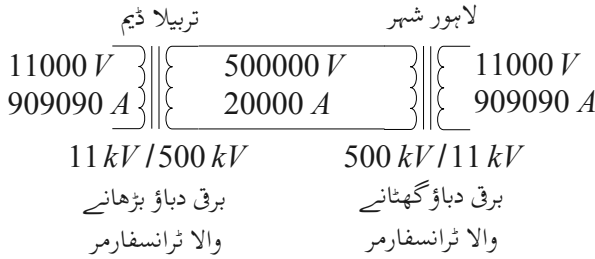
$$r = \sqrt{\frac{A}{\pi}} = \sqrt{\frac{4000}{\pi}} = 35.68248 \text{ mm}$$

صرف 35 ملی میٹر رداس کی ہوگی<sup>134</sup>۔

133 پاکستان کے معروف انجینئر اکبر خان نے تجویز دی ہے کہ پاکستان میں 500 کلو وولٹ پر

برقی طاقت کی منتقلی کرنی چاہئے

134 اگر آپ کو یہ بھی بہت موٹی تار نظر آئے تو برقی دباؤ کو مزید بڑھا دیں



### شکل 3.2: برقی طاقت کی منتقلی

اس مثال میں اگر تربیلا ڈیم میں نسب جنریٹر 11000 وولٹ برقی دباؤ پیدا کر رہا ہو تو تربیلا ڈیم پر نسب ٹرانسفارمر برقی دباؤ کو 11000 وولٹ سے بڑھا کر 500 کلو وولٹ کرے گا جبکہ لاہور شہر میں نسب ٹرانسفارمر اس برقی دباؤ کو 500 کلو وولٹ سے واپس 11000 وولٹ کر دے گا۔

اسی مثال کو مزید آگے لے جاتے ہیں۔ شہر میں 220 وولٹ کی بجائے 11000 وولٹ صارف تک پہنچائے جائیں گے اور وہی نزدیکی ایک اور ٹرانسفارمر 11000 وولٹ کو مزید گھٹا کر صارف کو 220 وولٹ فراہم کرے گی۔

شکل 3.2 میں ڈیم سے شہر تک کا نظام دکھایا گیا ہے جہاں ڈیم پر نسب ٹرانسفارمر کو برقی دباؤ بڑھانے والا ٹرانسفارمر<sup>135</sup> اور لاہور میں نسب ٹرانسفارمر

<sup>135</sup> step up transformer

کو برقی دباؤ گھٹانے والا ٹرانسفارمر<sup>136</sup> کہا گیا ہے۔

موجودہ دور میں برقی طاقت 11 کلو وولٹ اور 25 کلو وولٹ کے مابین پیدا کی جاتی ہے۔ اس کی منتقلی 110 کلو وولٹ اور 1000 کلو وولٹ کے مابین کی جاتی ہے جبکہ اس کا استعمال 1000 وولٹ سے کم پر کیا جاتا ہے۔

### 3.2 ٹرانسفارمر کی اقسام

گھروں اور کارخانوں کو برقی طاقت فراہم کرنے والے ٹرانسفارمر مقناطیسی مرکز پر لپٹے جاتے ہیں۔ یہ عموماً تین دور کے لئے لپٹے جاتے ہیں اور انہیں لوہے کے مرکز والے تین دور کے قوی ٹرانسفارمر<sup>137</sup> کہتے ہیں۔

نہایت چھوٹے ٹرانسفارمر عموماً لوہے کی مرکز والے ایک دور کے ہوتے ہیں۔ یہ گھریلو استعمال کے برقی مشین، مثلاً موبائل چارجر، میں لگے ہوتے ہیں اور 220 وولٹ سے برقی دباؤ مزید گھٹاتے ہیں۔

کچھ ٹرانسفارمر اس طرح بنائے جاتے ہیں کہ ان کی ثانوی جانب برقی دباؤ ان کی ابتدائی جانب برقی دباؤ کی خاص نسبت سے ہو۔ یہ نسبت حاصل کرنے پر خاص توجہ دی جاتی ہے۔ انہیں دباؤ کے ٹرانسفارمر<sup>138</sup> کہتے ہیں۔ اسی طرح کچھ ٹرانسفارمر اس طرح بنائے جاتے ہیں کہ ان کی ثانوی جانب برقی رو، ابتدائی جانب برقی رو کی خاص نسبت سے ہو۔ یہ نسبت حاصل کرنے پر خاص توجہ دی

---

136 step down transformer

137 iron core, three-phase power transformer

138 potential transformer ( PT )

جاتی ہے۔ ان کو روکے ٹرانسفارمر<sup>139</sup> کہتے ہیں۔ یہ دو قسم کے ٹرانسفارمر برقی دباؤ اور برقی رو ناپنے کے لئے استعمال ہوتے ہیں۔ ویسے تو ہر ٹرانسفارمر کسی نسبت سے ہی برقی دباؤ یا برقی رو کم یا زیادہ کرتا ہے لیکن جیسا پہلے ذکر ہوا ان دو قسم کے ٹرانسفارمر میں کم اور زیادہ کرنے کی نسبت پر خاص توجہ رکھی جاتی ہے۔ ان دو اقسام کے ٹرانسفارمر کی برقی اہلیت<sup>140</sup> نہایت کم ہوتی ہے۔<sup>141</sup>

ٹرانسفارمر کے چھوٹے مابین مشترکہ مقناطیسی بہاؤ خلاء کے ذریعہ بھی ممکن ہے۔ انہیں خلائی مرکز کے ٹرانسفارمر<sup>142</sup> کہتے ہیں۔ ایسے ٹرانسفارمر ذرائع ابلاغ کے دور<sup>143</sup>، یعنی ریڈیو، ٹی وی وغیرہ میں پائے جاتے ہیں۔ ان ٹرانسفارمر کی علامت شکل 3.1 الف کی طرح ہوتی ہے مگر اس میں مقناطیسی مرکز ظاہر کرنے والی متوازی لکیریں نہیں ہوتیں۔

### 3.3 امالی برقی دباؤ

اس حصے کا بنیادی مقصد بیرونی برقی دباؤ  $v$  اور اندرونی امالی برقی دباؤ  $e$  میں فرق واضح کرنا اور اس سے تعلق رکھنے والی تکنیکی اصطلاح کا تعارف کرانا ہے۔

شکل 3.3 میں ایک بے بار ٹرانسفارمر<sup>144</sup> دکھایا گیا ہے یعنی اس کے

139 current transformer ( CT )

140 electrical rating

141 یہ عموماً تقریباً پچیس وولٹ-ایمپیئر اہلیت کے ہوتے ہیں

142 air-core transformer

143 communication circuits

144 unloaded transformer



ثانوی لچھے کو کھلے دور رکھا گیا ہے۔ ابتدائی لچھے پر برقی دباؤ  $v_1$  لاگو کرنے سے ابتدائی لچھے میں ہیجان انگیز برقی رو  $i_\varphi$ <sup>45</sup> گزرے گی۔ اس ہیجان انگیز برقی رو سے پیدا مقناطیسی دباؤ  $N_1 i_\varphi$  مرکز میں مقناطیسی بہاؤ  $\varphi$  کو جنم دے گی۔ یہ بدلتی مقناطیسی بہاؤ ابتدائی لچھے میں امالی برقی دباؤ  $e_1$  پیدا کرتی ہے جہاں

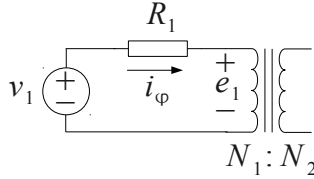
$$e_1 = -\frac{\partial \lambda_1}{\partial t} = -N_1 \frac{\partial \varphi}{\partial t} \quad (3.8)$$

اس مساوات میں

$\lambda_1$  = ابتدائی لچھے کی مقناطیسی بہاؤ کے ساتھ ارتباط بہاؤ ہے

$\varphi$  = مقناطیسی مرکز میں مقناطیسی بہاؤ جو دونوں لچھوں میں سے گزرتی ہے

$N_1$  = ابتدائی لچھے کے چکر



شکل 3.3: بیرونی برقی دباؤ اور اندرونی امالی برقی دباؤ میں فرق

اگر اس ابتدائی چھپے کی برقی تار کی مزاحمت  $R_1$  ہو تب

$$v_1 = i_\phi R_1 + e_1 \quad (3.9)$$

شکل میں اس مزاحمت کو ٹرانسفارمر کے باہر دکھایا گیا ہے۔ اس چھپے کی رستا متعاملہ بھی ہوتی ہے لیکن اسے یہاں نظر انداز کیا گیا ہے۔ عام تر طاقت کے ٹرانسفارمر اور موٹروں میں مزاحمت  $R_1$  کے اثر کو بھی نظر انداز کیا جاسکتا ہے۔ ایسا کرنے سے ہم لکھ سکتے ہیں

$$v_1 = e_1 = -N_1 \frac{\partial \varphi}{\partial t} \quad (3.10)$$

مساوات 3.9<sup>146</sup> سے یہ ثابت ہوتا ہے کہ بیرونی لاگو برقی دباؤ اور اندرونی امالی برقی دباؤ دو علیحدہ برقی دباؤ ہیں۔ یہ بات سمجھ لینا بہت ضروری ہے۔ مساوات 3.10 کے تحت ان دو برقی دباؤ کی مقداریں عموماً برابر ہوتی ہیں<sup>147</sup>۔

چلھے میں ہیجان پیدا کرنے سے مراد اس پر بیرونی برقی دباؤ لاگو کرنا جبکہ چلھے پر لاگو بیرونی برقی دباؤ کو ہیجان انگیز برقی دباؤ<sup>148</sup> کہتے ہیں۔ چلھے کو ہیجان شدہ چلھا<sup>149</sup> جبکہ اس میں روئی برقی رو کو ہیجان انگیز برقی رو<sup>150</sup> کہتے ہیں۔

برقی دباؤ عموماً چلھے سے گزرتی مقناطیسی بہاؤ کی تبدیلی سے حاصل کی جاتی ہے۔ اگر ایسا کرتے چلھا ساکن رہے، جیسا کہ ٹرانسفارمر میں ہوتا ہے، تب حاصل برقی دباؤ کو امالی برقی دباؤ<sup>151</sup> کہتے ہیں۔ اگر برقی دباؤ کا حصول مقناطیسی میدان میں چلھے کی حرکت سے ممکن بنایا جائے تب اسے محرک برقی

146 اس کتاب میں عموماً مساوات 3.10 کی طرح مساواتوں میں دائیں جانب منفی کی علامت نہیں لکھی گئی۔ عموماً برقی دباؤ کی قیمت درکار ہوتی ہے تاکہ اس کی علامت

147 جس سے طلبا کو یہ غلط فہمی لاحق ہو جاتی ہے کہ یہ ایک ہی برقی دباؤ کے دو نام ہیں

148 excitation voltage

149 excited coil

150 excitation current

151 induced voltage

دباؤ<sup>152</sup> کہتے ہیں۔ یاد رہے ان برقی دباؤ میں کسی قسم کا فرق نہیں ہوتا۔ انہیں مختلف نام صرف پہچان کی خاطر دئے جاتے ہیں۔

### 3.4 سیجان انگیز برقی رو<sup>153</sup> اور مرکزی ضیاع<sup>154</sup>

جہاں مقناطیسی مرکز میں بدلتی مقناطیسی بہاؤ ثانوی چھوٹے فائدہ مند برقی دباؤ پیدا کرتی ہے وہاں یہ مقناطیسی مرکز میں نقصان دہ برقی دباؤ کو بھی جنم دیتی ہے جس سے مقناطیسی مرکز میں بھنور نما برقی رو<sup>155</sup> پیدا ہوتی ہے۔ اس بھنور نما برقی رو کی وجہ سے مقناطیسی مرکز میں برقی طاقت کا ضیاع ہوتا ہے جسے بھنور نما برقی رو کا ضیاع<sup>156</sup> یا مرکزی ضیاع کہتے ہیں۔ اس برقی طاقت کے ضیاع کو کم سے کم کرنے کیلئے مقناطیسی مرکز کو باریک لوہے کی پتیاں<sup>157</sup> تہہ در تہہ رکھ کر بنایا جاتا ہے۔ ان پتیاں پر غیر موصل روغن<sup>158</sup> کی تہہ لگائی جاتی ہے تاکہ بھنور نما برقی رو کو روکا جا سکے۔ آپ دیکھیں گے کہ برقی مشین کا مرکز عموماً اسی طرح بنایا جاتا ہے۔ شکل 2.13، 2.14 اور 2.15 میں 0.3048 ملی میٹر موٹی M5 مرکزی پتری کی  $B-H$  مواد دی گئی ہے۔

مرکزی پتیاں عموماً دو اشکال کی ہوتی ہیں۔ یہ شکل 3.4 الف میں دکھایا

152 electromotive force ( emf )

153 excitation current

154 core loss

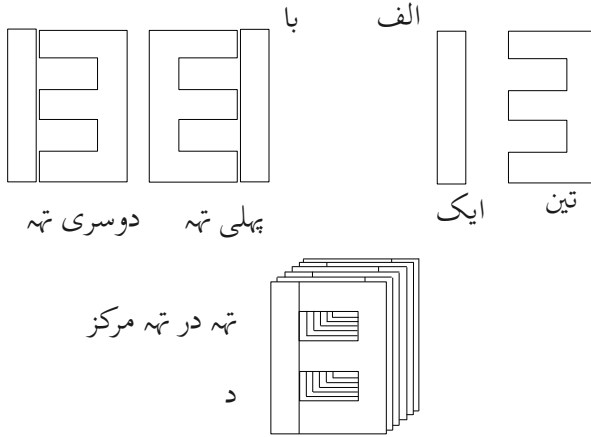
155 eddy currents

156 eddy current loss

157 laminations

158 enamel

گیا ہے۔ ان کی شکل کی وجہ سے یہ ایک اور تین<sup>159</sup> کہلاتے ہیں۔ شکل کے حصہ با میں ایک اور تین کو دو طرح آپس میں رکھا گیا ہے۔ ان دو طریقوں سے انہیں تہہ در تہہ رکھا جاتا ہے۔ لہذا اگر پہلی تہہ میں ایک دائی جانب اور تین بائیں جانب رکھا جائے تو اس کے اوپر دوسری تہہ میں ایک کو بائیں جانب اور تین کو دائی جانب رکھا جائے گا۔ تیسری تہہ میں پھر ایک کو دائیں اور تین کو بائیں جانب رکھا جائے گا۔ اسی طرح انہیں جوڑ کر شکل کے حصہ د میں دکھائی گئی مرکز حاصل کی جاتی ہے۔



شکل 3.4: مرکزی پتری کے اشکال اور ان کو تہہ در تہہ رکھنے کا طریقہ

ہیجان انگیز برقی رو بے بار اور بار بردار ٹرانسفارمر میں یکساں ہوتا ہے - جیسا کہ پہلے بھی ذکر کیا گیا ہے، قوی ٹرانسفارمر اور موٹروں میں برقی دباؤ اور مقناطیسی بہاؤ سائن نما ہوتے ہیں جبکہ ہیجان انگیز برقی رو ان میں غیر سائن نما ہوتی ہے لہذا اگر

$$\begin{aligned}\varphi &= \phi_0 \sin \omega t = \phi_0 \cos(\omega t - 90^\circ) \\ \hat{\varphi} &= \phi_0 \angle -90^\circ\end{aligned}\quad (3.11)$$

ہو تو

$$\begin{aligned}e_1 &= N_1 \frac{\partial \varphi}{\partial t} = \omega N_1 \phi_0 \cos \omega t \\ \hat{E}_1 &= E_1 \angle 0\end{aligned}\quad (3.12)$$

ہوگی۔ یہاں  $\phi_0$  مقناطیسی بہاؤ کے حیطہ کو ظاہر کرتی ہے، اور  $\omega$  زاویاتی تعداد ارتعاش کو یعنی  $\omega = 2\pi f$  -  $f$  تعداد ارتعاش ہے اور اسے ہرٹز  $Hz$  میں ناپا جاتا ہے۔  $\hat{E}_1$  اور  $\hat{\phi}$  کے مابین  $90^\circ$  کا زاویہ ہے۔ یہ شکل 3.5 میں دکھایا گیا ہے۔ برقی دباؤ  $e_1$  کی موثر قیمت  $E_{rms}$

$$E_{rms} = \frac{2\pi}{\sqrt{2}} f N_1 \Phi_0 = 4.44 f N_1 \Phi_0 \quad (3.13)$$

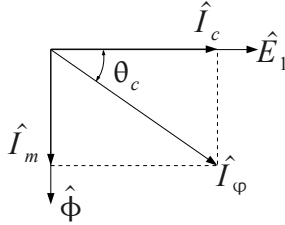
ہے۔ اس کو ہم یوں بھی لکھ سکتے ہیں

$$\Phi_0 = \frac{E_{rms}}{4.44 f N_1} \quad (3.14)$$

یہاں ایک بار رکھ کر دوبارہ نظر ثانی کرتے ہیں۔ اگر ایک چلھے پر  $E_{rms}$  موثر برقی دباؤ <sup>160</sup> لاگو کی جائے تو یہ چلھا اتنی ہیجان انگیز برقی رو  $i_\phi$  گزرنے دیتی ہے جس سے نمودار ہونے والا مقناطیسی بہاؤ مساوات 3.14 میں دیئے گئے مقناطیسی بہاؤ  $\Phi_0$  کے برابر ہو۔ یہ بات نہ صرف ٹرانسفارمر بلکہ کسی بھی مقناطیسی دور کے لئے درست اور لازم ہے۔

---

160 بدلتی برقی دباؤ اور بدلتی برقی رو کا ذکر کرتے وقت ان کی مربع کی اوسط کے جزر یعنی rms مقادیر دی جاتی ہیں۔



شکل 3.5: مختلف دوری سمتیوں کے زاوئے

ہیجان انگیز برقی رو<sup>161</sup>  $i_\phi$  کو اگر فوریر تسلسل<sup>162</sup> سے حل کیا جائے تو

$$i_\phi = \sum_n (a_n \cos n\omega t + b_n \sin n\omega t) \quad (3.15)$$

اس میں  $a_1 \cos \omega t + b_1 \sin \omega t$  کو بنیادی جز<sup>163</sup> کہتے ہیں اور باقی حصہ کو

<sup>161</sup> یہاں شکل 2.17 سے رجوع کریں

<sup>162</sup> Fourier series

<sup>163</sup> fundamental component



موسیقائی جُز<sup>164</sup> کہتے ہیں۔ بنیادی جُز میں  $a_1 \cos \omega t$  ، مقناطیسی بہاؤ سے وجود میں آنے والے امالی برقی دباؤ  $e_1$  ، جو کہ مساوات 3.12 میں دی گئی ہے کے ہم دور ہے۔ یعنی یہ دونوں وقت کے ساتھ یکساں بڑھتے اور گھٹتے ہیں جبکہ اس میں  $b_1 \sin \omega t$  نوئے درجہ زاویہ  $e_1$  کے پیچھے رہتا ہے۔ ان میں  $a_1 \cos \omega t$  مرکز میں مختلف وجوہات سے برقی طاقت ضائع ہونے کو ظاہر کرتی ہے۔ اسی لئے اس جُز کو مرکزی ضیاع کا جُز<sup>165</sup> کہتے ہیں۔ ہیجان انگیز برقی رو  $i_\phi$  سے اگر  $a_1 \cos \omega t$  منفی کی جائے تو بقایا کو مقناطیس بنانے والا برقی رو<sup>166</sup> کہتے ہیں۔ اس کی تیسری موسیقائی جُز سب سے زیادہ اہم ہے۔ قوی ٹرانسفارمروں میں یہ تیسری موسیقائی جُز عموماً کُل ہیجان انگیز برقی رو کے 40 فیصد ہوتی ہے۔

سوائے وہاں، جہاں ہیجان انگیز برقی رو کے اثرات پر غور کیا جا رہا ہو، ہم ہیجان انگیز برقی رو کے غیر سائن نما ہونے کو نظر انداز کرتے ہیں۔ قوی ٹرانسفارمر کی ہیجان انگیز برقی رو اس کی کُل برقی رو<sup>167</sup> کے صرف 5 فیصد کے قریب ہوتی ہے۔ لہذا اس کا اثر بہت کم ہوتا ہے۔ لہذا ہم ہیجان انگیز برقی رو کو سائن نما تصور کر کے اس کے اثرات پر غور کرتے ہیں۔ ایسا کرنے سے مسئلہ پر غور کرنا آسان ہو جاتا ہے۔ اس فرضی سائن نما ہیجان انگیز برقی رو<sup>168</sup>  $\hat{I}_\phi$  کی موثر قیمت  $\hat{I}_{\phi, rms}$  ، اصل ہیجان انگیز برقی رو کی موثر قیمت کے برابر

164 harmonic components

165 core loss component

166 magnetizing current

167 کُل برقی رو سے مراد وہ برقی رو ہے جو کُل برقی بار لادنے سے حاصل ہو

168 یعنی بدلتی برقی رو  $i_\phi$  کو اب دوری سمتیہ کی مدد سے  $\hat{I}_\phi$  لکھتے ہیں

رکھی جاتی ہے جبکہ اس کا زاویہ  $\theta_c$  یوں رکھا جاتا ہے کہ اس سے حاصل  
برقی ضیاع اصل برقی ضیاع کے برابر ہو۔ شکل 3.5 کی مدد سے یہ بات سمجھنی  
زیادہ آسان ہے۔ شکل میں اگر دیکھا جائے تو

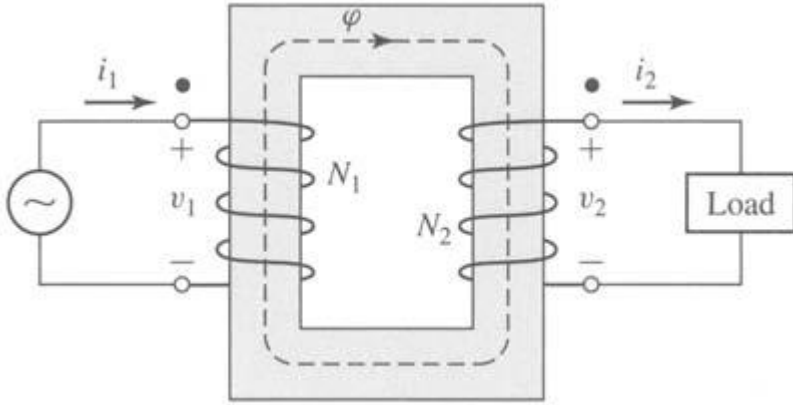
$$P_c = E_{rms} I_{\phi, rms} \cos \theta_c \quad (3.16)$$

جہاں  $P_c$  مرکزی ضیاع<sup>169</sup> ہے۔ لہذا اگر  $\hat{I}_{\phi}$  اور  $\hat{E}_1$  کے مابین  $\theta_c$  کا  
زاویہ ہو تو اس سے مرکزی ضیاع صحیح حاصل ہوتا ہے۔  $\hat{I}_{\phi}$  اسی زاویہ سے  
 $\hat{E}_1$  کے پیچھے رہتا ہے۔

### 3.5 تبادله برقی دباؤ اور تبادله برقی رو کے خصوصیات

---

169 core loss



شکل 3.6: ایک مثالی بار بردار ٹرانسفارمر

ہم شکل 3.6 کی مدد سے ٹرانسفارمر کا مطالعہ کرتے ہیں۔ ہم فرض کرتے ہیں کہ ابتدائی جانب پلھے کے  $N_1$  اور ثانوی جانب پلھے کے  $N_2$  چکر ہیں اور یہ کہ ان دونوں پلھوں کی مزاحمت صفر ہے۔ ہم مزید یہ کہتے ہیں کہ پوری مقناطیسی بہاؤ مرکز ہی میں رہتا ہے اور دونوں پلھوں سے گزرتا ہے۔ مرکز میں برقی توانائی ضائع نہیں ہوتی اور اس کی نفوذ پذیری اتنی زیادہ ہے کہ ہیجان انگیز برقی رو قابلِ نظر انداز ہے۔ برقی رو  $i_1$  اور  $i_2$  کی سمتیں یوں رکھی گئی ہیں کہ ان سے وجود میں آنے والے مقناطیسی بہاؤ ایک دوسرے کی الٹ سمتوں میں ہیں۔ اصل ٹرانسفارمر ان باتوں پر تقریباً پورے اترتے ہیں۔ ایسے ٹرانسفارمر کو مثالی ٹرانسفارمر<sup>170</sup> کہتے ہیں۔

جب اس مثالی ٹرانسفارمر کے ابتدائی پلھے پر بدلتی برقی دباؤ  $v_1$  لاگو

170 ideal transformer

کیا جائے تو اس کے مرکز میں مقناطیسی بہاؤ  $\Phi_m$ <sup>171</sup> وجود میں آئے گا جو ابتدائی چھے میں لاگو برقی دباؤ  $v_1$  کے برابر امالی برقی دباؤ  $e_1$  کو جنم دے گا۔ لہذا

$$v_1 = e_1 = N_1 \frac{\partial \Phi_m}{\partial t} \quad (3.17)$$

یہ مقناطیسی بہاؤ دوسرے چھے سے بھی گزرے گا اور اس میں  $e_2$  امالی برقی دباؤ کو جنم دے گا جو ثانوی جانب کے سروں پر  $v_2$  برقی دباؤ کی صورت میں حاصل ہوگا۔ یعنی

$$v_2 = e_2 = N_2 \frac{\partial \Phi_m}{\partial t} \quad (3.18)$$

ان دونوں کی نسبت سے

---

171  $\Phi$  کو یہاں ہم  $\Phi_m$  کہہ رہے ہیں

$$\frac{v_1}{v_2} = \frac{N_1 \frac{\partial \Phi_m}{\partial t}}{N_2 \frac{\partial \Phi_m}{\partial t}} = \frac{N_1}{N_2} \quad (3.19)$$

لہذا ایک مثالی ٹرانسفارمر دونوں لچھوں کے چکروں کی نسبت سے برقی دباؤ کا تبادلہ<sup>172</sup> کرتا ہے۔

چونکہ یہ ایک مثالی ٹرانسفارمر ہے لہذا اسے جتنی برقی طاقت ابتدائی جانب دی جائے اتنی ہی برقی طاقت اس سے ثانوی جانب حاصل ہوگی، یعنی

$$p = v_1 i_1 = v_2 i_2 \quad (3.20)$$

یا

$$\frac{v_1}{v_2} = \frac{i_2}{i_1} \quad (3.21)$$

مساوات 3.19 کی مدد سے

---

172 voltage transformation

$$\frac{v_1}{v_2} = \frac{i_2}{i_1} = \frac{N_1}{N_2} \quad (3.22)$$

یہ ایک انتہائی اہم نتیجہ ہے جو ٹرانسفارمر کی تبادلہ برقی دباؤ اور تبادلہ برقی رو<sup>173</sup> کی خصوصیات بیان کرتا ہے۔ اسے عموماً دو حصوں میں یوں لکھا جاتا ہے۔

$$\begin{aligned} \frac{v_1}{v_2} &= \frac{N_1}{N_2} \\ \frac{i_1}{i_2} &= \frac{N_2}{N_1} \end{aligned} \quad (3.23)$$

اس مساوات کی پہلی جُز کہتی ہے کہ ٹرانسفارمر کی دونوں جانب برقی دباؤ ان کے چکروں کی راست متناسب ہوگا جبکہ مساوات کی دوسری جُز کہتی ہے کہ ٹرانسفارمر کے دونوں جانب برقی رو ان کے چکروں کے بالعکس متناسب ہوگا۔

---

173 current transformation

مثال 3.2:

شکل 3.6 میں اگر

$$\hat{V}_1 = 220 \angle 0^\circ$$

$$N_1 : N_2 = 220 : 22$$

$$Z = R = 10\Omega$$

ہوں تو ٹرانسفارمر کی دونوں جانب برقی دباؤ اور برقی رو معلوم کریں۔

حل:

ابتدائی جانب برقی دباؤ دیا گیا ہے یعنی 220 وولٹ جبکہ ثانوی جانب برقی دباؤ مساوات 3.23 کی پہلی جُز کی مدد سے حاصل کیا جاتا ہے یعنی

$$\begin{aligned}\hat{V}_2 &= \left( \frac{N_2}{N_1} \right) \hat{V}_1 \\ &= \left( \frac{22}{220} \right) 220 \angle 0^\circ \\ &= 22 \angle 0^\circ\end{aligned}\tag{3.24}$$

ثانوی جانب 22 وولٹ ہیں جو ابتدائی جانب برقی دباؤ کے ہم دور ہے۔

ثانوی جانب یہ برقی دباؤ 10 اوہم کی مزاحمت میں برقی رو پیدا کرے گا جسے اوہم کے قانون سے حاصل کیا جاتا ہے یعنی

$$\begin{aligned}\hat{I}_2 &= \frac{\hat{V}_2}{R} \\ &= \frac{22\angle 0^\circ}{10} \\ &= 2.2\angle 0^\circ\end{aligned}\quad (3.25)$$

ثانوی جانب 2.2 ایمپیئر برقی رو ہے۔ ابتدائی جانب کی برقی رو مساوات 3.23 کی دوسری جُز کی مدد سے حاصل کی جاتی ہے یعنی

$$\begin{aligned}\hat{I}_1 &= \left(\frac{N_2}{N_1}\right) \hat{I}_2 \\ &= \left(\frac{22}{220}\right) 2.2\angle 0^\circ \\ &= 0.22\angle 0^\circ\end{aligned}\quad (3.26)$$

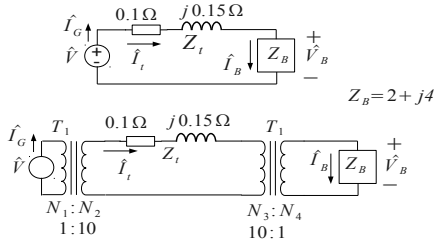
---

اس مثال کے نتائج ایک جگہ لکھ کر ان پر غور کرتے ہیں۔



$$\begin{aligned}
\hat{V}_1 &= 220\angle 0^\circ \\
\hat{V}_2 &= 22\angle 0^\circ \\
\hat{I}_1 &= 0.22\angle 0^\circ \\
\hat{I}_2 &= 2.2\angle 0^\circ
\end{aligned}
\tag{3.27}$$

ہم دیکھتے ہیں ابتدائی جانب برقی دباؤ ثانوی جانب کی برقی دباؤ کے دس گنا ہے جبکہ برقی رو میں قصہ اُلٹ ہے۔ ثانوی جانب کی برقی رو ابتدائی جانب کی برقی رو کے دس گنا ہے۔ طاقت دونوں جانب برابر ہے۔ یہ نہایت اہم ہے کہ آپ اس بات کو اچھی طرح سمجھ لیں کہ جس جانب برقی دباؤ زیادہ ہوتا ہے اس جانب برقی رو کم ہوتی ہے۔ لہذا زیادہ برقی دباؤ کی جانب چلھے کے چکر زیادہ ہوں گے اور اس چلھے میں نسبتاً باریک برقی تار استعمال ہوگی جبکہ کم برقی دباؤ کا چلھا کم چکر کا ہوگا اور اس میں نسبتاً موٹی برقی تار استعمال ہوگی۔



شکل 3.7: برقی طاقت کی منتقلی

شکل 3.8 الف سے رجوع کریں۔ اس شکل میں مقاومت  $Z_2$  کو سرچشمہ بدلتی برقی دباؤ  $\hat{V}_1$  کے ساتھ ایک ٹرانسفارمر کے ذریعہ جوڑا گیا ہے۔ اگر

$$\hat{V}_1 = 110 \angle 0^\circ$$

$$Z_2 = R_2 + jX_2 = 3 + j2$$

$$N_1 : N_2 = 220 : 22$$

ہوں تو مقاومت میں برقی رو اور طاقت کا ضیاع معلوم کریں۔

مثال 3.3:

حل:

ٹرانسفارمر کی تبادلہ برقی دباؤ کی خصوصیت سے اس کے ابتدائی جانب  
110 وولٹ برقی دباؤ ٹرانسفارمر کی ثانوی جانب تبدیل ہو کر  $V_s$  ہو جائیں گے  
جہاں

$$\begin{aligned}\hat{V}_s &= \left( \frac{N_2}{N_1} \right) \hat{V}_1 \\ &= \left( \frac{22}{220} \right) 110 \angle 0^\circ \\ &= 11 \angle 0^\circ\end{aligned}\tag{3.28}$$

لہذا

$$\begin{aligned}\hat{I}_2 &= \frac{\hat{V}_s}{Z_2} \\ &= \frac{11 \angle 0^\circ}{3 + j2} \\ &= 3.05085 \angle -33.69^\circ\end{aligned}\tag{3.29}$$

اور برقی طاقت کا ضیاع  $p_z$

$$p_z = I_2^2 R_2 = 3.05085^2 \times 3 = 27.923 W \quad (3.30)$$

### 3.6 ثانیوی جانب بار کا ابتدائی جانب اثر

یہاں شکل 3.6 سے رجوع کریں۔ ہم حصہ 3.3 میں دیکھ چکے ہیں کہ اگر ایک بے بار ٹرانسفارمر کی ابتدائی چھے پر بدلتی برقی دباؤ  $v_1$  لاگو کی جائے تو اس چھے میں ہیجان انگیز برقی رو  $i_\phi$  گزرے گی۔ اس برقی رو کی مقناطیسی دباؤ  $N_1 i_\phi$  مرکز میں مقناطیسی بہاؤ  $\Phi_m$ <sup>174</sup> کو جنم دے گی۔ اگر چھے کی مزاحمت صفر ہو تو  $\Phi_m$  ابتدائی چھے میں امالی برقی دباؤ  $e_1$  پیدا کرے گی جہاں

$$v_1 = e_1 = N_1 \frac{\partial \Phi_m}{\partial t} \quad (3.31)$$

ہوگی۔

اب ہم ثانیوی جانب برقی بار لادتے ہیں۔ ایسا کرنے سے بار بردار ٹرانسفارمر<sup>175</sup> کے ثانیوی جانب برقی رو  $i_2$  رواں ہوگی جس کی وجہ سے

174  $\phi$  کو یہاں ہم  $\Phi_m$  کہہ رہے ہیں

175 loaded transformer

$N_2 i_2$  مقناطیسی دباؤ وجود میں آئیگی۔ اس مقناطیسی دباؤ کی وجہ سے مرکز میں مقناطیسی بہاؤ  $\Phi_{load}$  پیدا ہوگا۔ اگر اس مقناطیسی بہاؤ کا کچھ نہ کیا جائے تو مرکز میں پہلے سے موجود مقناطیسی بہاؤ تبدیل ہو کر  $\Phi_{new} = \Phi_m - \Phi_{load}$  ہو جائے گا اور یوں ابتدائی لچھے میں امالی دباؤ تبدیل ہو کر  $e_{new}$  ہو جائے گا۔ لہذا ابتدائی جانب پر اب امالی دباؤ اور اس پر لاگو برقی دباؤ برابر نہیں ہونگے جو کہ مساوات 3.31 کی موجودگی میں ناممکن ہے۔ لہذا اس مقناطیسی بہاؤ  $\Phi_{load}$  کے اثر کو ختم کرنے کیلئے ابتدائی لچھے میں برقی رو  $i_1$  نمودار ہوگی جو اس مقناطیسی دباؤ یعنی  $N_2 i_2$  کے اثر کو ختم کر دے گی یعنی۔

$$N_1 i_1 = N_2 i_2 \quad (3.32)$$

یہ وہ ذریعہ ہے جس سے ابتدائی جانب معلوم ہوتا ہے کہ ثانوی جانب پر بار لدا ہے۔ شکل میں دونوں لچھوں میں برقی رو کی سمتیں یوں ہیں کہ ان کے مقناطیسی بہاؤ آپس میں الٹ سمت میں ہیں لہذا مرکز میں اب پھر مقناطیسی بہاؤ  $\Phi_m$  کے برابر ہے جیسا کہ ہونا چاہئے تھا۔ اس مساوات کو یوں لکھ سکتے ہیں

$$\frac{i_1}{i_2} = \frac{N_2}{N_1} \quad (3.33)$$

یہ وہی مساوات ہے جو مثالی ٹرانسفارمر کے لئے ثابت کی گئی تھی۔

### ٹرانسفارمر کی علامت پر نقطوں کا مطلب

شکل 3.6 میں ٹرانسفارمر کے پلہوں پر نکتے لگائے گئے ہیں۔ یہ نکتے اس بات کو ظاہر کرتے ہیں کہ اگر ایک طرف کے پلہے پر برقی دباؤ  $V_1$  یوں ہو کہ نکتے والا سرا مثبت اور بغیر نکتے والا سرا منفی ہو تو دوسرے پلہے پر برقی دباؤ  $V_2$  اس طرح ہوگا کہ اس پلہے کا بھی نکتے والا سرا مثبت اور بغیر نکتے والا سرا منفی ہوگا۔

مزید یہ کہ ابتدائی جانب برقی رو ٹرانسفارمر کے نکتے والے سرے سے ٹرانسفارمر کی اندر جانب ہوگا جبکہ ثانوی جانب برقی رو نقطہ والے سرے سے ٹرانسفارمر سے باہر نکلے گا۔

یوں  $V_1$  اور  $V_2$  وقت کے ساتھ یکساں تبدیل ہوتے ہیں اور ان کے مابین صفر زاویہ ہے۔ لہذا یہ دو برقی دباؤ ہم دور <sup>176</sup> ہیں۔

### 3.7 مقاومت کا تبادلہ <sup>177</sup>

اس حصہ میں مثالی ٹرانسفارمر میں مقاومت کے تبادلہ پر غور کیا جائے گا۔ شکل 3.8 الف میں ایک ٹرانسفارمر دکھایا گیا ہے جس کی ابتدائی جانب سائن نما برقی دباؤ  $\hat{V}_1 = V_1 \angle \theta_0$  لاگو کیا گیا ہے۔ یہاں دوری سمتیہ استعمال کئے جائیں گے۔

176 in-phase

177 impedance transformation

جیسے اُوپر ذکر ہوا، برقی دباؤ  $\hat{V}_1$  اور  $\hat{V}_2$  آپس میں ہم دور ہیں اور  
 اسی طرح برقی رو  $\hat{I}_1$  اور  $\hat{I}_2$  آپس میں ہم دور ہیں۔ مساوات 3.19 اور 3.33  
 کو دوری سمتیہ کی مدد سے یوں لکھ سکتے ہیں

$$\hat{V}_1 = \left( \frac{N_1}{N_2} \right) \hat{V}_2 \quad (3.34)$$

$$\hat{I}_1 = \left( \frac{N_2}{N_1} \right) \hat{I}_2 \quad (3.35)$$

چونکہ مقاومت

$$Z_2 = \frac{\hat{V}_2}{\hat{I}_2} = |Z_2| \angle \theta_z \quad (3.36)$$

کے برابر ہے لہذا

$$\left(\frac{\hat{V}_1}{\hat{I}_1}\right) = \left(\frac{N_1}{N_2}\right)^2 \left(\frac{\hat{V}_2}{\hat{I}_2}\right) = \left(\frac{N_1}{N_2}\right)^2 Z_2 \quad (3.37)$$

اب اگر ہم ٹرانسفارمر بمع اس پر لدھے مقاومت کی جگہ برقی دباؤ  $\hat{V}_1$  کو مقاومت  $Z_1$  پر لاگو کریں جہاں اس مقاومت کی قیمت

$$Z_1 = Z_2 \left(\frac{N_1}{N_2}\right)^2 \quad (3.38)$$

ہو تو  $\hat{V}_1$  سے حاصل برقی رو یا اس سے حاصل برقی طاقت تبدیل نہیں ہوگی۔  
یہ شکل 3.8 کے حصہ با میں دکھایا گیا ہے جہاں سے واضح ہے کہ

$$\left(\frac{\hat{V}_1}{\hat{I}_1}\right) = Z_1 = \left(\frac{N_1}{N_2}\right)^2 Z_2 \quad (3.39)$$

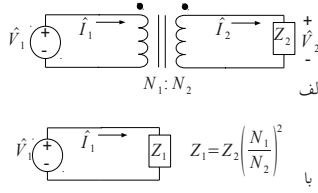
لہذا شکل کے الف اور با دونوں حصوں سے سرچشمہ برقی دباؤ  $\hat{V}_1$  کی برقی رو مساوات 3.37 اور 3.39 سے یکساں حاصل ہوتی ہے یعنی



$$\hat{I}_1 = \frac{\hat{V}_1}{\left(\frac{N_1}{N_2}\right)^2 Z_2} \quad (3.40)$$

اور یوں الف اور با دونوں حصوں میں سرچشمہ برقی دباؤ  $\hat{V}_1$  سے حاصل برقی طاقت برابر ہے یعنی

$$p = \hat{V}_1 \cdot \hat{I}_1 = \frac{V_1^2 \cos(\theta_z)}{\left(\frac{N_1}{N_2}\right)^2 |Z_2|} \quad (3.41)$$



شکل 3.8: ٹرانسفارمر کی متبادلہ مقاومت کی خصوصیت

یوں اگر ٹرانسفارمر کے ثانوی جانب مقاومت  $Z_2$  کا بار ہو تو حساب کرتے وقت ہم یہ اخذ کر سکتے ہیں کہ ٹرانسفارمر بمع مقاومت  $Z_2$  کی جگہ صرف  $Z_1$  مقاومت لگی ہے، جہاں  $Z_1$  مساوات 3.38 سے حاصل ہوتی ہے۔ مقاومت کا یوں ٹرانسفارمر کی ایک جانب سے دوسری جانب متبادلہ کیا جاسکتا ہے۔ ٹرانسفارمر کی اس خصوصیت کو اس کی متبادلہ مقاومت کی خصوصیت<sup>178</sup> کہتے ہیں۔

---

178 impedance transformation property

مثال 3.4:

- شکل 3.9 الف میں مقاومت  $Z_B$  کا برقی بار ایک جنریٹر پر لدا ہے۔ بار تک برقی طاقت دو برقی تاروں کے ذریعہ منتقل کیا گیا ہے۔ ان تاروں کی مجموعہ مقاومت  $Z_t$

ہے۔

- شکل کے حصہ با میں جنریٹر کے قریب نسب برقی دباؤ بڑھانے والا ٹرانسفارمر برقی دباؤ کو دس گنا بڑھاتا ہے اور برقی بار کے قریب نسب برقی دباؤ گھٹانے والا ٹرانسفارمر برقی دباؤ کو دس گنا گھٹاتا ہے۔ اس حصہ میں وہی برقی تار استعمال کئے گئے ہیں لہذا ان کی بھی مجموعہ مقاومت  $Z_t$  ہی ہے۔

اگر

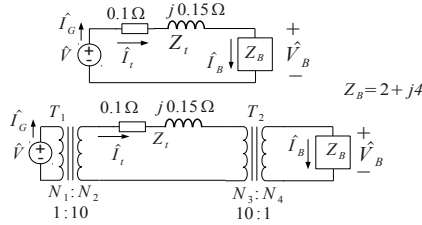
$$Z_B = 2 + j4$$

$$Z_t = 0.1 + j0.15$$

$$\hat{V} = 415 \angle 0^\circ$$

ہوں تو دونوں صورتوں میں

- برقی بار پر برقی دباؤ معلوم کریں
- برقی تاروں میں برقی طاقت کی ضیاع معلوم کریں



شکل 3.9: ٹرانسفارمر کی مدد سے طاقت کا ضیاع کم کیا جاتا ہے

حل: حصہ الف

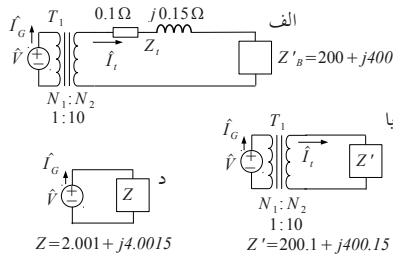
$$\begin{aligned}
 \hat{I}_G = \hat{I}_t = \hat{I}_B &= \frac{\hat{V}}{Z_t + Z_B} \\
 &= \frac{415}{0.1 + j0.15 + 2 + j4} \\
 &= \frac{415}{2.1 + j4.15} \\
 &= 89.23 \angle -63.159^\circ \\
 &= 40.28878 - j79.6166
 \end{aligned}$$

یوں مقاومت پر برقی دباؤ

$$\begin{aligned}
 \hat{V}_B &= \hat{I}_B Z_B \\
 &= (40.28878 - j79.6166)(2 + j4) \\
 &= 80.57756 + j161.15512 - j159.2332 + 318.4664 \\
 &= 399.04396 + j1.92192 \\
 &= 399.0486 \angle 0.275952^\circ
 \end{aligned}$$

اور برقی تاروں میں برقی طاقت کا ضیاع ہے

$$p_t = I_t^2 R_t = 89.23^2 \times 0.1 = 796.2 \text{ W}$$



شکل 3.10: ٹرانسفارمر قدم با قدم حل کرنے کا طریقہ

حل: حصہ با

شکل 3.9 اور 3.10 سے رجوع کریں۔ شکل 3.9 میپی ٹرانسفارمر  $T_2$  کے ثانوی جانب مقاومت کا مساوات 3.38 کی مدد سے اس کی ابتدائی جانب تبادلہ سے ملتا ہے

$$Z'_B = Z_1 = \left( \frac{N_3}{N_4} \right)^2 Z_B = \left( \frac{10}{1} \right)^2 (2 + j4) = 200 + j400$$

یوں شکل 3.10 الف حاصل ہوتا ہے۔ اس شکل میں اب برقی تار کی مقاومت اور یہ تبادلہ شدہ مقاومت سلسلہ وار جڑے ہیں۔ ان کے مجموعہ کو  $Z'$  کہتے ہوئے

$$Z' = Z_t + Z'_B = 0.1 + j0.15 + 200 + j400 = 200.1 + j400.15$$

یہ شکل کے حصہ با میپی دکھایا گیا ہے۔ ایک مرتبہ دوبارہ مساوات 3.38 استعمال کرتے ہوئے

$$Z = \left( \frac{N_1}{N_2} \right)^2 (Z') = \left( \frac{1}{10} \right)^2 (200.1 + j400.15) = 2.001 + j4.0015$$

شکل کے حصہ د میں یہ دکھایا گیا ہے۔ اب

$$\hat{I}_G = \frac{\hat{V}}{Z} = \frac{415}{2.001 + j4.0015} = 92.76\angle - 63.432^0$$

یہاں سے شکل 3.10 باکی مدد سے اگر جنریٹر کی برقی رو معلوم ہو تو تبادلہ برقی رو سے

$$\begin{aligned}\hat{I}_t &= \left( \frac{N_1}{N_2} \right) \hat{I}_G \\ &= \left( \frac{1}{10} \right) 92.76\angle - 63.432^0 \\ &= 9.276\angle - 63.432^0\end{aligned}$$

اس سے برقی تار میں طاقت کا ضیاع

$$p_t = I_t^2 R_t = 9.276^2 \times 0.1 = 8.6044 W$$

اسی طرح شکل 3.9 میں اگر  $\hat{I}_t$  معلوم ہو تو تبادلہ برقی رو سے

$$\begin{aligned}\hat{I}_B &= \left( \frac{N_3}{N_4} \right) \hat{I}_t \\ &= \left( \frac{10}{1} \right) 9.276\angle - 63.432^0 \\ &= 92.76\angle - 63.432^0 \\ &= 41.4878031 - j82.96493111\end{aligned}$$

اور مقاومت پر برقی دباؤ

$$\begin{aligned} V_B &= \hat{I}_B Z_B \\ &= (41.4878031 - j82.96493111)(2 + j4) \\ &= 82.975 + j165.951 - j165.929 + 331.859 \\ &= 414.83533 + j0.021348 \\ &= 414.83533 \angle 0.0029285^\circ \end{aligned}$$

ہوگی۔

ٹرانسفارمر کے بغیر برقی طاقت کی منتقلی میں برقی تاروں میں طاقت کی ضیاع 796.2 واٹ ہے جبکہ ٹرانسفارمر کے استعمال سے یہ صرف 8.6 واٹ ہے یعنی 92 گنا کم۔ یہی ٹرانسفارمر کی نہایت مقبولیت کی وجہ ہے۔

### 3.8 ٹرانسفارمر کے وولٹ-ایمپیئر

ٹرانسفارمر کی دونوں جانب برقی دباؤ ان لچھوں کے چکر پر منحصر ہوتا ہے۔ ٹرانسفارمر ایک خاص برقی دباؤ اور برقی رو کے لئے بنائے جاتے ہیں۔ ٹرانسفارمر جس برقی دباؤ  $V_1:V_2$  کے لئے بنائے جائیں یہ اس سے کم برقی دباؤ پر بھی استعمال کئے جا سکتے ہیں اگرچہ یہ عموماً بنائے گئے برقی دباؤ پر ہی چلائے جاتے ہیں۔ اسی طرح ٹرانسفارمر جتنی برقی رو  $I_1:I_2$  کے لئے بنائے جائیں انہیں اس سے کم برقی رو پر استعمال کیا جا سکتا ہے۔ حقیقت میں عموماً ٹرانسفارمر سے حاصل برقی رو اس حد سے کم ہی رکھی جاتی ہے۔



ٹرانسفارمر کی ایک جانب کی برقی دباؤ اور برقی رو کا حاصل ضرب اس کی دوسری جانب کی برقی دباؤ اور برقی رو کے حاصل ضرب کے برابر ہوتا ہے یعنی

$$V_1 I_1 = V_2 I_2 \quad (3.42)$$

برقی دباؤ اور برقی رو کے حاصل ضرب یعنی  $V_1 I_1$  یا  $V_2 I_2$  کو ٹرانسفارمر کی وولٹ ضرب ایمپیئر کہتے ہیں جسے عموماً چھوٹا کر کے صرف وولٹ-ایمپیئر<sup>179</sup> کہا جاتا ہے۔<sup>180</sup> یہ ٹرانسفارمر کی برقی اہلیت کی ناپ ہے جو اس پر لگی تختی پر لکھا جاتا ہے۔ اس تختی پر ٹرانسفارمر کے برقی دباؤ اور برقی تعداد ارتعاش بھی لکھے جاتے ہیں۔ یوں ٹرانسفارمر کے وولٹ-ایمپیئر

$$\text{volt} \cdot \text{ampere} = V_1 I_1 = V_2 I_2 \quad (3.43)$$

ہوں گے۔

اگرچہ یہاں ذکر ٹرانسفارمر کا ہو رہا ہے دراصل برقی مشین یعنی موٹر اور جنریٹر کی تختیوں پر بھی ان کے چالو حالت کے برقی دباؤ، ان کے وولٹ-ایمپیئر اور برقی تعداد ارتعاش لکھے جاتے ہیں۔ اس کی وجہ یہ ہے کہ ان سب مشین کی

<sup>179</sup> volt-ampere ( VA )

<sup>180</sup> وولٹ-ایمپیئر کو عموماً کلو وولٹ-ایمپیئر یعنی  $kVA$  میں بیان کیا جاتا ہے

کارکردگی کے بنیادی اصول ایک ہی طرح کے ہیں۔

مثال 3.5:

ایک 25000 وولٹ-ایمپیئر اور 11000:220 وولٹ برقی  
اہلیت کے ٹرانسفارمر کے زیادہ برقی دباؤ کی جانب 11000  
ولٹ لاگو ہیں۔

- اس کی ثانوی جانب زیادہ سے زیادہ کتنی برقی بار ڈالی جا سکتی ہے۔
- اس زیادہ سے زیادہ برقی بار پر اس کے ابتدائی لچھے میں برقی رو حاصل کریں۔

حل:

اس ٹرانسفارمر کی معلومات یہ ہیں

25 kVA

11000:220 V

(3.44)

اس کی ثانوی جانب برقی دباؤ تبادلہ برقی دباؤ کی مساوات سے 220  
ولٹ حاصل ہوتا ہے۔ یوں اس کی ثانوی جانب یعنی کم برقی دباؤ کی جانب زیادہ  
سے زیادہ برقی رو مساوات 3.43 سے حاصل کیا جاتا ہے۔

$$I_2 = \frac{25000}{220} = 113.636 \text{ A} \quad (3.45)$$

اسی طرح اس کی ابتدائی جانب زیادہ سے زیادہ برقی رو اسی مساوات سے یوں حاصل ہوتی ہے

$$I_1 = \frac{25000}{11000} = 2.2727 \text{ A} \quad (3.46)$$

ٹرانسفارمر کی دونوں جانب چھوٹوں میں استعمال برقی تار کی موٹائی یوں رکھی جاتی ہے کہ ان میں کثافتِ برقی رو  $J$  <sup>181</sup> یکساں ہو۔ چھوٹوں کی مزاحمت میں برقی رو گزرنے سے برقی طاقت کا ضیاع ہوتا ہے جس سے یہ گرم ہوتے ہیں۔ ٹرانسفارمر کی برقی رو کی حد چھوٹوں کی گرمائش پر منحصر ہوتی ہے۔ ان کی زیادہ سے زیادہ حرارت کو محفوظ حد کے اندر رکھا جاتا ہے۔

بڑے ٹرانسفارمر کے مرکز اور پلھے ایک غیر موصل تیل سے بھری ٹینکی میں ڈبوئے رکھے جاتے ہیں۔ یہ تیل ایک تو برقی چھوٹوں کی حرارت کم کرنے میں مدد دیتا ہے اور دوسری جانب غیر موصل ہونے کی وجہ سے یہ زیادہ برقی دباؤ کے حصوں کو برقی طور پر جدا رکھنے میں مدد دیتا ہے۔ یہ تیل تقریباً  $80^\circ \text{C}$  پر خراب ہونا شروع ہو جاتا ہے اور ہر  $8^\circ \text{C}$  اضافی درجہ حرارت پر اس کی

$$J = 3 \text{ A/mm}^2 \quad \text{ٹرانسفارمر کی چھوٹوں میں کثافتِ برقی رو تقریباً} \quad 1000 \text{ kVA} \quad 181$$

رکھی جاتی ہے

زندگی آدھی ہوتی رہتی ہے۔ یعنی اگر  $80^{\circ}C$  پرتیل کی کارآمد زندگی  $x$  سال ہے تو  $88^{\circ}C$  پر  $x/2$  سال اور  $96^{\circ}C$  پر یہ صرف  $x/4$  سال ہوگی۔

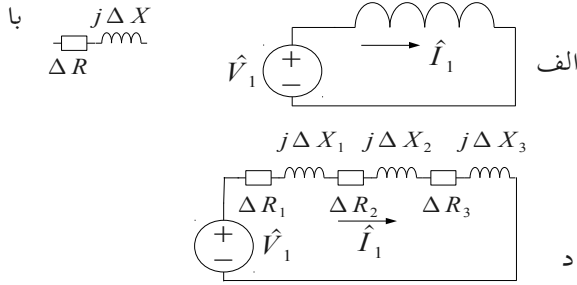
ٹرانسفارمر جس برقی دباؤ کے لئے بنایا جائے یہ اس پر لگی تختی پر لکھا جاتا ہے۔ اس سے حاصل برقی رو کی حد کو ایک مختلف طریقے سے لکھا جاتا ہے۔

### 3.9 ٹرانسفارمر کے امالہ اور اس کے مساوی دور

#### 3.9.1 چھپے کی مزاحمت اور اس کی متعاملہ علیحدہ کرنا

ٹرانسفارمر کی ابتدائی چھپے کی مزاحمت  $R_1$  کو ہم نے حصہ 3.3 مساوات 3.9 میں دیکھا۔ چھپے کی مزاحمت کو چھپے سے باہر چھپے کے ساتھ سلسلہ وار جڑا دکھایا گیا تھا۔ دیکھتے ہیں یہ کیسے ممکن ہوتا ہے۔

شکل 3.11 الف میں ایک چھپے پر بدلتی برقی دباؤ لاگو کا گیا ہے۔ اگر چھپے کی برقی تار کو نہایت چھوٹے ٹکڑوں میں تقسیم کیا جائے تو اس کے ہر ٹکڑے کی نہایت کم مزاحمت اور متعاملہ ہوگی۔ ایسا ایک ٹکڑا شکل کے حصہ با میں دکھایا گیا ہے۔ چونکہ چھپا ان سب ٹکڑوں کے سلسلہ وار جڑنے سے بنا ہے لہذا حصہ الف کے دور کو ہم حصہ د کی طرح بنا سکتے ہیں۔ اس مثال میں ہم نے چھپے کے صرف چھ ٹکڑے ہوتے دکھائے ہیں۔



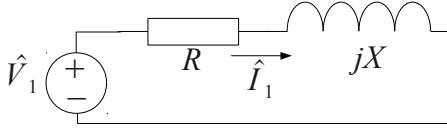
شکل 3.11: پچھے کی مزاحمت اور متعاملہ

اس دور کی مساوات لکھ کر حل کرتے ہیں۔

$$\begin{aligned}
 \hat{V}_1 &= \hat{I}_1 (\Delta R_1 + j \Delta X_1 + \Delta R_2 + j \Delta X_2 + \Delta R_3 + j \Delta X_3) \\
 &= \hat{I}_1 (\Delta R_1 + \Delta R_2 + \Delta R_3) + j \hat{I}_1 (\Delta X_1 + \Delta X_2 + \Delta X_3) \\
 &= \hat{I}_1 (R + jX)
 \end{aligned} \quad (3.47)$$

جہاں

$$\begin{aligned}
 X &= \Delta X_1 + \Delta X_2 + \Delta X_3 \\
 R &= \Delta R_1 + \Delta R_2 + \Delta R_3
 \end{aligned} \quad (3.48)$$



شکل 3.12: لچھے کے حصے علیحدہ دکھائے گئے ہیں

یہ شکل 3.12 میں دکھایا گیا ہے اور یہ ثابت ہوتا ہے کہ ایسا کرنا ممکن ہے۔

### 3.9.2 رستا امالہ

اوپر ایک مثالی ٹرانسفارمر زیر بحث رہا۔ اب ہم ٹرانسفارمر میں ان عناصر کا ذکر کرتے ہیں جن کی وجہ سے ٹرانسفارمر غیر مثالی ہو جاتا ہے۔ بہت سی جگہوں پر ٹرانسفارمر استعمال کرتے وقت ان عناصر کو مد نظر رکھ کر ہی اس کا صحیح استعمال ممکن ہوتا ہے۔ ان عناصر کے اثر کو شامل کرنے کے لئے ہم ٹرانسفارمر کا مساوی دور بناتے ہیں۔

ابتدائی لچھے کے مقناطیسی بہاؤ کو دو حصوں میں تقسیم کیا جا سکتا ہے۔ پہلا حصہ وہ جو مرکز سے گزر کر ابتدائی اور ثانوی لچھے دونوں سے گزرتا

ہے۔ یہ ان کا مشترکہ مقناطیسی بہاؤ ہے اور دوسرا حصہ وہ جو صرف ابتدائی لچھے سے گزرتا ہے اور زیادہ تر مرکز کے باہر خلاء میں ہی رہتا ہے۔ اس کو رستا مقناطیسی بہاؤ<sup>182</sup> کہتے ہیں۔ یہ شکل میں دکھایا گیا ہے۔ چونکہ ہوا میں نفوذ پذیری  $\mu_0$  مقررہ ہے لہذا یہاں ہچکچاہٹ بھی مقررہ ہے۔ یوں رستا مقناطیسی بہاؤ ابتدائی لچھے کی برقی رو کے براہ راست متناسب ہوتی ہے۔

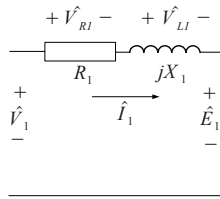
اس کے اثر کو بالکل لچھے کی مزاحمت کی طرح لچھے سے باہر رستا امالہ  $L_1$  یا رستا متعاملہ<sup>183</sup>  $X_1 = 2\pi f L_1$  سے ظاہر کیا جاتا ہے۔

ٹرانسفارمر کے ابتدائی لچھے میں برقی رو  $\hat{I}_1$  گزرنے سے رستا متعاملہ میں  $\hat{V}_{X_1} = j \hat{I}_1 X_1$  برقی دباؤ اور لچھے کے تار کی مزاحمت  $R_1$  میں  $\hat{V}_{R_1} = \hat{I}_1 R_1$  برقی دباؤ گھٹتا ہے۔

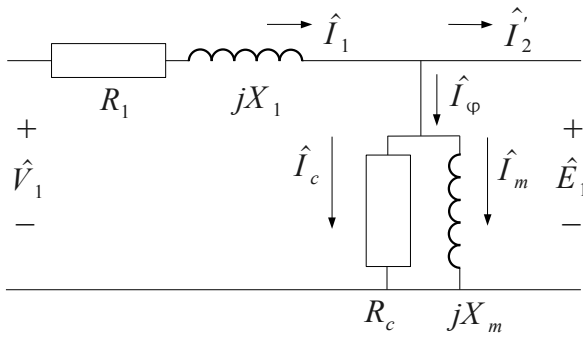
یوں ابتدائی لچھے پر لاگو برقی دباؤ  $\hat{V}_1$  میں سے کچھ برقی دباؤ  $R_1$  میں کم ہوگا، کچھ متعاملہ  $X_1$  میں کم ہوگا اور بقیہ  $\hat{E}_1$  کے برابر ہوگا۔ یہ شکل 3.13 میں دکھایا گیا ہے۔

182 leakage magnetic flux

183 leakage reactance



شکل 3.13: ترانسفارمر دورکا پہلا حصہ



شکل 3.14: ترانسفارمر دور کا دوم حصہ



### 3.9.3 ثانوی برقی رو اور مرکز کے اثرات

مرکز میں دونوں چھوٹوں کا مشترکہ مقناطیسی بہاؤ ان کے مجموعی مقناطیسی دباؤ کی وجہ سے وجود میں آتا ہے۔ البتہ اگر ہم کچھ یوں سوچیں تو یہ زیادہ بہتر ہوگا۔ ہم کہتے ہیں کہ ابتدائی برقی رو کو دو شرائط پوری کرنی ہوں گی۔ پہلی یہ کہ اسے مرکز میں ہیجانی مقناطیسی بہاؤ وجود میں لانا ہوگا اور دوسری یہ کہ اسے ثانوی چھوٹے کے پیدا کردہ مقناطیسی بہاؤ کو ختم کرنا ہوگا۔ لہذا ابتدائی برقی رو کو ہم دو حصوں میں تقسیم کر سکتے ہیں۔ ایک حصہ  $i_\phi$  جو ہیجانی مقناطیسی بہاؤ پیدا کرے اور دوسرا  $\hat{I}_2'$  جو ثانوی چھوٹے کے مقناطیسی دباؤ کے اثر کو ختم کرے۔ لہذا

$$\hat{I}_2' = \frac{N_2}{N_1} \hat{I}_2 \quad (3.49)$$

اس باب کے حصہ 3.6 میں اس پر تفصیل سے غور کیا گیا ہے۔ برقی رو  $i_\phi$  غیر سائن نما ہوتی ہے لیکن پھر بھی ہم اسے سائن نما<sup>184</sup>  $\hat{I}_\phi$  ہی تصور کرتے ہیں۔ اس کو ہم دو حصوں میں تقسیم کر سکتے ہیں یعنی

$$\hat{I}_\phi = \hat{I}_c + \hat{I}_m \quad (3.50)$$

---

184 سائن نما برقی رو کو دوری سمتیہ سے ظاہر کیا جاتا ہے

جہاں  $\hat{I}_c$  اس کا وہ حصہ ہے جو ابتدائی چلھے کی امالی برقی دباؤ  $\hat{E}_1$  کے ہم دور ہے اور یہ مرکز میں برقی توانائی کے ضیاع کو ظاہر کرتا ہے جبکہ  $\hat{I}_m$  اس کا وہ حصہ ہے جو  $\hat{E}_1$  سے نوے درجہ زاویہ پیچھے<sup>185</sup> ہے اور چلھے میں مقناطیسی بہاؤ کو جنم دیتا ہے۔ برقی رو کے ان حصوں کو ہم ایک مزاحمت  $R_c$  اور ایک  $jX_m$  سے پیش کرتے ہیں۔ یہ شکل میں دکھایا گیا ہے۔  $R_c$  کی مقدار اتنی رکھی جاتی ہے کہ اس میں برقی طاقت کا ضیاع اصل مرکزی ضیاع کے برابر ہو یعنی  $P_c = E_{1,rms}^2 / R_c$ ، اسی طرح  $jX_m$  کی مقدار اتنی رکھی جاتی ہے کہ  $\hat{I}_m = \hat{E}_1 / jX_\phi$  ہو۔ ان دونوں، یعنی  $R_c$  اور  $jX_m$ ، کی مقدار اصل برقی دباؤ اور تعدد پر حاصل کئے جاتے ہیں۔ یہ شکل 3.14 میں دکھایا گیا ہے۔

### 3.9.4 ثانوی چلھے کی امالی برقی دباؤ

مرکز میں مشترکہ مقناطیسی بہاؤ ثانوی چلھے میں امالی برقی دباؤ  $\hat{E}_2$  پیدا کرے گی اور چونکہ یہی مقناطیسی بہاؤ ابتدائی چلھے میں امالی  $\hat{E}_1$  پیدا کرتی ہے لہذا

$$\frac{\hat{E}_1}{\hat{E}_2} = \frac{N_1}{N_2} \quad (3.51)$$

گزشتہ دو مساواتوں یعنی 3.50 اور 3.51 کو ایک مثالی ٹرانسفارمر سے

---

185 lagging

ظاہر کیا جا سکتا ہے۔ یہ شکل 3.15 میں دکھایا گیا ہے۔

### 3.9.5 ثانوی لچھے کی مزاحمت اور متعاملہ کے اثرات

ثانوی لچھے کے سروں پر البتہ  $\hat{E}_2$  برقی دباؤ نہیں ہوگا چونکہ ثانوی لچھے کے، بالکل ابتدائی لچھے کی طرح، مزاحمت  $R_2$  اور متعاملہ  $jX_2$  ہوں گے جن میں ثانوی برقی رو  $\hat{I}_2$  کی وجہ سے برقی دباؤ کم ہوگا۔ لہذا ثانوی لچھے کے سروں پر برقی دباؤ  $\hat{V}_2$  کچھ کم ہوگا۔ یعنی

$$\hat{V}_2 = \hat{E}_2 - \hat{I}_2 R_2 - j \hat{I}_2 X_2 \quad (3.52)$$

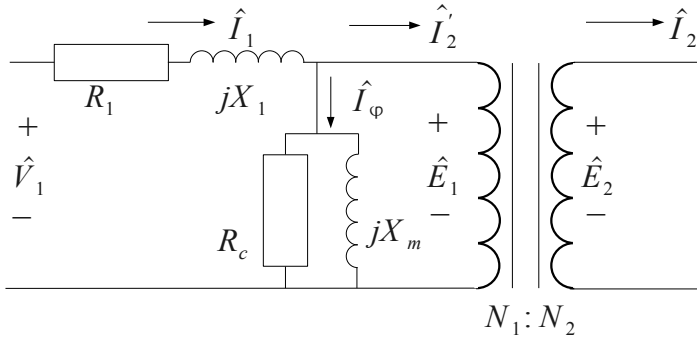
یوں حاصل ٹرانسفارمر کا مکمل دور شکل 3.16 میں دکھایا گیا ہے۔

### 3.9.6 مقاومت کا ابتدائی یا ثانوی جانب تبادلہ

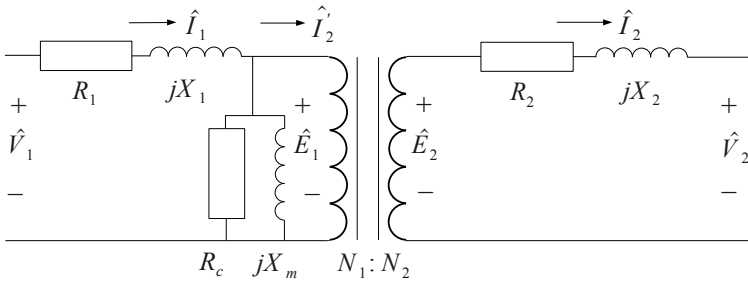
شکل 3.16 میں دکھائے دور کے سب جز کا تبادلہ ایک جانب سے دوسری جانب کیا جا سکتا ہے۔ یہ کرنے سے مثالی ٹرانسفارمر کو مساوی دور کی بائیں یا دائیں جانب لے جایا جا سکتا ہے۔ شکل 3.17 میں ثانوی جانب کی مقاومت کا ابتدائی جانب تبادلہ کیا گیا ہے جبکہ شکل 3.18 میں ابتدائی جانب کی مقاومت کا ثانوی جانب تبادلہ کیا گیا ہے۔ اس طرح حاصل مساوی دور میں عموماً مثالی ٹرانسفارمر بنایا ہی نہیں جاتا۔ یہی شکل 3.18 میں کیا گیا ہے۔

تبادلہ شدہ مقاومت  $Z$  کو  $Z'$  سے ظاہر کیا جاتا ہے۔ یوں  $R_2$  کے ٹرانسفارمر کی دوسری جانب تبادلہ کے بعد اسے  $R_2'$  سے ظاہر کیا گیا ہے۔ ایسا دور استعمال کرتے وقت یہ ذہن میں رکھنا ہوتا ہے کہ ٹرانسفارمر

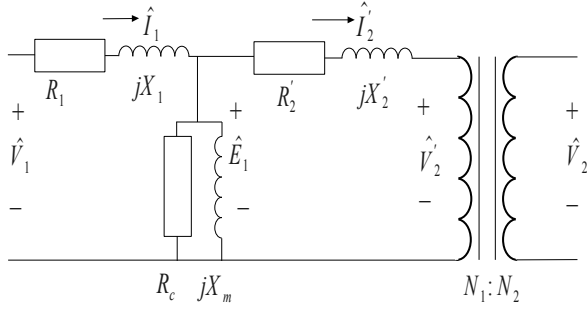
کے کس جانب دور حل کیا جا رہا ہے۔



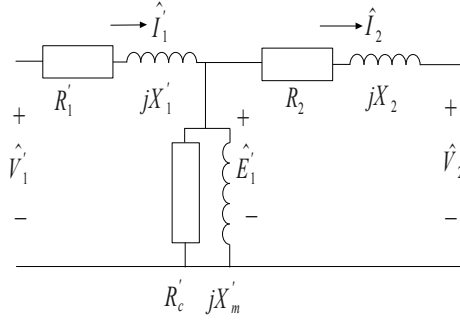
شکل 3.15: ٹرانسفارمر دور حصہ ٹوم



شکل 3.16: ٹرانسفارمر کا مکمل دور



شکل 3.17: ثانوی جانب کی مقاومت کا ابتدائی جانب تبادله کیا گیا ہے



شکل 3.18: ابتدائی جانب کی مقاومت کا ثانوی جانب تبادلہ کیا گیا ہے

مثال 3.6:

ایک 50 کلو وولٹ-ایمپیئر اور 2200:220 وولٹ برقی اہلیت کے ٹرانسفارمر کی زیادہ برقی دباؤ کی جانب کی رستا مقاومت  $Z_1 = 0.9 + j1.2$  اوہم اور کم برقی دباؤ کی جانب کی رستا

مقاومت  $Z_2 = 0.0089 + j0.011$  اوہم ہے۔ اگر اس کی  $R_c = 6.4 \Omega$  اور  $X_m = 47 \Omega$  ہو تو اس کی شکل 3.17 اور شکل 3.18 میں استعمال ہونے والے جُز معلوم کریں۔

حل حصہ اول:

معلومات:

$$50 kVA$$

$$2200 : 220 V$$

$$50 Hz$$

ٹرانسفارمر کے دونوں جانب کی برقی دباؤ لچھوں کے چکروں کی نسبت سے ہوتے ہیں لہذا

$$\frac{N_1}{N_2} = \frac{2200}{220} = \frac{10}{1}$$

یوں اگر ٹرانسفارمر کی مقاومت کا زیادہ برقی دباؤ کی جانب تبادلہ کیا جائے تو

$$R'_2 + jX'_2 = \left( \frac{N_1}{N_2} \right)^2 (R_2 + jX_2)$$

$$= \left( \frac{10}{1} \right)^2 0.0089 + j0.011$$

$$= 0.89 + j1.1$$

جبکہ اس کی بقایا مقاومت وہی رہیں گے۔ یوں شکل 3.17 کے جُز حاصل ہوئے۔

حل حصہ دوم:

اگر مساوی دور کی مقاومت کا کم برقی دباؤ کی جانب تبادلہ کیا جائے

تب

$$\begin{aligned}
 R'_1 + jX'_1 &= \left( \frac{N_2}{N_1} \right)^2 (R_1 + jX_1) \\
 &= \left( \frac{1}{10} \right)^2 (0.9 + j1.2) \\
 &= 0.009 + j0.012
 \end{aligned}$$

اسی طرح

$$\begin{aligned}
 R'_c &= \left( \frac{N_2}{N_1} \right)^2 R_c = 0.064 \\
 X'_m &= \left( \frac{N_2}{N_1} \right)^2 X_m = 0.47
 \end{aligned}$$

جبکہ  $Z_2$  وہی رہے گا۔

### 3.9.7 ٹرانسفارمر کے سادہ ترین مساوی دور

ایک انجینیئر کو جب ایک ٹرانسفارمر استعمال کرنا ہو تو وہ حساب کرتے وقت شکل 3.17 میں دیئے گئے دور کو استعمال کر سکتا ہے۔ یہ دور حقیقی ٹرانسفارمر کی بہت اچھی عکاسی کرتا ہے۔ البتہ جہاں ہمیں نہایت صحیح جواب مطلوب نہ ہوں وہاں اس دور کی سادہ اشکال بھی استعمال کی جا سکتی ہیں۔ اس باب میں ہم ایسے ہی سادہ مساوی دوروں کا ذکر کریں گے۔

اگر ہم شکل 3.17 میں  $R_c$  اور  $X_m$  کو بائیں یا دائیں طرف لے جائیں



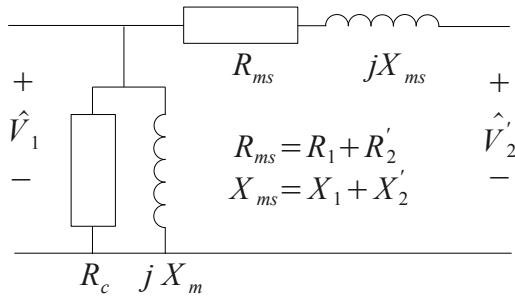
تو ہمیں جو دور ملتا ہے وہ شکل 3.19 اور 3.20 میں دکھایا گیا ہے۔ چونکہ  $\hat{I}_\phi$  کی مقدار نہایت کم<sup>186</sup> ہوتی ہے اس لئے ایسا کرنے سے حاصل جواب پر کوئی خاص فرق نہیں پڑتا۔ چونکہ اس شکل میں  $R_1$ ،  $R'_2$ ،  $X_1$  اور  $X'_2$  سلسلہ وار ہیں اس لئے ان کو جمع کیا جا سکتا ہے شکل میں ان کو مساوی مزاحمت  $R_{ms}$  اور مساوی متعاملہ  $X_{ms}$  کہا گیا ہے۔

ہم ایک قدم اور آگے جا سکتے ہیں اور  $\hat{I}_\phi$  کو مکمل طور پر نظر انداز کر سکتے ہیں یعنی اس کو ہم صفر تصور کر لیتے ہیں۔ اس کا مطلب ہے کہ مساوی دور میں  $R_c$  اور  $jX_m$  دونوں کو کھلے دور کیا جاتا ہے یعنی انہیں مساوی دور سے ہٹا دیا جاتا ہے۔ شکل 3.21 الف اور با میں یہ دکھائے گئے ہیں۔ ان دور میں مرکز کے اثرات کو مکمل طور پر نظر انداز کیا گیا ہے۔

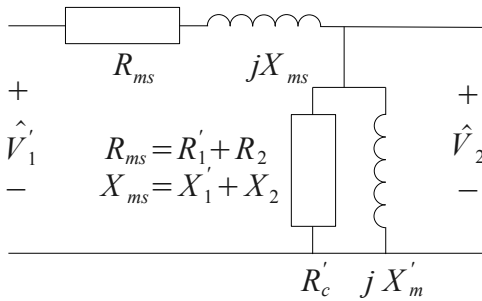
بیشتر وقت ہمیں اس سے بھی کم صحیح جواب مطلوب ہوتا ہے۔ چونکہ  $X_{ms} \gg R_{ms}$  لہذا ہم  $R_{ms}$  کو بھی نظر انداز کر سکتے ہیں۔ یوں شکل 3.22 الف اور با حاصل ہوتی ہیں۔

---

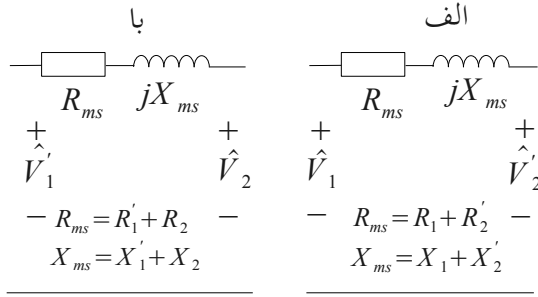
186  $\hat{I}_\phi$  ٹرانسفارمر کے کل برقی بار کے صرف دو سے چھ فی صد ہوتی ہے



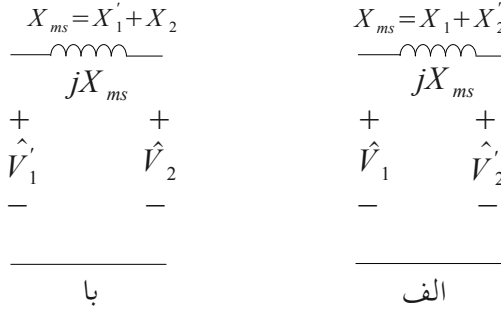
شکل 3.19: بائیں جانب



شکل 3.20: دائیں جانب



شکل 3.21: ان دور میں مرکز کے اثرات کو نظر انداز کیا گیا  
ہے



شکل 3.22: ٹرانسفارمر کے سادہ ترین دور

### 3.10 کھلے دور معائنہ اور کسر دور معائنہ

پچھلے حصے میں بیان کئے گئے ٹرانسفارمر کے مساوی دور کے جُز ٹرانسفارمر کے دو معائنوں سے حاصل کئے جا سکتے ہیں۔ ان معائنوں کو کھلے دور معائنہ اور کسر دور معائنہ کہتے ہیں۔ اس حصے میں انہیں پر غور کیا جائے گا۔

#### 3.10.1 کھلے دور معائنہ<sup>187</sup>

کھلے دور معائنہ جیسا کہ نام سے واضح ہے، ٹرانسفارمر کی ایک جانب پلچھے کے سروں کو آزاد رکھ کر کیا جاتا ہے۔ یہ معائنہ اتنی برقی دباؤ اور

<sup>187</sup> open circuit test

تعدد یا ان کے قریب ترین مقداروں پر کیا جاتا ہے جتنے پر ٹرانسفارمر کی بناوٹ<sup>188</sup> ہو۔ اگرچہ یہ معائنہ ٹرانسفارمر کے کسی بھی جانب کے چلھے پر کیا جا سکتا ہے، حقیقت میں اسے کم برقی دباؤ والی جانب کے چلھے پر کرنا آسان ہوتا ہے۔ یہ بات ایک مثال سے زیادہ آسانی سے سمجھ آتی ہے۔

مثلاً ہم  $25\text{ kVA}$  اور  $11\text{ kV} : 220\text{ V}$  کا  $50\text{ Hz}$  پر چلنے والے ایک دور کے ٹرانسفارمر کا معائنہ کرنا چاہتے ہیں۔ اگر یہ معائنہ اس کے گیارہ ہزار کے چلھے پر کیا جائے تو گیارہ ہزار برقی دباؤ کے لگ بھگ برقی دباؤ استعمال کیا جائے گا اور اگر دو سو بیس برقی دباؤ والے چلھے پر کیا جائے تو دو سو بیس برقی دباؤ کے لگ بھگ برقی دباؤ استعمال کیا جائے گا۔ دونوں صورتوں میں تعدد  $50\text{ Hz}$  کے لگ بھگ رکھا جائے گی۔  $11\text{ kV}$  کی برقی دباؤ پر کام کرنا نہایت خطرناک ثابت ہو سکتا ہے۔ یہی وجہ ہے کہ اس معائنہ کو کم برقی دباؤ والے چلھے پر ہی کیا جاتا ہے۔

جس برقی دباؤ پر ٹرانسفارمر عام حالات میں استعمال ہوتا ہے اس معائنہ میں کم برقی دباؤ والی جانب کے چلھے پر اتنے ہی یا اس کی قریب مقدار کی برقی دباؤ  $V_I$  لاگو کر کے کھلے دور برقی طاقت  $P_I$  اور کھلے دور برقی رو  $I_I$  ناپے جاتے ہیں۔ معائنہ حقیقت میں استعمال کے دوران برقی دباؤ کے جتنے قریب برقی دباؤ پر کیا جائے اتنا بہتر جواب ملتا ہے۔ ٹرانسفارمر کی دوسری جانب چلھے کے سرے چونکہ آزاد رکھے جاتے ہیں اس لئے اس میں برقی رو صفر ہوگا۔ لہذا ناپا گیا برقی رو صرف ہیجان انگیز برقی رو ہوگا۔ ٹرانسفارمر جتنی برقی رو کے لئے بنایا گیا ہو یہ برقی رو اس کے تقریباً دو سے چھ فیصد ہوتا ہے۔ شکل

3.17 کو مد نظر رکھتے ہوئے اگر ہم بائیں جانب کو کم برقی دباؤ والی جانب تصور کریں تو شکل میں دی گئی  $V_1$  کی جگہ ہوگی۔ یوں ہم جو برقی رو ناپیں گے وہ  $I_1$  ہوگی جہاں  $I_1$  ایک مقداری<sup>189</sup> ہے۔ چونکہ  $\hat{I}_2'$  صفر کے برابر ہے لہذا  $I_1$  درحقیقت  $\hat{I}_\varphi$  کے مقدار  $I_\varphi$  کے برابر ہوگی۔ یعنی اس طرح

$$I_l = I_1 = I_\varphi \quad (3.53)$$

اتنی کم برقی رو سے چھپے کی مقاومت میں نہایت کم برقی دباؤ گھٹتا ہے، لہذا اسے نظر انداز کیا جاتا ہے یعنی

$$V_{R_1} = I_1 R_1 = I_\varphi R_1 \simeq 0 \quad (3.54)$$

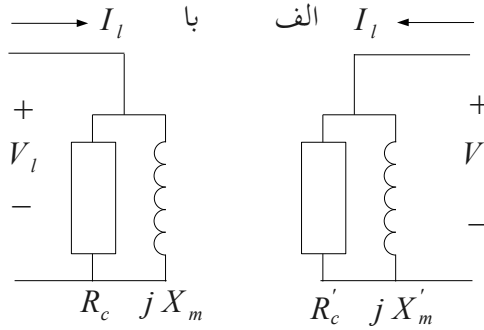
$$V_{X_1} = I_1 X_1 = I_\varphi X_1 \simeq 0 \quad (3.55)$$

یوں اگر یہ معائنہ ابتدائی جانب کیا جا رہا ہو تو  $V_l$  بغیر کم ہوئے  $R_c$  اور  $X_m$  پر لاگو ہوگا۔ یہ شکل 3.17 اور شکل 3.19 سے ظاہر ہے۔ البتہ اگر یہ معائنہ ثانوی جانب کیا جا رہا ہو تب  $V_l$  بغیر کم ہوئے  $R_c'$  اور

---

189 scalar

$X'_m$  پر لاگو ہوگا۔ یہ شکل 3.18 اور شکل 3.20 سے ظاہر ہے۔ یوں اس معائنہ میں ہم شکل 3.23 استعمال کرتے ہیں جہاں حصہ الف ثانوی جانب اور حصہ با ابتدائی جانب معائنہ دکھلا رہا ہے۔



شکل 3.23: کھلے سرے معائنہ

چونکہ برقی طاقت کا ضیاع صرف مزاحمت میں ہی ممکن ہے لہذا  $P_l$  صرف  $R_c$  یا  $R'_c$  میں ہی ضائع ہوگی۔ اس مزاحمت کو یہاں  $R_l$  کہہ کر پکارتے ہیں۔ یوں

$$P_l = \frac{V_l^2}{R_l} \quad (3.56)$$

یا

$$R_l = \frac{V_l^2}{P_l} \quad (3.57)$$

اسی طرح چونکہ برقی دباؤ اور برقی رو کی مقداروں کے تناسب کو مقاومت کی مقدار کہتے ہیں لہذا

$$|Z_l| = \frac{V_l}{I_l} \quad (3.58)$$

مگر شکل 3.23 سے واضح ہے کہ

$$\frac{1}{Z_l} = \frac{1}{R_l} + \frac{1}{jX_l} \quad (3.59)$$

جہاں متعاملہ  $X_m$  یا  $X'_m$  کو  $X_l$  کہا جا رہا ہے۔ لہذا



$$Z_l = \frac{j R_l X_l}{R_l + j X_l} \quad (3.60)$$

$$|Z_l| = Z_l = \frac{R_l X_l}{\sqrt{R_l^2 + X_l^2}}$$

جس سے حاصل ہوتا ہے

$$X_l = \frac{Z_l R_l}{\sqrt{R_l^2 - Z_l^2}} \quad (3.61)$$

اگر یہ معائنہ ابتدائی جانب کیا جائے تو مساوات 3.57 سے  $R_c$  اور مساوات 3.61 سے  $X_m$  کا حساب لگایا جائے گا اور اگر یہ معائنہ ثانوی جانب کیا جائے تو ان سے  $R'_c$  اور  $X'_m$  کا حساب لگایا جائے گا۔

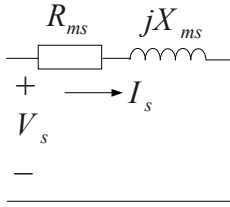
### 3.10.2 کسر دور معائنہ<sup>190</sup>

یہ معائنہ بھی پچھلے معائنہ کی طرح ٹرانسفارمر کے کسی بھی طرف کیا جا سکتا ہے مگر حقیقت میں اسے زیادہ برقی دباؤ کے چھوٹے پر ہی کرنا زیادہ آسان ہوتا ہے۔ یہ معائنہ جتنے برقی رو کے لئے ٹرانسفارمر بنایا گیا ہو اتنی برقی رو یا اس

---

190 short circuit test

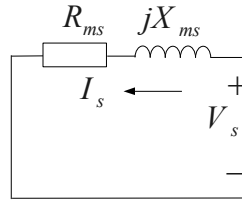
کے قریب مقدار پر کیا جاتا ہے۔ یعنی اس معائنہ میں کوشش ہوتی ہے کہ ٹرانسفارمر کے چلھے میں اتنی برقی رو گزرے جتنی کے لئے یہ بنایا گیا ہو۔ لہذا اگر ہم پچھلے معائنہ میں استعمال ہونے والے ٹرانسفارمر کی بات آگے بڑھائیں تو اس کا زیادہ برقی دباؤ کا چلھا  $2.2727 A$  اور کم برقی دباؤ کا چلھا  $113.63 A$  کے لئے بنایا گیا ہے۔ لہذا اگر یہ معائنہ کم برقی دباؤ چلھے پر کیا جائے تو اسے  $113.63 A$  پر کرنا ہوگا اور اگر زیادہ برقی دباؤ چلھے پر کیا جائے تو صرف  $2.2727 A$  پر کرنا ہوگا جو کہ زیادہ آسان ہے۔



با

$$R_s = R_{ms} = R_1 + R_2'$$

$$X_s = X_{ms} = X_1 + X_2'$$



الف

$$R_s = R_{ms} = R_1' + R_2$$

$$X_s = X_{ms} = X_1' + X_2$$

شکل 3.24: کسر دور معائنہ

اس معائنہ میں کم برقی دباؤ چلھے کے دونوں سروں کو آپس میں جوڑا جاتا ہے یعنی انہیں کسر دور کر لیا جاتا ہے اور زیادہ برقی دباؤ چلھے پر اس جانب کی ڈیزائن کردہ برقی دباؤ کے دو سے بارہ فی صد کا برقی دباؤ  $V_s$  لاگو کر کے کسر

دور برقی رو  $I_s$  اور کسر دور برقی طاقت  $P_s$  ناپے جاتے ہیں۔ جس پلھے کے سرے آپس میں کسر دور ہوتے ہیں اس میں سے برقی رو گزرتی ہے اور اس کا عکس دوسری جانب بھی موجود ہوتا ہے۔ یہ برقی رو ٹرانسفارمر کے ڈیزائن کردہ برقی رو کے لگ بھگ ہوتا ہے۔ اس معائنہ کا دور شکل 3.24 میں دکھایا گیا ہے۔ شکل کے حصہ الف میں یہ معائنہ ثانوی جانب ہوتے دکھایا گیا ہے جبکہ حصہ با میں یہ معائنہ ابتدائی جانب سے ہوتے ہوئے دکھایا گیا ہے۔ چونکہ یہ معائنہ بہت کم برقی دباؤ پر کیا جاتا ہے لہذا اس معائنہ میں ہیجان انگیز برقی رو کو مکمل طور پر نظر انداز کیا جا سکتا ہے۔ شکل سے ہم دیکھتے ہیں کہ چونکہ برقی طاقت صرف مزاحمت میں ہی ضائع ہو سکتی ہے لہذا

$$P_s = I_s^2 R_s \quad (3.62)$$

کسر دور برقی رو اور برقی دباؤ سے ہمیں ملتی ہے

$$|Z_s| = Z_s = \frac{V_s}{I_s} \quad (3.63)$$

مگر شکل سے واضح ہے کہ

$$\begin{aligned} Z_s &= R_s + jX_s = R_{ms} + jX_{ms} \\ |Z_s|^2 &= Z_s^2 = R_s^2 + X_s^2 = R_{ms}^2 + X_{ms}^2 \end{aligned} \quad (3.64)$$

لہذا

$$X_s = X_{ms} = \sqrt{Z_s^2 - R_s^2} = \sqrt{Z_s^2 - R_{ms}^2} \quad (3.65)$$

اگر دونوں جانب کے لچھوں کی مزاحمت اور متعاملہ کی ضرورت ہو تو یہ تصور کیا جاتا ہے کہ

$$R_1 = R_2' = \frac{R_{ms}}{2} \quad (3.66)$$

$$X_1 = X_2' = \frac{X_{ms}}{2} \quad (3.67)$$

یہ قابل قبول جواب ہوتے ہیں۔

چونکہ یہ معائنہ عموماً جہاں ٹرانسفارمر موجود ہو وہیں کرنا پڑتا ہے لہذا یہ ممکن نہیں ہوتا کہ ٹرانسفارمر کو بالکل اتنا برقی دباؤ دیا جائے جتنا درکار ہو

بلکہ جو برقی دباؤ موجود ہو اسی سے کام چلانا پڑتا ہے۔ لیکن اس بات کا خیال بہت ضروری ہے کہ جو برقی دباؤ ٹرانسفارمر کو دیا جا رہا ہو وہ ڈیزائن کردہ برقی دباؤ کے دو سے بارہ فی صد ہو۔ مثلاً اگر اسی  $11\text{ kV} : 220\text{ V}$  ٹرانسفارمر کی بات کی جائے تو اس کے زیادہ برقی دباؤ چلھے پر  $220\text{ V}$  اور  $1320\text{ V}$  کے درمیان کوئی بھی برقی دباؤ دیا جا سکتا ہے۔ چونکہ ہمارے ہاں  $220\text{ V}$  اور  $440\text{ V}$  عام پائے جاتے ہیں لہذا ہم  $220\text{ V}$  یا  $440\text{ V}$  ہی استعمال کریں گے۔

یہاں یہ ایک مرتبہ دوبارہ یاد دہیانی کراتا جاؤں کہ ٹرانسفارمر کی ایک جانب چلھے کے سرے آپس میں جوڑ کر، یعنی انہی کسر دور کر کے، دوسری جانب چلھے پر کسی بھی صورت میں اس جانب کی پوری برقی دباؤ لاگو نہیں کرنی۔ ایسا کرنا شدید خطرناک اور جان لیوا ثابت ہو سکتا ہے۔

ایک 25 کلو وولٹ-ایمپیئر،  $11000:220$  وولٹ اور 50 ہرٹز پر چلنے والے ٹرانسفارمر کے کھلے دور اور کسر دور معائنہ کئے جاتے ہیں جن کے نتائج یہ ہیں

مثال 3.7:

کم برقی دباؤ کی جانب کھلے دور معائنہ	زیادہ برقی دباؤ کی جانب کسر دور معائنہ
$V_l = 220 V$	$V_s = 440 V$
$I_l = 39.64 A$	$I_s = 2.27 A$
$P_l = 600 W$	$P_s = 560 W$

حل کھلے دور:

$$Z_l = \frac{V_l}{I_l} = \frac{220}{39.64} = 5.549949546 \Omega$$

$$R_l = \frac{V_l^2}{P_l} = \frac{220^2}{600} = 80.66666666 \Omega$$

$$X_l = \frac{R_l Z_l}{\sqrt{R_l^2 - Z_l^2}} = \frac{80.67 \times 5.55}{80.67^2 - 5.55^2} = 5.56 \Omega$$

لہذا

$$R'_c = R_l = 80.66666 \Omega$$

$$R_c = \left( \frac{11000}{220} \right)^2 R'_c = \left( \frac{11000}{220} \right)^2 80.66 = 201650 \Omega$$

$$X'_m = X_l = 5.56 \Omega$$

$$X_m = \left( \frac{11000}{220} \right)^2 X'_m = \left( \frac{11000}{220} \right)^2 5.56 = 13900 \Omega$$

حل کسرِ دور:

$$Z_s = \frac{V_s}{I_s} = \frac{440}{2.27} = 193.8325 \Omega$$

$$R_s = \frac{P_s}{I_s^2} = \frac{560}{2.27^2} = 108.676666 \Omega$$

$$X_s = \sqrt{Z_s^2 - R_s^2} = \sqrt{193.83^2 - 108.68^2} = 160.495 \Omega$$

اور

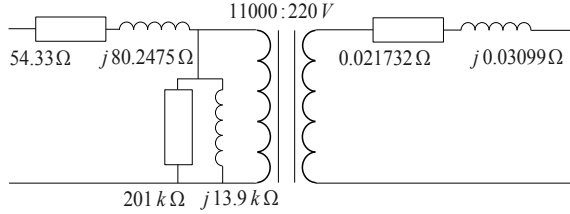
$$R_1 = R_2' = \frac{R_s}{2} = \frac{108.6766}{2} = 54.33 \Omega$$

$$R_2 = \left( \frac{220}{11000} \right)^2 R_2' = \left( \frac{220}{11000} \right)^2 54.33 = 0.021732 \Omega$$

$$X_1 = X_2' = \frac{X_s}{2} = \frac{160.495}{2} = 80.2475 \Omega$$

$$X_2 = \left( \frac{220}{11000} \right)^2 X_2' = \left( \frac{220}{11000} \right)^2 80.2475 = 0.032099 \Omega$$

یہ شکل 3.25 میں دکھایا گیا ہے۔



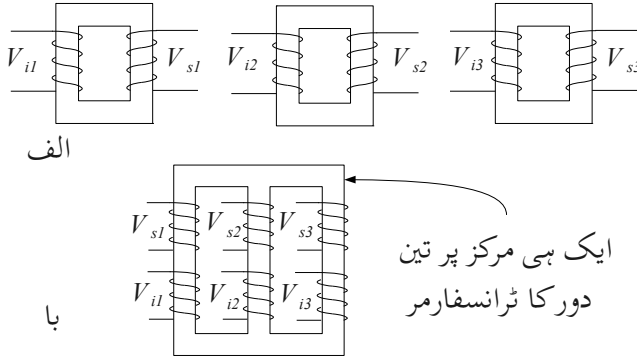
شکل 3.25: کھلے دور اور کسر دور معائنہ کے نتائج سے حاصل شدہ مساوی دور

### 3.11 تین دور کے ٹرانسفارمر

اب تک ہم ایک دور کے ٹرانسفارمر پر غور کرتے رہے ہیں۔ حقیقت میں برقی طاقت کی منتقلی میں عموماً تین دور کے ٹرانسفارمر استعمال ہوتے ہیں۔ تین دور کا ٹرانسفارمر عام ایک دور کے تین یکساں ٹرانسفارمر اکٹھے رکھ کر بنایا جا سکتا ہے۔ یہ شکل 3.26 الف میں دکھایا گیا ہے۔ یوں اگر ایک ٹرانسفارمر خراب ہو جائے تو اس کو ٹھیک ہونے کے لئے ہٹا کر بقایا دو ٹرانسفارمر دوبارہ چالو کئے جا سکتے ہیں۔ تین دور ٹرانسفارمر بنانے کا اس سے بہتر طریقہ شکل کے حصہ با میں دکھایا گیا ہے جہاں ایک ہی مقناطیسی مرکز پر تینوں ٹرانسفارمر کے لچھے لپٹے گئے ہیں۔ اس طرح کے تین دور کے ٹرانسفارمر سستے، ہلکے اور چھوٹے ہونے کی وجہ سے عام ہو گئے ہیں اور آپ کو روز مرہ زندگی میں یہی نظر آئی



گئے۔ ان میں برقی ضیاع بھی قدرِ کم ہوتی ہے۔



شکل 3.26:

شکل 3.27 الف میں تین ٹرانسفارمر دکھائے گئے ہیں۔ ان تین ٹرانسفارمر کے ابتدائی لچھے آپس میں دو طریقوں سے جوڑے جا سکتے ہیں۔ ایک کو ستارا نما جوڑ  $Y^{191}$  اور دوسرے کو تکونی جوڑ  $\Delta^{192}$  کہتے ہیں۔ اسی طرح ان تینوں ٹرانسفارمر کے ثانوی لچھے انہیں دو طریقوں سے جوڑے جا سکتے ہیں۔ یوں انہیں جوڑنے کے چار ممکنہ طریقے ہیں یعنی

• ستارا: تکونی  $Y:\Delta$

• ستارا: ستارا  $Y:Y$

191 star connected

192 delta connected

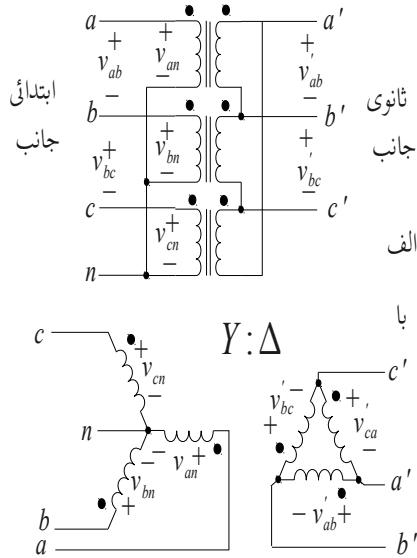
• تکونی: تکونی  $\Delta: \Delta$

• تکونی: ستارا  $\Delta: Y$

شکل میں ان تین ٹرانسفارمروں کے ابتدائی پلھوں کو ستارا نما جوڑا گیا ہے جبکہ ان کی ثانوی پلھوں کو تکونی جوڑا گیا ہے۔ شکل کے حصہ با میں تینوں ٹرانسفارمر کی ابتدائی پلھوں کو علیحدہ ستارہ نما شکل دے کر ان کا جوڑ دکھایا گیا ہے۔ اسی طرح ثانوی پلھوں کو تکونی شکل میں جوڑا گیا دکھایا گیا ہے۔ انہی شکلوں کی وجہ سے ان کو ستارا نما جوڑ اور تکونی جوڑ کہتے ہیں۔

ایسی شکل بناتے وقت تینوں ٹرانسفارمروں کے ابتدائی پلھے کو جس زاویہ پر بنایا جاتا ہے اس کے ثانوی پلھے کو بھی اُسی زاویہ پر بنایا جاتا ہے۔ یوں شکل کے حصہ الف میں سب سے اوپر ٹرانسفارمر جس کے ابتدائی جانب کے سرے  $an$  اور ثانوی جانب کے سرے  $a'b'$  ہیں کو حصہ با میں صفر زاویہ پر بنایا گیا ہے۔ تین دور کے ٹرانسفارمروں کو اس طرح کی علامتوں سے ظاہر کیا جاتا ہے اور ان میں مرکز نہیں دکھایا جاتا۔

ٹرانسفارمر کے جوڑ بیان کرتے وقت بائیں جانب کے جوڑ کو پہلے اور دائیں جانب کی جوڑ کو بعد میں پکارتے ہیں۔ یوں شکل 3.27 میں ٹرانسفارمر کو ستارا-تکونی جوڑا ٹرانسفارمر کہیں گے۔ اسی طرح ابتدائی جانب کو بائیں اور ثانوی جانب کو دائیں ہاتھ بنایا جاتا ہے۔ یوں اس شکل میں ابتدائی جانب ستارا نما ہے جبکہ ثانوی جانب تکونی ہے۔



شکل 3.27: تین دور کا  $Y:\Delta$  جڑا ٹرانسفارمر

ستارا نما جڑی جانب سے چار برقی تاریں نکلتی ہیں۔ اس جانب چھوٹے مشترکہ سِر  $n$  کو عموماً ٹرانسفارمر کے نزدیک زمین میبی گہرائی تک دھنسا دیا جاتا ہے۔ اس تار کو زمینی تار <sup>193</sup> یا صرف زمینی <sup>194</sup> کہتے ہیں۔ عام فہم میبی اسے ٹھنڈی تار کہتے ہیں۔ باقی تین یعنی  $a, b, c$  گرم تار کہلاتے ہیں۔

193 ground wire

194 ground, earth or neutral

ٹرانسفارمر کی لچھے پر برقی دباؤ کو دوری برقی دباؤ  $V_{دور}^{195}$  کہتے ہیں اور لچھے میں برقی رو کو دوری برقی رو  $I_{دور}^{196}$  کہتے ہیں۔ جبکہ ٹرانسفارمر سے باہر نکلتی کسی دو گرم تاروں کے مابین برقی دباؤ کو تار کی برقی دباؤ  $V_{تار}^{197}$  کہتے ہیں اور کسی بھی گرم تار میں برقی رو کو تار کی برقی رو  $I_{تار}$  کہتے ہیں۔ زمینی تار میں برقی رو کو زمینی برقی رو  $I_{زمینی}$  کہتے ہیں۔

ستارا نما جانب دوری مقداروں اور تار کی مقداروں کا آپس میں یوں رشتہ ہے

$$\begin{aligned} V_{تار} &= \sqrt{3} V_{دور} \\ I_{تار} &= I_{دور} \end{aligned} \quad (3.68)$$

جبکہ تکوئی جانب دوری اور تار کی مقداروں کا آپس میں یوں رشتہ ہے

$$\begin{aligned} V_{تار} &= V_{دور} \\ I_{تار} &= \sqrt{3} I_{دور} \end{aligned} \quad (3.69)$$

---

195 phase voltage

196 phase current

197 line voltage

یہ دوری سمتیہ کے رشتے نہیں بلکہ ان کی مقداری قیمتوں کے رشتے ہیں۔ ان دو مساواتوں سے حاصل ہوتا ہے

$$V_{\text{دور}} I_{\text{دور}} = \sqrt{3} V_{\text{تار}} I_{\text{تار}} \quad (3.70)$$

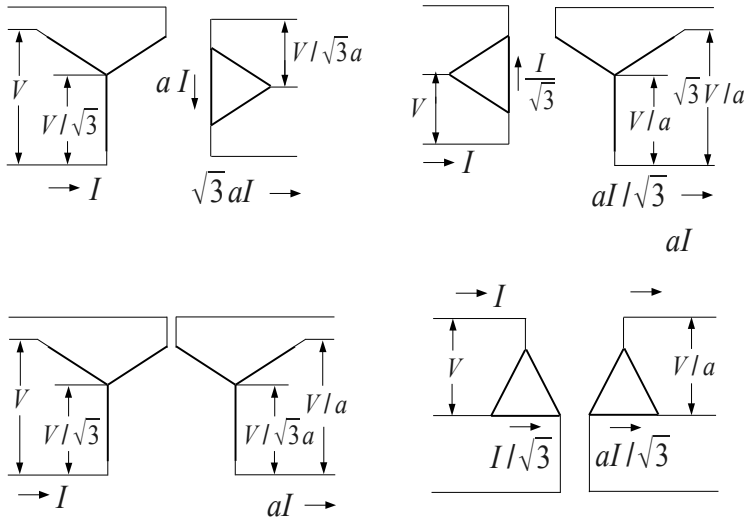
چونکہ ایک دور کی ٹرانسفارمر کی وولٹ-ایمپیئر  $V_{\text{دور}} I_{\text{دور}}$  ہے اور ایسے تین ٹرانسفارمر مل کر ایک تین دور کا ٹرانسفارمر بناتے ہیں لہذا تین دور کے ٹرانسفارمر کی وولٹ-ایمپیئر اس کے تین گنا ہوں گے یعنی

$$3 V_{\text{دور}} I_{\text{دور}} = \frac{3 V_{\text{تار}} I_{\text{تار}}}{\sqrt{3}} = \sqrt{3} V_{\text{تار}} I_{\text{تار}} \quad (3.71)$$

یہ مساوات تین دور میں عام استعمال ہوتی ہے۔

ٹرانسفارمر کسی طرح بھی جوڑے جائیں وہ اپنی بنیادی کارکردگی تبدیل نہیں کرتے لہذا انہی ستارا نما یا تکوئی جوڑنے کے بعد بھی ان میں ہر ایک ٹرانسفارمر انفرادی طور پر مساوات 3.23 اور 3.38 پر پورے اترے گا۔ انہی استعمال کر کے شکل 3.28 میں دیئے گئے ٹرانسفارمر کے ابتدائی اور ثانوی جانب کی دوری اور تار کی مقداروں کے رشتے حاصل کئے جا سکتے ہیں۔ اس شکل میں  $a = N_1/N_2$  ہے جہاں  $N_1 : N_2$  ان میں ایک دور کی ٹرانسفارمر

کے چکر کی نسبت ہے۔ تین دور کے ٹرانسفارمر پر لگی تختی پر دونوں جانب تار کی برقی دباؤ کی نسبت لکھی جاتی ہے۔



شکل 3.28: ابتدائی اور ثانوی جانب تار اور دوری مقداروں کے رشتے

جیسے شکل میں دکھایا گیا ہے ستارا-تکونی ٹرانسفارمر کی تار پر برقی دباؤ کی نسبت

$$\frac{V_{\text{ابتدائی تار}}}{V_{\text{ثانوی تار}}} = \sqrt{3} a = \sqrt{3} \left( \frac{N_1}{N_2} \right) \quad (3.72)$$

جیکہ ستارا-ستارا کا

$$\frac{V_{\text{ابتدائی تار}}}{V_{\text{ثانوی تار}}} = a = \left( \frac{N_1}{N_2} \right) \quad (3.73)$$

تکونی-ستارا کا

$$\frac{V_{\text{ابتدائی تار}}}{V_{\text{ثانوی تار}}} = \frac{a}{\sqrt{3}} = \frac{1}{\sqrt{3}} \left( \frac{N_1}{N_2} \right) \quad (3.74)$$

اور تکونی-تکونی کا

$$\frac{V_{\text{ابتدائی تار}}}{V_{\text{ثانوی تار}}} = a = \left( \frac{N_1}{N_2} \right) \quad (3.75)$$

مثال 3.8:

ایک دور کے تیخن یکساں ٹرانسفارمر کو ستارا-تکونی  $Y-\Delta$  جوڑ کر تین دور کا ٹرانسفارمر بنایا گیا ہے۔ ایک دور کے ٹرانسفارمر کی برقی اہلیت درج ذیل ہے:

ایک دور

50 kVA

6350 : 440 V

50 Hz

(3.76)

ستارا-تکونی ٹرانسفارمر کی ابتدائی جانب 11000 وولٹ کی تین دوری تار کی برقی دباؤ لاگو کیا گیا۔ اس تین دوری ٹرانسفارمر کی ثانوی جانب تار کا برقی دباؤ معلوم کریں۔

حل:

حل کرتے وقت ہم ایک دور کے ایک ٹرانسفارمر پر نظر رکھیں گے۔

ابتدائی جانب اگر ایک دور کے ٹرانسفارمر پر غور کیا جائے تو



$$\frac{N_1}{N_2} = \frac{V_1}{V_2} = \frac{6350}{440}$$

اور اس پر لاگو برقی دباؤ مساوات 3.68 کی مدد سے

$$V_{\text{ابتدائی ایک دور}} = V_{\text{دور}} = \frac{V_{\text{تار}}}{\sqrt{3}} = \frac{11000}{\sqrt{3}} = 6350.85$$

وولٹ ہے لہذا اس ایک دور ٹرانسفارمر کی ثانوی جانب مساوات 3.23 کی مدد سے

$$V_{\text{ثانوی}} = \left( \frac{N_2}{N_1} \right) V_{\text{ابتدائی}} = \left( \frac{440}{6350} \right) 6350.85 \simeq 440$$

وولٹ ہیں۔ چونکہ ثانوی جانب ان تین ٹرانسفارمرز کو تکونی جوڑا گیا ہے لہذا مساوات 3.69 کی مدد سے اس جانب تار کی برقی دباؤ یہی ہوگی۔ اس تین دور کے ٹرانسفارمر کی تار پر برقی دباؤ کی نسبت

$$\frac{V_{\text{ابتدائی تار}}}{V_{\text{ثانوی تار}}} = \frac{11000}{440}$$

ہے۔ چونکہ ایک دور ٹرانسفارمر 50 کلو وولٹ۔ ایمپیئر کا ہے لہذا یہ تین دوری ٹرانسفارمر 150 کلو وولٹ۔ ایمپیئر کا ہوگا۔ یوں اس تین دور کے ٹرانسفارمر کی

تین دور

Y: Δ

150 kVA

11000: 440 V

50 Hz

ہوگی۔

ٹرانسفارمر پر لگی تختی<sup>199</sup> پر اس کی اہلیت بیان ہوتی ہے جس میں ٹرانسفارمر کے دونوں جانب تار کے برقی دباؤ لکھے جاتے ہیں نہ کہ لچھوں کے چکر۔

ستارا-ستارا جڑے ٹرانسفارمر عام طور استعمال نہیں ہوتے۔ اس کی وجہ یہ ہے کہ اگرچہ ان کی تین دور برقی دباؤ کے بنیادی جُز آپس میں  $120^0$  زاویاتی فاصلے پر ہوتے ہیں لیکن ان کی تیسری موسیقائی جُز آپس میں ہم دور ہوتی ہیں۔ مرکز کی غیر بتدریج خصوصیات کی وجہ سے ٹرانسفارمر میں ہر صورت تیسری موسیقائی جُز پائے جاتے ہیں۔ تیسری موسیقائی جُز ہم دور ہونے کی وجہ سے جمع ہو کر ایک نہایت بڑی برقی دباؤ کی موج پیدا کرتے ہیں جو کبھی کبھی برقی دباؤ کی بنیادی جُز سے بھی زیادہ بڑے ہوتے ہیں۔

198 rating

199 name plate

بقایا تین قسم کے جڑے ٹرانسفارمرز میں برقی دباؤ کی تیسری موسیقائی جڑ مسئلہ نہیں کرتی چونکہ ان میں تکیونی جڑے لچھوں میں برقی رو گردش کرنی شروع ہو جاتی ہے جو ان کے اثر کو ختم کر دیتی ہے۔

تین دور ٹرانسفارمر کے متوازن دور حل کرتے وقت ہم تصور کرتے ہیں کہ ٹرانسفارمر ستارا نما<sup>200</sup> ہے۔ یوں اس کے ایک دور میں برقی رو، تار<sup>201</sup> کی برقی رو ہی ہو گی اور اس کے ایک دور پر لاگو برقی دباؤ، دوری برقی دباؤ<sup>202</sup> ہو گا۔ اسی طرح ہم تصور کرتے ہیں کہ اس پر لدھا برقی بار بھی ستارا نما جڑا ہے۔ یوں تین دور کی جگہ ہم ایک دور کا نسبتاً آسان مسئلہ حل کرتے ہیں۔ ایسا کرنے سے مسئلہ پر غور کرنا آسان ہو جاتا ہے۔ یہ ایک مثال سے زیادہ بہتر سمجھ آئے گا۔

مثال 3.9:

ایک تین دوری  $\Delta - Y$  2000 کلو وولٹ-ایمپیئر، 11000:600 وولٹ اور 50 ہرٹز پر چلنے والا مثالی ٹرانسفارمر ایک تین دوری متوازن برقی بار کو طاقت مہیا کر رہا ہے۔ یہ بار تکیونی جڑا ہے۔ شکل 3.29 میں یہ دکھایا گیا ہے۔

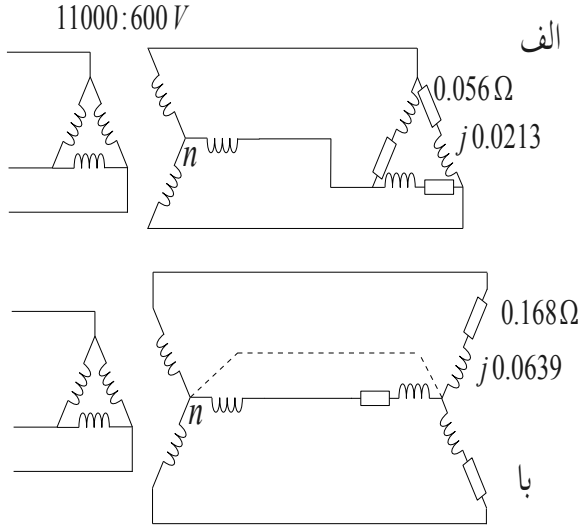
1. اس شکل میں ہر جگہ برقی رو معلوم کریں۔

2. برقی بار کو درکار طاقت معلوم کریں

200 star connected (Y-connected)

201 line current

202 phase voltage



شکل 3.29: ٹرانسفارمر تکونی متوازن بار کو طاقت فراہم کر رہا ہے

0.168 Ω

$j0.0639$

حل:

11000:346.41 V

پہلے تکونی بار کو ستارا نما بار میں تبدیل کرتے ہیں

$$Z_Y = 3 Z_{\Delta} = 3(0.056 + j0.0213) = 0.168 + j0.0639$$

اس بار کو ستارا نما جڑا شکل کے حصہ با میں دکھایا گیا ہے۔ اس شکل میں ایک

برقی تار جسے نقطہ دار لکیر سے ظاہر کیا گیا ہے کو ٹرانسفارمر کی زمینی نقطہ سے بار کے مشترکہ سرے کے درمیان جڑا دکھایا گیا ہے۔ متوازن دور میی اس تار میں برقی رو صفر ہوگی۔ حل کرنے کی نیت سے ہم اس متوازن دور سے ایک حصہ لیتے ہیں جسے شکل کے حصہ د میں دکھایا گیا ہے اور اسے حل کرتے ہیں۔

یوں مساوی برقی بار میں برقی رو

$$\begin{aligned} I &= \frac{346.41}{0.168 + j0.0639} \\ &= \frac{346.41}{0.179742 \angle 20.825^\circ} \\ &= 1927.262 \angle (-20.825^\circ) \end{aligned}$$

ہوگی اور اس ایک حصہ میں طاقت

$$p = 346.41 \times 1927.262 \times \cos(-20.825) = 624007W$$

ہوگی۔ یوں برقی بار کو پوری درکار برقی طاقت اس کے تین گنا ہوگی یعنی  $1872kW$  اس بار کی طاق کی جُز ضری

$$\cos(-20.825) = 0.93467$$

ہے۔

تکوئی بار جسے شکل کے حصہ الف میں دکھایا گیا ہے میں برقی رو  
 $\frac{1927.262}{\sqrt{3}} = 1112.7$  ایمپیئر ہوگی۔ ٹرانسفارمر کی ابتدائی جانب برقی تاروں  
 میں برقی رو  $\left(\frac{600}{11000}\right) 1927.262 = 105.12$  ایمپیئر ہوگی۔

---

اس مثال میں جُز ضربی طاقت 0.93467 ہے۔ اس کتاب کے لکھتے وقت  
 پاکستان میں اگر صنعتی کارخانوں کی برقی بار کی جُز ضربی طاقت 0.9 سے کم ہو  
 جائے تو برقی طاقت فراہم کرنے والا ادارہ جرمانہ نافذ کرتا ہے۔

### 3.12 ٹرانسفارمر چالو کرتے لمحہ زیادہ محرکی برقی رو کا گزرنا

ہم دیکھ چکے ہیں کہ اگر ٹرانسفارمر کے مرکز میں کثافتِ مقناطیسی بہاؤ  
 سائن نما ہو یعنی  $B = B_0 \sin \omega t$  تو اس کے لئے ہم لکھ سکتے ہیں

$$\begin{aligned} v = e &= N \frac{\partial \Phi}{\partial t} = N A_c \frac{\partial B}{\partial t} \\ &= \omega N A_c B_0 \cos \omega t \\ &= V_0 \cos \omega t \end{aligned} \quad (3.77)$$

یعنی

$$B_0 = \frac{V_0}{\omega N A_c} \quad (3.78)$$

یہ مساوات برقرار حال<sup>203</sup> چالو ٹرانسفارمر کے لئے درست ہے۔

تصور کریں کہ ایک ٹرانسفارمر کو چالو کیا جا رہا ہے۔ چالو ہونے سے پہلے مرکز میں مقناطیسی بہاؤ صفر ہے اور جس لمحہ اسے چالو کیا جائے اس لمحہ بھی یہ صفر ہی رہتا ہے۔

جس لمحہ ٹرانسفارمر کو چالو کیا جائے اس لمحہ لاگو برقی دباؤ

$$v = V_0 \cos(\omega t + \theta) \quad (3.79)$$

ہے۔ اگر  $\theta = \pi/2$  یہ لمحہ ہو تو آدھے دوری عرصہ<sup>204</sup> کے بعد مرکز میں کثافتِ مقناطیسی بہاؤ

---

203 steady state

204 half time period

$$\begin{aligned}
B &= \frac{1}{N A_c} \int_0^{\pi/\omega} V_0 \cos(\omega t + \pi/2) dt \\
&= \frac{V_0}{\omega N A_c} \sin(\omega t + \pi/2) \Big|_0^{\pi/\omega} \\
&= -\left( \frac{2 V_0}{\omega N A_c} \right)
\end{aligned} \tag{3.80}$$

یعنی کثافتِ مقناطیسی بہاؤ کا طول معمول سے دگنا ہوگا۔ اگر یہی حساب  $\theta=0$  لمحہ کے لئے کیا جائے تو زیادہ سے زیادہ کثافتِ مقناطیسی بہاؤ بالکل مساوات 3.78 کے عین مطابق ہوگا۔ ان دو زاویوں کے مابین زیادہ سے زیادہ کثافتِ مقناطیسی بہاؤ ان دو حدوں کے درمیان رہتا ہے۔

مرکز کی  $B-H$  خط غیر بتدریج بڑھتا ہے۔ لہذا  $B$  دگنا کرنے کی خاطر  $H$  کو کئی گنا بڑھانا ہوگا جو چلھے میں محرک برقی رو بڑھانے سے ہوتا ہے<sup>205</sup>۔ یہاں شکل 2.17 سے رجوع کریں۔ قوی ٹرانسفارمر میں ہیجانی کثافتِ مقناطیسی بہاؤ کی چوٹی  $1 \leq B_0 \leq 1.3$  ہوتی ہے۔ ٹرانسفارمر چالو کرتے لمحہ یوں کثافتِ مقناطیسی بہاؤ 2 سے 2.6 ٹیسلا تک ہو سکتی ہے جس کے لئے درکار ہیجان انگیز برقی رو نہایت زیادہ ہوگی۔

---

205 2000 کلو وولٹ-ایمپیئر ٹرانسفارمر سے چالو کرتے وقت تھر تھراہٹ کی آواز آتی ہے



## 4 برقی اور میکانی توانائی کا باہمی تبادلہ

برقی رو یا مقناطیسی بہاؤ کی مدد سے برقی توانائی کو میکانی توانائی یا میکانی توانائی کو برقی توانائی میں تبدیل کیا جاتا ہے۔ مختلف مشین میں یہ عمل ہوتا ہے۔ ناپنے کے مشین نہایت کم طاقت کا تبادلہ کرتے ہیں۔ ان میں لاؤڈ سپیکر، مائکروفون وغیرہ شامل ہیں۔ ان کے برعکس ایک اور قسم کے مشین قوت پیدا کرتے ہیں۔ ان میں برقی مقناطیس، ریلے<sup>206</sup> وغیرہ شامل ہیں۔ ایک تیسری قسم، جن میں برقی موٹر اور جنریٹر شامل ہیں، لگاتار توانائی کو ایک شکل سے دوسری شکل میں تبدیل کرتے ہیں۔

اس باب میں مقناطیسی بہاؤ کی مدد سے توانائی کے تبادلہ پر غور کیا جائے گا۔ برقی رو کی مدد سے توانائی کے تبادلہ کو انہیں طرح کے طریقوں سے حل کیا جاتا ہے اگرچہ ان کا تذکرہ اس کتاب میں نہیں کیا جائے گا۔

اس باب میں جو تراکیب ہم سیکھیں گے وہ بہت اہمیت رکھتے ہیں اور انجینئرنگ میں بہت سے مسائل حل کرنے میں مددگار ثابت ہوتے ہیں۔

### 4.1 مقناطیسی نظام میں قوت<sup>207</sup> اور مومنت<sup>208</sup>

اگر ایک برقی میدان میں چارج  $q$  رکھا جائے تو اس پر قوت

---

206 relay

207 force

208 torque

$$F = q E \quad (4.1)$$

پائی جاتی ہے۔ اگر چارج مثبت ہو تو یہ قوت برقی شدت  $E$  کی سمت میں ہوتی ہے اور اگر چارج منفی ہو تو یہ قوت  $E$  کی الٹ سمت میں ہوتی ہے۔ اسی طرح اگر ایک چارج مقناطیسی میدان میں حرکت کر رہا ہو اور اس کی سمتی رفتار<sup>209</sup>  $v$  ہو تو اس پر قوت

$$F = q(v \times B) \quad (4.2)$$

پائی جاتی ہے۔ اس مرتبہ مثبت چارج پر قوت کی سمت دائیں ہاتھ کے قانون<sup>210</sup> سے معلوم کی جاتی ہے۔ اگر دائیں ہاتھ کی چار انگلیاں  $v$  کی سمت میں رکھ کر انہیں  $B$  کی سمت میں موڑا جائے تو انگوٹھا  $F$  کی سمت میں ہوگا۔ منفی چارج پر قوت اس کے مخالف سمت میں ہوگی۔ یہاں سمتی رفتار  $q$  اور  $B$  کے مابین ہے۔ اگر ایک چارج بیک وقت مقناطیسی اور برقی میدان میں حرکت کر رہا ہو تب اس پر قوت ہمیں گزشتہ دو قوانین ملا کر یعنی مساوات لورینز<sup>211</sup> سے ملتی ہے۔

---

209 velocity

210 right hand rule

211 Lorenz equation

$$F = q(E + \mathbf{v} \times \mathbf{B}) \quad (4.3)$$

مساوات 4.2 میں اگر  $\mathbf{v} = \frac{d\mathbf{L}}{dt}$  لی جائے تو اسے یوں لکھا جا سکتا ہے -

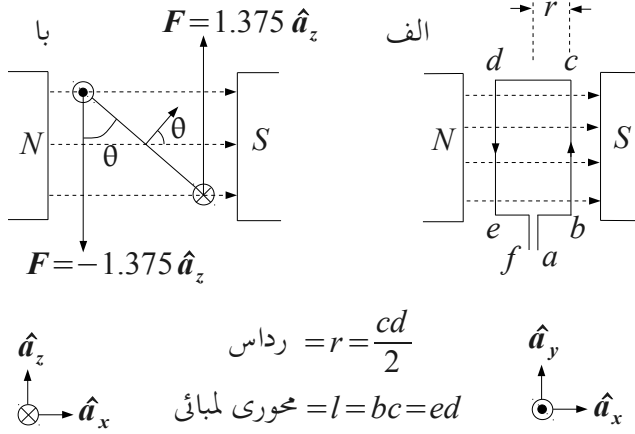
$$\begin{aligned} F &= q \frac{d\mathbf{L}}{dt} \times \mathbf{B} \\ &= \frac{q}{dt} (d\mathbf{L} \times \mathbf{B}) \\ &= I (d\mathbf{L} \times \mathbf{B}) \end{aligned} \quad (4.4)$$

مثال 4.1:

شکل 4.1 میں ایک لچھا مقناطیسی میدان میں دکھایا گیا ہے۔ لچھے کی رداس 15 سم، محوری لمبائی 50 سم اور اس میں برقی رو 5 ایمپیئر ہے۔ کثافت مقناطیسی بہاؤ کو نقطہ دار نوک والی لکیروں سے شمالی قطب سے جنوبی قطب کی جانب دکھایا گیا ہے۔ اگر کثافت مقناطیسی بہاؤ 0.55 ٹیسلا ہو تو

• لچھے کے اطراف پر قوت معلوم کریں اور

• چھہے پر مروڑ معلوم کریں



شکل 4.1: ایک چکر کے چھہے پر قوت اور مروڑ

حل:

شکل کے حصہ الف اور با میں کارتیسی آکائی سمتیہ دیئے گئے ہیں۔ اگر برقی تار کے سروں کو نظر انداز کیا جائے اور اسے ایک بند دائرہ سمجھا جائے تو حصہ الف سے تار کی اطراف کی لمبائیاں برقی رو کی سمت

$$\begin{aligned}
L_{bc} &= +l \hat{a}_y \\
L_{cd} &= -2r \hat{a}_x \\
L_{de} &= -l \hat{a}_y \\
L_{eb} &= 2r \hat{a}_x
\end{aligned}$$

ہیں جبکہ

$$B = B_0 \hat{a}_x$$

ہے۔ یوں مساوات 4.2 سے ان اطراف پر قوت

$$\begin{aligned}
F_{bc} &= I (L_{bc} \times B_0 \hat{a}_x) \\
&= 5 (0.5 \hat{a}_y \times 0.55 \hat{a}_x) \\
&= -1.375 \hat{a}_z \\
F_{cd} &= 5 (-0.3 \hat{a}_x \times 0.55 \hat{a}_x) \\
&= 0 \\
F_{de} &= 5 (-0.5 \hat{a}_y \times 0.55 \hat{a}_x) \\
&= 1.375 \hat{a}_z \\
F_{ea} &= 0
\end{aligned}$$

نیوٹن ہوگی۔

ہم دیکھتے ہیں کہ قوت محوری لمبائی کی جانب اطراف پر ہی لاگو ہے۔ یہ دو قوت حصہ با میں دکھائے گئے ہیں جہاں سے یہ واضح ہے کہ یہ مروڑ پیدا کریں گی۔ اس مروڑ کی سمت دائیں ہاتھ کے قانون سے بھی با آسانی معلوم کی جا سکتی ہے۔ مروڑ

$$\begin{aligned}\tau &= -1.375 \times 2 \times 0.15 \times \sin \theta \hat{a}_y \\ &= -0.4125 \sin \theta \hat{a}_y\end{aligned}$$

نیوٹن-میٹر ہے۔

ان مساوات کا استعمال صرف سادہ ترین جگہوں ممکن ہوتا ہے۔ استعمال میں آنے والی مشین میں ان مساوات سے قوت کا تعین کرنا نہایت مشکل ثابت ہوتا ہے۔ اب ہم وہ طریقہ سیکھتے ہیں جس کی مدد سے ہم مختلف مشین میں قوت کا تعین کر سکیں گے۔ اس طریقہ کو توانائی کا طریقہ کہتے ہیں اور یہ توانائی کے اٹل ہونے پر مبنی ہے۔

گھومتی برقی مشین میں عموماً دو چھوٹے ہوتے ہیں۔ ان میں ایک چھوٹا مشین کے ساکن حصہ پہ لپٹا ہوتا ہے اور اسی لئے ساکن رہتا ہے۔ لہذا اس کو ساکن چھوٹا<sup>212</sup> کہتے ہیں۔ دوسرا چھوٹا مشین کے گھومنے والے حصہ پہ لپٹا ہوتا ہے اور مشین گھومنے سے یہ بھی گھومتا ہے۔ لہذا اس کو گھومتا چھوٹا<sup>213</sup> کہتے ہیں۔ ایسے مشین کو اس طرح سمجھنا نہایت آسان ہے کہ ہم ان دو چھوٹوں کو دو مقناطیس سمجھیں۔ جس طرح دو مقناطیس اگر قریب لائے جائیں تو یہ کوشش کرتے ہیں کہ ایک کا شمال  $N$  دوسرے کے جنوب  $S$  کی سمت ہو۔

موٹر میں دونوں چھوٹے مقناطیس پیدا کرتے ہیں۔ ساکن چھوٹے کا مقناطیسی بہاؤ، گھومتے چھوٹے کے مقناطیسی بہاؤ سے کچھ آگے رہتا ہے اور اسے کھینچتا رہتا ہے۔ ایسا کرنے سے یہ کام کرتا ہے۔ جنریٹر میں اس کے برعکس گھومتا چھوٹا، ساکن چھوٹے پر کام کرتا ہے۔

212 stator coil

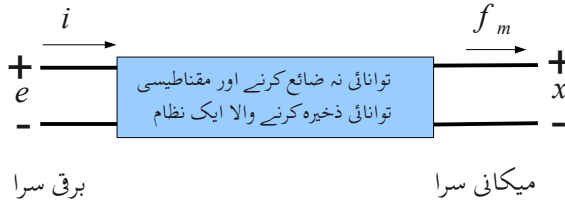
213 rotor coil

توانائی کے طریقے کو شکل 4.2 کی مدد سے سمجھا جا سکتا ہے۔ یہاں مقناطیسی نظام کو ایک ڈبہ کی شکل میں دکھایا گیا ہے۔ اس کو برقی توانائی مہیا کی جاتی ہے جس سے یہ میکانی توانائی پیدا کرتا ہے۔ یہاں برقی توانائی کے دو متغیر  $e$  اور  $i$  ہیں اور میکانی توانائی کے متغیر فاصلہ  $x$  اور میدانی قوت  $f_m$  <sup>214</sup> ہیں۔ اس شکل میں بائیں جانب یعنی ابتدائی یا اولیٰ جانب  $i$  کا رخ باہر سے اندر کی طرف ہے اور دائیں جانب یعنی ثانوی جانب  $f_m$  کا رخ اندر سے باہر کی جانب ہے۔ یہ ٹرانسفارمر دور کے شکل 3.6 کی مانند ہے۔

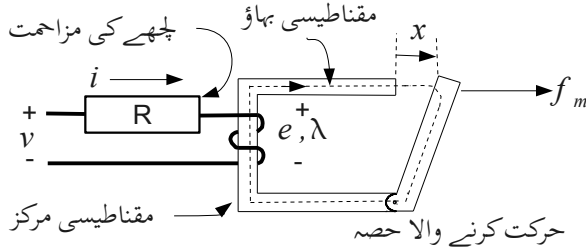
اگر نظام میں توانائی کی ضیاع کو توانائی کے ذخیرہ ہونے سے علیحدہ کرنا ممکن ہو تو ایسی صورت میں توانائی کے ضیاع کو بیرونی رکن سے پیش کیا جاتا ہے۔ شکل 4.3 میں ایک ایسا ہی نظام دکھایا گیا ہے جس میں چلھا برقی نظام کو پیش کرتا ہے اور حرکت کرنے والا حصہ میکانی نظام کو پیش کرتا ہے۔ یہاں چلھے میں توانائی کے ضیاع کو، بیرونی مزاحمت  $R$  سے ظاہر کیا گیا ہے۔

---

214 میدانی قوت  $f_m$  میں چھوٹی لکھائی میں  $m$  لفظ میدانی کو ظاہر کر رہا ہے



شکل 4.2: برقی توانائی سے میکانیکی توانائی کے تبادلہ کا نظام



شکل 4.3: قوت پیدا کرنے والا آلہ

توانائی کا بنیادی اصول کہتا ہے کہ توانائی نا تو پیدا کی جا سکتی ہے اور



نا ہی اسے تباہ کیا جا سکتا ہے۔ اس کو صرف ایک قسم سے دوسرے قسم کی توانائی میں تبدیل کیا جا سکتا ہے۔ لہذا اسے جو برقی توانائی  $\partial W_{elect}$  دی جائے اس میں سے کچھ میکائی توانائی  $\partial W_{mech}$  میں تبدیل ہوگی، کچھ مقناطیسی میدان میں ذخیرہ ہوگی یعنی  $\partial W_m$  اور بقیہ مختلف طریقوں سے ضائع ہوگی  $\partial W_{loss}$  جو ہمارے کسی کام نہ آ سکے گی۔ یعنی

$$\partial W_{elect} = \partial W_{mech} + \partial W_m + \partial W_{loss} \quad (4.5)$$

اگر برقی توانائی کے ضیاع کو نظر انداز کیا جائے تو

$$\partial W_{elect} = \partial W_{mech} + \partial W_m \quad (4.6)$$

ان مساوات کو  $\partial t$  سے تقسیم کرنے سے حاصل ہوتا ہے

$$\frac{\partial W_{elect}}{\partial t} = \frac{\partial W_{mech}}{\partial t} + \frac{\partial W_m}{\partial t} \quad (4.7)$$

یہ مساوات توانائی کی بجائے طاقت کی بات کرتا ہے۔ اگر ہم بائیں ہاتھ کی جانب

یعنی برقی طاقت کو  $ei$  لکھیں اور دائیں ہاتھ کی جانب میکانی حصہ میں  
 $\partial W_{mech} = f_m \partial x$  لکھیں تو

$$ei = f_m \frac{\partial x}{\partial t} + \frac{\partial W_m}{\partial t} \quad (4.8)$$

مساوات 2.32 کے استعمال سے اسے یوں لکھا جا سکتا ہے۔

$$i \frac{\partial \lambda}{\partial t} = f_m \frac{\partial x}{\partial t} + \frac{\partial W_m}{\partial t} \quad (4.9)$$

یا

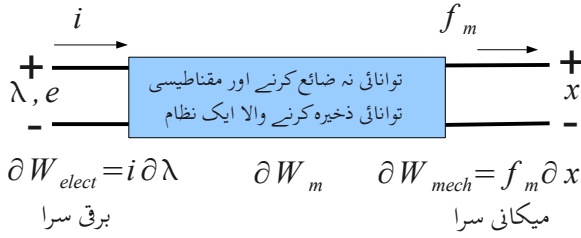
$$\partial W_m = i \partial \lambda - f_m \partial x \quad (4.10)$$

مساوات 4.10 توانائی کے طریقہ کی بنیاد ہے۔ یہ مساوات استعمال کرتے  
 وقت یاد رہے کہ قوت بنیادی طور پر لورینز<sup>215</sup> کے قانون سے ہی پیدا ہوتی ہے۔  
 مساوات 4.10 میں برقی متغیر  $i$  اور  $e$  کی بجائے  $i$  اور  $\lambda$  ہیں۔ لہذا

---

215 Lorenz equation

شکل 4.2 کو شکل 4.4 کی طرح ہی بنایا جا سکتا ہے۔



شکل 4.4: توانائی کی شکل تبدیل کرنے والا ایک نظام

کسی بھی تفاعل<sup>216</sup>  $z(x, y)$  کے لئے ہم لکھ سکتے ہیں

$$\partial z(x, y) = \frac{\partial z}{\partial x} dx + \frac{\partial z}{\partial y} dy \quad (4.11)$$

اسی طرح ہم  $W_m(x, \lambda)$  کے لئے لکھ سکتے ہیں۔

$$\partial W_m(x, \lambda) = \frac{\partial W_m}{\partial x} dx + \frac{\partial W_m}{\partial \lambda} d\lambda \quad (4.12)$$

اس مساوات اور مساوات 4.10 سے ہم اخذ کر سکتے ہیں کہ

$$f_m(x, \lambda) = - \left. \frac{\partial W_m(x, \lambda)}{\partial x} \right|_{\lambda_0} \quad (4.13)$$

$$i(x, \lambda) = \left. \frac{\partial W_m(x, \lambda)}{\partial \lambda} \right|_{x_0} \quad (4.14)$$

اگر ہم مقناطیسی میدان میں مقناطیسی توانائی  $W_m(x, \lambda)$  معلوم کر سکیں تو مساوات 4.13 کو استعمال کر کے ہم قوت کا حساب لگا سکتے ہیں۔ ہم اگلے حصہ میں یہی کرتے ہیں۔

## 4.2 تبادلہ توانائی والا ایک چھے کا نظام

شکل 4.3 میں ایک ایک چھے کا سادہ نظام دکھایا گیا ہے۔ چھے میبی برقی ضیاع کو بیرونی مزاحمت سے پیش کیا گیا ہے۔ میکانی نظام میں حرکت کرنے

والے حصہ کے کمیت کو نظر انداز کیا گیا ہے۔ اگر اس کمیت کے اثر کا بھی حساب لگانا ہو تو اس کمیت کو ایک بیرونی کمیت تصور کیا جا سکتا ہے۔ اس طرح تبادلہ توانائی کے نظام پر غور کرنا آسان ہو جاتا ہے۔

قوت پیدا کرنے والے مشین میں حرکت ناگزیر ہے۔ عموماً حرکت تب ممکن ہوتی ہے جب مقناطیسی مرکز میں خلا ہو جو کم اور زیادہ ہو سکے۔ عموماً  $\mathcal{R}_a \gg \mathcal{R}_c$ ۔ لہذا جب بھی خلائی درز رکنے والی مقناطیسی دور حل کرنی ہو، ہم  $\mathcal{R}_c$  کو نظر انداز کر سکتے ہیں۔ ایسا کرنے سے، جیسا مساوات 2.17 میں دیا گیا ہے، ہم مقناطیسی دباؤ  $\tau$  اور مقناطیسی بہاؤ  $\phi$  کو براہ راست متناسب لکھ سکتے ہیں۔ اسی طرح مساوات 2.33 کو اب ہم یوں لکھ سکتے ہیں

$$\lambda = L(x)i \quad (4.15)$$

اس مساوات میں امالہ کو  $L(x)$  لکھ کر اس بات کی نشان دہی کی گئی ہے کہ یہ صرف اور صرف شکل 4.3 میں خلا کی لمبائی  $x$  پر منحصر ہے۔

شکل 4.3 میں قوت  $f_m$  کی سمت میں طے ہونے والا فاصلہ  $x$  ہے۔ یوں میکانیکی کام  $\partial W_{mech} = f_m x$  کے برابر ہوگا جبکہ  $\partial W_{elect} = i \partial \lambda$ ۔ یوں شکل 4.3 کو مساوات 4.10 ظاہر کرتی ہے۔ اگر ہمیں مقناطیسی میدان میں ذخیرہ توانائی  $W_m$  معلوم کرنی ہو تو ہمیں مساوات 4.10 کا

تکمل<sup>217</sup> کرنا ہوگا۔ یعنی

$$\int_0^{W_m} \partial W_m = \int i(x, \lambda) \partial \lambda - \int f_m(x, \lambda) \partial x \quad (4.16)$$

یہ کس طرح کیا جا سکتا ہے، یہ شکل 4.5 سے واضح ہوگا۔ ابتدا میں مقناطیسی نظام کو کوئی برقی توانائی نہیں دی گئی۔ اس لئے اس میں برقی رو صفر ہے۔ برقی رو صفر ہونے کی وجہ سے مقناطیسی بہاؤ اور ارتباط بہاؤ بھی صفر ہے۔ اسی وجہ سے مقناطیسی میدان میں مقناطیسی توانائی بھی صفر ہے۔ یوں قوت اور حرکت بھی صفر ہے۔ یعنی اس ابتدائی نقطہ پر

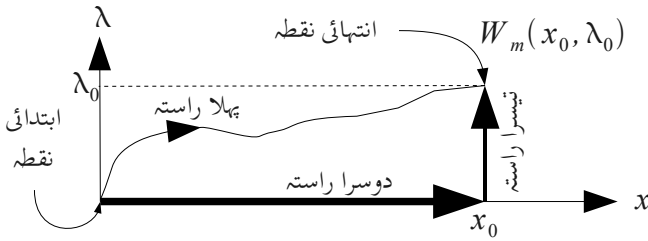
$$i = \phi = \lambda = W_m = f_m = x = 0 \quad (4.17)$$

ہے۔ یہ ابتدائی نقطہ شکل 4.5 میں دکھایا گیا ہے۔ ہم اب چھوے کو برقی توانائی فراہم کرتے ہیں۔ چھوے میں برقی رو رواں ہوتی ہے جس سے قوت اور حرکت پیدا ہوتی ہے۔ ہم آخر کار نقطہ انتہا پہ پہنچ جاتے ہیں۔ یہ انتہائی نقطہ بھی شکل میں دکھایا گیا ہے۔ اس نقطہ پہ  $\lambda = \lambda_0$  اور  $x = x_0$  ہے اور یہاں مقناطیسی میدان میں توانائی  $W_m(\lambda_0, x_0)$  ہے۔ ہم ابتدائی نقطہ سے انتہائی نقطہ تک

---

217 integration

پہنچنے کے لئے برقی توانائی کو یوں بڑھاتے ہیں کہ  $\lambda$  اور  $x$  ہر لمحہ شکل 4.5 میں پہلے راستہ پہ رہیں۔ لہذا ہمیں آخری نقطہ پہ مقناطیسی میدان میں مقناطیسی توانائی  $W_m(\lambda_0, x_0)$  معلوم کرنے کے لئے مساوات 4.16 کے پہلے راستہ پہ تکمیل کرنا ہوگا۔ ایسا کرنا خاصا مشکل کام ہے۔ بجائے یہ ہم ایک دوسرا راستہ اختیار کرتے ہیں۔



شکل 4.5: مقناطیسی میدان میں توانائی

ہم اس حقیقت سے فائدہ اٹھاتے ہیں کہ مقناطیسی میدان ایک قدامت پسند میدان<sup>218</sup> ہے جس کا مطلب ہے کہ مقناطیسی میدان میں مقناطیسی توانائی صرف اور صرف آخری نقطہ کے  $\lambda_0$  اور  $x_0$  کی مقدار پر منحصر ہے<sup>219</sup>۔

<sup>218</sup> conservative field

<sup>219</sup> تجاذبی میدان بھی قدامت پسند میدان ہے اسی لئے اگر کمیت  $m$  کو کسی بھی راستے

اس کا مطلب یہ ہے کہ ہم جس راستے سے بھی آخری نقطہ تک پہنچیں ہمیں مقناطیسی میدان میں مقناطیسی توانائی یکساں ملے گی۔ لہذا ہم مکمل کرتے وقت شکل 4.5 میں ابتدائی نقطہ سے دوسرے راستے چلتے ہیں اور جب ہم فاصلہ  $x_0$  طے کر لیں تو یہاں سے تیسرا راستہ اختیار کر کے انتہائی نقطہ  $(x_0, \lambda_0)$  پہنچتے ہیں۔ لہذا ہم مساوات 4.16 کو اب دو ٹکڑوں میں لکھیں گے، نقطہ  $(0,0)$  سے نقطہ  $(x_0,0)$  تک اور پھر یہاں سے نقطہ  $(x_0, \lambda_0)$  تک

$$\int_{\text{پہلا راستہ}} \partial W_m = \int_{\text{دوسرا راستہ}} \partial W_m + \int_{\text{تیسرا راستہ}} \partial W_m \quad (4.18)$$

اس مساوات کی دائیں جانب جز کو باری باری دیکھتے ہیں۔ اس کے دوسرے راستے تکمل کو یوں لکھا جا سکتا ہے۔

$$\int_{\text{دوسرا راستہ}} \partial W_m = \int_0^0 i(x, 0) \partial \lambda - \int_0^{x_0} f_m(x, 0) \partial x \quad (4.19)$$

اس دوسرے راستے جیسے شکل 4.5 سے ظاہر ہے اگر ہم  $x=0$  سے  $x=x_0$  تک چلیں تو اس پورے راستے  $\lambda$  صفر کے برابر ہی رہتا ہے۔ مساوات 4.19 میں اس بات کو برقی رو  $i(x, 0)$  اور قوت  $f_m(x, 0)$  لکھ کر واضح کیا گیا ہے۔ چونکہ  $\lambda$  کے شروع اور آخری مقدار ایک برابر ہیں لہذا

---

$h$  کی بلندی تک لے جایا جائے تو اس کی توانائی  $mgh$  ہوگی



اس مساوات میں  $\int_0^0 i(x, 0) \partial \lambda = 0$  ہے۔

اگر  $\lambda = 0$  ہو تو مقناطیسی بہاؤ بھی صفر ہوگا۔ مقناطیسی بہاؤ کے صفر ہونے کا مطلب ہے کہ کوئی مقناطیسی اثر موجود نہیں لہذا قوت  $f_m$  بھی صفر ہوگا۔ اور ہم جانتے ہیں کہ صفر کا تکمل<sup>220</sup> صفر ہی ہوتا ہے۔ لہذا اس مساوات میں  $\int_0^{x_0} f_m(x, 0) \partial x = 0$  ہوگا۔ یوں اس دوسرے راستے پر تکمل یعنی مساوات 4.19 صفر کے برابر ہے یعنی

$$\int_{\text{دوسرا راستہ}} \partial W_m = \int_0^0 i(x, 0) \partial \lambda - \int_0^{x_0} f_m(x, 0) \partial x = 0 \quad (4.20)$$

اسی طرح مساوات 4.18 کی تیسرے راستے کے تکمل کے جُز کو یوں لکھا جا سکتا ہے۔

$$\int_{\text{تیسرا راستہ}} \partial W_m = \int_0^{\lambda_0} i(x_0, \lambda) \partial \lambda - \int_{x_0}^{x_0} f_m(x_0, \lambda) \partial x \quad (4.21)$$

اس میں ہم دیکھتے ہیں کہ پورے راستے  $x = x_0$  رہتا ہے۔ قوت کا تکمل صفر ہے چونکہ  $x$  کا شروع اور آخری مقدار ایک برابر ہیں۔ یعنی

---

220 integral

$$\int_{x_0}^{x_0} f_m(x_0, \lambda) \partial x = 0 \quad (4.22)$$

آخر میں رہ گیا برقی رو کا تکمل۔ مساوات 4.15 کو استعمال کرتے ہوئے

$$\int_0^{\lambda_0} i(x_0, \lambda) \partial \lambda = \frac{1}{L(x_0)} \int_0^{\lambda_0} \lambda \partial \lambda = \frac{1}{2} \frac{\lambda_0^2}{L(x_0)} \quad (4.23)$$

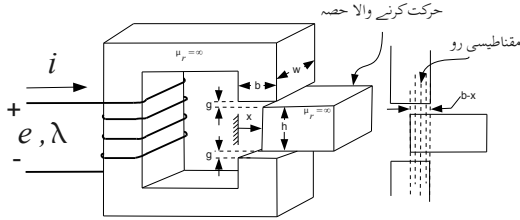
اس طرح ہمیں آخر کار مقناطیسی میدان میں توانائی کی مساوات حاصل ہو گئی۔

$$W_m = \frac{1}{2} \frac{\lambda_0^2}{L(x_0)} \quad (4.24)$$

اس مساوات کی مدد سے مساوات 4.13 کے ذریعہ قوت  $f_m(x, \lambda)$  اور مساوات 4.14 کے ذریعہ برقی رو  $i(x, \lambda)$  کا حساب اب ممکن ہے۔

مثال 4.2:

شکل 4.6 میں حرکت کرنے والا ایک مقناطیسی نظام دکھایا گیا ہے۔  
 حرکت کرنے والے حصے اور ساکن حصے کے مابین خلائی درز  $g$  ہے۔ اگر  
 $i=30A$  اور  $w=0.4m$  ،  $b=0.2m$  ،  $g=0.001m$  ،  $N=500$   
 ہو تو اس خلائی درز میں توانائی  $W_m$  معلوم کریں۔



شکل 4.6: حرکت اور توانائی

حل:

$$W_m = \frac{1}{2} L i^2 \quad \text{لہذا} \quad \lambda = L i \quad \text{اور} \quad W_m = \frac{1}{2} \frac{\lambda^2}{L} \quad \text{ہمیں معلوم ہے کہ}$$

$$A_g = w(b-x) \quad \text{اور} \quad L = \frac{N^2 \mu_0 A_g}{2g} \quad \text{جہاں}$$

$$\begin{aligned}
W_m &= \frac{1}{2} \frac{N^2 \mu_0 A_g}{2g} i^2 \\
&= \frac{1}{2} \frac{(500^2)(4\pi 10^{-7})(0.4)(0.2-x)}{2 \times 0.001} (30^2) \\
&= 28278(0.2-x) \quad J
\end{aligned}$$


---

مثال 4.3:

شکل 4.6 میں توانائی کے طریقہ سے قوت  $f_m$  معلوم کریں۔

حل:

مسوات 4.13 کہتا ہے کہ  $f_m = - \frac{\partial W_m(x, \lambda)}{\partial x} \Big|_{\lambda_0}$  ہے۔ اس کا مطلب ہے کہ توانائی کے متغیر  $x$  اور  $\lambda$  ہونے چاہئے۔

مثال 4.2 میں ہم نے توانائی معلوم کی۔ البتہ یہ معلوم کرنے کے لئے ہم  $\lambda$  کی بجائے  $\lambda = Li$  استعمال کیا۔ یوں توانائی کے متغیر  $x$  اور  $i$  بن گئے۔ ہم  $W'_m(x, i) = 28278(0.2-x)$  کو استعمال نہیں کر سکتے۔ ہمیں  $W_m(x, \lambda)$  چاہئے۔ درست طریقہ یہ ہے

$$W_m(x, \lambda) = \frac{1}{2} \frac{\lambda^2}{L} = \frac{1}{2} \frac{\lambda^2}{\left( \frac{N^2 \mu_0 A_g}{2g} \right)} = \frac{1}{2} \frac{2g \lambda^2}{N^2 \mu_0 w(b-x)}$$

اب اسے مساوات 4.13 میں استعمال کرتے ہوئے

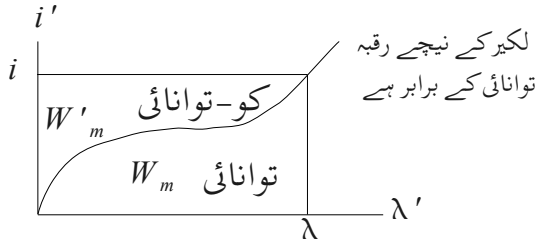
$$\begin{aligned}
 f_m &= -\frac{\partial W_m(x, \lambda)}{\partial x} \\
 &= -\left(\frac{1}{2}\right) \frac{2g\lambda^2}{N^2\mu_0 w(b-x)^2} \\
 &= -\left(\frac{1}{2}\right) \frac{2g(Li)^2}{N^2\mu_0 w(b-x)^2} \\
 &= -\frac{N^2\mu_0 w i^2}{4g} \\
 &= -28278 \quad N
 \end{aligned}$$

منفی قوت کا مطلب ہے کہ یہ فاصلہ  $x$  کی اُلٹ جانب ہے یعنی حرکت کرنے والا حصہ اس جانب حرکت کرے گا جس جانب یہ فاصلہ کم ہوتا ہو۔

### 4.3 توانائی اور کو-توانائی

شکل 4.7 میں  $\lambda$  اور  $i$  کے مابین گراف دکھایا گیا ہے۔ جیسا آپ دیکھ سکتے ہیں کہ لکیر کے نیچے رقبہ دراصل توانائی ہی ہے۔ اگر ہم اس گراف پر کوئی ایک نقطہ  $(\lambda, i)$  لیں اور اس نکتے سے ایک لکیر نیچے کی طرف اور دوسری لکیر بائیں جانب کھینچے تو ہمیں ایک مستطیل ملتا ہے جس کا رقبہ  $\lambda \times i$  کے برابر ہوگا۔ اگر اس میں سے ہم توانائی کا رقبہ  $W_m$  منفی کر لیں تو جو مقدار ملتی ہے اس کو کو-توانائی  $W'_m$  کہتے ہیں یعنی

$$W'_m = \lambda i - W_m \quad (4.25)$$



شکل 4.7: کو-توانائی کی تعریف

اگر ہم اس مساوات کا تدریجی فرق <sup>221</sup> لیں تو

$$\partial W'_m = \partial(\lambda i) - \partial W_m \quad (4.26)$$

$$\partial W'_m = \lambda \partial i + i \partial \lambda - \partial W_m \quad (4.27)$$

---

<sup>221</sup> differentiation

یہاں مساوات 4.10 استعمال کرنے سے

$$\partial W'_m = \lambda \partial i + i \partial \lambda - (i \partial \lambda - f_m \partial x) \quad (4.28)$$

$$\partial W'_m = \lambda \partial i + f_m \partial x \quad (4.29)$$

مساوات 4.11، 4.12، 4.13 اور 4.14 کی طرح یہاں بھی کسی بھی  
تفاعل  $z(x, y)$  کا تدریجی فرق <sup>222</sup> لیں تو

$$\partial z(x, y) = \frac{\partial z}{\partial x} dx + \frac{\partial z}{\partial y} dy \quad (4.30)$$

یوں ہم کو-انرجی  $W'_m$  کے لئے لکھ سکتے ہیں

$$\partial W'_m(x, i) = \frac{\partial W'_m}{\partial x} dx + \frac{\partial W'_m}{\partial i} di \quad (4.31)$$

---

222 differentiation

اس مساوات کو مساوات 4.29 کے ساتھ دیکھیں تو

$$\lambda = \frac{\partial W'_m}{\partial i} \Big|_{x_0} \quad (4.32)$$

اور

$$f_m = \frac{\partial W'_m}{\partial x} \Big|_{i_0} \quad (4.33)$$

قوت معلوم کرنے کی یہ دوسری مساوات ہے۔ اس مساوات میں کو- توانائی استعمال ہوتی ہے جبکہ مساوات 4.13 میں قوت کو توانائی کے ذریعہ معلوم کیا گیا ہے۔

بالکل توانائی کے طریقہ سے ان مساوات کے تکمیل سے حاصل ہوتا ہے

$$W'_m(i_0, x_0) = \int_0^{i_0} \lambda(i, x_0) di \quad (4.34)$$

جن نظام میں  $\lambda$  اور  $i$  تغیر راست ہوں اور جنہیں مساوات 2.33 کے تعلق



سے پیش کیا جا سکے ان کے ائے اس مساوات کو مزید یوں حل کیا جا سکتا ہے۔

$$W'_m(i, x) = \int_0^i L(x) i' di' = \frac{L(x) i^2}{2} \quad (4.35)$$

کچھ مسائل میں توانائی اور کچھ میں کو-توانائی کا استعمال زیادہ آسان ہوتا ہے۔

مثال 4.4:

شکل 4.8 میں ایک پیچدار لچھا دکھایا گیا ہے جس کی محوری لمبائی  $l$  رداس  $r$  اور چکر  $N$  ہیں۔ ایسے پیچدار لچھے کی مقناطیسی بہاؤ محوری سمت میں لچھے کے اندر ہی رہتی ہے۔ لچھے کے باہر مقناطیسی بہاؤ کی مقدار قابلِ نظر انداز ہوتی ہے۔ یوں لچھے کے اندر محوری لمبائی کی سمت میں میدانی شدت

$$H \approx \frac{NI}{l}$$

ہوتی ہے۔

ایسے پیچدار لچھے موصل دھاتوں کو امالی برقی توانائی کے ذریعہ گلانے کے لئے استعمال کئے جاتے ہیں۔ میں اس طرح کی 100 کلوواٹ سے 1500 کلو

واٹ برقی طاقت کی 100 کلوگرام سے 3000 کلوگرام لوہا گلانے کی امالی برقی بھٹیاں<sup>223</sup> بناتا رہا ہوں جو 500 ہرٹز سے 1200 ہرٹز کے درمیان کام کرتی ہیں۔ اس طرح کے پیچدار لچھے میں غیر موصل پیالے میں موصل دھات کے ٹکڑے ڈالے جاتے ہیں اور اس لچھے میں بدلتی روگزاری جاتی ہے۔ دھات میں بھنور نما امالی برقی رو اسے گرم کر کے پگلا دیتی ہے۔ لوہے کو یوں 1650 ڈگری<sup>224</sup> ٹلسٹس<sup>225</sup> تک گرم کیا جاتا ہے۔<sup>226</sup>

- اس پیچدار لچھے پر معین برقی رو  $I_0$  گزرنے کی صورت میں رداسی سمت میں میکانی دباؤ یعنی قوت فی مربع رقبہ معلوم کریں۔
- میری 3000 کلوگرام لوہا گلانے کی بھٹی کے پیچدار لچھے کی تفصیل کچھ یوں ہے۔

$$N=11; \quad I_0=10000 \text{ A}; \quad l=0.94\text{m}; \quad r=0.49\text{m}$$

اس پر رداسی سمت میں میکانی دباؤ نیوٹن فی مربع میٹر میں حاصل کریں۔

حل الف:

بہم کو۔ توانائی کا طریقہ استعمال کرتے ہیں۔

---

223 high frequency steel remelting induction furnaces

224 ٹلسٹس حرارت کی اکائی ہے جو پہلے سنٹی گریڈ کہلاتا تھا۔ یہ اکائی سویڈن کے علم فلکیات کے عالم اینڈرس ٹلسٹس کے نام ہے

225 Celsius, Centigrade

226 یہاں آپ مثال 2.6 بھی دیکھنا پسند کریں گے

$$L = \frac{\mu_0 N^2 \pi r^2}{l}$$

$$W'_m(r, i) = \frac{L i^2}{2} = \frac{\mu_0 N^2 \pi r^2 I_0^2}{2l}$$

$$F = \frac{\partial W'_m}{\partial r} = \frac{\mu_0 N^2 \pi r I_0^2}{l}$$

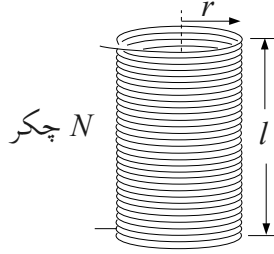
یہ مثبت قوت رداسی سمت میں باہر کی جانب ہے۔ لچھے کی گول سطح  
 ہے۔ یوں میکانی دباؤ  $A = 2 \pi r l$

$$\frac{F}{A} = \frac{\mu_0 N^2 \pi r I_0^2}{2 \pi r l^2} = \frac{\mu_0 N^2 I_0^2}{2 l^2}$$

ہے۔

حل با:

$$\frac{4 \pi 10^{-7} \times 11^2 \times 10000^2}{2 \times 0.94^2} = 8605 \text{ N/m}^2$$



شکل 4.8: پیچدار لچھا

مثال 4.5:

2000 کلوواٹ سے 3000 کلوواٹ کی لوہا گلانے کی بھٹیاں

30000 کلوگرام سے 70000 کلوگرام لوہا روزانہ گلاتی ہیں<sup>227</sup>۔

اتنا وزن ایک جگہ سے دوسری جگہ منتقل کرنے کی خاطر

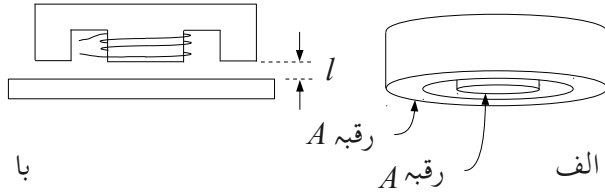
عموماً برقی مقناطیس استعمال ہوتا ہے۔ شکل 4.9 الف میپی ایک ایسا ہی برقی

مقناطیس دکھایا گیا ہے جس کی تفصیل کچھ یوں ہے۔

227 یہ میں اپنے تجربہ کی بنیاد پر کہہ رہا ہوں۔

$$A=0.7 \text{ m}^2; \quad N=300; \quad I=30 \text{ A}$$

اگر برقی مقناطیسی اور لوہے کے درمیان اوسط فاصلہ 2.5 سنٹی میٹر لیا جائے تو یہ برقی مقناطیسی کتنی کمیت لوہا اٹھا سکتی ہے۔



شکل 4.9: برقی مقناطیس

حل:

$$\begin{aligned}
 L &= \frac{\mu_0 N^2 A}{2l} \\
 W'_m(l, i) &= \frac{L i^2}{2} = \frac{\mu_0 N^2 A i^2}{4l} \\
 F &= \frac{\partial W'_m}{\partial l} = -\frac{\mu_0 N^2 A i^2}{4l^2} \\
 &= -\frac{4\pi \times 10^{-7} \times 300^2 \times 0.8 \times 30^2}{4 \times 0.0254^2} \\
 &= 31558 \text{ N}
 \end{aligned}$$

یوں یہ

$$\frac{31558}{9.8} = 3220 \text{ kg}$$

کمیت اٹھا سکتی ہے۔

مثال 4.6:

مثال 4.3 کو کو-توانائی کے طریقہ سے حل کریں۔  
حل: مساوات 4.35 سے

$$W'_m = \frac{L(x) i^2}{2} = \frac{N^2 \mu_0 w(b-x)}{4g} i^2$$

اور مساوات 4.33 سے

$$f_m = \frac{\partial W'_m}{\partial t} = -\frac{N^2 \mu_0 w}{4g} i^2 = -28278 \quad N$$

یہ وہی قوت ہے۔ ہونا بھی ایسا ہی چاہئے۔

#### 4.4 زیادہ لچھوں کا مقناطیسی نظام

ابھی تک صرف ایک لچھے کے نظام کا مطالعہ کیا گیا ہے۔ اس حصہ میں ایک سے زیادہ لچھوں کے نظام کا مطالعہ کیا جائے گا۔ زیادہ لچھوں کا نظام بھی بالکل ایک لچھے کے نظام کی طرح حل ہوتے ہیں۔

شکل 4.10 میں بائیں جانب ایک لچھے کا برقی رو  $i_1$  اور دوسرے لچھے کا برقی رو  $i_2$  ہے۔ لہذا

$$\partial W_{elect} = i_1 \partial \lambda_1 + i_2 \partial \lambda_2 \quad (4.36)$$

$$\partial W_{elect} = \partial W_{mech} + \partial W_m \quad (4.37)$$

$$i_1 \partial \lambda_1 + i_2 \partial \lambda_2 = f_m \partial x + \partial W_m \quad (4.38)$$

$$\partial W_m(\lambda_1, \lambda_2, x) = i_1 \partial \lambda_1 + i_2 \partial \lambda_2 - f_m \partial x \quad (4.39)$$

اب بالکل مساوات 4.11 کی طرح

$$\partial W_m(\lambda_1, \lambda_2, x) = \frac{\partial W_m}{\partial \lambda_1} d\lambda_1 + \frac{\partial W_m}{\partial \lambda_2} d\lambda_2 + \frac{\partial W_m}{\partial x} dx \quad (4.40)$$

اس مساوات میں ہم نے بائیں طرف  $W_m(\lambda_1, \lambda_2, x)$  کی جگہ  $W_m$  لکھا ہے۔ مساوات 4.39 اور 4.40 سے حاصل ہوتا ہے

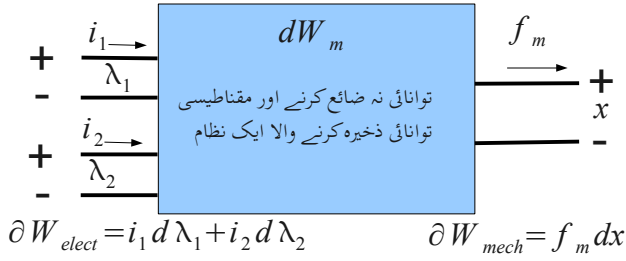
$$i_1 = \left. \frac{\partial W_m(\lambda_1, \lambda_2, x)}{\partial \lambda_1} \right|_{\lambda_2, x_0} \quad (4.41)$$

$$i_2 = \left. \frac{\partial W_m(\lambda_1, \lambda_2, x)}{\partial \lambda_2} \right|_{\lambda_1, x_0} \quad (4.42)$$

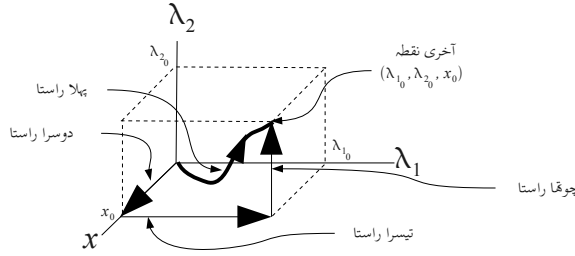
$$f_m = - \left. \frac{\partial W_m(\lambda_1, \lambda_2, x)}{\partial x} \right|_{\lambda_1, \lambda_2} \quad (4.43)$$



یہ مساوات تب استعمال ہو سکتے ہیں جب ہمیں توانائی  $W_m$  معلوم ہو لہذا ہم پہلے اسی کو معلوم کرتے ہیں۔



شکل 4.10: دو لچھوں کا نظام



شکل 4.11: دو لچھوں کے نظام میں مقناطیسی میدان میں توانائی

شکل 4.10 میں دونوں لچھوں کو اس طرح طاقت دی جاتی ہے کہ  $\lambda_1$  اور  $\lambda_2$  آہستہ آہستہ صفر سے بڑھتے ہوئے  $\lambda_{10}$  اور  $\lambda_{20}$  تک پہنچ جاتے ہیں اور سات ہی سات  $x$  صفر سے تبدیل ہو کر  $x_0$  ہو جاتا ہے۔ ایسا شکل 4.11 میں پہلا راستہ کے طور پر ہوتے دکھایا گیا ہے۔ بالکل مساوات 4.18 کی طرح

$$\int_{\text{پہلا راستا}} \partial W_m = \int_{\text{دوسرا راستا}} \partial W_m + \int_{\text{تیسرا راستا}} \partial W_m + \int_{\text{چوتھا راستا}} \partial W_m \quad (4.44)$$

ہم دائیں جانب کے مکمل کو باری باری حل کرتے ہیں۔

$$\int_{\text{دوسرا راستہ}} \partial W_m = \int_0^0 i_1 \partial \lambda_1 + \int_0^0 i_2 \partial \lambda_2 - \int_0^{x_0} f_m \partial x \quad (4.45)$$

اگر تکمل کا شروع کا اور آخری نقطہ ایک ہی ہو تو تکمل صفر کے برابر ہوتا ہے لہذا

$$\int_0^0 i_1 \partial \lambda_1 = \int_0^0 i_2 \partial \lambda_2 = 0 \quad (4.46)$$

دوسرے راستے  $\lambda_1$  اور  $\lambda_2$  دونوں صفر ہیں۔ اس کا مطلب ہے کہ دونوں چھوٹوں میں برقی رو صفر ہے، لہذا مقناطیسی بہاؤ کی غیر موجودگی میں قوت  $f_m = 0$

اور

$$\int_0^{x_0} f_m \partial x = \int_0^{x_0} 0 \partial x = 0 \quad (4.47)$$

لہذا

$$\int_{\text{دوسرا راستہ}} \partial W_m = 0 \quad (4.48)$$

$$\int_{\text{تیسرا راستا}} \partial W_m = \int_0^{\lambda_{i_0}} i_1 \partial \lambda_1 + \int_0^0 i_2 \partial \lambda_2 - \int_{x_0}^{x_0} f_m \partial x \quad (4.49)$$

جیسا پہلے ذکر کیا گیا کہ اگر تکمل کا شروع کا اور آخری نقطہ ایک ہی ہو تو تکمل صفر کے برابر ہوتا ہے لہذا

$$\int_0^0 i_2 \partial \lambda_2 = \int_{x_0}^{x_0} f_m \partial x = 0 \quad (4.50)$$

یعنی

$$\int_{\text{تیسرا راستا}} \partial W_m = \int_0^{\lambda_{i_0}} i_1 \partial \lambda_1 \quad (4.51)$$

یہاں بھی مساوات 2.37 ، 2.41 اور 2.43 کی ضرورت پڑتی ہے۔ یہ تین مساوات مندرجہ ذیل ہیں

$$\lambda_1 = l_{11} i_1 + L_{12} i_2 \quad (4.52)$$

$$\lambda_2 = L_{21}i_1 + L_{22}i_2 \quad (4.53)$$

$$L_{12} = L_{21} \quad (4.54)$$

ان مساواتوں کو ہم  $i_1$  اور  $i_2$  کے لئے حل کریں تو حاصل ہوتا ہے۔

$$i_1 = \frac{L_{22}\lambda_1 - L_{12}\lambda_2}{D} \quad (4.55)$$

$$i_2 = \frac{L_{11}\lambda_2 - L_{21}\lambda_1}{D} \quad (4.56)$$

جہاں

$$D = L_{11}L_{22} - L_{12}L_{21} \quad (4.57)$$

اب ہم مساوات 4.51 میں 4.55 استعمال کرتے ہیں۔ چونکہ دوسرے راستے پہ  $\lambda_2$  صفر ہے لہذا

$$\int_0^{\lambda_{1_0}} \frac{(L_{22}\lambda_1 - L_{12}\lambda_2) \partial \lambda_1}{D} = \frac{L_{22}}{D} \int_0^{\lambda_{1_0}} \lambda_1 \partial \lambda_1 = \frac{L_{22}\lambda_{1_0}^2}{2D} \quad (4.58)$$

یعنی

$$\int_{\text{تیسرا راستہ}} \partial W_m = \frac{L_{22}\lambda_{1_0}^2}{2D} \quad (4.59)$$

اسی طرح چوتھے راستے پر

$$\int_{\text{چوتھا راستہ}} \partial W_m = \int_{\lambda_{1_0}}^{\lambda_{1_0}} i_1 \partial \lambda_1 + \int_0^{\lambda_{2_0}} i_2 \partial \lambda_2 - \int_{x_0}^{x_0} f_m \partial x \quad (4.60)$$

جیسا پہلے ذکر کیا گیا کہ اگر تکمیل کا شروع کا اور آخری نقطہ ایک ہی ہو تو تکمیل صفر کے برابر ہوتا ہے لہذا

$$\int_{\lambda_{1_0}}^{\lambda_{1_0}} i_1 \partial \lambda_1 = \int_{x_0}^{x_0} f_m \partial x = 0 \quad (4.61)$$

اور

$$\int_0^{\lambda_{2_0}} i_2 \partial \lambda_2 = \int_0^{\lambda_{2_0}} \frac{(L_{11} \lambda_2 - L_{21} \lambda_{1_0}) \partial \lambda_2}{D} = \frac{L_{11} \lambda_{2_0}^2}{2D} - \frac{L_{21} \lambda_{1_0} \lambda_{2_0}}{D} \quad (4.62)$$

$$\int_{\text{چونکہ راستہ}} \partial W_m = \frac{L_{11} \lambda_{2_0}^2}{2D} - \frac{L_{21} \lambda_{1_0} \lambda_{2_0}}{D} \quad (4.63)$$

لہذا مساوات 4.48، 4.59 اور 4.63 کو جمع کر کے مساوات 4.44 کا حل ملتا ہے۔

$$\int \partial W_m = W_m(x_0, \lambda_{1_0}, \lambda_{2_0}) = \frac{L_{22} \lambda_{1_0}^2}{2D} + \frac{L_{11} \lambda_{2_0}^2}{2D} - \frac{L_{21} \lambda_{1_0} \lambda_{2_0}}{D} \quad (4.64)$$

اسی طرح اگر ہم کو-توانائی سے حل کرتے تو

$$dW'_m(x, i_1, i_2) = \lambda_1 \partial i_1 + \lambda_2 \partial i_2 + f \partial x \quad (4.65)$$

جہاں

$$\lambda_1 = \frac{\partial W'_m(x, i_1, i_2)}{\partial i_1} \Big|_{x, i_2} \quad (4.66)$$

$$\lambda_2 = \frac{\partial W'_m(x, i_1, i_2)}{\partial i_2} \Big|_{x, i_1} \quad (4.67)$$

$$f_m = \frac{\partial W'_m(x, i_1, i_2)}{\partial x} \Big|_{i_1, i_2} \quad (4.68)$$

اسی طرح مساوات 4.64 کی جگہ کو-توانائی کے لئے حاصل ہوتا ہے

---

شکل 4.10 میکیانی کام کو  $W_{mech} = T_m \partial \theta$  لکھ کر

مثال 4.7:



توانائی کے طریقہ سے حل کریں۔

حل:

$$\begin{aligned}\partial W_{elect} &= i_1 \partial \lambda_1 + i_2 \partial \lambda_2 \\ \partial W_{elect} &= \partial W_{mech} + \partial W_m \\ \partial W_m &= i_1 \partial \lambda_1 + i_2 \partial \lambda_2 - T_m \partial \theta\end{aligned}$$

اور

$$\begin{aligned}i_1 &= \frac{\partial W_m(\lambda_1, \lambda_2, \theta)}{\partial \lambda_1} \\ i_2 &= \frac{\partial W_m(\lambda_1, \lambda_2, \theta)}{\partial \lambda_2} \\ T_m &= -\frac{\partial W_m(\lambda_1, \lambda_2, \theta)}{\partial \theta}\end{aligned}\tag{4.69}$$

ان مساوات کا آخری جز بالکل مساوات 4.39 کی طرح ہے۔ اس کو حل کرنے کا ایک ایک قدم بالکل مساوات 4.39 کو حل کرنے کی طرح ہوگا بس فاصلہ  $x$  کسی جگہ زاویہ  $\theta$  آئے گا۔ یوں جواب میں میدان کی توانائی کے متغیرات  $\theta, \lambda_1, \lambda_2$  ہوں گے یعنی۔

$$\int \partial W_m = W_m(\theta_0, \lambda_{1_0}, \lambda_{2_0}) = \frac{L_{22}\lambda_{1_0}^2}{2D} + \frac{L_{11}\lambda_{2_0}^2}{2D} - \frac{L_{21}\lambda_{1_0}\lambda_{2_0}}{D} \quad (4.70)$$

اسی طرح کو- توانائی کے لئے جواب یہ ہے

$$\partial W'_m(i_1, i_2, \theta) = \lambda_1 \partial i_1 + \lambda_2 \partial i_2 + T_m \partial \theta \quad (4.71)$$

$$\begin{aligned} \lambda_1 &= \frac{\partial W'_m(i_1, i_2, \theta)}{\partial i_1} \\ \lambda_2 &= \frac{\partial W'_m(i_1, i_2, \theta)}{\partial i_2} \\ T_m &= + \frac{\partial W'_m(i_1, i_2, \theta)}{\partial \theta} \end{aligned} \quad (4.72)$$

جہاں

$$W'_m(i_1, i_2, \theta) = \frac{L_{11}i_1^2}{2} + \frac{L_{22}i_2^2}{2} + L_{12}i_1i_2 \quad (4.73)$$

ہے۔

مثال 4.8:

شکل 4.12 میں دو لچھوں کا نظام دکھایا گیا ہے۔ اس نظام کا ایک حصہ ساکن رہتا ہے اور دوسرا گھوم سکتا ہے۔ افقی لکیر سے گھڑی کی اُلٹی جانب زاویہ  $\theta$  ناپا جاتا ہے۔ لچھوں کی خود امالہ اور مشترکہ امالہ مندرجہ ذیل ہیں۔

$$L_{11} = 20 + 30 \cos 2\theta$$

$$L_{22} = (20 + 30 \cos 2\theta) \times 10^{-3}$$

$$L_{12} = 0.15 \cos \theta$$

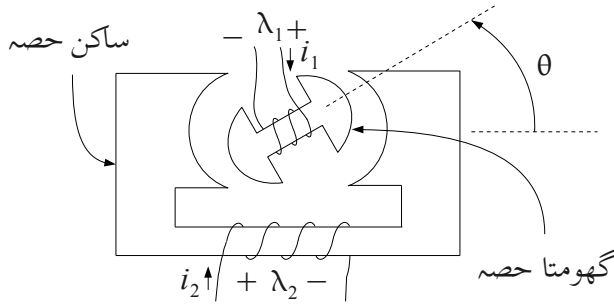
برقی رو  $i_1 = 0.02 \text{ A}$ ;  $i_2 = 5 \text{ A}$  پر مروڑ معلوم کریں۔

حل: مساوات 4.73 سے کو-توانائی حاصل ہوتی ہے اور مساوات 4.72

کے آخری جز سے مروڑ یعنی

$$\begin{aligned}
T_m &= + \frac{\partial W'_m}{\partial \theta} = -30 i_1^2 \sin 2\theta - 30 \times 10^{-3} i_2^2 \sin 2\theta - 0.15 i_1 i_2 \sin \theta \\
&= -0.012 \sin 2\theta - 0.75 \sin 2\theta - 0.015 \sin \theta \\
&= -0.762 \sin 2\theta - 0.015 \sin \theta \quad N-m
\end{aligned}$$

مروڑ منفی ہونے کا مطلب ہے کہ یہ زاویہ کی اُلٹ سمت میں ہے۔ یوں اگر آپ زاویہ بڑھائیں گے تو یہ نظام اسے کم کرنے کی جانب مروڑ پیدا کرے گا اور اگر آپ زاویہ کم کرنے کی کوشش کریں تو یہ زاویہ بڑھانے کی جانب مروڑ پیدا کرے گا۔ سادہ زبان میں گھومتا حصہ اُفقی لکیر پر رہنے کی کوشش کرے گا۔



شکل 4.12: دو لچھوں کے نظام میں مروڑ

## 5 گھومتے مشین کے بنیادی اصول

اس باب میں مختلف گھومتے مشین کے بنیادی اصول پر غور کیا جائے گا۔ ظاہری طور پر مختلف مشین ایک ہی قسم کے اصولوں پر کام کرتے ہیں جنہیں اس باب میں اکٹھا کیا گیا ہے۔

### 5.1 قانونِ فیراڈے

فیراڈے<sup>228</sup> کے قانون کے تحت جب بھی ایک چلھے کا ارتباطِ بہاؤ  $\lambda$  وقت کے ساتھ تبدیل ہو تو اس چلھے میں برقی دباؤ پیدا ہوتا ہے۔ یعنی

$$e = -\frac{\partial \lambda}{\partial t} = -N \frac{\partial \Phi}{\partial t} \quad (5.1)$$

گھومتے مشین میں ارتباطِ بہاؤ کی تبدیلی مختلف طریقوں سے لائی جاتی ہے۔ یا تو چلھے کو ساکن مقناطیسی بہاؤ میں گھمایا جاتا ہے، یا پھر ساکن چلھے میں مقناطیس گھمایا جاتا ہے، وغیرہ وغیرہ۔

چلھے مقناطیسی مرکز<sup>229</sup> پر لپیٹے جاتے ہیں۔ اس طرح کم سے کم

---

228 Faraday's law

229 magnetic core

مقناطیسی دباؤ  $\tau = Ni$  سے زیادہ سے زیادہ مقناطیسی بہاؤ  $\phi$  حاصل کیا جاتا ہے اور لچھوں کے مابین مشترکہ مقناطیسی بہاؤ بڑھایا جاتا ہے۔ دیگر یہ کہ مرکز کی شکل تبدیل کر کہ مقناطیسی بہاؤ کو ضرورت کی جگہ پہنچایا جاتا ہے۔

چونکہ ایسے مشین کے مرکز میں مقناطیسی بہاؤ وقت کے ساتھ تبدیل ہوتا ہے لہذا مرکز میں بھنور نما برقی رو<sup>230</sup> پیدا ہوتا ہے۔ ان بھنور نما برقی رو کو کم سے کم کرنے کی خاطر، مرکز کو باریک لوہے کی پتری<sup>231</sup> تہ در تہ رکھ کر بنایا جاتا ہے۔ یہ بالکل اسی طرح ہے جیسے ٹرانسفارمروں میں کیا جاتا ہے۔

## 5.2 معاصر مشین<sup>232</sup>

شکل 5.1 میں برقی جنریٹر کا ایک بنیادی شکل دکھایا گیا ہے۔ اس کے مرکز میں ایک مقناطیس ہے جو کہ گھوم سکتا ہے۔ مقناطیس کا مقام اس کے میکانی زاویہ  $\theta_m$  سے بتلائی جاتی ہے۔ اگر مقناطیس کے محور سے رداس کی جانب ایک لکیر کھینچی جائے، اور اس کو صفر زاویہ تصور کیا جائے، تو  $\theta_m$  اس لکیر سے، گھڑی کی اُلٹی سمت، ناپی جائے گی۔ اگرچہ یہ صفر زاویہ طے کرنے والی لکیر کہیں بھی ہو سکتی ہے، اس کتاب میں ہم یہ لکیر مقناطیس کے محور سے، دائیں ہاتھ یعنی اُفقی سطح، رداس کی سمت میں کھینچے گئے۔ اس شکل میں ایسا ہی دکھایا گیا ہے۔

یہاں کچھ باتیں وضاحت طلب ہیں۔ اگر مقناطیس ایک مقررہ رفتار سے

230 eddy currents

231 laminations

232 synchronous machines

یوں گھوم رہا ہو کہ یہ ہر سیکنڈ میں  $n$  مکمل چکر لگائے تو ہم کہتے ہیں کہ مقناطیس کے گھومنے کی تعدد  $n$  ہرٹز ہے، یعنی  $f = n \text{ Hz}$ ۔ اسی بات کو یوں بھی بیان کیا جاتا ہے کہ مقناطیس  $60n$  چکر فی منٹ<sup>233</sup> کی رفتار سے گھوم رہا ہے۔ آپ جانتے ہیں کہ ایک چکر  $360^\circ$  زاویہ یا  $2\pi$  ریڈین<sup>234</sup> پہ مشتمل ہوتا ہے۔ لہذا اسی گھومنے کی رفتار کو  $2\pi n$  ریڈین فی سیکنڈ بھی کہا جا سکتا ہے۔ اس بات کو اب ہم یوں بیان کر سکتے ہیں۔ اگر مقناطیس کے گھومنے کی تعدد  $f$  ہرٹز ہو تو یہ  $\omega$  ریڈین فی سیکنڈ کی رفتار سے گھومتا ہے۔ جہاں

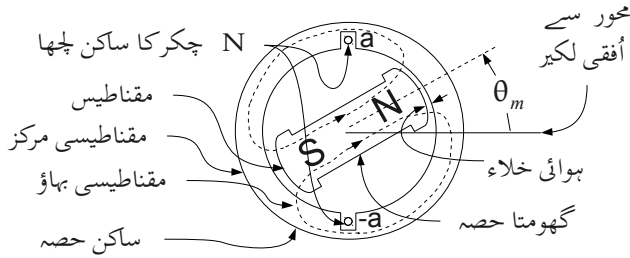
$$\omega = 2\pi f \quad (5.2)$$

اس کتاب میں گھومنے کی رفتار عموماً ریڈین فی سیکنڈ میں ہی بیان کی جائے گی۔

---

233 rounds per minute (rpm)

234 radians



شکل 5.1: دو قطب والا ایک چلھے اور ایک دور والا معاصر  
جنریٹر

شکل میں دکھائے گئے مشین میں مقناطیس کے دو قطب ہیں، اس لئے اس کو دو قطب والا مشین کہتے ہیں۔ اس مشین میں ایک چلھا استعمال ہوا ہے جس کی وجہ سے اس کو ایک چلھے کا مشین بھی کہتے ہیں۔ اس کے باہر مقناطیسی مرکز ہے۔ مرکز میں، اندر کی جانب دو شکاف ہیں، جن میں  $N$  چکر کا چلھا موجود ہے۔ چلھے کو  $a$  اور  $-a$  سے واضح کیا گیا ہے۔ چونکہ یہ چلھا جنریٹر کے ساکن حصہ پہ پایا جاتا ہے لہذا یہ بھی ساکن رہتا ہے اور اسی وجہ سے اسے ساکن چلھا کہتے ہیں۔

مقناطیس کا مقناطیسی بہاؤ اس کے شمالی قطب  $N^{235}$  سے نکل کر خلائی درز میں سے ہوتا ہوا، باہر گول مرکز میں سے گزر کر اور ایک بار پھر خلائی درز

235 North pole



میں سے ہوتا ہوا مقناطیس کے جنوبی قطب  $S^{236}$  میں داخل ہوتا ہے۔ اس مقناطیسی بہاؤ کو نقطہ دار لکڑیوں سے دکھایا گیا ہے۔ اگر غور کیا جائے تو یہ مقناطیسی بہاؤ، سارا کا سارا، ساکن چلھے میں سے بھی گزرتا ہے۔

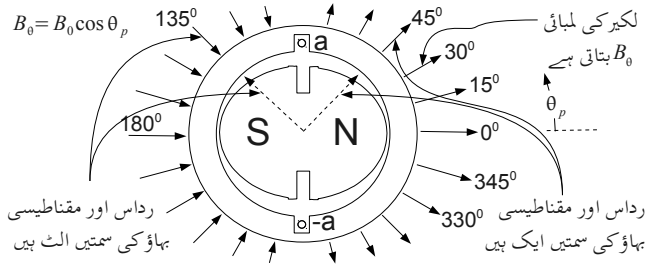
شکل 5.1 میں مقناطیس سیدھے سلاخ کی مانند دکھایا گیا ہے۔ شکل 5.2 میں اس مقناطیس کو تقریباً گول دکھایا گیا ہے۔ شکل 5.1 کی طرح یہاں بھی مقناطیس کے محور کا زاویہ  $\theta_m$  سے ظاہر کیا گیا ہے۔ مقناطیس اور باہر مرکز کے درمیان صفر زاویہ، یعنی  $\theta = 0$ ، پر خلائی درز کی لمبائی کم سے کم اور نوے زاویہ، یعنی  $|\theta| = 90^\circ$ ، پہ زیادہ سے زیادہ ہے۔ اس کی وضاحت بعد میں کی جائے گی البتہ یہاں اتنا جان لینا ضروری ہے کہ اس طرح خلائی درز میں سائن نما مقناطیسی بہاؤ پیدا کرنا ممکن ہوتا ہے۔ مقناطیسی بہاؤ مقناطیس سے مرکز میں عمودی زاویہ پہ داخل ہوتا ہے۔ اگر مقناطیس اور مرکز کے درمیان خلائی درز میں  $B$  سائن نما ہو، یعنی

$$B = B_0 \cos(\theta_p) \quad (5.3)$$

تو خلائی درز میں مقناطیسی بہاؤ  $B$  کی مقدار  $\theta_p$  کے ساتھ تبدیل ہوگی۔ یہ کثافتِ مقناطیسی بہاؤ صفر زاویہ، یعنی  $\theta_p = 0$ ، پہ زیادہ سے زیادہ ہوگی اور نوے زاویہ، یعنی  $|\theta_p| = 90^\circ$ ، پہ صفر ہوگی۔  $\theta_p$  کو مقناطیس کے شمالی قطب یعنی نکتہ دار افقی لکڑی سے گھڑی کی اُلٹی سمت ناپا جاتا ہے۔ شکل 5.2 میں مرکز کے باہر نوک دار لکڑیوں سے اس کثافتِ مقناطیسی بہاؤ کی مقدار اور

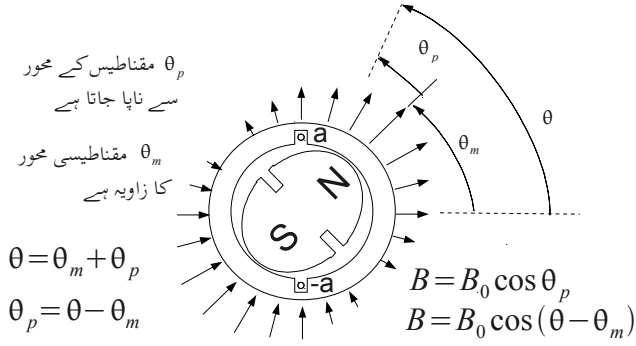
اس کی سمت دکھائی گئی ہے۔ آدھے خلائی درز میں کثافتِ مقناطیسی بہاؤ رداس کی سمت میں ہے اور آدھے میں یہ رداس کے اُلٹ سمت میں ہے۔ یہ شکل میں دکھایا گیا ہے۔ اگر ہم خلائی درز میں کثافتِ مقناطیسی بہاؤ  $B$  اور زاویہ  $\theta_p$  کا گراف بنائیں تو یہ شکل کی طرح ہوگا۔ شکل 5.3 میں مقناطیس کسی اور زاویہ پہ دکھایا گیا ہے۔ یہاں یہ سمجھ لینا ضروری ہے کہ کثافتِ مقناطیسی بہاؤ کی مقدار ہر حالت میں مقناطیس کے شمالی قطب پہ زیادہ سے زیادہ ہوگا اور یہاں اس کا رخ رداس کی سمت میں ہوگا۔ شکل میں خلائی درز میں کثافتِ مقناطیسی بہاؤ  $B$ ، زاویے  $\theta_p$  اور  $\theta_m$  دکھائے گئے ہیں۔ اس شکل کے لئے ہم لکھ سکتے ہیں

$$\begin{aligned}
 B &= B_0 \cos(\theta_p) \\
 \theta_p &= \theta - \theta_m \\
 B &= B_0 \cos(\theta - \theta_m)
 \end{aligned}
 \tag{5.4}$$

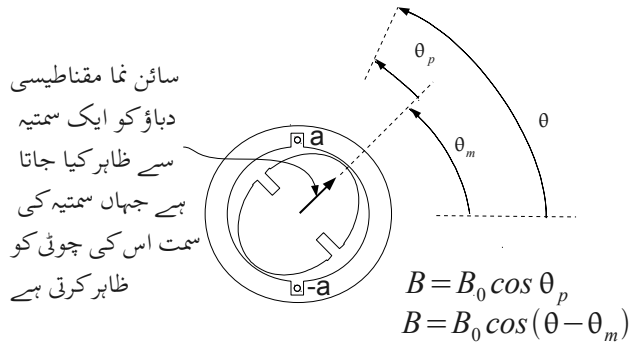


شکل 5.2: کثافتِ مقناطیسی بہاؤ کی زاویہ کے ساتھ تبدیلی

شکل 5.3 میں مقناطیس اور اس سے پیدا سائن نما مقناطیسی دباؤ دکھایا گیا ہے۔ ایسے مقناطیسی دباؤ کو ہم عموماً ایک سمتیہ سے ظاہر کرتے ہیں جہاں سمتیہ کا طول مقناطیسی دباؤ کے حیطہ کے برابر ہوتا ہے اور اس کی سمت مقناطیس کی شمال کو ظاہر کرتا ہے۔ شکل 5.4 میں ایسا ہی دکھایا گیا ہے۔ یہ سمجھ لینا ضروری ہے کہ اس سمتیہ کی سمت سائن نما مقناطیسی دباؤ کے حیطہ کو واضح کرتا ہے۔



شکل 5.3: جب مقناطیس کسی زاویہ پہ ہو تو کثافتِ مقناطیسی بہاؤ یوں ہوگا



شکل 5.4: مقناطیسی دباؤ کو سمتیہ سے ظاہر کیا جاتا ہے

شکل 5.3 میں مقناطیس کو کسی ایک لمحہ  $t_1$  زاویہ  $\theta_m(t_1)$  پہ دکھایا گیا ہے۔ یہاں ساکن لچھے کا ارتباط بہاؤ  $\lambda_0$  ہے۔ اگر مقناطیس، گھڑی کے الٹی سمت، ایک مقررہ رفتار  $\omega_0$  سے گھوم رہا ہو تو ساکن لچھے میں اس لمحہ  $e(t)$  برقی دباؤ پیدا ہوگا جہاں

$$e(t) = \frac{d\lambda_0}{dt} \quad (5.5)$$

جب مقناطیس آدھا چکر، یعنی  $\pi$  ریڈیئن<sup>237</sup>، گھومے تو اس کے دونوں قطب آپس میں جگہیں تبدیل کر لیں گے۔ لچھے میں مقناطیسی بہاؤ کی سمت الٹی ہو جائے گی۔ ساکن لچھے میں ارتباط بہاؤ اب  $-\lambda_0$  ہو جائے گا اور اس میں امالی برقی دباؤ  $e(t)$  ہو جائیں گے۔ اور جب مقناطیس ایک مکمل چکر کاٹے تو مقناطیس ایک بار پھر اسی جگہ ہوگا جہاں یہ شکل میں دکھایا گیا ہے۔ ساکن لچھے کا ارتباط بہاؤ ایک بار پھر  $\lambda_0$  ہی ہوگا اور اس میں امالی برقی دباؤ بھی ایک بار پھر  $e(t) = d\lambda_0/dt$  ہی ہوں گے۔ یعنی مقناطیس اگر  $\theta_m = 2\pi$  کا زاویہ طے کرے تو امالی برقی دباؤ کے زاویہ میں  $\theta_e = 2\pi$  کی تبدیلی آتی ہے۔ لہذا دو قطب کی مشین میں میکانی زاویہ  $\theta_m$  اور برقی زاویہ  $\theta_e$  برابر ہوتے ہیں، یعنی

---

237 radians

$$\theta_e = \theta_m \quad (5.6)$$

اس مشین میں اگر مقناطیس  $n$  چکر فی سیکنڈ کی رفتار سے گھومے تو لچھے میں امالی برقی دباؤ  $e(t)$  بھی ایک سیکنڈ میں  $n$  مکمل چکر کاٹے گی۔ ہم کہتے ہیں کہ  $e(t)$  کی تعدد<sup>238</sup>  $f_e$  کی مقدار  $n$  ہرٹز<sup>239</sup> ہے۔ یعنی اس صورت میں  $f_e = n \text{ Hz}$  یا ہم کسی بھی تعدد کے لئے لکھ سکتے ہیں

$$f_e = f_m \quad (5.7)$$

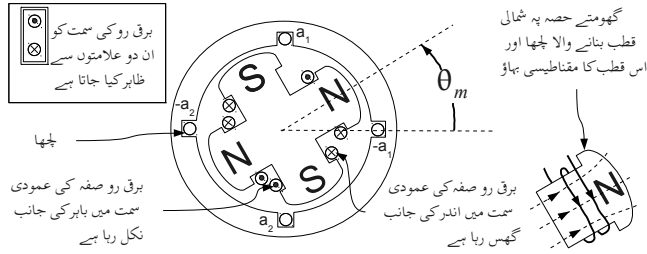
چونکہ اس مشین میں میکانی زاویہ  $\theta_m$  اور برقی زاویہ  $\theta_e$  وقت کے ساتھ تبدیل ہوتے بھی آپس میں ایک نسبت رکھتے ہیں لہذا ایسے مشین کو معاصر مشین<sup>240</sup> کہتے ہیں۔ یہاں یہ نسبت ایک کی ہے۔

---

238 frequency

239 Hertz (Hz)

240 synchronous machines



شکل 5.5: چار قطب والا ایک دور معاصر جنریٹر

شکل 5.5 میں چار قطب والا ایک دور کا معاصر جنریٹر دکھایا گیا ہے۔ چھوٹے مشین میں عموماً مقناطیس ہی استعمال ہوتے ہیں۔ البتہ بڑے مشین میں برقی مقناطیس<sup>241</sup> استعمال ہوتے ہیں۔ شکل 5.5 میں ایسا ہی دکھایا گیا ہے۔ دو سے زیادہ قطب والے مشین میں کسی ایک شمالی قطب کو حوالہ متنی بنایا جاتا ہے۔ شکل میں اس قطب کو  $\theta_m$  پہ دکھایا گیا ہے اور یوں دوسرا شمالی قطب  $(\theta_m + \pi)$  کے زاویہ پہ ہے۔

جیسا کہ نام سے واضح ہے، اس مشین میں موجود مقناطیس کے چار

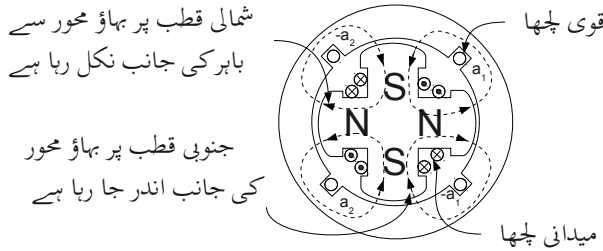
قطب ہیں۔ ہر ایک شمالی قطب کے بعد ایک جنوبی قطب آتا ہے۔ ایک دور کی آلوں میں مقناطیس کے جتنے قطب کے جوڑے ہوتے ہیں، اس میں اتنے ہی ساکن چمچے ہوتے ہیں۔ چونکہ شکل 5.5 میں دیئے گئے مشین کے چار قطب یعنی دو جوڑے قطب ہیں، لہذا اس مشین کے ساکن حصہ پہ دو ساکن چمچے لپٹے گئے ہیں۔ ایک چمچے کو  $a_1$  سے واضح کیا گیا ہے اور دوسرے کو  $a_2$  سے۔  $a_1$  چمچے کو مرکز میں موجود دو شگاف  $a_1$  اور  $-a_1$  میں لپیٹا گیا ہے۔ اسی طرح  $a_2$  چمچے کو دو شگاف  $a_2$  اور  $-a_2$  میں رکھا گیا ہے۔ ان دونوں چمچوں میں یکساں برقی دباؤ پیدا ہوتی ہے۔ ان دونوں چمچوں کو سلسلہ وار<sup>242</sup> جوڑا جاتا ہے۔ اس طرح جنریٹر کے برقی دباؤ ایک چمچے میں پیدا برقی دباؤ کے دگنا ہوتا ہے۔ ایک دور کے آلوں میں اگر مرکز کو، مقناطیس کے جتنے قطب ہوں اتنے حصوں میں، تقسیم کر لیا جائے تو اس مشین کا ہر ایک ساکن چمچا ایسا ایک حصہ گھیرتا ہے۔ شکل میں چار قطب ہیں لہذا اس کا ایک چمچا نوے میکائی زاویہ کے احاطے کو گھیر رہا ہے۔

اب تک ہم نے گھومتے چمچے اور ساکن چمچے کی بات کی ہے۔ یہ دو چمچے دراصل دو بالکل مختلف کارکردگی کے حامل ہوتے ہیں۔ اس بات کی یہاں وضاحت کرتے ہیں۔

جیسا پہلے بھی ذکر ہوا چھوٹی گھومتی آلوں میں مقناطیسی میدان ایک مقناطیس ہی فراہم کرتی ہے جبکہ بڑے آلوں میں برقی مقناطیس یہ میدان فراہم کرتی ہے۔ اگرچہ اب تک کی شکلوں میں مقناطیس کو گھومتے حصہ کے طور پر دکھایا گیا ہے مگر حقیقت میں یہ کبھی مشین کا گھومتا حصہ اور کبھی یہ اس کا



ساکن حصہ ہوتا ہے۔ میدان فراہم کرنے والا چلھا مشین کے کل برقی طاقت کے چند فی صد برابر برقی طاقت استعمال کرتا ہے۔ اس میدان فراہم کرنے والے چلھے کو میدانی چلھا<sup>243</sup> کہتے ہیں۔ اس کے برعکس مشین میں موجود دوسری نوعیت کے چلھے کو قوی چلھا<sup>244</sup> کہتے ہیں۔ برقی جنریٹر سے حاصل برقی طاقت اس قوی چلھے سے ہی حاصل کیا جاتا ہے۔ برقی موٹروں میں میدانی چلھے میں چند فی صد برقی طاقت کے خرچ کے علاوہ بقایا سارا برقی طاقت اسی قوی چلھے کو ہی فراہم کیا جاتا ہے۔



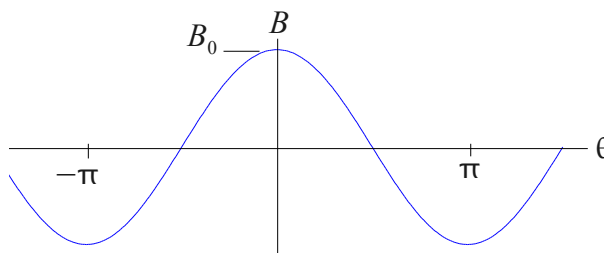
شکل 5.6: چار قطب اور دو چلھے والے مشین میں مقناطیسی بہاؤ

اب اگر ہم، گھومتے اور ساکن حصہ کے درمیان، خلائی درز میں  $B$  کو دیکھیں تو شمالی قطب سے مقناطیسی بہاؤ باہر کی جانب نکل کر مرکز میں داخل

243 field coil

244 armature coil

ہوتا ہے جبکہ جنوبی قطب میں مقناطیسی بہاؤ مرکز سے نکل کر جنوبی قطب میں اندر کی جانب داخل ہوتا ہے۔ یہ شکل 5.6 میں دکھایا گیا ہے۔ یوں اگر ہم اس خلائی درز میں ایک گول چکر کاٹیں تو مقناطیسی بہاؤ کی سمت دو مرتبہ باہر کی جانب اور دو مرتبہ اندر کی جانب ہوگی۔ مزید یہ کہ آلوں میں کوشش کی جاتی ہے کہ خلائی درز میں  $B$  سائن نما ہو۔ یہ کیسے کیا جاتا ہے، اس کو ہم آگے پڑھے گے۔ لہذا اگر یہ تصور کر لیا جائے کہ  $B$  سائن نما ہی ہے تب خلائی درز میں  $B$  کی مقدار، شکل 5.7 کی طرح ہوگی۔



شکل 5.7: سائن نما کثافتِ مقناطیسی بہاؤ

یوں ہم ایک ایسی معاصر مشین جس میں  $P$  قطب مقناطیس پایا جاتا ہو کرے لئے لکھ سکتے ہیں

$$\theta_e = \frac{P}{2} \theta_m \quad (5.8)$$

$$f_e = \frac{P}{2} f_m \quad (5.9)$$

اس صورت میں میکانی اور برقی تعدد ایک بار پھر آپس میں ایک نسبت رکھتے ہیں۔

مثال 5.1: پاکستان میں گھروں اور کارخانوں میں 50 Hz کی برقی طاقت فراہم کی جاتی ہے یعنی  $f_e = 50$ ۔

- اگر یہ برقی طاقت دو قطب کے جنریٹر سے حاصل کی جائے تو یہ جنریٹر کس رفتار سے گھمایا جائے گا۔
- اگر جنریٹر کے بیس قطب ہوں تب یہ جنریٹر کس رفتار سے گھمایا جائے گا۔

حل:

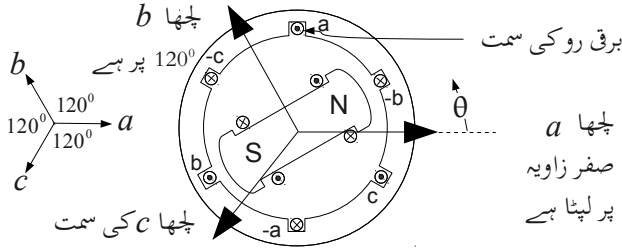
- مساوات 5.9 سے ہم دیکھتے ہیں کہ اگر یہ برقی طاقت دو قطب،  $P=2$  ، والے جنریٹر سے حاصل کی جائے تو اس جنریٹر کو  $f_m=50$  چکر فی سیکنڈ یعنی 3000 چکر فی منٹ<sup>245</sup> گھمانا ہو گا۔

- اگر یہی برقی طاقت بیس قطب،  $P=20$  ، والے جنریٹر سے حاصل کی جائے تو پھر اس جنریٹر کو  $f_m=5$  چکر فی سیکنڈ یعنی 300 چکر فی منٹ کی رفتار سے گھمانا ہو گا۔
- 

اب یہ فیصلہ کس طرح کیا جائے کہ جنریٹر کے قطب کتنے رکھے جائیں۔ درحقیقت پانی سے چلنے والے جنریٹر سست رفتار جبکہ ٹربائن سے چلنے والے جنریٹر تیز رفتار ہوتے ہیں، لہذا پانی سے چلنے والے جنریٹر زیادہ قطب رکھتے ہیں جبکہ ٹربائن سے چلنے والے جنریٹر آپ کو دو قطب کے ہی ملیں گے۔

---

245 rpm (rounds per minute)



شکل 5.8: دو قطب والا تین دور کا معاصر مشین

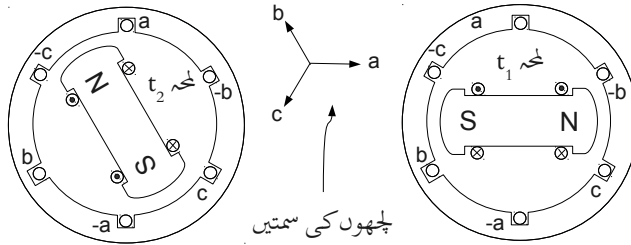
شکل 5.8 میں دو قطب والا تین دور کا معاصر مشین دکھایا گیا ہے۔ اس میں تین ساکن چلھے ہیں۔ ان میں ایک چلھا  $a$  ہے جو مرکز میں شگاف  $a$  اور  $-a$  میں رکھا گیا ہے۔ اگر اس شکل میں باقی دو چلھے نہ ہوتے تو یہ بالکل شکل 5.1 میں دیا گیا مشین ہی تھا۔ البتہ دیئے گئے شکل میں ایک کی بجائے تین ساکن چلھے ہیں۔

اگر چلھا  $a$  میں برقی رویوں ہو کہ شگاف  $a$  میں برقی رو، کتاب کے صفحہ سے عمودی رُخ میں باہر کی جانب ہو اور  $-a$  میں برقی رو کا رخ اس کے بالکل الٹ سمت میں ہو تو ہم چلھے کی سمت کا تعین دائیں ہاتھ کے ذریعہ یوں کرتے ہیں۔

- اگر ہم دائیں ہاتھ کی چار انگلیوں کو دونوں شگافوں میں برقی رو کی جانب لپٹیں تو اسی ہاتھ کا انگوٹھا چلھے کی سمت متعین کرتا ہے۔

شکل 5.8 میں چلھا  $a$  کی سمت تیر والی لکیر سے دکھائی گئی ہے۔ اس سمت کو ہم صفر زاویہ تصور کرتے ہیں۔ لہذا شکل میں چلھا  $a$  صفر زاویہ پر لپٹا گیا ہے، یعنی  $\theta_a = 0^\circ$ ۔ باقی چلھوں کے زاویہ، چلھا  $a$  کی سمت سے، گھڑی کی اُلٹی رُخ، ناپے جاتے ہیں۔

شکل 5.8 میں چلھا  $b$  کو شگاف  $b$  اور  $-b$  میں رکھا گیا ہے اور چلھا  $c$  کو شگاف  $c$  اور  $-c$  میں رکھا گیا ہے۔ مزید یہ کہ چلھا  $b$  کو  $120^\circ$  کے زاویہ پر اور چلھا  $c$  کو  $240^\circ$  زاویہ پر رکھا گیا ہے۔ یعنی  $\theta_b = 120^\circ$  اور  $\theta_c = 240^\circ$ ۔



شکل 5.9: دو قطب والا تین دور مشین

شکل 5.9 میں دکھائے گئے لمحہ  $t_1$  پر اگر چلھے  $a$  کا ارتباطِ بہاؤ  $\lambda_a(t_1)$  ہو تو جب مقناطیس  $120^\circ$  کا زاویہ طے کر لے، اس لمحہ  $t_2$  پر چلھے  $b$  کا ارتباطِ بہاؤ  $\lambda_b(t_2)$  ہوگا۔ ہم دیکھتے ہیں کہ لمحہ  $t_2$  پر مقناطیس اور چلھا  $b$  آپس میں بالکل اسی طرح سے ہیں جیسے  $t_1$  پر مقناطیس اور چلھا  $a$  تھے۔ لہذا لمحہ  $t_2$  پر چلھا  $b$  کا ارتباطِ بہاؤ بالکل اتنا ہی ہوگا جتنا لمحہ  $t_1$  پر چلھا  $a$  کا تھا۔ یعنی

$$\lambda_b(t_2) = \lambda_a(t_1) \quad (5.10)$$

اسی طرح اگر مقناطیس مزید  $120^\circ$  زاویہ طے کرے تو اس لمحہ  $t_3$  پر چلھا  $c$  کا ارتباطِ بہاؤ  $\lambda_c(t_3)$  ہوگا اور مزید یہ کہ یہ  $\lambda_a(t_1)$  کے برابر ہوگا۔ یعنی

$$\lambda_c(t_3) = \lambda_b(t_2) = \lambda_a(t_1) \quad (5.11)$$

ان لمحات پر ان چلھوں میں

$$e_a(t_1) = \frac{d\lambda_a(t_1)}{dt} \quad (5.12)$$

$$e_b(t_2) = \frac{d\lambda_b(t_2)}{dt} \quad (5.13)$$

$$e_c(t_3) = \frac{d\lambda_c(t_3)}{dt} \quad (5.14)$$

ہوں گے۔ مساوات 5.11 کی روشنی میں

$$e_a(t_1) = e_b(t_2) = e_c(t_3) \quad (5.15)$$

اگر شکل 5.9 میں صرف چلھا  $a$  پایا جاتا تو یہ بالکل شکل 5.1 کی طرح ہوتا اور اب اگر اس میں مقناطیس کو گھڑی کی اُلٹی سمت ایک مقررہ رفتار  $\omega_0$  سے گھمایا جاتا تو، جیسے پہلے تذکرہ کیا گیا ہے، چلھے  $a$  میں سائن نما برقی دباؤ پیدا ہوتی۔ شکل 5.9 میں کسی ایک چلھے کو کسی دوسرے چلھے پر کوئی برتری حاصل نہیں۔ لہذا اب شکل 5.9 میں اگر مقناطیس اسی طرح گھمایا جائے تو اس میں موجود تینوں ساکن چلھوں میں سائن نما برقی دباؤ پیدا ہوگی البتہ مساوات 5.15 کے تحت یہ برقی دباؤ آپس میں  $120^\circ$  کے زاویہ پر ہوں گے۔

### 5.3 محرک برقی دباؤ

قانونِ لورینز کے تحت اگر چارج  $q$  مقناطیسی میدان میں سمتی رفتار



$v$  سے حرکت کر رہا ہو تو اس پر قوت  $F$  اثر کرے گی

$$F = q(v \times B) \quad (5.16)$$

جہاں  $B$  میدان کی کثافتِ مقناطیسی بہاؤ ہے۔

یہاں سمتی رفتار سے مراد چارج کی سمتی رفتار ہے لہذا مقناطیسی میدان کو ساکن تصور کر کے اس میں برقی چارج کی سمتی رفتار  $v$  ہوگی۔

اس قوت کی سمت دائیں ہاتھ کے قانون سے معلوم کی جاتی ہے۔ اگر یہ چارج شروع کے نقطہ سے آخری نقطہ تک سمتی فاصلہ  $l$  طے کرے تو اس پر  $W$  کام ہوگا جہاں

$$W = F \cdot l = q(v \times B) \cdot l \quad (5.17)$$

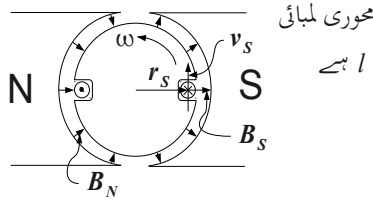
اکائی مثبت چارج کو ایک نقطہ سے دوسرے نقطہ منتقل کرنے کے لئے درکار کام کو ان دو نقطوں کے مابین برقی دباؤ<sup>246</sup> کہتے ہیں اور اس کی اکائی وولٹ<sup>247</sup> ہے۔ یوں اس مساوات سے ان دو نقطوں کے مابین حاصل برقی دباؤ  $e$  یہ ہوگی

---

246 potential difference or voltage

247 volt

$$e = \frac{W}{q} = (\mathbf{v} \times \mathbf{B}) \cdot \mathbf{l} \quad (5.18)$$



شکل 5.10: ایک چکر کا چلھا مقناطیسی میدان میں گھوم رہا ہے

اس طرح حرکت کی مدد سے حاصل برقی دباؤ کو محرک برقی دباؤ<sup>248</sup> کہتے ہیں۔ روایتی طور پر کسی بھی طریقہ سے حاصل برقی دباؤ کو محرک برقی دباؤ کہتے ہیں۔ یوں کیمیائی برقی سیل وغیرہ کی برقی دباؤ بھی محرک برقی دباؤ کہلاتی ہے۔

اس مساوات کو شکل 5.10 میں استعمال کرتے ہیں۔ گھومتے حصہ پر ایک چکر کا چلھا نسب ہے۔ بائیں جانب خلاء میں چلھے کی برقی تار پر غور

<sup>248</sup> electromotive force ( emf )

کریں۔ مساوات 5.16 کے تحت اس تار میں موجود مثبت چارج پر صفحہ کی عمودی سمت میں باہر کی جانب قوت اثر انداز ہوگی اور اس میں موجود منفی چارج پر اس کی الٹ سمت قوت عمل کرے گی۔ اسی طرح مساوات 5.18 کے تحت صفحہ سے باہر جانب برقی تار کا سِرا برقی دباؤ  $e$  کا مثبت سِرا ہوگا اور صفحہ کی اندر جانب برقی تار کا سِرا برقی دباؤ  $e$  کا منفی سِرا ہوگا۔

اگر گھومتے حصہ کی محور پر نلکی محدود قائم کی جائے تو جنوبی مقناطیسی قطب کے سامنے خلاء میں  $B$  رداس کی سمت میں ہے جبکہ شمالی مقناطیسی قطب کے سامنے خلاء میں  $B$  رداس کی الٹ سمت میں ہے۔ یوں جنوبی قطب کے سامنے شگاف میں برقی تار  $I_S$  کے لئے ہم لکھ سکتے ہیں

$$\begin{aligned} v_S &= v \hat{a}_\theta = \omega r \hat{a}_\theta \\ B_S &= B \hat{a}_r \\ I_S &= I \hat{a}_z \end{aligned} \quad (5.19)$$

لہذا اس جانب چمکے کی ایک تار میں پیدا محرک برقی دباؤ

$$\begin{aligned} e_S &= (v_S \times B_S) \cdot I_S \\ &= \omega r B I (\hat{a}_\theta \times \hat{a}_r) \cdot \hat{a}_z \\ &= \omega r B I (-\hat{a}_z) \cdot \hat{a}_z \\ &= -\omega r B I \end{aligned} \quad (5.20)$$

ہوگی۔

جنوبی مقناطیسی قطب کے سامنے شگاف میں برقی تار کی لمبائی کی سمت  $\hat{a}_z$  لی گئی ہے۔ اس مساوات میں برقی دباؤ کے منفی ہونے کا مطلب ہے کہ برقی تار کا مثبت سِرا  $-\hat{a}_z$  کی سمت میں ہے یعنی اس کا نچلا سِرا مثبت اور اوپر والا سِرا منفی ہے۔ یوں اگر اس برقی تار میں برقی رو گزر سکے تو اس کی سمت  $-\hat{a}_z$  یعنی صفحہ کی عمودی سمت میں اندر کی جانب ہوگی جسے شگاف میں دائرہ کے اندر صلیبی نشان سے ظاہر کیا گیا ہے۔

اسی طرح شمالی مقناطیسی قطب کے سامنے شگاف میں موجود برقی تار کے لئے ہم لکھ سکتے ہیں

$$\begin{aligned} \mathbf{v}_N &= v \hat{a}_\theta = \omega r \hat{a}_\theta \\ \mathbf{B}_N &= -B \hat{a}_r \\ \mathbf{l}_N &= l \hat{a}_z \end{aligned} \quad (5.21)$$

اور یوں

$$\begin{aligned} e_N &= (\mathbf{v}_N \times \mathbf{B}_N) \cdot \mathbf{l}_N \\ &= -\omega r B l (\hat{a}_\theta \times \hat{a}_r) \cdot \hat{a}_z \\ &= -\omega r B l (-\hat{a}_z) \cdot \hat{a}_z \\ &= \omega r B l \end{aligned} \quad (5.22)$$

شمالی مقناطیسی قطب کے سامنے شگاف میں برقی تار کی لمبائی کی سمت  $\hat{a}_z$  لی گئی ہے۔ اس مساوات میں برقی دباؤ کے مثبت ہونے کا مطلب ہے کہ برقی تار کا مثبت سِرا  $\hat{a}_z$  کی سمت میں ہے یعنی اس کا اوپر والا سِرا مثبت اور نچلا سِرا منفی ہے۔ یوں اگر اس برقی تار میں برقی رو گزر سکے تو اس کی سمت  $\hat{a}_z$  یعنی صفحہ کی عمودی سمت میں باہر کی جانب ہوگی جسے شگاف میں دائرہ کے اندر نقطہ کے نشان سے دکھایا گیا ہے۔

یہ دو برقی تار مل کر ایک چکر کا چلھا بناتے ہیں۔ ان دونوں کے نچلے سرے سلسلہ وار جڑے ہیں جو شکل میں نہیں دکھایا گیا۔ یوں اس چلھے کے اوپر نظر آنے والے سروں پر کُل برقی دباؤ  $e$  ان دو برقی تاروں میں پیدا ہونے والے برقی دباؤ کا مجموعہ ہوگا یعنی

$$\begin{aligned} e &= 2rlB\omega \\ &= AB\omega \end{aligned} \quad (5.23)$$

یہاں چلھے کا رقبہ  $A=2rl$  ہے۔ اگر ایک چکر سے اتنی برقی دباؤ حاصل ہوتی ہے تو  $N$  چکر کے چلھے سے

$$\begin{aligned} e &= \omega NAB \\ &= 2\pi f NAB \\ &= 2\pi f N\phi \end{aligned} \quad (5.24)$$

حاصل ہوگا۔

گھومتی آلون میمی خلائی درز میمی  $B$  اور  $v$  برلحہ عمودی ہوتے ہیں۔ مساوات 5.18 سے ظاہر ہے کہ اگر گھومنے کی رفتار اور محوری لمبائی معینی ہوں تو پیدا کردہ برقی دباؤ برلحہ  $B$  کے براہ راست متناسب ہوگا۔ لہذا اگر خلائی درز میں زاویہ کے ساتھ  $B$  تبدیل ہو تو گھومتے چلھے میمی پیدا برقی دباؤ بھی زاویہ کے ساتھ تبدیل ہوگا۔ یوں جس شکل کی برقی دباؤ حاصل کرنی ہو اُسی شکل کی کثافتِ مقناطیسی دباؤ خلائی درز میں پیدا کرنی ہوگی۔ اگر سائن نما برقی دباؤ پیدا کرنی مقصد ہو تو خلائی درز میمی محیط پر سائن نما کثافتِ مقناطیسی بہاؤ ضروری ہے۔

اگلے حصے میں خلائی درز میں ضرورت کے تحت  $B$  پیدا کرنے کی ترکیب بتلائی جائے گی۔

#### 5.4 پھیلے چلھے اور سائن نما مقناطیسی دباؤ

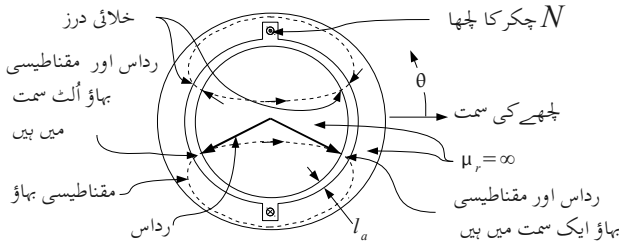
ہم نے اب تک جتنے مشین دیکھے ان سب میمی چلھے ایک گچھ کی شکل میں تھے۔ مزید یہ کہ ان آلون میمی گھومتے حصے پہ موجود مقناطیس کے اُبھرے قطب<sup>249</sup> تھے۔ درحقیقت آلون کے عموماً ہموار قطب<sup>250</sup> ہوتے ہیں اور ان میں پھیلے چلھے<sup>251</sup> پائے جاتے ہیں۔ ایسا کرنے سے ہم ساکن اور گھومتے حصوں

249 salient poles

250 non-salient poles

251 distributed winding

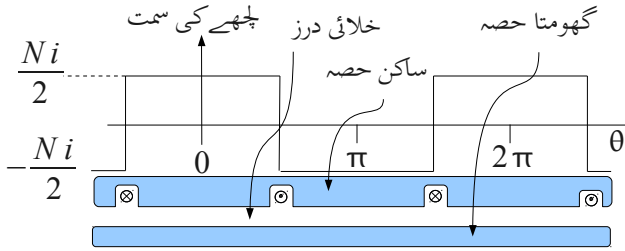
کے درمیان خلائی درز میں سائن نما مقناطیسی دباؤ اور سائن نما کثافتِ مقناطیسی بہاؤ پیدا کر سکتے ہیں۔



شکل 5.11: ساکن چھا گچھ کی شکل میں ہے

شکل 5.11 میں ایک چھا گچھ کی شکل کا دکھایا گیا ہے۔ اس کے گھومنے والا حصہ گول شکل کا ہے اور اس کا  $\mu_r = \infty$  ہے۔ ساکن حصے کا بھی  $\mu_r = \infty$  ہے۔ چھہ کا مقناطیسی دباؤ  $\tau = Ni$  ہے۔ یہ مقناطیسی دباؤ، مقناطیسی بہاؤ  $\Phi$  کو جنم دیتا ہے جس کو نقطہ دار لکیروں سے ظاہر کیا گیا ہے۔ مقناطیسی بہاؤ کو چھہ کے گرد ایک چکر کاٹتے خلائی درز میں سے دو مرتبہ گزرنا پڑتا ہے۔ لہذا

$$\tau = Ni = 2 H l_a \quad (5.25)$$



شکل 5.12: گچھ لچھے کی خلائی درز میں مقناطیسی دباؤ  
 $\tau_a$

یوں ساکن لچھے کا آدھا مقناطیسی دباؤ ایک خلائی درز اور آدھا دوسرے خلائی درز میں مقناطیسی بہاؤ پیدا کرتا ہے۔ مزید یہ کہ خلائی درز میں کہیں پہ مقناطیسی دباؤ ( اور مقناطیسی بہاؤ )، رداس<sup>252</sup> کی سمت میمی پیپی اور کہیں پہ خلائی درز میں مقناطیسی دباؤ ( اور مقناطیسی بہاؤ )، رداس کی اُلٹی سمت میمی پیپی۔ اگر ہم رداس کی سمت کو مثبت لیں تو مقناطیسی بہاؤ ( اور مقناطیسی دباؤ )

$-\frac{\pi}{2} < \theta < \frac{\pi}{2}$  کے درمیان رداس ہی کی سمت میں ہیں لہذا یہاں یہ مثبت پیپی

252 radius



جبکہ باقی جگہ مقناطیسی دباؤ ( اور مقناطیسی بہاؤ ) رداس کی اُلٹ سمت میں ہیں لہذا یہاں یہ منفی ہیں۔ ایسا ہی شکل 5.12 میں دکھایا گیا ہے۔ اس شکل میں خلائی درز میں مقناطیسی دباؤ کو زاویہ کے ساتھ گراف کیا گیا ہے۔

$-\frac{\pi}{2} < \theta < \frac{\pi}{2}$  کے درمیان خلائی درز میں مقناطیسی دباؤ  $\tau_a$  لچھے کے مقناطیسی دباؤ  $\tau$  کا آدھا ہے اور اس کی سمت مثبت ہے جبکہ  $\frac{3\pi}{2} < \theta < \frac{\pi}{2}$  کی درمیان خلائی درز میں مقناطیسی دباؤ لچھے کے مقناطیسی دباؤ کے آدھا ہے اور اس کی سمت منفی ہے۔ یاد رہے کہ مقناطیسی دباؤ کی سمت کا تعین رداس کی سمت سے کیا جاتا ہے۔

#### 5.4.1 بدلتی رو والے مشین<sup>253</sup>

بدلتی رو کے مشین بناتے وقت یہ کوشش کی جاتی ہے کہ خلائی درز میں مقناطیسی دباؤ سائن نما ہو۔ ایسا کرنے کی خاطر لچھوں کو ایک سے زیادہ شگافوں میں تقسیم کیا جاتا ہے۔ اس سے سائن نما مقناطیسی دباؤ کیسے حاصل ہوتی ہے، اس بات کی یہاں وضاحت کی جائے گی۔

فوریئر تسلسل<sup>254</sup> کے تحت ہم کسی بھی تفاعل<sup>255</sup>  $f(\theta_p)$  کو یوں لکھ سکتے ہیں

253 AC machines

254 Fourier series

255 function

$$f(\theta_p) = \sum_{n=0}^{\infty} (a_n \cos n\theta_p + b_n \sin n\theta_p) \quad (5.26)$$

جہاں

$$\begin{aligned} a_0 &= \frac{1}{T} \int_{-T/2}^{+T/2} f(\theta_p) d\theta_p \\ a_n &= \frac{2}{T} \int_{-T/2}^{+T/2} f(\theta_p) \cos \theta_p d\theta_p \\ b_n &= \frac{2}{T} \int_{-T/2}^{+T/2} f(\theta_p) \sin \theta_p d\theta_p \end{aligned} \quad (5.27)$$

جہاں  $T$  موج کا دوری عرصہ ہے۔

مثال 5.2:

شکل 5.12 میں دیئے گئے مقناطیسی دباؤ کا

- فوریر تسلسل حاصل کریں
- تیسری موسیقائی جز اور بنیادی جز کی نسبت معلوم کریں
- حل:
- مساوات 5.27 کی مدد سے

$$\begin{aligned}
a_0 &= \frac{1}{2\pi} \int_{-\pi}^{-\pi/2} \left(-\frac{NI}{2}\right) d\theta_p + \frac{1}{2\pi} \int_{-\pi/2}^{+\pi/2} \left(\frac{NI}{2}\right) d\theta_p + \frac{1}{2\pi} \int_{+\pi/2}^{+\pi} \left(-\frac{NI}{2}\right) d\theta_p \\
&= \frac{1}{2\pi} \left(-\frac{NI}{2}\right) \left(-\frac{\pi}{2} + \pi\right) + \frac{1}{2\pi} \left(\frac{NI}{2}\right) \left(\frac{\pi}{2} - \left(-\frac{\pi}{2}\right)\right) + \frac{1}{2\pi} \left(-\frac{NI}{2}\right) \left(\pi - \frac{\pi}{2}\right) \\
&= 0
\end{aligned}$$

اسی طرح

$$\begin{aligned}
a_n &= \frac{1}{\pi} \left(\frac{NI}{2}\right) \left[ \int_{-\pi}^{-\pi/2} -\cos n\theta_p d\theta_p + \int_{-\pi/2}^{+\pi/2} \cos n\theta_p d\theta_p + \int_{+\pi/2}^{+\pi} -\cos n\theta_p d\theta_p \right] \\
&= \left(\frac{NI}{2\pi}\right) \left[ -\frac{\sin n\theta_p}{n} \Big|_{-\pi}^{-\pi/2} + \frac{\sin n\theta_p}{n} \Big|_{-\pi/2}^{+\pi/2} - \frac{\sin n\theta_p}{n} \Big|_{+\pi/2}^{+\pi} \right] \\
&= \left(\frac{NI}{2n\pi}\right) [\sin(n\pi/2) + 2\sin(n\pi/2) + \sin(n\pi/2)] \\
&= \left(\frac{4}{n\pi}\right) \left(\frac{NI}{2}\right) \sin(n\pi/2)
\end{aligned}$$

اس مساوات میں  $n$  کی قیمت ایک، دو، تین کے لئے ملتا ہے

$$\begin{aligned}
a_1 &= \left(\frac{4}{\pi}\right) \left(\frac{NI}{2}\right) & a_3 &= -\left(\frac{4}{3\pi}\right) \left(\frac{NI}{2}\right) & a_5 &= \left(\frac{4}{5\pi}\right) \left(\frac{NI}{2}\right) \\
a_2 &= a_4 = a_6 = 0
\end{aligned}$$

اور

$$\begin{aligned}
 b_n &= \frac{1}{\pi} \left( \frac{NI}{2} \right) \left[ \int_{-\pi}^{-\pi/2} -\sin n \theta_p d \theta_p + \int_{-\pi/2}^{+\pi/2} \sin n \theta_p d \theta_p + \int_{+\pi/2}^{+\pi} -\sin n \theta_p d \theta_p \right] \\
 &= \left( \frac{NI}{2\pi} \right) \left[ \frac{\cos n \theta_p}{n} \Big|_{-\pi}^{-\pi/2} - \frac{\cos n \theta_p}{n} \Big|_{-\pi/2}^{+\pi/2} + \frac{\cos n \theta_p}{n} \Big|_{+\pi/2}^{+\pi} \right] \\
 &= 0
 \end{aligned}$$

$$\left| \frac{a_3}{a_1} \right| = \frac{\left( \frac{4}{3\pi} \right) \left( \frac{NI}{2} \right)}{\left( \frac{4}{\pi} \right) \left( \frac{NI}{2} \right)} = \frac{1}{3} \quad .$$

لہذا تیسری موسیقائی جز بنیادی جز کے 33.33 فی صد ہے

ہم خلائی درز میں مقناطیسی دباؤ  $\tau_a$  کو یوں لکھ سکتے ہیں

$$\tau_a = \frac{4}{\pi} \frac{Ni}{2} \cos \theta_p + a_2 \cos 2 \theta_p + a_3 \cos 3 \theta_p + \dots \quad (5.28)$$

اس تسلسل کے پہلے رکن  $\tau_{al}$  میں ہم دلچسپی رکھتے ہیں۔

$$\tau_{a_1} = \frac{4}{\pi} \frac{N i}{2} \cos \theta_p = \tau_0 \cos \theta_p \quad (5.29)$$

جہاں

$$\tau_0 = \frac{4}{\pi} \frac{N i}{2} \quad (5.30)$$

اس مساوات سے ہم دیکھتے ہیں کہ شکل 5.11 میں چھپے سے حاصل مقناطیسی دباؤ بالکل اسی طرح ہے جیسے شکل 5.2 میں سلاخ نما مقناطیس صفر زاویہ پر رکھے حالت میں دیتا۔ اگر یہاں یہ چلھا کسی ایسے زاویہ پر رکھا گیا ہوتا کہ اس سے حاصل مقناطیسی دباؤ زاویہ  $\theta_m$  پر زیادہ سے زیادہ ہوتا تو یہ بالکل شکل 5.3 میں موجود مقناطیس کی طرح کا ہوتا۔ شکل 5.17 ایک ایسی ہی مثال ہے۔ ہم بالکل مساوات 5.4 کی طرح اس شکل میں چلھا  $a$  کے لئے لکھ سکتے ہیں

$$\begin{aligned}
\tau_a &= \tau_0 \cos(\theta_{p_a}) \\
\theta_{p_a} &= \theta - \theta_{m_a} = \theta - 0^0 \\
\tau_a &= \tau_0 \cos(\theta - \theta_{m_a}) = \tau_0 \cos(\theta)
\end{aligned} \tag{5.31}$$

اسی طرح چلھا  $b$  اور  $c$  کے چونکہ  $\theta_{m_b} = 120^0$  اور  $\theta_{m_c} = -120^0$  لہذا ان کے لئے ہم لکھ سکتے ہیں

$$\begin{aligned}
\tau_b &= \tau_0 \cos(\theta_{p_b}) \\
\theta_{p_b} &= \theta - \theta_{m_b} = \theta - 120^0 \\
\tau_b &= \tau_0 \cos(\theta - \theta_{m_b}) = \tau_0 \cos(\theta - 120^0)
\end{aligned} \tag{5.32}$$

$$\begin{aligned}
\tau_c &= \tau_0 \cos(\theta_{p_c}) \\
\theta_{p_c} &= \theta - \theta_{m_c} = \theta + 120^0 \\
\tau_c &= \tau_0 \cos(\theta - \theta_{m_c}) = \tau_0 \cos(\theta + 120^0)
\end{aligned} \tag{5.33}$$

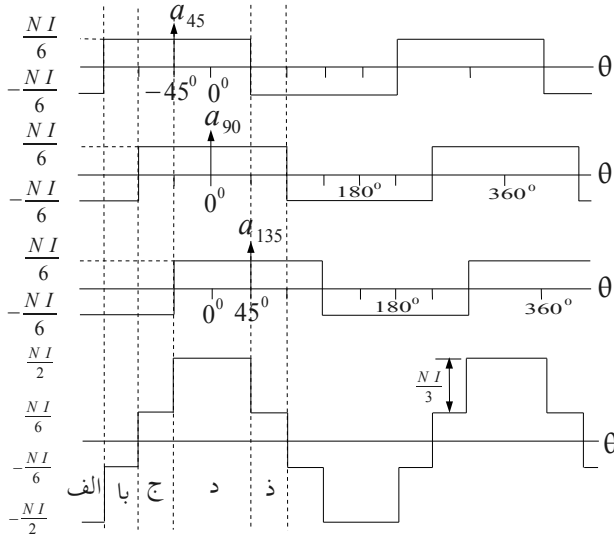
اگرچہ ظاہری طور پر خلائی درز میں مقناطیسی دباؤ سائن نما ہرگز نہیں لگتا لیکن مساوات 5.28 ہمیں بتلاتی ہے کہ یہ محض آنکھوں کا دھوکہ ہے۔ اس مقناطیسی دباؤ کا بیشتر حصہ سائن نما ہی ہے۔ اب اگر ہم کسی طرح مساوات 5.28 میں پہلے رکن کے علاوہ باقی سب رکن کو صفر کر سکیں تو ہم بالکل

سائن نما مقناطیسی دباؤ حاصل کر سکتے ہیں۔

شکل 5.14 میں تقسیم شدہ چلھا دکھایا گیا ہے۔ یہاں شکل 5.11 میں دکھائے گئے  $N$  چکر کے گچھ چلھے کو تین چھوٹے یکساں چلھوں میں تقسیم کیا گیا ہے۔ لہذا ان میں ہر چھوٹا چلھا  $\frac{N}{3}$  چکر کا ہے۔ ایسے چھوٹے چلھوں کو سلسلہ وار<sup>256</sup> جوڑا جاتا ہے۔ یوں ان سب میں برقی رو  $i$  یکساں طور پر گزرے گی۔ ان تین چلھوں کو تین مختلف شگافوں کے جوڑوں میں رکھا گیا ہے۔ پہلے چلھے کو شگاف  $a_{45}$  اور  $-a_{45}$  میں رکھا گیا ہے۔ دوسرے چلھے کو شگاف  $a_{90}$  اور  $-a_{90}$  میں اور تیسرے چلھے کو شگاف  $a_{135}$  اور  $-a_{135}$  میں رکھا گیا ہے۔

---

256 series connected



شکل 5.13: پھیلے لچھے کی کل مقناطیسی دباؤ

شگافوں کے ایک جوڑے کو ایک ہی طرح کے نام دیئے گئے ہیں، البتہ ایک شگاف کو مثبت اور دوسرے کو منفی نام دیا گیا ہے۔ یوں شگافوں کا پہلے جوڑا  $a_{45}$  اور  $-a_{45}$  ہے۔ شگافوں کے مثبت نام ان کے زاویوں کی نسبت سے رکھے گئے ہیں۔ لہذا شگاف  $a_{45}$  درحقیقت  $45^\circ$  زاویہ پر ہے، شگاف  $a_{90}$  نہ درجہ زاویہ پر اور شگاف  $a_{135}$  ایک سو پینتیس درجہ زاویہ پر ہے۔

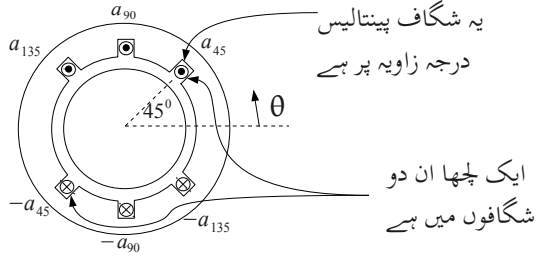
چونکہ ہر چلہا  $\frac{N}{3}$  چکر کا ہے اور ان سب میں برقی رو  $i$  یکساں ہے، لہذا شکل میں دیئے گئے پھیلے لچھے سے حاصل مقناطیسی دباؤ کا زاویہ



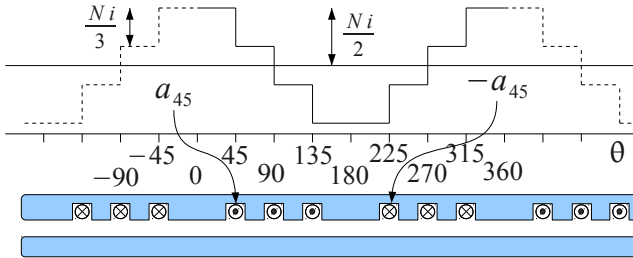
کے ساتھ گراف شکل 5.13 کے نچلے گراف کی طرح ہو گا۔ اس شکل میں سب سے اُوپر چلھا  $a_{45}$  کے مقناطیسی دباؤ کا گراف ہے۔ یہ بالکل 5.12 میں دیئے گراف کی طرح ہے البتہ یہ صفر زاویہ سے  $-45^0$  ہٹ کر ہے۔ اُوپر سے دوسرا گراف چلھا  $a_{90}$  کا ہے جو ہو بہو شکل 5.12 کی طرح ہے جبکہ اس سے نیچے چلھا  $a_{135}$  کا گراف ہے جو صفر زاویہ سے  $+45^0$  ہٹ کر ہے۔ ان تینوں گرافوں میں طول  $(NI)/6$  ہے۔

ان تینوں گرافوں سے کل مقناطیسی دباؤ کا گراف یوں حاصل ہوتا ہے۔ اس شکل میں عمودی نقطہ دار لکیریں لگائی گئی ہیں۔ بائیں جانب پہلی لکیر کی بائیں طرف علاقے کو الف کہا گیا ہے۔ اس علاقے میں پہلے تینوں گرافوں کی مقدار  $(-NI)/6$  ہے لہذا ان کا مجموعہ  $(-NI)/2$  ہو گا۔ یہی سب سے نچلے کل مقناطیسی دباؤ کی گراف میں دکھایا گیا ہے۔ اسی طرح علاقہ با میں پہلے گراف کی مقدار  $(+NI)/6$ ، دوسری گراف کی  $(-NI)/6$  اور تیسری کی بھی  $(-NI)/6$  ہے۔ ان کا مجموعہ  $(-NI)/6$  بنتا ہے جو کل مقناطیسی دباؤ ہے۔ علاقہ ج میں  $(+NI)/6$ ،  $(+NI)/6$  اور  $(-NI)/6$  مقداریں ہیں جن کا مجموعہ  $(+NI)/6$  ہی کل مقناطیسی دباؤ ہے جو سب سے نچلے گراف میں دکھایا گیا ہے۔ اسی طرح آپ پورا گراف بنا سکتے ہیں۔

شکل 5.13 کے نچلے گراف کو شکل 5.15 میں دوبارہ دکھایا گیا ہے۔



شکل 5.14: پھیلے چھری



شکل 5.15 کا اگر شکل 5.12 کے ساتھ تقابل کیا جائے تو محض دیکھنے سے بھی یہ ظاہر ہے کہ شکل 5.15 زیادہ سائن نما موج کے نوعیت کا ہے۔ ہمیں فوراً تسلسل حل کرنے سے بھی یہی نتیجہ ملتا ہے۔ ہم دیکھ سکتے ہیں کہ شگافوں کی جگہ اور ان میں پلھوں کے چکر کو یوں رکھا جا سکتا ہے کہ ان سے پیدا کردہ مقناطیسی دباؤ سائن نما کے زیادہ سے زیادہ قریب ہو۔

چونکہ پھیلے پلھے کے مختلف حصے ایک ہی زاویہ پہ مقناطیسی دباؤ نہیں بناتے لہذا ان سے حاصل کُل مقناطیسی دباؤ کا حیثہ ایک گچھ پلھے کے حیثہ سے قدر کم ہوتا ہے۔ اس اثر کو مساوات 5.30 میں جُز  $k_w$  کے ذریعہ یوں ظاہر کیا جاتا ہے۔

$$\tau_0 = k_w \frac{4}{\pi} \frac{Ni}{2} \quad (5.34)$$

$$\tau_{a_1} = k_w \frac{4}{\pi} \frac{Ni}{2} \cos \theta = \tau_0 \cos \theta \quad (5.35)$$

اس مساوات میں  $k_w$  کو جُز و ضربی پھیلاؤ<sup>257</sup> کہتے ہیں۔ یہ اکائی سے قدر کم ہوتا ہے یعنی

$$0 < k_w < 1$$

(5.36)

مثال 5.3: شکل 5.14 میں دیئے گئے پھیلے لچھے کے لئے  $k_w$  معلوم کریں۔

حل: شکل 5.16 سے رجوع کریں۔ یہ تین چھوٹے لچھے برابر مقناطیسی دباؤ  $\tau_a = \frac{4ni}{\pi} \frac{N}{2}$  پیدا کرتے ہیں، البتہ ان کی سمتیں مختلف ہیں۔ یہاں چونکہ ایک لچھا  $\frac{N}{3}$  چکر کا ہے لہذا  $n = \frac{N}{3}$  ہے۔ ہم ان سمتیوں کو جمع کر کے ان کا مجموعی مقناطیسی دباؤ  $\tau$  معلوم کرتے ہیں۔ کل دباؤ  $2.4142 \tau_a$  نکلتا ہے۔ یعنی

$$\tau = 2.4142 \left[ \frac{4}{\pi} \frac{ni}{2} \right] = \frac{2.4142}{3} \left[ \frac{4}{\pi} \frac{Ni}{2} \right] = 0.8047 \left[ \frac{4}{\pi} \frac{Ni}{2} \right]$$

لہذا

$$k_w = 0.8047$$

ہے۔

مثال 5.4: ایک تین دور 50 ہرٹز پر چلنے والا ستارا نما جڑے جنریٹر کو 3000 چکر فی منٹ کی رفتار سے چلایا جا رہا ہے۔ اس کی

مزید معلومات یہ ہیں۔

$$k_q = 0.833 \quad k_m = 0.9 \quad r = 0.7495 \text{ m} \quad l = 2.828 \text{ m} \quad l_k = 0.04 \text{ m}$$

$$N_m = 30 \text{ چکر} \quad N_q = 15 \text{ چکر}$$

اگر اس کے میدانی لچھے میں 1000 ایمپیئر برقی رو بہے تو معلوم کریں

- میدانی مقناطیسی دباؤ کی زیادہ سے زیادہ مقدار
- خلائی درز میں کثافتِ مقناطیسی بہاؤ
- ایک قطب پر مقناطیسی بہاؤ
- محرک تار پر برقی دباؤ

حل:

$$\tau_0 = \frac{4}{\pi} \frac{k_m N_m I_m}{P} = \frac{4}{\pi} \frac{0.9 \times 30 \times 1000}{2} = 17186.5 \text{ A} \cdot \text{turns/m}$$

$$B_0 = \mu_0 H_0 = \mu_0 \frac{\tau_0}{l_k} = \frac{4 \times \pi \times 10^{-7} \times 17186.5}{0.04} = 0.54 \text{ T}$$

$$\Phi_0 = 2 B_0 l r = 2 \times 0.54 \times 2.828 \times 0.7495 = 2.28915 \text{ Wb}$$

$$\begin{aligned} E_{rms} &= 4.44 f k_q N_q \Phi_0 \\ &= 4.44 \times 50 \times 0.833 \times 15 \times 2.28915 \\ &= 6349.85 \text{ V} \end{aligned}$$

لہذا ستارا جڑی جنریٹر کی تار کی برقی دباؤ

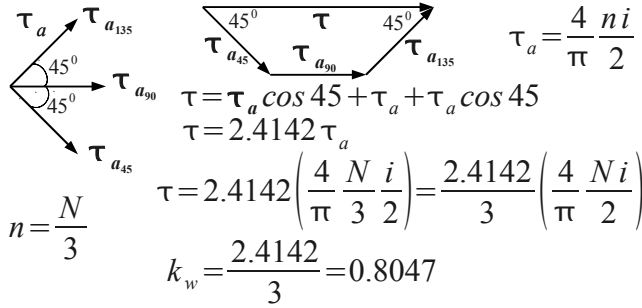
$$\sqrt{3} \times 6349.85 \approx 11000 \text{ V}$$

ہوگی۔

جیسا پہلے ذکر ہوا ہم چاہتے ہیں کہ سائن نما مقناطیسی دباؤ حاصل کر سکیں۔ چھوٹے لچھوں کے چکر اور شگافوں کی جگہ یوں چنے جاتے ہیں کہ یہ بنیادی مقصد پورا ہو۔ شکل 5.15 میں ہم دیکھتے ہیں کہ صفر زاویہ کی دونوں جانب مقناطیسی دباؤ کی موج یکساں طور پر گھٹتی یا بڑھتی ہے۔ یعنی جمع اور منفی پینتالیس زاویہ پر مقناطیسی دباؤ  $\frac{Ni}{3}$  گھٹ جاتی ہے۔ اسی طرح جمع اور منفی نوے زاویہ پر یہ یکساں طور پر مزید گھٹتی ہے، وغیرہ وغیرہ۔ یہ ایک بنیادی اصول ہے جس کا خیال رکھنا ضروری ہے۔

چھوٹے لچھوں کے چکر اور شگافوں کی جگہوں کا فیصلہ فوریئر تسلسل کی مدد سے کیا جاتا ہے۔ فوریئر تسلسل میں موسیقائی جُز کم سے کم اور اس می بنیادی جُز زیادہ سے زیادہ رکھے جاتے ہیں۔

ساکن لچھوں کی طرح حرکت کرتے لچھوں کو بھی ایک سے زیادہ چھوٹے لچھوں میں تقسیم کیا جاتا ہے تاکہ سائن نما مقناطیسی دباؤ حاصل ہو۔



$$\tau_a = \frac{4}{\pi} \frac{N i}{2}$$

$$\tau = \tau_a \cos 45 + \tau_a \cos 45$$

$$\tau = 2.4142 \tau_a$$

$$\tau = 2.4142 \left( \frac{4}{\pi} \frac{N i}{2} \right) = \frac{2.4142}{3} \left( \frac{4}{\pi} \frac{N i}{2} \right)$$

$$k_w = \frac{2.4142}{3} = 0.8047$$

$$n = \frac{N}{3}$$

شکل 5.16: تین چھوٹے لچھوں کی  $k_w$

## 5.5 مقناطیسی دباؤ کی گھومتی موجیں

گھومتے آلوں میں لچھوں کو برقی دباؤ دیا جاتا ہے جس سے اس کا گھومنے والا حصہ حرکت میں آتا ہے۔ یہاں ہم اس بات کا مطالعہ کرتے ہیں کہ یہ گھومنے کی حرکت کیسے پیدا ہوتی ہے۔

### 5.5.1 ایک دور کی لپٹی<sup>258</sup> مشین

مساوات 5.35 میں ایک لچھے کی مقناطیسی دباؤ یوں دی گئی ہے

$$\tau_{a_1} = k_w \frac{4}{\pi} \frac{N i}{2} \cos \theta \quad (5.37)$$

اگر اس چھے میں مقناطیسی بہاؤ بھی سائن نما ہو یعنی

$$i_a = I_a \cos \omega t \quad (5.38)$$

تو

$$\tau_{a_1} = k_w \frac{4}{\pi} \frac{N I_a}{2} \cos \theta \cos \omega t = \tau_0 \cos \theta \cos \omega t \quad (5.39)$$

جہاں

$$\tau_0 = k_w \frac{4}{\pi} \frac{N I_a}{2} \quad (5.40)$$



مساوات 5.39 کہتا ہے کہ یہ مقناطیسی دباؤ زاویہ  $\theta$  اور لمحہ  $t$  کے ساتھ تبدیل ہوتا ہے۔ اس مساوات کو ہم مندرجہ ذیل قلیہ سے دو ٹکڑوں میں توڑ سکتے ہیں۔

$$\cos \alpha \cos \beta = \frac{\cos (\alpha + \beta) + \cos (\alpha - \beta)}{2} \quad (5.41)$$

لہذا

$$\tau_{a_1} = \tau_0 \left[ \frac{\cos (\theta + \omega t) + \cos (\theta - \omega t)}{2} \right] = \tau^- + \tau^+ \quad (5.42)$$

جہاں

$$\begin{aligned} \tau^- &= \frac{\tau_0}{2} \cos (\theta + \omega t) \\ \tau^+ &= \frac{\tau_0}{2} \cos (\theta - \omega t) \end{aligned} \quad (5.43)$$

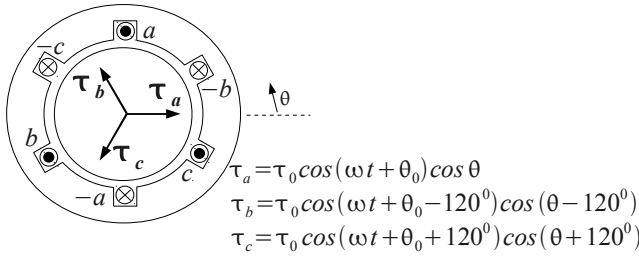
اس مساوات سے یہ بات سامنے آتی ہے کہ درحقیقت یہ مقناطیسی دباؤ دو اُلٹ

سمتوں میں گھومنے والے مقناطیسی دباؤ کی موجیں ہیں۔ اس کا پہلا جُز  $\tau^-$  گھٹنے کی جانب گھومتا ہے یعنی گھڑی کی سمت میں اور اس کا دوسرا جُز  $\tau^+$  گھڑی کی اُلٹی سمت گھومتا ہے یعنی یہ زاویہ بڑھنے کی جانب گھومتا ہے۔

ایک دور کی لپٹی آلوں میں یہ کوشش کی جاتی ہے کہ ان دو گھومتے مقناطیسی دباؤ میں سے ایک کو بالکل ختم یا کم سے کم کیا جائے۔ اس طرح کرنے سے ایک ہی سمت میں کُل مقناطیسی دباؤ گھومتا ملتا ہے جو بالکل اسی طرح کا ہوتا ہے جیسے ایک مقناطیس گھمایا جا رہا ہو۔ تین دور کے آلوں میں یہ کرنا نہایت آسان ہوتا ہے لہذا انہیں پہلے سمجھ لینا زیادہ بہتر ہو گا۔

## 5.5.2 تین دور کی لپٹی<sup>259</sup> مشین

شکل 5.17 میں تین دور کی لپٹی مشین دکھائی گئی ہے۔



شکل 5.17: تین دور کی لپٹی مشین

مساوات 5.31، 5.32 اور 5.33 میں ایسے تین چھوٹی کی فوریر تسلسل کی بنیادی جز دیئے گئے ہیں جو کہ یہ ہیں۔

$$\begin{aligned}\tau_a &= k_w \frac{4}{\pi} \frac{N_a i_a}{2} \cos(\theta) \\ \tau_b &= k_w \frac{4}{\pi} \frac{N_b i_b}{2} \cos(\theta - 120^\circ) \\ \tau_c &= k_w \frac{4}{\pi} \frac{N_c i_c}{2} \cos(\theta + 120^\circ)\end{aligned}\tag{5.44}$$

اگر ان تین چھوٹی میں تین دوری برقی رو ہو یعنی

$$\begin{aligned}i_a &= I_0 \cos(\omega t + \theta_0) \\ i_b &= I_0 \cos(\omega t + \theta_0 - 120^\circ) \\ i_c &= I_0 \cos(\omega t + \theta_0 + 120^\circ)\end{aligned}\tag{5.45}$$

تو بالکل مساوات 5.39 کی طرح ہم مساوات 5.45 کی مدد سے مساوات 5.44 کو یوں لکھ سکتے ہیں۔

$$\begin{aligned}
\tau_a &= k_w \frac{4}{\pi} \frac{N_a I_0}{2} \cos(\theta) \cos(\omega t + \theta_0) \\
\tau_b &= k_w \frac{4}{\pi} \frac{N_b I_0}{2} \cos(\theta - 120^\circ) \cos(\omega t + \theta_0 - 120^\circ) \\
\tau_c &= k_w \frac{4}{\pi} \frac{N_c I_0}{2} \cos(\theta + 120^\circ) \cos(\omega t + \theta_0 + 120^\circ)
\end{aligned} \tag{5.46}$$

اگر

$$N_a = N_b = N_c = N \tag{5.47}$$

تو

$$\begin{aligned}
\tau_a &= \frac{\tau_0}{2} (\cos(\theta + \omega t + \theta_0) + \cos(\theta - \omega t - \theta_0)) \\
\tau_b &= \frac{\tau_0}{2} (\cos(\theta + \omega t + \theta_0 - 240^\circ) + \cos(\theta - \omega t - \theta_0)) \\
\tau_c &= \frac{\tau_0}{2} (\cos(\theta + \omega t + \theta_0 + 240^\circ) + \cos(\theta - \omega t - \theta_0))
\end{aligned} \tag{5.48}$$

جہاں

$$\tau_0 = k_w \frac{4}{\pi} \frac{N I_0}{2} \quad (5.49)$$

کل مقناطیسی دباؤ  $\tau$  ان سب کا مجموعہ ہوگا۔ انہیں جمع کرنے سے پہلے ہم ثابت کرتے ہیں کہ

$$\cos(\gamma) + \cos(\gamma - 240^0) + \cos(\gamma + 240^0) = 0 \quad (5.50)$$

بہیں معلوم ہے کہ

$$\begin{aligned} \cos(\alpha + \beta) &= \cos(\alpha)\cos(\beta) - \sin(\alpha)\sin(\beta) \\ \cos(\alpha - \beta) &= \cos(\alpha)\cos(\beta) + \sin(\alpha)\sin(\beta) \end{aligned} \quad (5.51)$$

اگر ہم  $\alpha = \gamma$  اور  $\beta = 240^0$  لیں تو

$$\begin{aligned} \cos(\gamma - 240^0) &= \cos(\gamma)\cos(240^0) + \sin(\gamma)\sin(240^0) \\ \cos(\gamma + 240^0) &= \cos(\gamma)\cos(240^0) - \sin(\gamma)\sin(240^0) \end{aligned} \quad (5.52)$$

چونکہ  $\cos(240^0) = -\frac{1}{2}$  اور  $\sin(240^0) = -\frac{\sqrt{3}}{2}$  لہذا مساوات 5.52 برابر ہے

$$\begin{aligned} \cos(\gamma - 240^0) &= -\frac{1}{2}\cos(\gamma) - \frac{\sqrt{3}}{2}\sin(\gamma) \\ \cos(\gamma + 240^0) &= -\frac{1}{2}\cos(\gamma) + \frac{\sqrt{3}}{2}\sin(\gamma) \end{aligned} \quad (5.53)$$

اب اس مساوات کو اگر ہم  $\cos(\gamma)$  کے ساتھ جمع کریں تو جواب صفر ملتا ہے، یعنی

$$\cos(\theta + \omega t) + \cos(\theta + \omega t - 240^0) + \cos(\theta + \omega t + 240^0) = 0 \quad (5.54)$$

اب ہم مساوات 5.48 میں اگر  $\tau_a$ ،  $\tau_b$  اور  $\tau_c$  کو جمع کریں اور ان میں مساوات 5.54 کا استعمال کریں تو ملتا ہے

$$\tau^+(\theta, t) = \tau_a + \tau_b + \tau_c = \frac{3\tau_0}{2}\cos(\theta - \omega t - \theta_0) \quad (5.55)$$

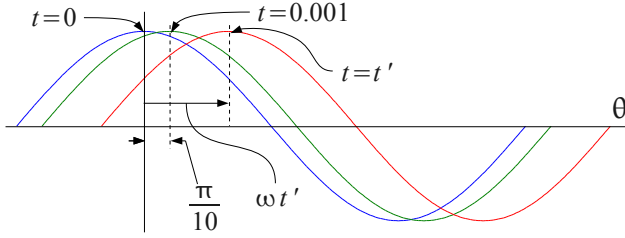
مساوات 5.55 کہتا ہے کہ کل مقناطیسی دباؤ کا حیطہ کسی ایک لچھے

کے مقناطیسی دباؤ کے حیطہ کے  $\frac{3}{2}$  گنا ہے۔ مزید یہ کہ یہ مقناطیسی دباؤ کی موج گھڑی کی الٹی سمت گھوم رہی ہے۔ لہذا تین چھوٹوں کو  $120^\circ$  زاویہ پر رکھنے اور انہیں تین دور کی برقی رو، جو آپس میں  $120^\circ$  لحاقی زاویوں پر ہوں، سے ہیجان کرنے سے ایک ہی گھومتی مقناطیسی دباؤ کی موج وجود میں آتی ہے۔ یہاں اس بات کا ذکر کرنا ضروری ہے کہ اگر کوئی دو برقی رو آپس میں تبدیل کئے جائیں تو مقناطیسی موج کے گھومنے کی سمت تبدیل ہو جاتی ہے۔ یہ مثال میں واضح کیا گیا ہے۔

اب ہم دیکھتے ہیں کہ مساوات 5.55 ایک گھومتے موج کو ظاہر کرتی ہے۔ یہ کرنے کے لئے ہمیں اس موج کی چوٹی کو دیکھنا ہوگا۔ ہم اپنی آسانی کے لئے  $\theta_0$  کو صفر لیتے ہیں۔ اس مثال میں ہم برقی رو کی تعدد  $f = 50 \text{ Hz}$  لیتے ہیں۔ اس موج کی چوٹی درحقیقت  $\cos(\theta - \omega t)$  کی چوٹی ہی ہے لہذا ہم اسی کی چوٹی کو مدنظر رکھتے ہیں۔ ہمیں معلوم ہے کہ  $\cos(\alpha)$  کی زیادہ سے زیادہ مقدار ایک کے برابر ہے یعنی اس کی چوٹی ایک کے برابر ہے اور یہ وہاں ہوتی ہے جہاں  $\alpha$  صفر کے برابر ہو یعنی  $\cos(0) = 1$ ۔ لہذا  $\cos(\alpha)$  کی چوٹی اسی جگہ ہوگی جہاں  $\alpha$  صفر کے برابر ہوگا۔ اسی طرح  $\cos(\theta - \omega t)$  کی چوٹی وہیں ہوگی جہاں  $\theta - \omega t$  صفر کے برابر ہو یعنی  $\theta - \omega t = 0$  پر۔

اب ابتدائی لمحہ یعنی  $t = 0$  پر  $\cos(\theta - \omega t)$  کی چوٹی  $\theta - \omega t = 0$  پر ہوگی۔ اس کو حل کرتے ہیں۔

$$\begin{aligned}
 \theta - \omega t &= 0 \\
 \theta - 2\pi f t &= 0 \\
 \theta - 2\pi \times f \times 0 &= 0 \\
 \theta &= 0
 \end{aligned}
 \tag{5.56}$$



شکل 5.18: حرکت کرتی موج

ہم دیکھتے ہیں کہ موج کی چوٹی صفر برقی زاویہ پر ہے۔ یہ شکل 5.18 میں دکھایا گیا ہے۔ ہم اس چوٹی کو کچھ وقفے کے بعد دوبارہ دیکھتے ہیں مثلاً  $t=0.001$  سیکنڈ کے بعد۔ مساوات 5.56 کو حل کرتے ہیں۔



$$\begin{aligned}
\theta - \omega t &= 0 \\
\theta - 2\pi f t &= 0 \\
\theta - 2 \times \pi \times 50 \times 0.001 &= 0 \\
\theta &= 0.3142 \text{ rad} \\
\theta &= 0.3142 \left( \frac{180}{\pi} \right) = 18^\circ
\end{aligned} \tag{5.57}$$

اب یہ چوٹی 0.3142 برقی ریڈیئن یعنی  $18^\circ$  کے برقی زاویہ پر ہے۔ یہ بھی شکل میں دکھایا گیا ہے۔ یہ بات واضح ہے کہ مقناطیسی دباؤ کی موج گھڑی کی الٹی سمت یعنی زاویہ بڑھنے کی سمت میں گھوم گئی ہے۔ اسی طرح  $t = 0.002$  پر یہ چوٹی  $36^\circ$  درجہ برقی زاویہ پر نظر آئے گی۔ اس چوٹی کا زاویہ کسی بھی لمحہ  $t = t'$  پر بالکل اسی طرح معلوم کیا جا سکتا ہے۔

$$\begin{aligned}
\theta - \omega t' &= 0 \\
\theta &= \omega t' \quad \text{radians}
\end{aligned} \tag{5.58}$$

اس مساوات سے یہ واضح ہے کہ چوٹی کا مقام متعین کرنے والا زاویہ بتدریج بڑھتا رہتا ہے۔ اس مساوات سے ہم ایک مکمل  $2\pi$  برقی زاویہ کے چکر کا وقت  $T$  حاصل کر سکتے ہیں یعنی

$$\theta - \omega t = 0$$

$$T = \frac{\theta}{\omega} = \frac{2\pi}{2\pi f} = \frac{1}{f} \quad (5.59)$$

اگر برقی رو کی تعدد  $f = 50 \text{ Hz}$  ہو تو یہ مقناطیسی دباؤ کی موج ہر 0.02 سیکنڈ میں ایک مکمل برقی چکر کاٹتی ہے یعنی یہ ایک سیکنڈ میں 50 برقی چکر کاٹتی ہے۔

اس مثال میں برقی زاویہ کی بات ہوتی رہی۔ دو قطب کی آلوں میں برقی زاویہ  $\theta_e$  اور میکانی زاویہ  $\theta_m$  برابر ہوتے ہیں۔ لہذا اگر دو قطب کی آلوں کی بات کی جائے تو مساوات 5.59 کے تحت ایک سیکنڈ میں مقناطیسی دباؤ کی موج  $f$  برقی یا میکانی چکر کاٹے گی جہاں  $f$  برقی رو کی تعدد ہے اور اگر  $P$  قطب رکھنے والی آلوں کی بات کی جائے تو چونکہ

$$\theta_e = \frac{P}{2} \theta_m \quad (5.60)$$

لہذا ایسے آلوں میں یہ مقناطیسی دباؤ کی موج ایک سیکنڈ میں  $f$  مقناطیسی چکر یعنی  $\frac{2}{P} f$  میکانی شکر کاٹے گی۔

اگر ہم برقی رو کی تعدد کو  $f_e$  سے ظاہر کریں، مقناطیسی دباؤ کی موج کی چوٹی کے برقی زاویہ کو  $\theta_e$  اور اس کے میکانی زاویہ کو  $\theta_m$  سے

ظاہر کریں اور اسی طرح اسی مقناطیسی دباؤ کی موج کے گھومنے کی رفتار کو  $\omega_e$  یا  $\omega_m$  سے ظاہر کریں تو

$$\begin{aligned}\omega_m &= \frac{2}{P} \omega_e \quad rad/sec \\ f_m &= \frac{2}{P} f_e \quad Hz \\ n &= \frac{120 f_e}{P} \quad r/min\end{aligned} \quad (5.61)$$

$\omega_e$  اس موج کی معاصر رفتار برقی زاویہ فی سیکنڈ میں ہے جبکہ  $\omega_m$  یہی معاصر رفتار میکانی زاویہ فی سیکنڈ میں ہے۔ اسی طرح  $f_e$  اس موج کی برقی معاصر رفتار برقی ہرٹز میں اور  $f_m$  اس کی میکانی معاصر رفتار میکانی ہرٹز میں ہے۔ برقی معاصر رفتار  $f_e$  ہرٹز ہونے کا مطلب یہ ہے کہ ایک سیکنڈ میں یہ موج  $f_e$  برقی چکر کا فاصلہ طے کرے گی جہاں ایک برقی چکر دو قطب کا فاصلہ یعنی  $2\pi$  ریڈیئن کا زاویہ ہے۔ اسی طرح میکانی معاصر رفتار  $f_m$  ہرٹز ہونے کا مطلب ہے کہ یہ موج ایک سیکنڈ میں  $f_m$  میکانی چکر کا فاصلہ طے کرے گی۔ ایک میکانی چکر عام زندگی میں ایک چکر کو ہی کہتے ہیں۔ اس مساوات میں  $n$  میکانی چکر فی منٹ<sup>260</sup> کو ظاہر کرتے ہیں۔ یہ مساوات معاصر رفتار<sup>261</sup> کی مساوات ہے۔

<sup>260</sup> rounds per minute (rpm)

<sup>261</sup> synchronous speed

یہاں اس بات کا ذکر کرنا ضروری ہے کہ ہم  $q$  دور کی لپٹی مشین جس کے چلھے  $\frac{2\pi}{q}$  برقی زاویہ پر رکھے گئے ہوں اور جن میں  $q$  دور کی برقی رو ہو، ایک ہی سمت میں گھومتی مقناطیسی دباؤ کی موج کو جنم دیتی ہے جیسے ہم نے تین دور کی مشین کے لئے دیکھا۔ مزید یہ کہ اس موج کا حیثہ کسی ایک چلھے سے پیدا مقناطیسی دباؤ کے حیثہ کے  $\frac{q}{2}$  گنا ہوگا اور اس کے گھومنے کی رفتار  $\omega_e = 2\pi f$  برقی ریڈیئن فی سیکنڈ ہوگی۔

### 5.5.3 تین دور کی لپٹی مشین پر گراف کے ذریعہ غور

شکل 5.17 میں تین دور کی لپٹی مشین دکھائی گئی ہے۔ اس میں مثبت برقی رو کی سمتیں بھی دکھائی گئی ہیں، مثلاً  $a$  شگاف میں برقی رو صفحہ سے عمودی سمت میں باہر جانب کو ہے اور یہ بات نقطہ سے واضح کی گئی ہے۔ اسی طرح  $-a$  شگاف میں برقی دباؤ صفحہ سے عمودی سمت میں اندر کی جانب کو ہے اور یہ بات صلیب کے نشان سے واضح کی گئی ہے۔ اگر برقی رو مثبت ہو تو اس کی یہی سمت ہوگی اور اس سے پیدا مقناطیسی دباؤ  $\tau_a$  صفر زاویہ کی جانب ہوگا جیسے شکل میں دکھایا گیا ہے۔ چلھے میں برقی رو سے پیدا مقناطیسی دباؤ کی سمت دائیں ہاتھ کے قانون سے معلوم کی جا سکتی ہے۔ اب اگر اسی چلھے میں برقی رو منفی ہو تو اس کا مطلب ہے کہ برقی رو الٹ سمت میں ہے۔ یعنی اب برقی رو  $a$  شگاف میں صفحہ کے عمودی سمت میں اندر کی جانب ہے اور  $-a$  شگاف میں یہ صفحہ کے عمودی سمت میں باہر کی جانب کو ہے۔ لہذا اس برقی رو سے پیدا مقناطیسی دباؤ بھی پہلے سے الٹ سمت میں ہوگی یعنی یہ شکل میں دیئے گئے  $\tau_a$  کے بالکل الٹ سمت میں ہوگی۔ اس تذکرہ

کا بنیادی مقصد یہ تھا کہ آپ پر یہ بات واضح ہو جائے کہ برقی رو کے منفی ہونے سے اس سے پیدا مقناطیسی دباؤ کی سمت الٹ ہو جاتی ہے۔  
اس شکل میں پلچھوں میں برقی رو اور مقناطیسی دباؤ کے یہ ہیں

$$\begin{aligned} I_a &= I_0 \cos(\omega t) \\ I_b &= I_0 \cos(\omega t - 120^\circ) \\ I_c &= I_0 \cos(\omega t + 120^\circ) \end{aligned} \quad (5.62)$$

$$\begin{aligned} \tau_a &= k_w \frac{4}{\pi} \frac{N I_a}{2} = k_w \frac{4}{\pi} \frac{N I_0}{2} \cos(\omega t) = \tau_0 \cos(\omega t) \\ \tau_b &= k_w \frac{4}{\pi} \frac{N I_b}{2} = k_w \frac{4}{\pi} \frac{N I_0}{2} \cos(\omega t - 120^\circ) = \tau_0 \cos(\omega t - 120^\circ) \\ \tau_c &= k_w \frac{4}{\pi} \frac{N I_c}{2} = k_w \frac{4}{\pi} \frac{N I_0}{2} \cos(\omega t + 120^\circ) = \tau_0 \cos(\omega t + 120^\circ) \end{aligned} \quad (5.63)$$

جبکہ ان کے مثبت سمتیں شکل میں دیئے گئے ہیں۔ اب ہم مختلف اوقات پر ان مقداروں کا حساب لگاتے ہیں اور ان کا کُل مجموعی مقناطیسی دباؤ حل کرتے ہیں۔

لحہ  $t_0 = 0$  پر ان مساوات سے ملتا ہے

$$\begin{aligned}
I_a &= I_0 \cos(0) = I_0 \\
I_b &= I_0 \cos(0 - 120^\circ) = -0.5 I_0 \\
I_c &= I_0 \cos(0 + 120^\circ) = -0.5 I_0
\end{aligned} \tag{5.64}$$

$$\begin{aligned}
\tau_a &= \tau_0 \cos(0) = \tau_0 \\
\tau_b &= \tau_0 \cos(0 - 120^\circ) = -0.5 \tau_0 \\
\tau_c &= \tau_0 \cos(0 + 120^\circ) = -0.5 \tau_0
\end{aligned} \tag{5.65}$$

یہاں رکھ کر زرا غور کریں۔ اس لمحہ پر  $I_a$  مثبت ہے جبکہ  $I_b$  اور  $I_c$  منفی ہیں۔ لہذا  $I_a$  اُسی سمت میں ہے جو شکل 5.17 میں دکھایا گیا ہے جبکہ  $I_b$  اور  $I_c$  شکل میں دیئے گئے سمتوں کے الٹ ہیں۔ ان تینوں برقی روکی اس لمحہ پر درست سمتیں شکل 5.19 میں دکھائی گئی ہیں۔ اس شکل میں تینوں مقناطیسی دباؤ بھی دکھائے گئے ہیں۔

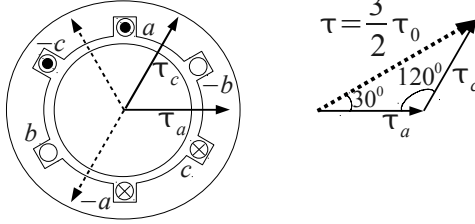


زاویہ پر ہے۔ اب ہم گھڑی کو چلنے دیتے ہیں اور کچھ لمحے بعد  $t_1$  پر دوبارہ یہی سب حساب لگاتے ہیں۔ چونکہ مساوات 5.62 اور 5.63 میں متغیر  $t$  کے بجائے  $\omega t$  کا استعمال زیادہ آسان ہے لہذا ہم لمحہ  $t_1$  کو یوں چنتے یہی کہ  $\omega t = 30^\circ$  کے برابر ہو۔ ایسا کرنے سے ہمیں یہ دو مساواتوں سے حاصل ہوتا ہے۔

$$\begin{aligned} I_a &= I_0 \cos(30^\circ) = \frac{\sqrt{3}}{2} I_0 \\ I_b &= I_0 \cos(30^\circ - 120^\circ) = 0 \\ I_c &= I_0 \cos(30^\circ + 120^\circ) = -\frac{\sqrt{3}}{2} I_0 \end{aligned} \quad (5.68)$$

$$\begin{aligned} \tau_a &= \tau_0 \cos(30^\circ) = \frac{\sqrt{3}}{2} \tau_0 \\ \tau_b &= \tau_0 \cos(30^\circ - 120^\circ) = 0 \\ \tau_c &= \tau_0 \cos(30^\circ + 120^\circ) = -\frac{\sqrt{3}}{2} \tau_0 \end{aligned} \quad (5.69)$$





شکل 5.20: لمحہ  $\omega t_1 = 30^\circ$  پر برقی رو اور مقناطیسی دباؤ

یہ شکل 5.20 میں دکھایا گیا ہے۔ کل مقناطیسی دباؤ کا طول  $\tau$  کو نکون کرے ذریعہ یوں حل کیا جا سکتا ہے۔ اسی طرح اس کو زاویہ بھی اسی سے حاصل ہوتا ہے۔ یعنی

$$\tau = \sqrt{\tau_a^2 + \tau_c^2 - 2\tau_a\tau_c \cos(120^\circ)} = \frac{3}{2}\tau_0 \quad (5.70)$$

اور چونکہ اس نکون کے دو اطراف برابر ہیں لہذا اس کے باقی دو زاویہ بھی برابر اور  $30^\circ$  ہیں۔

ہم دیکھتے ہیں کہ کل مقناطیسی دباؤ جو پہلے صفر زاویہ پر تھا اب وہ

$30^\circ$  کے زاویہ پر ہے یعنی وہ گھڑی کے اُلٹ سمت گھوم گیا ہے۔ اگر ہم اسی طرح  $\omega t = 45^\circ$  پر دیکھیں تو ہمیں کُل مقناطیسی دباؤ اب بھی  $\frac{3}{2}T_0$  ہی ملے گا البتہ اب یہ  $45^\circ$  کے زاویہ پر ہوگا۔ اگر کسی لمحہ جب  $\omega t = \theta^0$  کے برابر ہو یہ سارا حساب کیا جائے تو کُل مقناطیسی دباؤ اب بھی  $\frac{3}{2}T_0$  ہی ملے گا البتہ یہ  $\theta^0$  درجہ کے زاویہ پر ہوگا۔

## 5.6 محرک برقی دباؤ<sup>262</sup>

یہاں محرک برقی دباؤ کو ایک اور زاویہ سے پیش کیا جاتا ہے۔

### 5.6.1 بدلتی رو والا برقی جنریٹر<sup>263</sup>

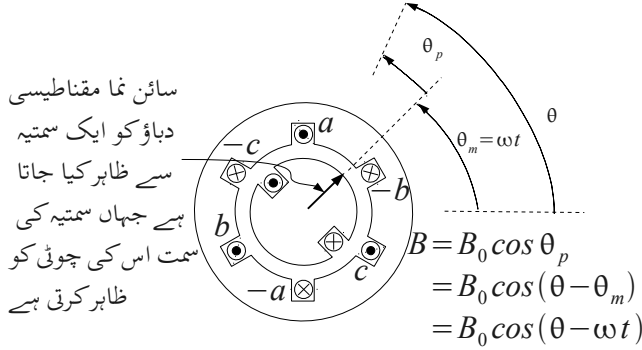
شکل 5.21 میں ایک بنیادی بدلتی رو<sup>264</sup> والا جنریٹر دکھایا گیا ہے۔ اس کا گھومتا برقی مقناطیس، خلائی درز میں سائن نما مقناطیسی دباؤ پیدا کرتا ہے جس سے وہاں سائن نما کثافتِ مقناطیسی بہاؤ  $B$  پیدا ہوتی ہے، یعنی

$$B = B_0 \cos(\theta_p) \quad (5.71)$$

262 ابتدا میں حرکت سے پیدا ہونے والی برقی دباؤ کو محرک برقی دباؤ کہتے تھے۔ اب روایتی طور پر کسی بھی برقی طاقت کے سرچشمے کی برقی دباؤ کو محرک برقی دباؤ کہتے ہیں

263 AC generator

264 alternating current (AC)

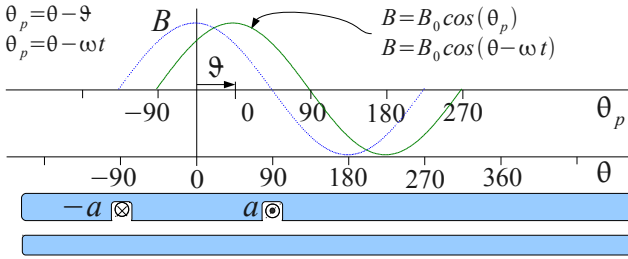


شکل 5.21: بنیادی بدلتی رو والا جنریٹر

یہ مقناطیس  $\omega$  زاویاتی رفتار سے گھوم رہا ہے۔ یوں اگر ابتدائی لمحہ یعنی  $t=0$  پر یہ  $a$  چلھے کی سمت یعنی نقطہ دار افقی لکیر کی سمت میں ہو تو لمحہ  $t$  پر یہ گھوم کر زاویہ  $\theta_m = \omega t$  پر ہوگا۔ اس طرح مساوات 5.71 یوں بھی لکھا جا سکتا ہے۔

$$\begin{aligned} B &= B_0 \cos(\theta - \theta_m) \\ &= B_0 \cos(\theta - \omega t) \end{aligned} \quad (5.72)$$

شکل 5.22 میں  $B$  کو زاویہ  $\theta$  اور  $\theta_p$  کے ساتھ گراف کیا گیا ہے۔ اسی گراف میں چلھا  $a$  بھی دکھایا گیا ہے۔ اس شکل میں نقطہ دار لکیر لمحہ  $t=0$



شکل 5.22: پلچھے میں سے گزرتا مقناطیسی بہاؤ

پر  $B$  دکھا رہا ہے جب گھومتے برقی مقناطیس کا محور اور اس پلچھے کا محور ایک ہی سمت میں ہوں جبکہ ٹھوس لکیر اسی  $B$  کو کسی بھی لمحہ  $t$  پر دکھا رہا ہے اور اس لمحہ پر برقی مقناطیس کے محور اور پلچھے کے محور کے مابین  $\phi$  درجے کا زاویہ ہے۔ یہ زاویہ برقی مقناطیس کے گھومنے کی رفتار  $\omega$  پر منحصر ہے یعنی

$$\theta = \omega t \quad (5.73)$$

لحہ  $t=0$  پر چھے میں سے زیادہ سے زیادہ مقناطیسی بہاؤ گزر رہی ہے۔ اگر خلائی درز بہت باریک ہو، تو اس کے اندر اور باہر جانب کے رداس تقریباً یکساں ہوں گے۔ برقی مقناطیس کے محور سے اس خلائی درز تک کا اوسط رداسی فاصلہ اگر  $\rho$  ہو اور برقی مقناطیس کا ڈھریے<sup>265</sup> کی سمت میں محوری لمبائی<sup>266</sup>  $l$  ہو تو اس چھے میں وہی مقناطیسی بہاؤ ہوگا جو اس خلائی درز میں  $-\pi/2 < \theta < +\pi/2$  کے مابین ہے۔ لحہ  $t=0$  پر اسے یوں معلوم کیا جا سکتا ہے۔

$$\begin{aligned} \Phi_a(0) &= \int_{-\pi/2}^{+\pi/2} \mathbf{B} \cdot d\mathbf{S} \\ &= \int_{-\pi/2}^{+\pi/2} (B_0 \cos \theta_p) (l \rho d\theta_p) \\ &= B_0 l \rho \sin \theta_p \Big|_{-\pi/2}^{+\pi/2} \\ &= 2 B_0 l \rho \\ &= \Phi_0 \end{aligned} \quad (5.74)$$

یہی حساب اگر لحہ  $t$  پر کی جائے تو کچھ یوں ہوگا۔

---

265 shaft

266 axial length

$$\begin{aligned}
\phi_a(t) &= \int_{-\pi/2-\vartheta}^{+\pi/2-\vartheta} \mathbf{B} \cdot d\mathbf{S} \\
&= \int_{-\pi/2-\vartheta}^{+\pi/2-\vartheta} (B_0 \cos \theta_p) (l \rho d\theta_p) \\
&= B_0 l \rho \sin \theta_p \Big|_{-\pi/2-\vartheta}^{+\pi/2-\vartheta} \\
&= 2 B_0 l \rho \cos \vartheta \\
&= 2 B_0 l \rho \cos \omega t
\end{aligned} \tag{5.75}$$

جہاں  $\vartheta = \omega t$  لیا گیا ہے۔ اسی مساوات کو یوں بھی حل کیا جا سکتا ہے

$$\begin{aligned}
\phi_a(t) &= \int_{-\pi/2}^{+\pi/2} \mathbf{B} \cdot d\mathbf{S} \\
&= \int_{-\pi/2}^{+\pi/2} (B_0 \cos(\theta - \omega t)) (l \rho d\theta) \\
&= B_0 l \rho \sin(\theta - \omega t) \Big|_{-\pi/2}^{+\pi/2} \\
&= B_0 l \rho [\sin(+\pi/2 - \omega t) - \sin(-\pi/2 - \omega t)] \\
&= 2 B_0 l \rho \cos \omega t
\end{aligned} \tag{5.76}$$

اس مرتبہ تکمل زاویہ  $\theta$  کے ساتھ کیا گیا ہے۔ انہی مساوات 5.74 کی مدد سے یوں لکھا جا سکتا ہے۔

$$\phi_a(t) = 2 B_0 l \rho \cos(\omega t) = \phi_0 \cos(\omega t) \tag{5.77}$$

بالکل مساوات 5.76 کی طرح ہم  $b$  اور  $c$  چھوٹے کے لئے بھی مقناطیسی بہاؤ کی مساواتیں حل کر سکتے ہیں۔ شکل 5.21 میں  $a$  چھوٹے میں زاویہ  $-\pi/2$  سے  $+\pi/2$  تک کا مقناطیسی بہاؤ گزرتا ہے۔ اس لئے  $\Phi_a(t)$  معلوم کرنے کے لئے مساوات 5.76 میں تکمیل کے حد بھی رکھے گئے تھے۔ اسی شکل سے واضح ہے کہ  $b$  چھوٹے کے تکمیل کے حد  $+\pi/6$  اور  $+\pi/6$  ہیں اور  $c$  کے  $+\pi/6$  اور  $+11\pi/6$  ہیں۔ یہ زاویے ریڈیئن میں دیئے گئے ہیں۔ یوں

$$\begin{aligned}
 \Phi_b(t) &= \int_{+\pi/6}^{+7\pi/6} \mathbf{B} \cdot d\mathbf{S} \\
 &= \int_{+\pi/6}^{+7\pi/6} (B_0 \cos(\theta - \omega t)) (l \rho d\theta) \\
 &= B_0 l \rho \sin(\theta - \omega t) \Big|_{+\pi/6}^{+7\pi/6} \\
 &= B_0 l \rho [\sin(+7\pi/6 - \omega t) - \sin(+\pi/6 - \omega t)] \\
 &= 2 B_0 l \rho \cos\left(\omega t - \frac{2\pi}{3}\right)
 \end{aligned} \tag{5.78}$$

اور

$$\begin{aligned}
\Phi_c(t) &= \int_{+5\pi/6}^{+11\pi/6} \mathbf{B} \cdot d\mathbf{S} \\
&= \int_{+5\pi/6}^{+11\pi/6} (B_0 \cos(\theta - \omega t)) (l \rho d\theta) \\
&= B_0 l \rho \sin(\theta - \omega t) \Big|_{+5\pi/6}^{+11\pi/6} \\
&= B_0 l \rho [\sin(+11\pi/6 - \omega t) - \sin(+5\pi/6 - \omega t)] \\
&= 2 B_0 l \rho \cos\left(\omega t + \frac{2\pi}{3}\right)
\end{aligned} \tag{5.79}$$

اگر ایک چلھے کے  $N$  چکر ہوں تو اس میں پیدا برقی دباؤ کو یوں معلوم کیا جا سکتا ہے۔

$$\begin{aligned}
\lambda_a &= N \Phi_a(t) = N \Phi_0 \cos(\omega t) \\
\lambda_b &= N \Phi_b(t) = N \Phi_0 \cos(\omega t - 120^\circ) \\
\lambda_c &= N \Phi_c(t) = N \Phi_0 \cos(\omega t + 120^\circ)
\end{aligned} \tag{5.80}$$

ان مساوات میں  $2\pi/3$  ریڈیئن کو  $120^\circ$  لکھا گیا ہے۔ ان سے چلھوں میبی پیدا امالی برقی دباؤ کا حساب یوں لگایا جا سکتا ہے۔



$$\begin{aligned}
e_a(t) &= -\frac{d\lambda_a}{dt} = \omega N \phi_0 \sin(\omega t) \\
e_b(t) &= -\frac{d\lambda_b}{dt} = \omega N \phi_0 \sin(\omega t - 120^\circ) \\
e_c(t) &= -\frac{d\lambda_c}{dt} = \omega N \phi_0 \sin(\omega t + 120^\circ)
\end{aligned} \tag{5.81}$$

اس مساوات کو یوں بھی لکھ سکتے ہیں

$$\begin{aligned}
e_a(t) &= \omega N \phi_0 \cos(\omega t - 90^\circ) \\
e_b(t) &= \omega N \phi_0 \cos(\omega t + 150^\circ) \\
e_c(t) &= \omega N \phi_0 \cos(\omega t + 30^\circ)
\end{aligned} \tag{5.82}$$

یہ مساوات تین دوری محرک برقی دباؤ<sup>267</sup> کو ظاہر کرتے ہیں جو آپس میں  $120^\circ$  درجہ زاویہ پر ہیں۔ ان سب کا حیثہ  $E_0$  یکساں ہے جہاں

$$E_0 = \omega N \phi_0 \tag{5.83}$$

---

<sup>267</sup> electromotive force ( emf )

اور ان برقی دباؤ کی موثر قیمت  $E_{rms}^{268}$

$$E_{rms} = \frac{E_0}{\sqrt{2}} = \frac{2\pi f N \Phi_0}{\sqrt{2}} = 4.44 f N \Phi_0 \quad (5.84)$$

ہوگا۔ مساوات 5.82 سائن نما برقی دباؤ کو ظاہر کرتا ہے۔ چونکہ  $\Phi = BA$  لہذا یہ مساوات بالکل مساوات 2.57 کی طرح ہے۔ اگرچہ مساوات 5.81 یہ سوچ کر حاصل کیا گیا کہ خلائی درز میں مقناطیسی بہاؤ صرف برقی مقناطیس کی وجہ سے ہے تاہم برقی دباؤ کا اس سے کوئی تعلق نہیں کہ خلائی درز میں مقناطیسی بہاؤ کس طرح وجود میں آئی اور یہ مساوات ان حالات کے لئے بھی درست ہے جہاں یہ مقناطیسی بہاؤ جنریٹر کے ساکن حصے میں پیدا ہوئی ہو یا ساکن اور حرکت پذیر دونوں حصوں میں پیدا ہوئی ہو۔

مساوات 5.84 ہمیں ایک گچھ لچھے میں پیدا برقی دباؤ دیتی ہے۔ اگر لچھا تقسیم شدہ ہو تو اس کے مختلف شگافوں میں موجود اس لچھے کے حصوں میں برقی دباؤ ہم مرحلہ نہیں ہوں گے لہذا ان سب کا مجموعی برقی دباؤ ان سب کا حاصل جمع نہیں ہوگا بلکہ اس سے قدر کم ہوگا۔ اس مساوات کو ہم ایک پھیلے لچھے کے لئے یوں لکھ سکتے ہیں۔

$$E_{rms} = 4.44 k_w f N \Phi_0 \quad (5.85)$$

---

268 root mean square (rms)

تین دور<sup>269</sup> کے برقی جنریٹروں کے لئے  $k_w$  کی مقدار 0.85 اور 0.95 کے درمیان ہوتی ہے۔ یہ مساوات ہمیں ایک دور کی برقی دباؤ دیتی ہے۔ تین دور کے برقی جنریٹروں میں ایسے تین لچھوں کے جوڑے ہوتے ہیں اور ان کو  $Y$  یعنی ستارا نما<sup>270</sup> یا  $\Delta$  یعنی تکونی<sup>271</sup> شکل میں جوڑا جاتا ہے۔

### 5.6.2 ایک سمتی رو کا برقی جنریٹر<sup>272</sup>

ہر گھومنے والا برقی جنریٹر بنیادی طور پر بدلتی رو والا جنریٹر ہی ہوتا ہے۔ البتہ جہاں ایک سمتی برقی دباؤ<sup>273</sup> کی ضرورت ہو وہاں مختلف طریقوں سے بدلتی برقی دباؤ<sup>274</sup> کو ایک سمتی برقی دباؤ میں تبدیل کیا جاتا ہے۔ یہ الیکٹرانکس کے ذریعہ جنریٹر کے باہر کیا جا سکتا ہے یا پھر میکانیکی طریقے سے آلہ تبدیل<sup>275</sup> کی مدد سے جنریٹر کے اندر ہی کیا جا سکتا ہے۔ مساوات 5.81 میں دیئے گئے برقی دباؤ کو ایک سمتی برقی دباؤ میں تبدیل کیا جائے تو یہ شکل 5.23 کی طرح ہو گا۔

---

269 three-phase

270 star

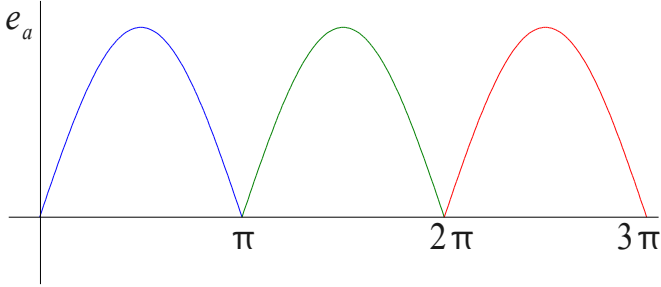
271 delta

272 DC generator

273 DC voltage

274 AC voltage

275 commutator



شکل 5.23: ایک دور کا ایک سمتی برقی دباؤ

مثال 5.5: شکل 5.23 میں ایک سمتی برقی دباؤ دکھائی گئی ہے۔ اس ایک سمتی برقی دباؤ کی اوسط حاصل کریں۔

حل:

$$E_{\text{اوسط}} = \frac{1}{\pi} \int_0^{\pi} \omega N \Phi_0 \sin(\omega t) d(\omega t) = \frac{2}{\pi} \omega N \Phi_0 \quad (5.86)$$

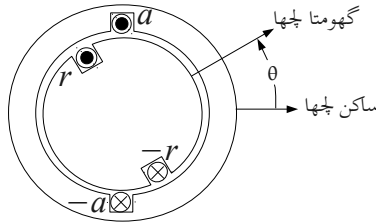
ایک سمتی برقی جنریٹر پر تبصرہ کتاب کے باب 8 میں کیا جائے گا۔

## 5.7 بہموار قطب کے آلوں میں مروڑ<sup>276</sup>

اس حصے میں ہم ایک مثالی مشین میں مروڑ کا حساب لگائیں گے۔ ایسا دو طریقوں سے کیا جا سکتا ہے۔ ہم مشین کو دو مقناطیس سمجھ کر ان کے مابین قوت کشش، قوت دفع اور مروڑ کا حساب لگا سکتے ہیں یا پھر اس میں ساکن اور گھومتے پلہوں کو امالہ سمجھ کر باب چار کی طرح توانائی اور کو توانائی کے استعمال سے اس کا حساب لگائیں۔ پہلے توانائی کا طریقہ استعمال کرتے ہیں۔

### 5.7.1 توانائی کے طریقے سے میکانی مروڑ کا حساب

یہاں ہم ایک دور کی مشین کی بات کریں گے۔ اس سے حاصل جوابات کو با آسانی زیادہ دور کی آلوں پر لاگو کیا جا سکتا ہے۔ شکل 5.24 میں ایک



شکل 5.24: ساکن امالہ اور گھومتا امالہ

دور کی مثالی مشین دکھائی گئی ہے۔ کسی بھی لمحہ اس کی دو چھوٹی میٹریں کچھ زاویہ ہوگا جسے  $\theta$  سے ظاہر کیا گیا ہے۔ خلائی درز ہر جگہ یکساں ہے لہذا یہاں اُبھرے قطب کے اثرات کو نظر انداز کیا جائے گا۔ مزید یہ کہ مرکز مادہ کی  $\mu_r = \infty$  لہذا چھوٹی کی امالہ صرف خلائی درز کی  $\mu$  پر منحصر ہے۔

اس طرح ساکن چھوٹی کی امالہ  $L_{aa}$  اور گھومتے چھوٹی کی امالہ  $L_{rr}$  مقررہ ہیں جبکہ ان کا مشترکہ امالہ  $L_{ar}(\theta)$  زاویہ  $\theta$  پر منحصر ہوگا۔ جب  $\theta = 0$  یا  $\theta = \pm 2\pi$  کے برابر ہو تو ایک چھوٹی کا سارہ مقناطیسی بہاؤ دوسرے چھوٹی سے بھی گزرتا ہے۔ ایسے حالت میں ان کا مشترکہ امالہ  $L_{par}$  زیادہ سے زیادہ ہوگا۔ جب  $\theta = \pm 180^\circ$  ہو اس لمحہ ایک بار پھر ایک چھوٹی کا سارہ مقناطیسی بہاؤ دوسرے چھوٹی سے بھی گزرتا ہے البتہ اس لمحہ اس کی سمت اُلٹ ہوتی ہے لہذا اب ان کا مشترکہ امالہ بھی منفی ہوگا یعنی  $-L_{par}$  اور جب  $\theta = \pm 90^\circ$  ہو تب ان کا مشترکہ امالہ صفر ہوگا۔ اگر ہم یہ ذہن میں رکھیں کہ خلائی درز میں مقناطیسی بہاؤ سائن نما ہے تب

$$L_{ar}(\theta) = L_{par} \cos(\theta) \quad (5.87)$$

ہم ساکن اور گھومتے چھوٹی کی ارتباط بہاؤ کو یوں لکھ سکتے ہیں

$$\begin{aligned} \lambda_a &= L_{aa} i_a + L_{ar}(\theta) i_r = L_{aa} i_a + L_{par} \cos(\theta) i_r \\ \lambda_r &= L_{ar}(\theta) i_a + L_{rr} i_r = L_{par} \cos(\theta) i_a + L_{rr} i_r \end{aligned} \quad (5.88)$$

اگر ساکن چلھے کی مزاحمت  $R_a$  اور گھومتے چلھے کی مزاحمت  $R_r$  ہو تو ہم ان چلھوں کے سروں پر دیئے گئے برقی دباؤ کو یوں لکھ سکتے ہیں۔

$$\begin{aligned} v_a &= i_a R_a + \frac{d\lambda_a}{dt} = i_a R_a + L_{aa} \frac{di_a}{dt} + L_{p_{ar}} \cos(\theta) \frac{di_r}{dt} - L_{p_{ar}} \sin(\theta) i_r \frac{d\theta}{dt} \\ v_r &= i_r R_r + \frac{d\lambda_r}{dt} = i_r R_r + L_{p_{ar}} \cos(\theta) \frac{di_a}{dt} - L_{p_{ar}} \sin(\theta) i_a \frac{d\theta}{dt} + L_{rr} \frac{di_r}{dt} \end{aligned} \quad (5.89)$$

یہاں  $\theta$  برقی زاویہ ہے اور وقت کے ساتھ اس کی تبدیلی رفتار  $\omega$  کو ظاہر کرتی ہے یعنی

$$\frac{d\theta}{dt} = \omega \quad (5.90)$$

میکانی مروڑ بذریعہ کو توانائی حاصل کی جا سکتی ہے۔ کو توانائی مساوات 4.70 سے حاصل ہوتی ہے۔ یہ مساوات موجودہ استعمال کے لئے یوں لکھا جا سکتا ہے۔

$$W_m' = \frac{1}{2} L_{aa} i_a^2 + \frac{1}{2} L_{rr} i_r^2 + L_{p_{ar}} i_a i_r \cos(\theta) \quad (5.91)$$

اس سے میکانی مروڑ  $T$  یوں حاصل ہوتا ہے۔

$$T = \frac{+\partial W'_m(\theta_m, i_a, i_r)}{\partial \theta_m} = \frac{+\partial W'_m(\theta, i_a, i_r)}{\partial \theta} \frac{d\theta}{d\theta_m} \quad (5.92)$$

چونکہ  $P$  قطب آلوں کے لئے

$$\theta = \frac{P}{2} \theta_m \quad (5.93)$$

لہذا ہمیں مساوات 5.92 سے ملتا ہے

$$T = -\frac{P}{2} L_{p_w} i_a i_r \sin\left(\frac{P}{2} \theta_m\right) \quad (5.94)$$

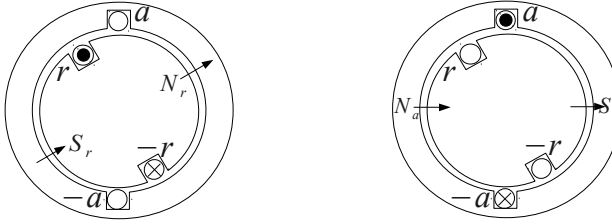
اس مساوات میں مروڑ  $T$  منفی ہے۔ اس کا مطلب ہے کہ اگر کسی لمحہ پر ساکن اور گھومتے چھو کے مقناطیسی بہاؤ کے درمیان زاویہ مثبت ہو تو ان کے مابین مروڑ منفی ہو گا یعنی مروڑ ان دونوں مقناطیسی بہاؤ کو ایک سمت میں رکھنے کی



کوشش کرے گا۔

### 5.7.2 مقناطیسی بہاؤ سے میکانی مروڑ کا حساب

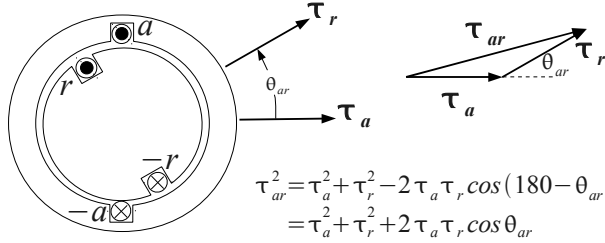
شکل 5.25 میں دو قطب والی ایک دور کی مشین دکھائی گئی ہے۔ اس شکل میں بائیں جانب صرف گھومتے پلچھے میں برقی رو ہے۔ اس پلچھے کا مقناطیسی بہاؤ تیر کے نشان سے دکھایا گیا ہے، یعنی تیر اس مقناطیس کے محور کو ظاہر کرتا ہے۔ یہاں اگر صرف گھومتے حصے پر توجہ دی جائے تو یہ واضح ہے کہ گھومتا حصہ ایک مقناطیس کی مانند ہے جس کے شمالی اور جنوبی قطبین شکل میں دیئے گئے ہیں۔ اسی طرح شکل میں دائیں جانب صرف ساکن پلچھے میں برقی رو ہے۔ اگر اس مرتبہ صرف ساکن حصے پر توجہ دی جائے تو اس کے بائیں جانب سے مقناطیسی بہاؤ نکل کر خلائی درز میں داخل ہوتی ہے، لہذا یہی اس کا شمالی قطب ہے اور اس مقناطیس کا محور بھی اسی تیر کی سمت میں ہے۔



شکل 5.25: چھوں کے قطبین

یہاں یہ واضح رہے کہ اگرچہ گچھ چھے دکھائے گئے ہیں لیکن درحقیقت دونوں چھوں کے مقناطیسی دباؤ سائن-نما ہی ہیں اور تیر کے نشان ان مقناطیسی دباؤ کی موج کے چوٹی کو ظاہر کرتے ہیں۔

شکل 5.26 میں اب دونوں چھوں میں برقی رو ہے۔ یہ واضح ہے کہ یہ بالکل دو مقناطیسوں کی طرح ہے اور ان کے الٹ قطبین کے مابین قوت کشش ہو گا، یعنی یہ دونوں چھے ایک ہی سمت میں ہونے کی کوشش کریں گے۔



شکل 5.26: خلائی درز میں مجموعی مقناطیسی دباؤ

یہاں یہ زیادہ واضح ہے کہ یہ دو مقناطیس کوشش کریں گے کہ  $\theta_{ar}$  صفر کے برابر ہو یعنی ان کا میکانی مروڑ  $\theta_{ar}$  کے الٹ سمت میں ہوگا۔ یہی کچھ مساوات 5.94 کہتا تھا۔

ان برقی مقناطیسوں کے مقناطیسی دباؤ کو اگر ان کے مقناطیسی محور کی سمت میں  $\tau_a$  اور  $\tau_r$  سے ظاہر کیا جائے جہاں  $\tau_a$  اور  $\tau_r$  مقناطیسی دباؤ کے چوٹی کے برابر ہوں تو خلاء میں کل مقناطیسی دباؤ  $\tau_{ar}$  ان کا جمع سمتیات ہوگا جیسے شکل میں دکھایا گیا ہے۔ اس کا طول  $\tau_{ar}$  کوسائن کے قلیہ<sup>277</sup> سے یوں حاصل ہوتا ہے۔

277 cosine law

$$\begin{aligned}\tau_{ar}^2 &= \tau_a^2 + \tau_r^2 - 2\tau_a\tau_r \cos(180 - \theta_{ar}) \\ &= \tau_a^2 + \tau_r^2 + 2\tau_a\tau_r \cos \theta_{ar}\end{aligned}\quad (5.95)$$

خلائی درز میں یہ کُل مقناطیسی دباؤ، مقناطیسی شدت  $H_{ar}$  کو جنم دے گا جو اس قلیہ سے حاصل ہوتا ہے۔

$$\tau_{ar} = l_g H_{ar} \quad (5.96)$$

$H_{ar}$  مقناطیسی شدت کی چوٹی کو ظاہر کرتا ہے۔ اب جہاں خلاء میہی مقناطیسی شدت  $H$  ہو وہاں مقناطیسی کو-توانائی کی کثافت  $(\mu_0/2)H^2$  ہوتی ہے۔ خلائی درز میں اوسط کو-توانائی کی کثافت اس خلائی درز میہی  $H^2$  کی اوسط، ضرب  $(\mu_0/2)$  ہوگی۔ کسی بھی سائن نما موج  $H = H_0 \cos \theta$  کے  $H^2$  کا اوسط  $H_{av}^2$  یوں نکالا جاتا ہے۔

$$\begin{aligned}
H_{av}^2 &= \frac{1}{\pi} \int_{-\pi/2}^{+\pi/2} H^2 d\theta \\
&= \frac{1}{\pi} \int_{-\pi/2}^{+\pi/2} H_0^2 \cos^2(\theta) d\theta \\
&= \frac{H_0^2}{\pi} \int_{-\pi/2}^{+\pi/2} \frac{[1 + \cos(2\theta)]}{2} d\theta \\
&= \frac{H_0^2}{2}
\end{aligned} \tag{5.97}$$

لہذا خلائی درز میں اوسط کو- توانائی کی کثافت  $\frac{\mu_0}{2} \frac{H_{ar}^2}{2}$  ہوگی اور اس خلاء میں کُل کو- توانائی اس اوسط کو- توانائی ضربِ خلاء کی حجم کے برابر ہوگا یعنی

$$W'_m = \frac{\mu_0}{2} \frac{H_{ar}^2}{2} 2\pi r l_g l = \frac{\mu_0 \pi r l}{2 l_g} \tau_{ar}^2 \tag{5.98}$$

اس مساوات میں خلائی درز کی رداسی لمبائی  $l_g$  ہے اور اس کی ڈھریے<sup>278</sup> کی سمت میں محوری لمبائی  $l$  ہے۔ محور سے خلاء کی اوسط رداسی فاصلہ  $r$  ہے۔ مزید یہ کہ  $r \gg l_g$ ۔ اس طرح خلاء میں رداسی سمت میں کثافتِ مقناطیسی بہاؤ کی تبدیلی کو نذر انداز کیا جا سکتا ہے۔ اس مساوات کو ہم مساوات 5.95 کی مدد سے یوں لکھ سکتے ہیں۔

---

278 shaft

$$W'_m = \frac{\mu_0 \pi r l}{2 l_g} (\tau_a^2 + \tau_r^2 + 2 \tau_a \tau_r \cos \theta_{ar}) \quad (5.99)$$

اس سے میکانی مروڑ یوں حاصل کیا جا سکتا ہے

$$T = + \frac{\partial W'_m}{\partial \theta_{ar}} = - \frac{\mu_0 \pi r l}{l_g} \tau_a \tau_r \sin \theta_{ar} \quad (5.100)$$

یہ حساب دو قطب والی مشین کے لئے لگایا گیا ہے۔  $P$  قطب والے مشین کے لئے یہ مساوات ہر جوڑی قطب کا میکانی مروڑ دیتا ہے لہذا ایسے مشین کے لئے ہم لکھ سکتے ہیں

$$T = - \frac{P}{2} \frac{\mu_0 \pi r l}{l_g} \tau_a \tau_r \sin \theta_{ar} \quad (5.101)$$

یہ ایک بہت اہم مساوات ہے۔ اس کے مطابق مشین کا میکانی مروڑ اس کے ساکن اور گھومتے پلچھوں کے مقناطیسی دباؤ کے چوٹی کے براہ راست متناسب ہے۔ اسی طرح یہ ان دونوں کے درمیان برقی زاویہ  $\theta_{ar}$  کے سائن کے بھی براہ راست متناسب ہے۔ منفی میکانی مروڑ کا مطلب ہے کہ یہ زاویہ  $\theta_{ar}$  کے

الٹ جانب ہے یعنی یہ میکانی مروڑ اس زاویہ کو کم کرنے کی جانب کو ہے۔ مشین کے ساکن اور گھومتے حصوں پر ایک برابر مگر الٹ سمتوں میں میکانی مروڑ ہوتا ہے البتہ ساکن حصے کا مروڑ مشین کے وجود کے ذریعہ زمین تک منتقل ہو جاتا ہے جبکہ گھومتے حصے کا میکانی مروڑ اس حصے کو گھماتا ہے۔

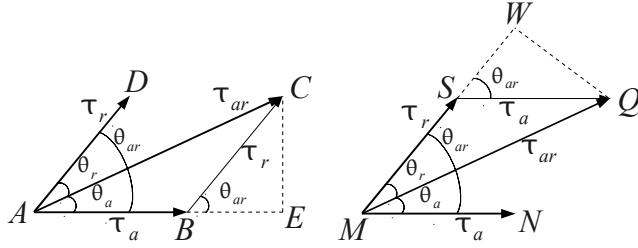
چونکہ مقناطیسی دباؤ برقی رو کے براہ راست متناسب ہے لہذا  $\tau_a$  اور  $i_a$  آپس میں براہ راست متناسب ہیں جبکہ  $\tau_r$  اور  $i_r$  آپس میں براہ راست متناسب ہیں۔ اس سے یہ ظاہر ہوتا ہے کہ مساوات 5.94 اور 5.101 ایک جیسے ہیں۔ درحقیقت یہ ثابت کیا جا سکتا ہے کہ یہ دونوں بالکل برابر ہیں۔

شکل 5.27 میں ایک بار پھر ساکن اور گھومتے لچھوں کے مقناطیسی دباؤ دکھائے گئے ہیں۔ شکل میں بائیں جانب تھکن  $\Delta AEC$  اور  $\Delta BEC$  میں  $\overline{CE}$  مشترکہ ہے اور ان دو تھکنوں سے واضح ہے کہ

$$\overline{CE} = \tau_r \sin \theta_{ar} = \tau_{ar} \sin \theta_a \quad (5.102)$$

اس مساوات کی مدد سے مساوات 5.101 یوں لکھا جا سکتا ہے۔

$$T = -\frac{P}{2} \frac{\mu_0 \pi r l}{l_g} \tau_a \tau_{ar} \sin \theta_a \quad (5.103)$$



شکل 5.27: مقناطیسی بہاؤ اور ان کے زاوئے

اسی طرح شکل 5.27 کے دائیں جانب تھوک  $\Delta MWQ$  اور تھوک  $\Delta SWQ$  میں  $\overline{WQ}$  کا طرف مشترکہ ہے اور ان دو تھوکوں سے واضح ہے کہ

$$\overline{QW} = \tau_a \sin \theta_{ar} = \tau_{ar} \sin \theta_r \quad (5.104)$$

اب اس مساوات کی مدد سے مساوات 5.101 یوں لکھا جا سکتا ہے۔

$$T = -\frac{P}{2} \frac{\mu_0 \pi r l}{l_g} \tau_r \tau_{ar} \sin \theta_r \quad (5.105)$$



مساوات 5.101 مساوات 5.103 اور مساوات 5.105 کو ایک جگہ لکھتے ہیں۔

$$\begin{aligned}
 T &= -\frac{P}{2} \frac{\mu_o \pi r l}{l_g} \tau_a \tau_r \sin \theta_{ar} \\
 T &= -\frac{P}{2} \frac{\mu_o \pi r l}{l_g} \tau_a \tau_{ar} \sin \theta_a \\
 T &= -\frac{P}{2} \frac{\mu_o \pi r l}{l_g} \tau_r \tau_{ar} \sin \theta_r
 \end{aligned} \tag{5.106}$$

ان مساوات سے یہ واضح ہے کہ میکانی مروڑ کو دونوں چھوٹوں کی مقناطیسی دباؤ اور ان کے مابین زاویہ کی شکل میں لکھا جا سکتا ہے یا پھر ایک چھوٹے کی مقناطیسی دباؤ اور کُل مقناطیسی دباؤ اور ان دو کے مابین زاویہ کی شکل میں لکھا جا سکتا ہے۔

اس بات کو یوں بیان کیا جاسکتا ہے کہ میکانی مروڑ دو مقناطیسی دباؤ کے آپس میں ردعمل کی وجہ سے وجود میں آتا ہے اور یہ ان مقناطیسی دباؤ کی چوٹی اور ان کے مابین زاویہ پر منحصر ہوتا ہے۔

مقناطیسی دباؤ، مقناطیسی شدت، کثافت مقناطیسی بہاؤ اور مقناطیسی بہاؤ سب کا آپس میں تعلق رکھتے ہیں لہذا ان مساوات کو کئی مختلف طریقوں سے لکھا جا سکتا ہے۔ مثلاً خلائی درز میں کُل مقناطیسی دباؤ  $\tau_{ar}$  اور وہاں کثافت مقناطیسی بہاؤ  $B_{ar}$  کا تعلق

$$B_{ar} = \frac{\mu_0 \tau_{ar}}{l_g} \quad (5.107)$$

استعمال کر کے مساوات 5.106 کے آخری جز کو یوں لکھا جا سکتا ہے

$$T = -\frac{P}{2} \pi r l \tau_r B_{ar} \sin \theta_r \quad (5.108)$$

مقناطیسی آلون میہی مقناطیسی مرکز کی نفوذ پذیری<sup>279</sup> کی محدود صلاحیت کی وجہ سے مرکز میں کثافت مقناطیسی بہاؤ تقریباً ایک ٹسلہ تک ہی بڑھائی جا سکتی ہے۔ لہذا مشین بناتے وقت اس حد کو مد نظر رکھنا پڑتا ہے۔ اسی طرح گھومتے چھپے کا مقناطیسی دباؤ اس چھپے میں برقی رو پر منحصر ہوتا ہے۔ اس برقی رو سے چھپے کی مزاحمت میں برقی توانائی ضائع ہوتی ہے جس سے یہ چھپا گرم ہوتا ہے۔ برقی رو کو اس حد تک بڑھایا جا سکتا ہے جہاں تک اس چھپے کو ٹھنڈا کرنا ممکن ہو۔ لہذا مقناطیسی دباؤ کو اس حد کے اندر رکھنا پڑتا ہے۔ چونکہ اس مساوات میں یہ دو بہت ضروری حدیں واضح طور پر سامنے آ رہی ہیں اس لئے یہ مساوات مشین بنانے کی غرض سے بہت اہم ہے۔

اس مساوات کی ایک اور بہت اہم شکل اب دیکھتے ہیں۔ ایک قطب پر

---

279 permeability

مقناطیسی بہاؤ  $\Phi_P$  ایک قطب پر اوسط کثافت مقناطیسی بہاؤ  $B_{av}$  ضرب  
ایک قطب کا رقبہ  $A_P$  ہوتا ہے۔ جہاں

$$B_{av} = \frac{1}{\pi} \int_{-\frac{\pi}{2}}^{+\frac{\pi}{2}} B_0 \cos \theta d\theta = \frac{2B_0}{\pi} \quad (5.109)$$

$$A_P = \frac{2\pi r l}{P} \quad (5.110)$$

لہذا

$$\Phi_P = \frac{2B_0}{\pi} \frac{2\pi r l}{P} \quad (5.111)$$

اور

$$T = -\frac{\pi}{2} \left( \frac{P}{2} \right)^2 \Phi_{ar} \tau_r \sin \theta_r \quad (5.112)$$

یہ مساوات معاصر آلوں کے لئے بہت کار آمد ہے۔

## 6 یکساں حال چالو معاصر آلے

جیسا کہ نام سے واضح ہے یہ وہ گھومنے والی مشین ہے جو ایک ہی رفتار سے گھومتی ہے اور یہ رفتار اس کو دیئے گئے برقی دباؤ کے تعدد پر منحصر ہوتی ہے۔

معاصر آلوں میں عموماً قوی چلھا ساکن رہتا ہے جبکہ میدانی چلھا معاصر رفتار سے گھومتا ہے۔ قوی چلھوں کی برقی رو میدانی چلھوں کی برقی رو کی نسبت بہت زیادہ ہوتی ہے اور اسے سرک چلھوں کے ذریعہ گزارنا نہایت مشکل ہوتا ہے لہذا قوی چلھوں کو ساکن رکھا جاتا ہے جبکہ میدانی چلھوں کو گھمایا جاتا ہے۔

ہم یہ دیکھ چکے ہیں کہ تین دور کے لپٹے ساکن چلھوں میں اگر متوازن تین دور کی برقی رو ہو تو یہ ایک گھومتے مقناطیسی دباؤ کی موج کو جنم دیتی ہے۔ اس گھومتے موج کی رفتار کو معاصر رفتار<sup>280</sup> کہتے ہیں۔ معاصر مشین کا گھومتا حصہ اسی رفتار سے گھومتا ہے۔

معاصر مشین کے میدانی چلھے کو یک سمتی برقی رو درکار ہوتی ہے جو یا تو سرک چلھوں کے ذریعہ اس تک باہر سے پہنچائی جاتی ہے یا پھر مشین کے دھڑے پر ہی نسب ایک چھوٹی یک سمتی جزیئر سے اسے فراہم کی جاتی ہے۔

میدانی چلھا ایک میدانی مقناطیسی دباؤ کو جنم دیتی ہے جو اس چلھے

---

280 synchronous speed

کے ساتھ ساتھ معاصر رفتار سے گھومتی ہے۔ لہذا معاصر مشین کے گھومتے اور ساکن چلوں کے مقناطیسی دباؤ معاصر رفتار سے ہی گھومتے ہیں۔ اسی وجہ سے انہیں معاصر مشین کہتے ہیں۔

## 6.1 ایک سے زیادہ دور کے معاصر مشین کا تعارف

معاصر مشین عموماً تین دور کے ہوتے ہیں۔ ان کے تین دوری ساکن قوی چلھے خلاء میں  $120^0$  برقی زاویہ پر نسب ہوتے ہیں جبکہ اس کے میدانی چلھے گھومتے حصے پر نسب ہوتے ہیں اور ان میں یک سمتی برقی رو ہوتی ہے۔

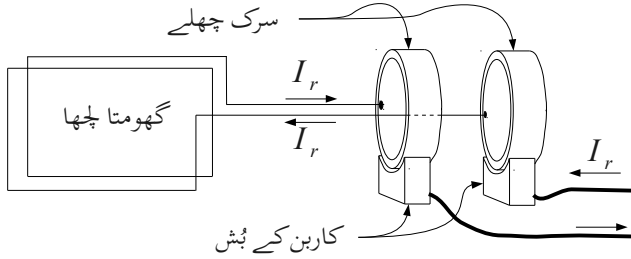
اگر مشین کے گھومتے حصے کو بیرونی میکانی طاقت سے گھمایا جائے تو یہ مشین ایک معاصر جنریٹر کے طور پر کام کرتی ہے اور اس کے تین دور کے ساکن قوی چلوں میں تین دور کی برقی دباؤ پیدا ہوتی ہے جس کا برقی تعدد گھومنے کے رفتار پر منحصر ہوتا ہے۔ اس کے برعکس اگر مشین کے تین دور کے ساکن قوی چلوں کو تین دور کا برقی طاقت مہیا کیا جائے تو یہ ایک معاصر موٹر کے طور پر کام کرتی ہے جو معاصر رفتار سے گھومتی ہے۔ مشین کی کل برقی قوت کے چند فی صد برابر برقی قوت اس کے میدان چلھے کو درکار ہوتی ہے۔ گھومتے چلھے تک برقی دباؤ مختلف طریقوں سے پہنچائی جاتی ہے۔ شکل 6.1 میں گھومتے چلھے تک موصل سرک چلھے<sup>281</sup> کی مدد سے یک سمتی برقی رو پہنچانے کا طریقہ دکھایا گیا ہے۔ یہ سرک چلھے اُسی ڈھرے<sup>282</sup> پر نسب ہوتے ہیں جس پر گھومتا چلھا نسب ہوتا ہے اور یہ اس چلھے کے ساتھ یکساں طور پر گھومتے ہیں۔ سرک چلوں کے بیرونی سطح پر کاربن کے ساکن بُش، اسپرنگ کی مدد سے ان

281 slip rings

282 shaft

کے ساتھ دبا کر رکھے جاتے ہیں۔ جب مشین چلتی ہے کاربن کے بُش ان سرک چھلوں پر سرکتے ہیں۔ اسپرنگ کا دباؤ ان کا برقی جوڑ مضبوط رکھتا ہے اور ان کے مابین چنگاریاں نہیں نکلتی۔ کاربن بُش کے ساتھ برقی تار لگی ہے۔ اس طرح یک سمتی برقی رو  $I_r$ ، کاربن بُش سے سرک چھلوں اور یہاں سے گھومتے چھلے تک پہنچتی ہے۔

بڑے معاصر مشین میں میدانی یک سمتی برقی رو عموماً ایک بدلتی رو برقی جنریٹر سے حاصل کی جاتی ہے جو معاصر مشین کے ڈھرمے پر ہی نسب ہوتی ہے اور اس کے ساتھ یکساں طور پر گھومتی ہے۔ اس چھوٹے جنریٹر کی برقی دباؤ کو ڈھرمے پر ہی نسب الیکٹرانکس کی مدد سے یک سمتی برقی دباؤ میں تبدیل کیا جاتا ہے۔ یوں سرک چھلے کی ضرورت نہیں رہتی۔ سرک چھلے رگڑ کی وجہ سے خراب ہوتے ہیں جس کی وجہ سے معاصر مشین کو مرمت کی خاطر بند کرنا پڑتا ہے جو بہت مہنگا پڑتا ہے۔



شکل 6.1: کارین بئش اور سرک چھلوں سے لچھے تک برقی رو پہنچایا گیا ہے

اُھرے قطب کے مشین پانی سے چلنے والے سست رفتار جنریٹر اور عام استعمال کے موٹروں کے لئے موزوں ہوتے ہیں جبکہ بھوار قطب والے مشین تیز رفتار دو یا چار قطب والے ٹربائن جنریٹروں کے لئے موزوں ہوتے ہیں۔

کسی بھی مملکت کو درکار برقی توانائی ایک برقی جنریٹر سے دینا ممکن نہیں، لہذا حقیقت میں کچھ درجنوں سے لیکر کئی سو برقی جنریٹر بیک وقت یہ فریضہ سرانجام دے رہے ہوتے ہیں۔ ایک سے زیادہ جنریٹر استعمال کرنا سود مند ثابت ہوتا ہے۔ اول تو برقی توانائی کی ضرورت کے مطابق جنریٹر چالو کئے جا سکتے ہیں اور پھر ان جنریٹروں کو ضرورت کی جگہ کے ممکنہ طور پر قریب نسب کیا جا سکتا ہے۔ کسی بھی اس طرح کے بڑے نظام میں ایک جنریٹر کی حیثیت



بہت کم ہو جاتی ہے۔ ایک جنریٹر چالو یا بند کرنے سے پورے نظام پر کوئی خاص فرق نہیں پڑتا۔ اس صورت میں ہم اس نظام کو ایک مقررہ برقی دباؤ اور ایک مقررہ برقی تعدد رکھنے والا نظام تصور کر سکتے ہیں۔ معاصر جنریٹروں کے کئی اہم پہلو با آسانی سمجھے جا سکتے ہیں اگر یہ تصور کر لیا جائے کہ یہ ایک ایسے ہی نظام سے جوڑا گیا ہے۔

مساوات 5.112 ایک معاصر مشین کا مروڑ بتلاتا ہے۔ اس مساوات کے مطابق برقی مقناطیسی مروڑ کی کوشش ہوتی ہے کہ وہ مشین میں موجود عمل کرنے والے مقناطیسی دباؤ کو سیدھ میں لائے۔ یکساں حال میں چالو<sup>283</sup> مشین کا برقی مقناطیسی مروڑ اور اس کے ڈھرے پر لاگو میکانی مروڑ برابر ہوتے ہیں۔ جب مشین ایک جنریٹر کی حیثیت سے استعمال ہو تب میکانی طاقت ڈھرے کو گھماتا ہے اور گھومتے چلھے کا مقناطیسی دباؤ کل مقناطیسی دباؤ سے گھومنے کی سمت میں آگے ہوتا ہے۔ مساوات 5.112 سے حاصل مروڑ اس صورت میں گھومنے کو روکنے کی کوشش کرتا ہے۔ میکانی طاقت چلتے پانی، ایندھن سے چلتے انجن وغیرہ سے حاصل ہو سکتا ہے۔ اسی طرح اگر مشین ایک موٹر کی حیثیت سے استعمال ہو رہا ہو، تب صورت اس کے بالکل الٹ ہو گی۔

اگر کل مقناطیسی بہاؤ  $\Phi_{ar}$  اور گھومتے چلھے کا مقناطیسی دباؤ  $\tau_r$  تبدیل نہ ہو تب اسی مساوات کے مطابق مشین کا مروڑ  $\sin \theta_r$  کے ساتھ تبدیل ہوگا۔ اگر زاویہ  $\theta_r$  صفر ہو تب یہ مروڑ بھی صفر ہوگا۔ اب تصور کریں کہ یہی مشین ایک موٹر کے طور پر استعمال ہو رہی ہو۔ جیسے جیسے موٹر پر لدھا میکانی بار بڑھایا جائے ویسے ویسے اس کے ڈھرے پر میکانی مروڑ بڑھے

---

283 steady state operation

گی۔ موٹر کو برابر کا برقی مقناطیسی مروڑ پیدا کرنا ہوگا جو یہ زاویہ بڑھا کر کرتا ہے۔ یہاں یہ سمجھنا ضروری ہے کہ موٹر ہر وقت معاصر رفتار سے ہی گھومتا ہے اور وہ یہ زاویہ پل بھر کے لئے آہستہ ہو کر ضرورت کے مطابق درست کرتا ہے۔ یعنی موٹر کا زاویہ  $\theta_r$  ہر وقت میکانی مروڑ کا تعقب<sup>284</sup> کرتی ہے۔

اگر موٹر پر لدھا میکانی بار بتدریج بڑھایا جائے تو ایک لمحہ آئے گا جب زاویہ  $\theta_r$  نوے درجہ یا  $\pi/2$  ریڈیئن تک پہنچ جائے گا۔ اس لمحہ موٹر اپنی انتہائی مروڑ<sup>285</sup> پیدا کر رہی ہوگی۔ اگر بار مزید بڑھایا جائے تو موٹر کسی بھی صورت میں اس کے مقابلے کا مروڑ نہیں پیدا کر سکتی اور یہ موٹر رکھ جائے گی۔ ہم کہتے ہیں کہ موٹر نے غیر معاصر<sup>286</sup> صورت اختیار کر لی ہے۔ مساوات سے یہ ظاہر ہے کہ کل مقناطیسی بہاؤ یا گھومتے چلھے کا مقناطیسی دباؤ بڑھا کر اس انتہائی مروڑ کی مقدار بڑھائی جا سکتی ہے۔

یہی صورت اگر مشین برقی جنریٹر کے طور پر استعمال کی جائے سامنے آتی ہے۔ جب بھی مشین غیر معاصر صورت اختیار کرے اسے جلد خود کار دور شکن<sup>287</sup> کی مدد سے برقی بھم رسانی سے الگ کر دیا جاتا ہے۔

ہم نے دیکھا کہ ایک معاصر موٹر صرف اور صرف معاصر رفتار سے ہی گھوم سکتی ہے اور صرف اسی رفتار پر گھومتی صورت میں مروڑ پیدا کر سکتی ہے لہذا اگر اسے ساکن حالت سے چالو<sup>288</sup> کرنے کی کوشش کی جائے تو یہ

284 hunting

285 pull-out torque

286 lost synchronism

287 circuit breaker

288 switch on

کوشش ناکام رہے گی۔ ایسے موٹر کو پہلے کسے اور طریقے سے معاصر رفتار تک لایا جاتا ہے اور پھر اسے چالو کیا جاتا ہے۔ ایسا عموماً ایک چھوٹی امالی موٹر<sup>289</sup> کی مدد سے کیا جاتا ہے جو بے بار معاصر موٹر کو، اس کے معاصر رفتار تک لے آتا ہے اور پھر اس معاصر موٹر کو چالو کیا جاتا ہے۔ ایسی امالہ موٹر معاصر موٹر کے ڈھرے پر ہی نسب ہوتی ہے۔

## 6.2 معاصر مشین کے امالہ

ہم تصور کرتے ہیں کہ مشین دو قطب اور تین دور کی ہے اور اس کے لچھے ستارا نما جڑے<sup>290</sup> ہیں۔ اس طرح لچھوں میں برقی رو، لائن<sup>291</sup> کی برقی رو ہی ہوگی اور ان پر لاگو برقی دباؤ، دوری برقی دباؤ<sup>292</sup> ہوگی۔ ایسا کرنے سے مسئلہ پر غور کرنا آسان ہو جاتا ہے جبکہ نتیجہ کسی بھی موٹر کے لئے درست ہوتا ہے۔

شکل 6.2 میں ایک ایسا تین دور اور دو قطب والا معاصر مشین دکھایا گیا ہے۔ اس کا گھومتا حصہ نلی نما ہے۔ اس کو دو قطب کا مشین یا پھر  $P$  قطب کے مشین کا دو قطب کا حصہ سمجھا جا سکتا ہے۔

یہاں گچھ لچھے دکھائے گئے ہیں لیکن حقیقت میں پھیلے لچھے ہی استعمال ہوتے ہیں اور انہیں درحقیقت پھیلے لچھے ہی سمجھا جائے۔ اس طرح ہر لچھا سائن نما برقی دباؤ پیدا کرتا ہے جس کی چوٹی لچھے کی مقناطیسی محور کی سمت میں ہوتی ہے۔ چونکہ معاصر مشین میں گھومتے لچھے میں یک سمتی رو ہی

289 induction motor

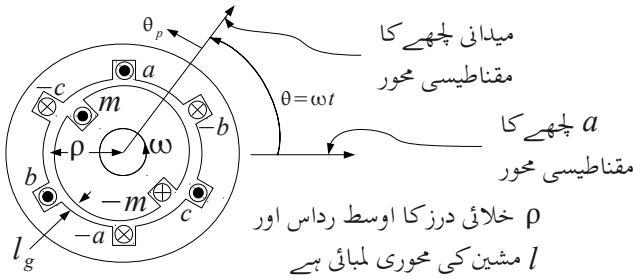
290 star connected (Y-connected)

291 line current

292 phase voltage

ہوتا ہے لہذا اس کا مقناطیسی دباؤ ہر لمحہ گھومتے حصے کی مقناطیسی محور کی سمت میں ہی رہتا ہے۔ یہ شکل میں دکھایا گیا ہے۔ اس طرح گھومتے چمچے کا مقناطیسی دباؤ گھومتے حصے کے ساتھ ساتھ معاصر رفتار سے گھومتا ہے۔

ہم فرض کرتے ہیں کہ مشین معاصر رفتار  $\omega$  سے گھوم رہی ہے۔ اس طرح اگر لمحہ  $t=0$  پر دور  $a$  اور گھومتے چمچے کے مقناطیسی محور ایک ہی سمت میں ہوں تب کسی بھی لمحہ  $t$  پر ان کے مابین زاویہ  $\theta = \omega t$  ہوگا۔



شکل 6.2: تین دور، دو قطب والا معاصر مشین

امالہ کے حساب لگانے کے لئے شکل 6.2 سے رجوع کریں۔ شکل میں محیط پر خلائی درز یکساں ہے اور اس کی رداسی سمت میں لمبائی  $l_g$  ہے۔ ساکن

حصے میں شگافوں کے اثر کو نظر انداز کیا گیا ہے۔ محور سے خلائی درز تک کا اوسط رداسی فاصلہ  $\rho$  ہے اور مشین کی ڈھری کی سمت میں محوری لمبائی  $l$  ہے۔

کسی بھی پلھے کے خود امالہ کا حساب کرتے وقت باقی سب پلھوں کو نظر انداز کریں۔ اس کا مطلب ہے کہ آپ تصور کریں کہ باقی سب پلھوں میں برقی رو صفر ہے یعنی ان پلھوں کے سرے آزاد رکھے گئے ہیں۔ حقیقت میں اگر آپ کبھی پلھوں کے خود امالہ کو مشین کی مدد سے ناپنا چاہیں تو آپ باقی سب پلھوں کے سرے آزاد ہی رکھیں گے۔

### 6.2.1 خود امالہ

گھومتے یا ساکن پلھے کی خود امالہ  $L$  زاویہ  $\theta$  پر منحصر نہیں۔ ان میں سے کسی بھی پلھے کی مقناطیسی دباؤ  $\tau$

$$\tau = \frac{4}{\pi} \frac{k_w N i}{2} \cos \theta_p \quad (6.1)$$

سے خلائی درز میں کثافت مقناطیسی بہاؤ  $B$  پیدا ہوگی جہاں

$$B = \mu_0 H = \mu_0 \frac{\tau}{l_g} = \frac{2 \mu_0 k_w N i}{\pi l_g} \cos \theta_p \quad (6.2)$$

یہ مساوات زاویہ  $\theta_p$  کے ساتھ بدلتی کثافتِ مقناطیسی دباؤ  $B$  بتلاتی ہے۔  
 اس چھے کا ایک قطب پر گُل مقناطیسی بہاؤ  $\Phi$  کا حساب کرنے کے لئے  
 ہمیں اس مساوات کا سطحی تکمل<sup>294</sup> یوں لینا ہوگا۔

$$\begin{aligned}
 \Phi &= \int B dA \\
 &= \int_{-\pi/2}^{+\pi/2} B l \rho d\theta_p \\
 &= \frac{2\mu_0 k_w N i l \rho}{\pi l_g} \int_{-\pi/2}^{+\pi/2} \cos \theta_p d\theta_p \\
 &= \frac{4\mu_0 k_w N i l \rho}{\pi l_g}
 \end{aligned} \tag{6.3}$$

اب ہم اس چھے کی خود امالہ  $L$  مساوات 2.53 سے یوں حاصل کر سکتے  
 ہیں۔

$$L = \frac{\lambda}{i} = \frac{k_w N \Phi}{i} = \frac{4\mu_0 k_w^2 N^2 l \rho}{\pi l_g} \tag{6.4}$$

یہ مساوات اس شکل میں کسی بھی چھے کی خود امالہ دیتا ہے۔ یعنی

---

294 surface integral

$$L_{aa0}=L_{bb0}=L_{cc0}=\frac{4\mu_0 k_{wa}^2 N_a^2 l \rho}{\pi l_g} \quad (6.5)$$

اور

$$L_{mm0}=\frac{4\mu_0 k_{wm}^2 N_m^2 l \rho}{\pi l_g} \quad (6.6)$$

### 6.2.2 مشترکہ امالہ

اب ہم دو چھوٹے مشترکہ امالہ حاصل کرتے ہیں۔ تصور کریں کہ صرف گھومتا چلھا مقناطیسی بہاؤ پیدا کر رہا ہے۔ ہم اس کا وہ حصہ جو  $a$  چلھے سے گزرنے کا حساب لگا کر ان کا مشترکہ امالہ حاصل کریں گے۔ شکل 6.2 میں گھومتے اور  $a$  چلھے کے مابین  $\theta$  کا زاویہ ہے۔ اس صورت میں وہ مقناطیسی بہاؤ جو  $(\frac{\pi}{2}-\theta) < \theta_p < (\frac{\pi}{2}+\theta)$  کے مابین ہو،  $a$  چلھے سے گزرنے گا۔ اس مقناطیسی بہاؤ کا حساب مساوات 6.3 میں تکمیل کے حد تبدیل کر کے یوں حاصل ہوگا۔

$$\begin{aligned}
\Phi_{am} &= \int B dA \\
&= \int_{-\pi/2-\theta}^{+\pi/2-\theta} B l \rho d\theta_p \\
&= \frac{2\mu_0 k_{wf} N_m i_m l \rho}{\pi l_g} \int_{-\pi/2-\theta}^{+\pi/2-\theta} \cos \theta_p d\theta_p \quad (6.7) \\
&= \frac{4\mu_0 k_{wf} N_m i_m l \rho}{\pi l_g} \cos \theta
\end{aligned}$$

اس مساوات سے ان کا مشترکہ امالہ یہ ہے

$$L_{am} = \frac{\lambda_{am}}{i_m} = \frac{k_{wa} N_a \Phi_{am}}{i_m} = \frac{4\mu_0 k_{wa} N_a k_{wm} N_m l \rho}{\pi l_g} \cos \theta \quad (6.8)$$

اس کو یوں لکھ سکتے ہیں

$$L_{am} = L_{am0} \cos \omega t \quad (6.9)$$

جہاں جیسے پہلے ذکر ہوا زاویہ  $\theta$  گھومنے کی رفتار پر منحصر ہے یعنی  $\theta = \omega t$  اور  $L_{am0}$  یہ ہے



$$L_{am0} = \frac{4\mu_0 k_{wa} N_a k_{wm} N_m l \rho}{\pi l_g} \quad (6.10)$$

اگرچہ یہ مساوات ایک گھومتے اور ایک ساکن چلھے کے لئے نکالا گیا ہے درحقیقت یہ اس شکل میں کسی بھی دو چلھوں کے لئے درست ہے۔ یہ دونوں چلھے ساکن ہو تے تب بھی جواب یہی آتا۔ آگاہ یہ دونوں گھومتے ہوتے تب بھی جواب یہی آتا۔ لہذا دو ساکن یکساں چلھے مثلاً  $a$  اور  $b$  جن کے مابین  $120^\circ$  کا زاویہ ہے کا آپس کا مشترکہ امالہ یہ ہوگا۔

$$\begin{aligned} L_{ab} &= \frac{4\mu_0 k_{wa}^2 N_a^2 l \rho}{\pi l_g} \cos 120^\circ \\ &= -\frac{2\mu_0 k_{wa}^2 N_a^2 l \rho}{\pi l_g} \end{aligned} \quad (6.11)$$

اگر تینوں ساکن چلھے بالکل یکساں ہو تب ہم اس مساوات اور مساوات 6.5 کی مدد سے یہ لکھ سکتے ہیں۔

$$L_{ab} = L_{bc} = L_{ca} = -\frac{L_{aa0}}{2} \quad (6.12)$$

### 6.2.3 معاصر امالہ

مشین پر لاگو برقی دباؤ کو مشین کے چھوٹی خود امالہ، مشترکہ امالہ اور چھوٹی میں برقی رو کی مدد سے لکھا جا سکتا ہے۔ یہ کرنے کے لئے ہم پہلے چھوٹی کی ارتباطِ بہاؤ  $\lambda$  کو ان کے امالہ اور ان میں برقی رو کی مدد سے یوں لکھتے ہیں۔

$$\begin{aligned}\lambda_a &= L_{aa} i_a + L_{ab} i_b + L_{ac} i_c + L_{am} I_m \\ \lambda_b &= L_{ba} i_a + L_{bb} i_b + L_{bc} i_c + L_{bm} I_m \\ \lambda_c &= L_{ca} i_a + L_{cb} i_b + L_{cc} i_c + L_{cm} I_m \\ \lambda_m &= L_{ma} i_a + L_{mb} i_b + L_{mc} i_c + L_{mm} I_m\end{aligned}\tag{6.13}$$

ان مساوات میں ساکن چھوٹی کے بدلتی برقی رو کو چھوٹی حروف یعنی  $i_a, i_b, i_c$  سے ظاہر کیا گیا ہے جبکہ گھومتے میدانی چھوٹی کے یک سمتی برقی رو کو بڑے حرف  $I_m$  سے ظاہر کیا گیا ہے۔

ان چار مساوات میں سے ہم کسی ایک کو چنتے ہیں اور اسے حل کرتے ہیں۔ چونکہ یہ چاروں مساوات ایک طرح کے ہیں اس لئے باقی بھی ایسے ہی حل ہوں گے۔ ہم ان میں سے پہلے مساوات لیتے ہیں یعنی

$$\lambda_a = L_{aa} i_a + L_{ab} i_b + L_{ac} i_c + L_{am} I_m\tag{6.14}$$

مساوات 6.5 بھی  $a$  لچھے کا خود امالہ دیتا ہے۔ یہ مساوات یہ تصور کر کے نکالا گیا تھا کہ اس لچھے کا پورا مقناطیسی بہاؤ خلائی درز سے گزرتا ہے۔ حقیقت میں ایسا نہیں ہوتا اور کچھ مقناطیسی بہاؤ اس خلائی درز میں سے گزر کر دوسری جانب نہیں پہنچتا۔ ایسے مقناطیسی بہاؤ کی وجہ سے رستا امالہ  $L_{al}$  وجود میں آتا ہے۔ یہ بالکل ٹرانسفارمر کے رستا امالہ کی طرح ہے۔ یوں اس لچھے کا کُل خود امالہ  $L_{aa}$  یہ ہے

$$L_{aa} = L_{aa0} + L_{al} \quad (6.15)$$

ہم مساوات 6.5 مساوات 6.9 مساوات 6.12 اور مساوات 6.15 کی مدد سے مساوات 6.14 کو یوں لکھتے ہیں۔

$$\begin{aligned} \lambda_a &= (L_{aa0} + L_{al})i_a - \frac{L_{aa0}}{2}i_b - \frac{L_{aa0}}{2}i_c + L_{am0}I_m \cos \omega t \\ &= (L_{aa0} + L_{al})i_a - \frac{L_{aa0}}{2}(i_b + i_c) + L_{am0}I_m \cos \omega t \end{aligned} \quad (6.16)$$

اب تین دور کے برقی رو کے لئے

$$i_a + i_b + i_c = 0 \quad (6.17)$$

لہذا مساوات 6.16 میں اس کو استعمال کرتے ملتا ہے

$$\begin{aligned} \lambda_a &= (L_{aa0} + L_{al})i_a - \frac{L_{aa0}}{2}(-i_a) + L_{am0}I_m \cos \omega t \\ &= \left(\frac{3}{2}L_{aa0} + L_{al}\right)i_a + L_{am0}I_m \cos \omega t \\ &= L_s i_a + L_{am0}I_m \cos \omega t \end{aligned} \quad (6.18)$$

جہاں

$$L_s = \frac{3}{2}L_{aa0} + L_{al} \quad (6.19)$$

کو معاصر امالہ کہتے ہیں۔

اس مساوات اور مساوات 5.55 پر ایک بار دوبارہ غور کریں۔ یہ دونوں ملتے جلتے ہیں۔ وہاں کُل گھومتا مقناطیسی دباؤ ایک چلھے کی مقناطیسی دباؤ کے  $3/2$  گھٹا تھا اور یہاں معاصر امالہ ایک چلھے کی املہ کے  $3/2$  گھٹا ہے۔ یہ دو مساوات درحقیقت ایک ہی بات کے دو پہلو ہیں۔

معاصر امالہ تین حصوں پر مشتمل ہے۔ پہلا حصہ  $L_{aa0}$  ہے جو  $a$  لچھے کا خود امالہ ہے۔ دوسرا حصہ  $L_{aa0}/2$  اس لچھے یعنی  $a$  لچھے کا باقی دو لچھوں کے ساتھ اُس صورت میں مشترکہ امالہ ہے جب مشین میپی تینی دور کی متوازن برقی رو ہو۔ تیسرا حصہ  $a$  لچھے کا رستا مالہ ہے۔ اس طرح معاصر امالہ مشین کے ایک لچھے کا ظاہری امالہ ہوتا ہے جب مشین میں متوازن برقی رو ہو۔

ایک معاصر جنریٹر کی ایک دور کی خود امالہ اور رستا امالہ یہ ہیں

مثال 6.1:

$$L_{aa}=2.2 \text{ mH} \quad L_{al}=0.2 \text{ mH}$$

اس مشین کی دو دور کی مشترکہ امالہ اور مشین کی معاصر امالہ حاصل کریں۔

حل:

چونکہ  $L_{aa}=L_{aa0}+L_{al}$  لہذا  $L_{aa0}=2 \text{ mH}$ ۔ مساوات 6.12 کی مدد سے  $L_{ab}=-1 \text{ mH}$  اور مساوات 6.19 کی مدد سے  $L_s=3.2 \text{ mH}$

### 6.3 معاصر مشین کا مساوی دور<sup>295</sup>

لچھا  $a$  پر لاگو برقی دباؤ اس لچھے کی مزاحمت  $R_a$  میں برقی دباؤ کے

گھٹنے اور  $\lambda_a$  کے برقی دباؤ کے برابر ہوگا، یعنی

$$\begin{aligned}
 v_a &= i_a R_a + \frac{d\lambda_a}{dt} \\
 &= i_a R_a + L_s \frac{di_a}{dt} - \omega L_{am0} I_m \sin \omega t \\
 &= i_a R_a + L_s \frac{di_a}{dt} + e_{am}
 \end{aligned} \tag{6.20}$$

یہاں

$$\begin{aligned}
 e_{am} &= -\omega L_{am0} I_m \sin \omega t \\
 &= +\omega L_{am0} I_m \cos \left( \omega t + \frac{\pi}{2} \right)
 \end{aligned} \tag{6.21}$$

کو ہیجانی برقی دباؤ یا اندرونی پیدا کردہ برقی دباؤ کہتے<sup>296</sup> ہیں جو گھومتے چھے سے پیدا مقناطیسی بہاؤ کی وجہ سے وجود میں آتی ہے۔ اس کے موثر قیمت  $E_{am,rms}$  مساوات 1.50 کی مدد سے حاصل ہوتا ہے

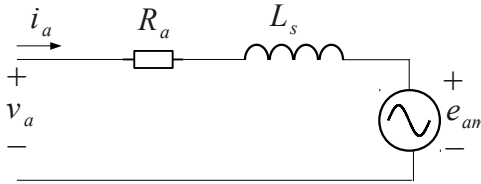
---

<sup>296</sup>  $\cos(\alpha + \frac{\pi}{2}) = \cos \alpha \cos \frac{\pi}{2} - \sin \alpha \sin \frac{\pi}{2} = -\sin \alpha$

$$E_{am,rms} = \frac{\omega L_{am0} I_m}{\sqrt{2}} = 4.44 f L_{am0} I_m \quad (6.22)$$

مساوات 6.20 کو ایک برقی دور سے ظاہر کیا جا سکتا ہے جسے شکل 6.3 میں دکھایا گیا ہے۔ کسی بھی برقی آلا پر جب برقی دباؤ لاگو کیا جائے تو برقی رو کی مثبت سمت لاگو برقی دباؤ کے مثبت سرے سے باہر کی جانب کو ہوتی ہے۔ لہذا اس شکل میں برقی رو  $i_a$  لاگو برقی دباؤ  $v_a$  کی مثبت سرے سے باہر کی جانب کو ہے۔ یہ شکل ایک موٹر کو ظاہر کرتی ہے جہاں موٹر کے مثبت سرے پر برقی رو اندر کی جانب کو ہوتا ہے۔

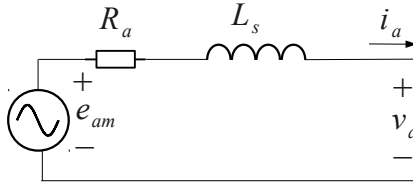
اگر موٹر کی بجائے ایک معاصر جنریٹر کی بات ہوتی تو یہ جنریٹر برقی دباؤ



شکل 6.3: معاصر موٹر کا مساوی دور

پیدا کرتا اور برقی رو اس جنریٹر کی مثبت سرے سے باہر کی جانب کو ہوتی۔ اس

صورت میں ہمیں شکل 6.3 کی جگہ شکل 6.4 ملے گا۔



شکل 6.4: معاصر جنریٹر کا مساوی دور

اس شکل کی مساوات اسی شکل سے یوں حاصل ہوتی ہے۔

$$e_{am} = i_a R_a + L_s \frac{di_a}{dt} + v_a \quad (6.23)$$

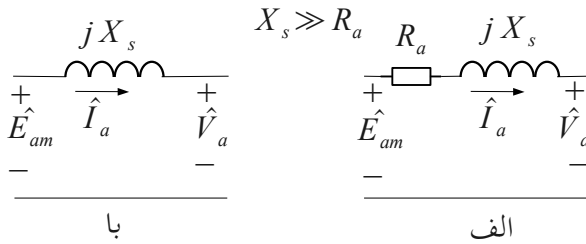
یہاں یہ دھیان رہے کہ جنریٹر کے مساوی دور میں برقی رو کی مثبت سمت موٹر کے مساوی دور میں برقی رو کی مثبت سمت کے الٹ ہے۔ اس کا دوری سمتیہ<sup>297</sup> مساوات یوں لکھا جائے گا

<sup>297</sup> phasor



$$\hat{E}_{am} = \hat{I}_a R_a + j \hat{I}_a X_s + \hat{V}_a \quad (6.24)$$

اس دوری سمتیہ کے مساوات کو شکل 6.5 الف میں دکھایا گیا ہے۔ عام حالات میں  $X_s$  کی مقدار  $R_a$  سے سو سے دو سو گنا زیادہ ہوتی ہے۔



شکل 6.5: معاصر جنریٹر کی مساوی دور

دو قطب 50 ہرٹز کا ایک معاصر جنریٹر 40 ایمپیئر میدانی برقی رو پر 2100 وولٹ دوری مربع کی اوسط برقی دباؤ پیدا کرتی ہے۔ اس

مثال 6.2:

مشین کی قوی اور میدانی چھوٹ کے مابین مشترکہ امالہ حاصل کریں۔

حل:

مساوات 6.22 سے

$$L_{am} = \frac{\sqrt{2} E_{am}}{\omega I_m} = \frac{\sqrt{2} \times 2100}{2 \times \pi \times 50 \times 40} = 0.2363 \text{ H}$$

#### 6.4 برقی طاقت کی منتقلی

شکل 3.21 ایک ٹرانسفارمر کا مساوی دور اور شکل 6.5 ایک معاصر جزیئر کا مساوی دور ہے۔ دونوں بالکل ایک طرح کے ہیں، لہذا مندرجہ ذیل بیان دونوں کے لئے درست ہوگا، اگرچہ یہاں ہمیں صرف معاصر آلوں سے دلچسپی ہے۔

معاصر آلوں میں معاصر متعاملہ چھوٹے کی مزاحمت سے بہت زیادہ ہوتا ہے لہذا اس کے مزاحمت کو نظر انداز کیا جاسکتا۔ ایسا ہی شکل کے حصہ با میں کیا گیا ہے۔

شکل 6.5 کے حصہ با کو اگر ہم ایک لمحے کے لئے ایک سادہ برقی دور سمجھیں جس کے بائیں جانب  $\hat{E}_{am}$  اور دائیں جانب  $\hat{V}_a$  برقی دباؤ ہے جن کے مابین ایک متعاملہ  $j X_s$  جڑا ہے۔ اس برقی دور میں برقی طاقت کے منتقلی

کا حساب یوں ممکن ہے۔

شکل 6.5 حصہ با کی دوری سمتیہ شکل 6.6 میں دیا گیا ہے جس کے حصہ الف میں  $\hat{I}_a$  برقی دباؤ  $\hat{V}_a$  کے  $\phi$  زاویہ پیچھے<sup>298</sup> ہے اور حصہ با میں  $\phi$  زاویہ آگے<sup>299</sup> ہے۔ یاد رہے کہ  $\hat{V}_a$  اور  $\hat{I}_a$  کے مابین زاویہ  $\phi$  کو طاقت کے جُز و ضربی کا زاویہ<sup>300</sup> کہتے ہیں اور اس زاویہ کے کو-سائن یعنی  $\cos \phi$  کو طاقت کا جُز و ضربی<sup>301</sup> کہتے ہیں۔ چونکہ زاویہ اُفقی سمت سے گھڑی کی اُلٹی سمت ناپی جاتی ہے لہذا شکل کے حصہ الف میں  $\phi$  ایک منفی زاویہ ہے اور  $\sigma$  ایک مثبت زاویہ ہے جبکہ حصہ با میں یہ دونوں مثبت ہیں۔ اس کا مطلب ہوا کہ پیچھے زاویہ منفی اور آگے زاویہ مثبت ہوتے ہیں۔

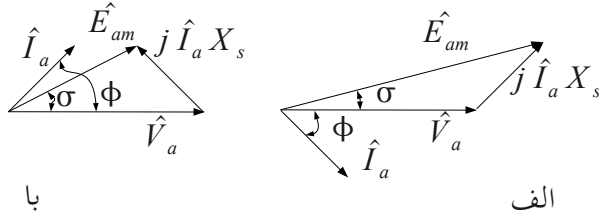
---

298 lagging

299 leading

300 power factor angle

301 power factor



شکل 6.6: معاصر جنریٹر کا دوری سمتیہ

دائیں جانب طاقت  $P_v$  منتقل ہو رہی ہے جہاں

$$P_v = V_a I_a \cos \phi \quad (6.25)$$

اور شکل میں حصہ الف کے لئے

$$\begin{aligned}
\hat{I}_a &= \frac{\hat{E}_{am} - \hat{V}_a}{jX_s} \\
&= \frac{E_{am} \angle \sigma - V_a \angle 0}{X_s \angle \frac{\pi}{2}} \\
&= \frac{E_{am}}{X_s} \angle \left( \sigma - \frac{\pi}{2} \right) - \frac{V_a}{X_s} \angle \left( -\frac{\pi}{2} \right)
\end{aligned} \tag{6.26}$$

ایک دوری سمتیہ کے دو جُز ہوتے ہیں۔ اس کا حقیقی جُز اُفقی سمت میں بنایا جاتا ہے اور اس کا فرضی جُز حقیقی جُز کے عمود میں بنایا جاتا ہے۔ شکل سے واضح ہے کہ اس مساوات کا حقیقی جُز  $\hat{V}_a$  کے ہم دور ہے لہذا

$$\begin{aligned}
I_a \cos \phi_a &= \frac{E_{am}}{X_s} \cos \left( \sigma - \frac{\pi}{2} \right) - \frac{V_a}{X_s} \cos \left( -\frac{\pi}{2} \right) \\
&= \frac{E_{am}}{X_s} \sin \sigma
\end{aligned} \tag{6.27}$$

اس مساوات اور مساوات 6.25 سے حاصل ہوتا ہے

$$P_v = \frac{V_a E_{am}}{X_s} \sin \sigma \tag{6.28}$$

تین دور کی معاصر مشین کے لئے اس مساوات کو تین سے ضرب دیں یعنی

$$P = \frac{3 V_a E_{am}}{X_s} \sin \sigma \quad (6.29)$$

یہ طاقت بالمقابل زاویہ کی مساوات ہے۔ اگر  $V_a$  معین ہو تو جنریٹر  $E_{am}$  یا  $\sigma$  بڑھا کر طاقت بڑھا سکتا ہے۔  $E_{am}$  گھومتے چلھے میں برقی رو بڑھا کر بڑھائی جاتی ہے۔ البتہ یہ ایک حد تک کرنا ممکن ہے۔ چلھے کی مزاحمت میں برقی توانائی ضائع ہونے سے یہ گرم ہوتا ہے اور اس کی حرارت کو خطرناک حد تک پہنچنے نہیں دیا جا سکتا۔ دوسری جانب  $\sigma$  کو نوے زاویہ تک بڑھایا جا سکتا ہے اور اس صورت میں

$$P_{max} = \frac{3 V_a E_{am}}{X_s} \quad (6.30)$$

حقیقت میں جنریٹر کو اس طرح بنایا جاتا ہے کہ اس کی زیادہ سے زیادہ قابل استعمال طاقت نوے درجے سے کافی کم زاویہ پر ہو۔ نوے درجے پر جنریٹر کو قابو رکھنا مشکل ہو جاتا ہے۔

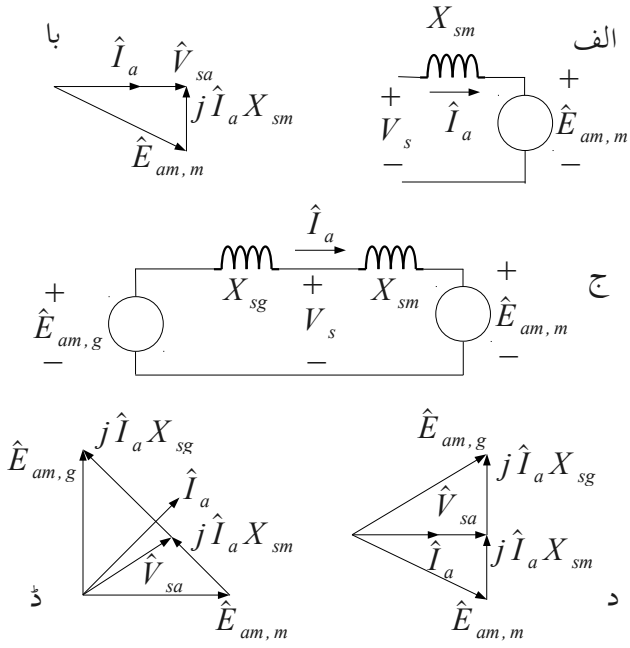
ایک 50 قطب ستارا جڑی تین دور 50 ہرٹز 2300 ولٹ تار کی

مثال 6.3:

برقی دباؤ پر چلنے والی 1800 کلو وولٹ-ایمپیئر کی معاصر مشین کی ایک دور کی معاصر امالہ 2.1 اوہم ہے۔

- مشین کے برقی سروں پر 2300 وولٹ تار کی برقی دباؤ مہیا کرتے ہوئے اگر اس کی میدانی برقی رو اتنی رکھی جائے کہ مشین کے پورے بار پر یہ ایک جزو ضربی طاقت پر چلے تو اس سے زیادہ سے زیادہ کتنی مروڑ حاصل کی جا سکتی ہے۔

- اگر اسے 2 قطب 3000 چکر فی منٹ تین دور کی ستارا جڑی 2300 وولٹ تار کی برقی دباؤ پیدا کرنے والی 2200 کلو وولٹ-ایمپیئر کی معاصر جنریٹر سے چلایا جائے جس کی ایک دور کی معاصر امالہ 2.3 اوہم ہو۔ موٹر پر اس کا پورا برقی بار لاد کر جنریٹر کو معاصر رفتار پر چلاتے ہوئے دونوں آلوں کی میدانی برقی رو تبدیل کی جاتی ہے حتیٰ کہ موٹر ایک جزو ضربی طاقت پر چلنے لگے۔ دونوں آلوں کی میدانی برقی رو یہاں برقرار رکھ کر موٹر پر بار آہستہ آہستہ بڑھائی جاتی ہے۔ اس صورت میں موٹر سے زیادہ سے زیادہ کتنی مروڑ حاصل کی جا سکتی ہے اور اس کی سروں پر تار کی برقی دباؤ کتنی ہوگی۔



شکل 6.7: مثال 6.3

حل پہلی جز:

شکل 6.7 حصہ الف اور با سے رجوع کریں۔ دوری برق دباؤ اور کُل برقی

رو یہ ہے



$$\frac{2300}{\sqrt{3}} = 1327.9V$$

$$\frac{1800000}{\sqrt{3} \times 2300} = 451.84A$$

لہذا

$$\begin{aligned}\hat{E}_{am,m} &= \hat{V}_a - j\hat{I}_a X_{s,m} \\ &= 1327.9\angle 0^\circ - j451.84\angle 0^\circ \times 2.1 \\ &= 1327.9 - j948.864 \\ &= 1632\angle -35.548^\circ\end{aligned}$$

ہے۔ یوں مساوات 6.30 سے ایک دور کی زیادہ سے زیادہ برقی طاقت

$$P_{max} = \frac{1327.9 \times 1632}{2.1} = 1031968 \text{ W}$$

ہے۔ یوں تین دور کی زیادہ سے زیادہ طاقت 3095904 واٹ ہوگی۔ 50 ہرٹز اور 50 قطب سے مشین کی معاصر میکانی رفتار مساوات 5.61 کی مدد سے دو چکر فی سیکنڈ حاصل ہوتی ہے یعنی  $f_m = 2$ ۔ یوں مشین سے زیادہ سے زیادہ مروڑ

$$T_{max} = \frac{P_{max}}{2\pi f_m} = \frac{3095904}{2\pi \times 2} = 246364 \text{ Nm}$$

حاصل ہوگی۔

حل دوسری جز:

شکل 6.7 حصہ ج سے رجوع کریں۔ پہلی جز کی طرح یہاں بھی موٹر کی برقی سروں پر تار کی برقی دباؤ 2300 وولٹ اور اس کی محرک برقی دباؤ 1632 وولٹ ہے۔ جنریٹر کی محرک برقی دباؤ

$$\begin{aligned}\hat{E}_{am,g} &= \hat{V}_a + j\hat{I}_a X_{s,g} \\ &= 1327.9\angle 0^\circ + j451.84\angle 0^\circ \times 2.3 \\ &= 1327.9 + j1039.232 \\ &= 1686\angle 38.047^\circ\end{aligned}$$

ہے۔ یہ صورت شکل کے حصہ د میں دکھائی گئی ہے۔

معاصر موٹر اس وقت زیادہ سے زیادہ طاقت پیدا کرے گی جب  $\hat{E}_{am,g}$  اور  $\hat{E}_{am,m}$  آپس میں  $90^\circ$  زاویہ پر ہوں۔ ایسا شکل کے حصہ ڈ میں دکھایا گیا ہے۔

اب مساوات 6.30 میں ایک معاصر امالہ کی جگہ سلسلہ وار جٹری موٹر اور جنریٹر کی امالہ ہیں اور دو برقی دباؤ اب موٹر اور جنریٹر کی محرک برقی دباؤ ہیں۔ یوں موٹر کی ایک دور سے زیادہ سے زیادہ

$$P_{max} = \frac{1686 \times 1632}{(2.3 + 2.1)} = 625352 \text{ W}$$

حاصل ہوں گے۔ تین دور سے یوں 1876056 واٹ حاصل ہوں گے اور زیادہ سے زیادہ مروڑ

$$T_{max} = \frac{P_{max}}{2\pi f_m} = \frac{1876056}{2\pi \times 2} = 149291 \text{ Nm}$$

ہو گی۔

## 6.5 یکساں حال چالو مشین کے خصوصیات

### 6.5.1 معصر جنریٹر: برقی بار بالمقابل $I_m$ کے خطوط

شکل 6.5 حصہ با کے لئے دوری سمتیوں کا مساوات یہ ہے

$$\hat{E}_{am} = \hat{V}_a + j\hat{I}_a X_s \quad (6.31)$$

اسے یوں لکھ سکتے ہیں

$$E_{am} \angle \sigma = V_a \angle 0 + I_a X_s \angle \left( \frac{\pi}{2} + \phi \right) \quad (6.32)$$

اس مساوات کو مخلوط عدد<sup>302</sup> کے طور پر یوں لکھ سکتے ہیں

$$\begin{aligned} E_{am}(\cos \sigma + j \sin \sigma) &= V_a \cos 0 + I_a X_s \cos\left(\frac{\pi}{2} + \phi\right) \\ &\quad + j V_a \sin 0 + j I_a X_s \sin\left(\frac{\pi}{2} + \phi\right) \quad (6.33) \\ &= E_{am,x} + j E_{am,y} \end{aligned}$$

اس مساوات سے  $|\hat{E}_{am}|$  یعنی  $E_{am}$  کی مقدار یوں حاصل ہوتی ہے

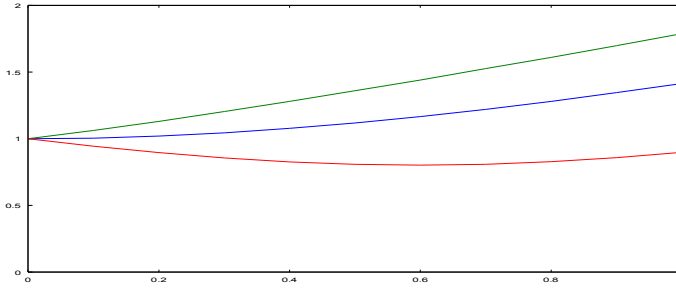
$$\begin{aligned} |\hat{E}_{am}| &= \sqrt{E_{am,x}^2 + E_{am,y}^2} \\ &= \sqrt{V_a^2 + (I_a X_s)^2 + 2V_a I_a X_s \sin \phi} \end{aligned} \quad (6.34)$$

جنیٹر کے سروں پر معین  $V_a$  رکھتے ہوئے مختلف  $\phi$  کے لئے  $E_{am}$  بالمقابل  $I_a$  شکل 6.8 میں گراف کیا گیا ہے۔ چونکہ  $E_{am}$  اور  $I_m$  براہ

---

<sup>302</sup> complex number

راست متناسب ہیں اور اسی طرح کسی ایک مخصوص طاقت کے جُز و ضربی اور معین  $V_a$  کے لئے جنریٹر کا طاقت  $I_a$  کے براہ راست متناسب ہوتا ہے لہذا یہی گراف  $I_m$  بالمقابل جنریٹر کے طاقت کو بھی ظاہر کرتا ہے۔



شکل 6.8: جنریٹر: برقی بار بالمقابل  $I_m$  کے خط

### 6.5.2 معاصر موٹر: $I_a$ بالمقابل $I_m$ کے خط

معاصر موٹر کا مساوی دور شکل 6.3 میں دکھایا گیا ہے اور اس کا دوری سمتیہ شکل 6.9 میں دکھایا گیا ہے۔ اس میں مزاحمت نظر انداز کرنے سے اس کا دوری مساوات یوں ہوگا

$$\begin{aligned}
\hat{V}_a &= E_{am} + j\hat{I}_a X_s \\
V_a \angle 0 &= E_{am} \angle \sigma + jI_a \angle(\phi) X_s \\
V_a \angle 0 &= E_{am} \angle \sigma + I_a X_s \angle\left(\frac{\pi}{2} + \phi\right)
\end{aligned} \tag{6.35}$$

اس مساوات میں زاویے موثر پر لاگو برقی دباؤ  $\hat{V}_a$  کے حوالہ سے بیہی، یعنی  $\hat{V}_a$  کا زاویہ صفر لیا گیا ہے۔ یاد رہے کہ زاویہ ناپنے کی مثبت سمت اُفقی لکیر سے گھڑی کی اُلٹی سمت ہے لہذا اگے زاویہ <sup>303</sup> مثبت اور پیچھے زاویہ <sup>304</sup> منفی ہیں۔ اس مساوات سے امالی دباؤ کی مقدار  $E_{am}$  یوں حاصل ہوگی۔

$$\begin{aligned}
E_{am} \angle \sigma &= V_a \angle 0 - I_a X_s \angle\left(\frac{\pi}{2} + \phi\right) \\
&= V_a - I_a X_s \cos\left(\frac{\pi}{2} + \phi\right) - jI_a X_s \sin\left(\frac{\pi}{2} + \phi\right) \\
&= V_a + I_a X_s \sin \phi - jI_a X_s \cos \phi \\
\left|\hat{E}_{am}\right| &= \sqrt{(V_a + I_a X_s \sin \phi)^2 + (I_a X_s \cos \phi)^2} \\
&= \sqrt{V_a^2 + I_a^2 X_s^2 + 2V_a I_a X_s \sin \phi}
\end{aligned} \tag{6.36}$$

موثر پر لاگو برقی دباؤ اور اس پر میکانی بار معین رکھ کر اس مساوات کو

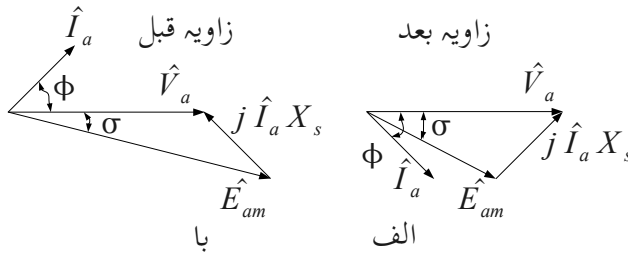
---

303 leading angle

304 lagging angle

شکل 6.10 میں گراف کیا گیا ہے۔ مختلف میکانی بار رکھ کر ایسے کئی گراف بنائے گئے ہیں۔ یہ موٹر کے  $E_{am}$  بالمقابل  $I_a$  خط ہیں۔ چونکہ امالی دباؤ  $I_m$  کے براہ راست متناسب ہے لہذا یہی موٹر کے  $I_m$  بالمقابل  $I_a$  خط بھی ہیں۔ ان میں سے ہر خط ایک معین میکانی بار  $P$  کے لئے ہے جہاں

$$P = V_a I_a \cos \phi \quad (6.37)$$

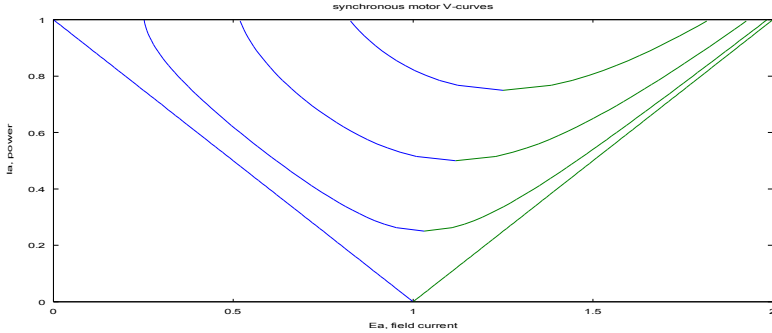


شکل 6.9: موٹر کا دوری سمتیہ

اس مساوات سے واضح ہے کہ اگر  $P$  اور  $V_a$  معین ہوں تو جُز و ضربی طاقت تبدیل کر کے  $I_a$  تبدیل کیا جا سکتا ہے۔ لہذا مساوت 6.36 کو مساوت 6.37 کی مدد سے گراف کیا جاتا ہے۔ یہ کچھ یوں کیا جاتا ہے۔ معین

$V_a$  اور  $P$  کے لئے مختلف  $I_a$  پر مساوات 6.37 سے  $\phi$  حاصل کریں۔ ان  $I_a$  اور  $\phi$  کو مساوات 6.36 میں استعمال کر کے  $E_{am}$  کا حساب لگائیں اور  $E_{am}$  بالمقابل  $I_a$  کا گراف بنائیں۔

موٹر کی ان خطوط سے واضح ہے کہ  $I_m$  کو تبدیل کر کے موٹر کی جزو ضربی طاقت تبدیل کی جا سکتی ہے۔ لہذا موٹر کو آگے زاویہ یا پیچھے زاویہ پر چلایا جا سکتا ہے۔ اگر اسے آگے زاویہ پر رکھا جائے تو یہ ایک کیپیسٹر کے طور پر استعمال ہو سکتا ہے اگرچہ ایسا کیا نہیں جاتا چونکہ کیپیسٹر کا استعمال زیادہ سستا پڑتا ہے۔



شکل 6.10: موٹر:  $E_{am}$  بالمقابل  $I_a$  کے خط



## 6.6 کھلے دور اور کسر دور معائنہ

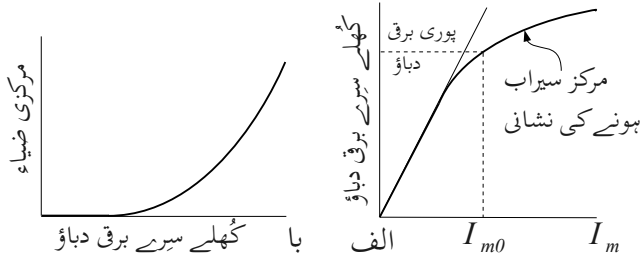
معاصر مشین کے مساوی دور بنانے کے لئے اس کے جُز معلوم کرنا لازم ہے۔ یہ دو قسم کے معائنوں سے کیا جاتا ہے۔ انہیں کھلے دور معائنہ اور کسر دور معائنہ کہتے ہیں۔ ان معائنوں سے مرکز کے سیراب ہونے کے اثرات بھی سامنے آتے ہیں۔ ہم نے ٹرانسفارمر کے لئے بھی اسی قسم کے معائنے کیے تھے۔ وہاں ہم نے دیکھا تھا کہ کھلے دور معائنہ اس برقی دباؤ پر کیا جاتا ہے جتنے کے لئے مشین بنائی<sup>305</sup> گئی ہو جبکہ کسر دور معائنہ اس برقی رو پر کیا جاتا ہے جتنے کے لئے مشین بنائی گئی ہو۔ یہاں بھی ایسا ہی کیا جائے گا۔

### 6.6.1 کھلے دور معائنہ

معاصر مشین کے برقی سرے کھلے رکھ کر اور اسے معاصر رفتار پر گھماتے ہوئے مختلف  $I_m$  پر مشین کے سروں پر پیدا برقی دباؤ  $V_a$  ناپی جاتی ہے۔ ان دو کا گراف شکل 6.11 حصہ الف میں دکھایا گیا ہے۔ یہ خط مشین کے کھلے دور خاصیت ظاہر کرتا ہے۔ یہی خط مشین بنانے والے بھی مہیا کر سکتے ہیں۔

---

305 design voltage



شکل 6.11: کھلے دور خط اور مرکزی ضیاء

اس کتاب کے حصہ 2.8 میں بتلایا گیا تھا کہ مرکز پر لاگو مقناطیسی دباؤ اگر بڑھایا جائے تو اس میں مقناطیسی بہاؤ بڑھتی ہے البتہ جلد ہی مرکز سیراب ہونے لگتا ہے۔ اس کا اثر شکل کے حصہ الف میں خط کے جھکنے سے واضح ہے۔ اگر مرکز سیراب نہ ہوتا تو یہ خط شکل میں دیئے سیدھی لکیر کی پیروی کرتا۔ شکل میں نقطہ دار لکیروں سے مشین کا پورا برقی دباؤ اور اس پر درکار برقی رو  $I_{m0}$  دکھلایا گیا ہے۔

یہ معائنہ کرتے وقت اگر ڈھرے پر میکانی طاقت  $P_1$  ناپی جائے تو یہ بے بار مشین کی طاقت کے ضیاع کے برابر ہوگی۔ اس کا بیشتر حصہ رگڑ کی وجہ سے، کچھ حصہ مرکز میں ضیاع کی وجہ سے اور کچھ گھومتے چلھے میں ضیاع کی وجہ سے ہوگا۔ یاد رہے کہ عموماً گھومتے چلھے کو یک سمتی جنریٹر سے برقی توانائی دی جاتی ہے اور یہ جنریٹر بھی مشین کے ڈھرے پر ہی نسب ہوتا ہے لہذا

اسے طاقت اصل محرک<sup>306 307</sup> سے ہی ملتی ہے۔ بے بار مشین اور بار بردار مشین دونوں کا رگڑ سے طاقت کے ضیاع کو یکساں سمجھا جاتا ہے چونکہ رگڑ سے طاقت کے ضیاع کا مشین پر لدھے بار سے کوئی خاص تعلق نہیں۔ اب اگر یہی معائنہ دوبارہ کیا جائے لیکن اس مرتبہ  $I_m$  بھی صفر رکھا جائے تو اس مرتبہ ناپا گیا طاقت  $P_2$  صرف رگڑ کی وجہ سے طاقت کے ضیاع کے برابر ہوگا۔ ان دو ناپے گئے طاقت کا فرق یعنی  $P_1 - P_2$  مرکز میں طاقت کے ضیاع اور گھومتے چلھے میں برقی ضیاع کے برابر ہوگا۔ گھومتے چلھے میں برقی ضیاع بہت کم ہوتا ہے اور اس کو عموماً مرکز کے ضیاع کا حصہ ہی تصور کیا جاتا ہے۔ اس طرح ناپے گئے مرکزی ضیاع کا ایک خط شکل 6.11 حصہ با میں دیا گیا ہے۔

## 6.6.2 کسر دور معائنہ

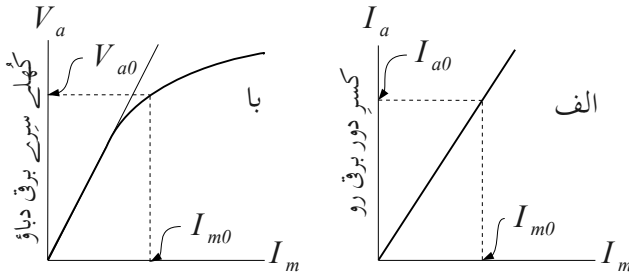
معاصر مشین کو معاصر رفتار پر جنریٹر کے طور چلاتے ہوئے اس کے ساکن چلھے کے سیرے کسر دور کر کے مختلف  $I_m$  پر کسر دور برقی رو  $I_a$  ناپی جاتی ہے۔ ان دو کا گراف شکل 6.12 حصہ الف میں دکھایا گیا ہے۔ یہ خط کسر دور مشین کی خاصیت دکھلاتا ہے۔ یہ معائنہ کرتے وقت یہ دھیان رکھنا بہت اہم ہے کہ  $I_a$  کی مقدار کہی خطرناک حد تک نہ بڑھ جائے اسے جنریٹر کے پورے برقی بار<sup>308</sup> پر  $I_a$  کی مقدار یا اس کی دگنی مقدار سے کم رکھنا ضروری ہے ورنہ مشین گرم ہو کر تباہ ہو سکتی ہے۔ کسر دور مشین میں، ڈیزائن کردہ برقی دباؤ کے، صرف دس سے پندرہ فیصد برقی دباؤ پر ہی اس میس سو فیصد برقی رو

306 گھومتے چلھے کو توانائی یک سمتی جنریٹر سے آتی ہے اور اس جنریٹر کو ڈھرے سے آتی ہے

307 prime mover

308 full load

شروع ہو جاتی ہے۔ اتنا کم برقی دباؤ حاصل کرنے کے لئے خلائی درز میں اتنا ہی مقناطیسی بہاؤ کی درکار ہوتا ہے۔



شکل 6.12: کسر دور خط اور کھلے دور خط

شکل 6.5 میں جنیٹر کا مساوی برقی دور دکھایا گیا ہے۔ اسے شکل 6.13 میں کسر دور کر کے دکھایا گیا ہے۔ یہاں سے واضح ہے کہ

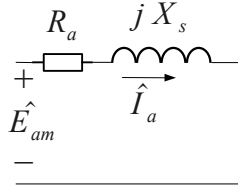
$$\hat{E}_{am} = \hat{I}_a R_a + j \hat{I}_a X_s \quad (6.38)$$

$R_a$  کو نظر انداز کر کے اس مساوات سے معاصر امالہ یوں حاصل کیا جا سکتا

ہے۔

$$X_s = \frac{|\hat{E}_{am}|}{|\hat{I}_a|} \quad (6.39)$$

$$\begin{aligned} \hat{E}_{am} &= \hat{I}_a R_a + j \hat{I}_a X_s \\ X_s &\gg R_a \\ \hat{E}_{am} &= j \hat{I}_a X_s \\ X_s &= \frac{|\hat{E}_{am}|}{|\hat{I}_a|} \end{aligned}$$



شکل 6.13: معاصر امالہ

اس مساوات میں  $\hat{I}_a$  کسرِ دور مشین کی برقی رو اور  $\hat{E}_{am}$  اس کی اسی حال میں ایک دور کی امالہ برقی دباؤ ہے۔ کھلے دور مشین میں  $\hat{I}_a$  صفر ہوتی ہے۔ مساوات 6.31 سے واضح ہے کہ اگر  $\hat{I}_a$  صفر ہو تو  $\hat{E}_{am}$  اور  $V_a$  برابر ہوں گے۔ لہذا ہم کسی معینی  $I_{m0}$  پر شکل 6.12 حصہ الف سے  $\hat{I}_{a0}$  اور حصہ با سے  $V_{a0}$  معلوم کرتے ہیں اور ان سے  $X_s$  کا حساب لگاتے ہیں، یعنی

$$X_s = \frac{V_{a0}}{I_{a0}} \quad (6.40)$$

معاصر امالہ عموماً مشین کے پورے برقی دباؤ پر معلوم کی جاتی ہے تاکہ مرکز سیراب ہونے کے اثر کو بھی شامل کیا جائے۔ شکل میں ایسا ہی کیا گیا ہے۔

معاصر امالہ مشین کو ستارا نما تصور کر کے اس کے ایک دور کے لئے حاصل کی جاتی ہے۔ لہذا اگر معائنہ کرتے وقت مشین کی تار برقی دباؤ<sup>309</sup> ناپے گئے ہوں تو انہی  $\sqrt{3}$  سے تقسیم کر کے مشین کے ایک دور کے برقی دباؤ حاصل کر کے مساوات میں استعمال کریں، یعنی

$$V_{\text{دور}} = \frac{V_{\text{تار}}}{\sqrt{3}} \quad (6.41)$$

ایک 75 کلو وولٹ-ایمپیئر ستارا جڑی 415 وولٹ پر چلنے والی معاصر مشین کی کھلے دور اور کسر دور معائنہ کئے گئے۔ نتائج یہ ہیں۔

مثال 6.4:

<sup>309</sup> line voltage

$$V_{tar} = 415 V \quad I_m = 3.2 A \quad \text{کھلے دور معائنہ:}$$

کسر دور معائنہ:

قوی لچھے کی برقی رو	104	126
میدانی لچھے کی برقی رو	2.48	3.2

فہرست 6 □ 1:

اس مشین کی معاصر امالہ حاصل کریں۔

حل:

$$V_{دور} = \frac{V_{tar}}{\sqrt{3}} = \frac{415}{\sqrt{3}} = 239.6 V \quad \text{ایک دور پر برقی دباؤ}$$

یہ کھلے دور برقی دباؤ 3.2 ایمپیئر میدانی برقی رو پر حاصل ہوتی ہے۔ اتنی میدانی برقی رو پر کسر دور برقی رو 126 ایمپیئر ہیسی لہذا ایک دور کی معاصر امالہ

$$X_s = \frac{239.6}{126} = 1.901 \Omega \quad \text{ہوگی۔}$$

کسر دور معائنہ کرتے وقت اگر ڈھری پر لاگو میکانی طاقت  $P_3$  ناپی جائے تو یہ کسر دور مشین کی کل ضیاع ہوگی۔  $P_3$  ناپتے وقت کسر دور برقی

رو  $I_{a,3}$  بھی ناپ لیں۔ اس کا کچھ حصہ مرکز کی برقی ضیاع، کچھ دونوں  
 لچھوں میں برقی ضیاع اور کچھ رگڑ سے میکانی ضیاع سے ہے۔ اب اگر اس سے  
 پچھلے معائنہ میں ناپی گئی رگڑ کی ضیاع  $P_2$  منفی کی جائے تو ہم یہی لچھوں کی  
 ضیاع اور مرکز کی ضیاع ملتا ہے۔ جیسا اوپر عرض کیا گیا کہ کسر دور مشین میں  
 پورا برقی رو، پورے برقی دباؤ کے صرف 10-20 فی صد پر حاصل ہو جاتا ہے  
 اور اتنا کم برقی دباؤ حاصل کرنے کے لئے درکار مقناطیسی بہاؤ اتنا ہی کم ہوتا  
 ہے۔ اتنے کم مقناطیسی بہاؤ پر مرکز میں ضیاع کو نظر انداز کیا جا سکتا ہے۔  
 اسی طرح کسی بھی کسر دور معاصر مشین کے گھومتے لچھے میں برقی ضیاع  
 ساکن لچھے میں برقی ضیاع سے بہت کم ہوتا ہے اور اسے بھی نظر انداز کیا جا  
 سکتا ہے۔ لہذا  $P_3 - P_2$  کو ساکن لچھے میں برقی ضیاع کے برابر لیا جاتا ہے۔  
 شکل 6.14 میں ایک ایسا ہی خط دکھایا گیا ہے۔ لہذا

$$P_3 - P_2 = I_{a,3}^2 R_a \quad (6.42)$$

اس مساوات سے معاصر مشین کی مساوی مزاحمت یوں حاصل ہوتی ہے۔

$$R_a = \frac{P_3 - P_2}{I_{a,3}^2} \quad (6.43)$$





شکل 6.14: کسر دور معاصر مشین میں طاقت کا ضیاء

ایک 75 کلو وولٹ-ایمپیئر 415 وولٹ پر چلنے والی معاصر مشین کے پورے برقی رو پر تینوں دور کی گُل کسر دور طاقت کا ضیاء 2.2 کلو واٹ ہے۔ اس مشین کی ایک دور کی موثر مزاحمت حاصل کریں۔

مثال 6.5:

حل: ایک دور کا ضیاء

$$\frac{2200}{3} = 733.33 \text{ W}$$

ہے۔ مشین کے پوری برقی رو

$$\frac{75000}{\sqrt{3} \times V_{\text{تار}}} = 104.34 \text{ A}$$

ہے۔ لہذا

$$R_a = \frac{733.33}{104.34^2} = 0.067 \Omega$$

ہے۔

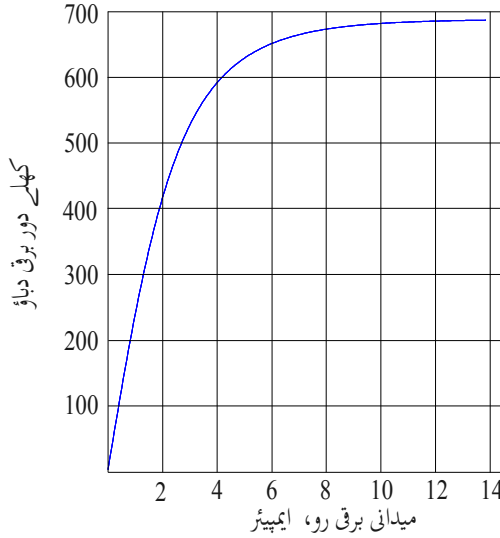
مثال 6.6:

شکل 6.15 میں 600 وولٹ 50 ہرٹز 4 قطب تکونی جڑی معاصر جنریٹر کی کھلے دور خط دکھائی گئی ہے۔ اس جنریٹر کی معاصر امالہ 0.1 اوہم اور قوی لچھے کی مزاحمت 0.01 اوہم ہے۔ پورے برقی بار پر جنریٹر 0.92 پیچھے جزو ضربی طاقت کے بار کو 1000 ایمپیئر فراہم کرتا ہے۔ پورے بار پر رگڑ کی ضیاع اور لچھے کی مزاحمت میں ضیاع کا مجموعہ 30 کلو واٹ جبکہ مرکز کی ضیاع 25 کلو واٹ ہے۔

- جنریٹر کی رفتار معلوم کریں
- بے بار جنریٹر کی سروں پر 600 وولٹ برقی دباؤ کتنی میدانی برقی رو پر حاصل ہوگی۔
- اگر جنریٹر پر 0.92 پیچھے جزو ضربی طاقت کا 1000 ایمپیئر کا برقی بار لادا جائے تو جنریٹر کے برقی سروں پر 600 وولٹ برقرار رکھنے کے لئے کتنی میدانی برقی رو درکار ہوگی۔
- جنریٹر پورے بار پر کتنی طاقت فراہم کر رہا ہے جبکہ اس کو اصل محرک

کتنی میکانی طاقت فراہم کر رہا ہے۔ ان دو سے جنریٹر کی فی صد استعداد  
310 حاصل کریں۔

- اگر جنریٹر سے یک دم برقی بار ہٹایا جائے تو اس لمحہ اس کے برقی سروں پر کتنی برقی دباؤ ہوگی۔
- اگر جنریٹر پر 1000 ایمپیئر 0.92 آگے جزو ضربی طاقت کا بار لادا جائے تو جنریٹر کے برقی سروں پر 600 وولٹ برقرار رکھنے کے لئے کتنی میدانی برقی رو درکار ہوگی۔
- ان دو 1000 ایمپیئر پیچھے جزو ضربی طاقت اور آگے جزو ضربی طاقت باروں میں کونسی بار زیادہ میدانی برقی رو پر حاصل ہوتی ہے۔ جنریٹر کس بار سے زیادہ گرم ہوگا۔



شکل 6.15: کھلے دور خط

حل:

$$\bullet \quad f_m = \left(\frac{2}{4}\right) 50 = 25 \quad \text{لہذا} \quad f_e = \left(\frac{P}{2}\right) f_m \quad \text{چکر فی سیکنڈ یا}$$

$$f_m = 25 \times 60 = 1500 \quad \text{چکر فی منٹ ہے۔}$$

• یہ مشین تکونی جڑی ہے لہذا اس کی تار کی برقی دباؤ اور دوری برقی دباؤ برابر ہیں۔ شکل 6.15 سے 600 وولٹ کے لئے درکار میدانی برقی رو

تقریباً 4.2 ایمپیئر ہے۔

• جنریٹر کو شکل میں دکھایا گیا ہے۔ تکونی جنریٹر کی تار اور دور کی برقی

$$\text{روکا تعلق } I_{\text{تار}} = \sqrt{3} I_{\text{دور}} \text{ ہے لہذا } I_{\text{دور}} = \frac{1000}{\sqrt{3}} = 577.35 \text{ ایمپیئر}$$

ہے۔ اگر برقی سروں پر 600 وولٹ رہیں تو جنریٹر کی اندرونی پیدا ہوجانی برقی دباؤ

$$\begin{aligned} \hat{E}_a &= \hat{V}_{as} + \hat{I}_a (R_a + jX_s) \\ &= 600 \angle 0^\circ + 577.35 \angle (-23.07^\circ) (0.01 + j0.1) \\ &= 622.62 + j50.855 \\ &= 624.69 \angle 4.669^\circ \end{aligned}$$

شکل سے اتنی برقی دباؤ 4.8 ایمپیئر میدانی برقی رو پر حاصل ہوگی۔

• جنریٹر اس صورت میں

$$\begin{aligned} P &= \sqrt{3} V_s a I_a \\ &= \sqrt{3} \times 600 \times 1000 \times \cos(-23.07^\circ) \\ &= 956119 \text{ W} \end{aligned}$$

فراہم کر رہا ہے جبکہ اصل محرک

$$\begin{aligned} P_m &= 956.119 + 30 + 25 \\ &= 1011.12 \text{ kW} \end{aligned}$$

فراہم کر رہا ہے لہذا اس جنریٹر کی فی صد استعداد

$$\eta = \frac{956.119}{1011.12} \times 100$$

$$= 94.56$$

فی صد ہے۔

- اگر جنریٹر سے یک دم برقی بار ہٹایا جائے تو اس لمحہ اس کے برقی سروں پر 624.69 وولٹ ہوں گے۔
- اس صورت میں

$$\hat{E}_a = \hat{V}_{as} + \hat{I}_a (R_a + jX_s)$$

$$= 600\angle 0^\circ + 577.35\angle(+23.07^\circ) (0.01 + j0.1)$$

$$= 582.688 + j55.38$$

$$= 585.31\angle 5.429^\circ$$

شکل 6.15 سے اتنی برقی دباؤ 3.8 ایمپیئر پر حاصل ہوگی۔

- پیچھے جزو ضربی طاقت کے بار پر جنریٹر کو زیادہ میدانی برقی رو درکار ہے۔ میدانی لچھے کی مزاحمت میں اس بار کی وجہ سے زیادہ برقی طاقت ضائع ہوگی اور جنریٹر یوں زیادہ گرم ہوگا۔

ایک 415 وولٹ 40 کلو وولٹ-ایمپیئر تکونی جڑی 0.8 پیچھے

مثال 6.7:

جزو ضربی طاقت 50 ہرٹز پر چلنے والی معاصر موٹر کی معاصر امالہ 2.2 اوہم ہے جبکہ اس کی مزاحمت قابلِ نظر انداز ہے۔ اس کی رگڑ اور لچھوں کی مزاحمت میں طاقت کا ضیاع ایک کلو واٹ جبکہ مرکزی ضیاع 800 واٹ ہے۔ یہ موٹر 12.2 کلو واٹ میکانی بار سے لدی ہے اور یہ آگے جزو ضربی 0.8 پر چل رہی ہے۔

• اس کی دوری سمتیہ بنائیں۔ قوی لچھے کی برقی رو  $\hat{I}_a$  اور تار کی برقی رو  $\hat{I}_r$  حاصل کریں۔ موٹر کی اندرونی ہیجانی برقی دباؤ  $\hat{E}_a$  حاصل کریں

• اب میکانی بار آہستا آہستا بڑھا کر دگنی کی جاتی ہے۔ اس صورت میں موٹر کی ردِ عمل دوری سمتیہ سے واضح کریں۔

• اس دگنی میکانی بار پر قوی لچھے کی برقی رو، تار کی برقی رو اور موٹر کی اندرونی ہیجانی برقی دباؤ حاصل کریں۔ موٹر کی جزو ضربی طاقت بھی حاصل کریں۔

حل:

• 0.8 آگے جزو ضربی طاقت  $36.87^0$  کو ظاہر کرتی ہے۔ یوں تار کی برقی رو کا آگے زاویہ یہی ہوگا۔ موٹر کو مہیا برقی طاقت اس کی میکانی طاقت اور طاقی کے ضیاع کے برابر ہوگی یعنی  $14000 = 12200 + 1000 + 800$  واٹ یا 14 کلو واٹ۔ 14 کلو واٹ کے لئے درکار تار کی برقی رو

$$\begin{aligned}
I_t &= \frac{P}{\sqrt{3}V_{sa} \cos \theta} \\
&= \frac{14000}{\sqrt{3} \times 415 \times 0.8} \\
&= 24.346 \text{ A} \\
\hat{I}_t &= 24.346 \angle + 36.87^0 \text{ A}
\end{aligned}$$

ہوگی۔ تکونی جڑی موٹر کی قوی پلہے کی برقی رو

$$\begin{aligned}
\hat{I}_a &= \frac{\hat{I}_t}{\sqrt{3}} \\
&= \frac{24.346 \angle 36.87^0}{\sqrt{3}} \\
&= 14.056 \angle 36.87^0 \text{ A}
\end{aligned}$$

ہوگی۔

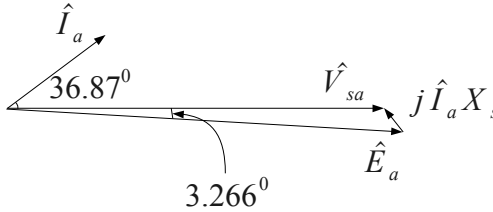
موٹر کی اندرونی ہیجانی برقی دباؤ موٹر کی مساوی دور شکل 6.3 کی مدد

سے



$$\begin{aligned}
\hat{E}_a &= \hat{V}_{sa} - jX_s \hat{I}_a \\
&= 415 \angle 0^\circ - j2.2 \times 14.056 \angle 36.87^\circ \\
&= 415 + 18.554 - j24.739 \\
&= 433.554 - j24.739 \\
&= 434.26 \angle (-3.266^\circ)
\end{aligned}$$

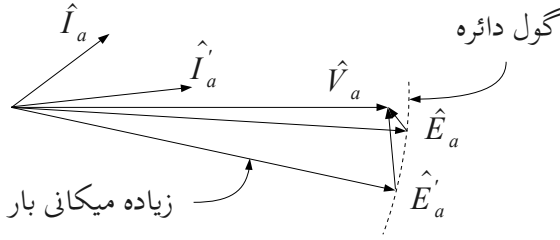
ہوگی۔ یہ شکل 6.16 میں دکھائے گئے ہیں۔



شکل 6.16: بار بردار معاصر موٹر

- میکانی بار بڑھنے سے موٹر کو زیادہ برقی طاقت درکار ہوگی۔ یہ اس صورت ممکن ہوگا جب موٹر کے قوی لچھے کی برقی رو بڑھ سکے۔ میدان برقی رو معین ہونے کی وجہ سے موٹر کی اندرونی ہیجانی برقی دباؤ

$\hat{E}_a$  کی مقدار تبدیل نہیں ہو سکتی البتہ اس کا زاویہ تبدیل ہو سکتا ہے۔ موٹر  $\hat{E}_a$  کی مقدار معین رکھتے ہوئے برقی سروں پر لاگو برقی دباؤ  $\hat{V}_{sa}$  اور  $\hat{E}_a$  کے مابین زاویہ بڑھا کر قوی لچھے کی برقی رو اور یوں حاصل برقی طاقت بڑھائے گا۔ یہ شکل 6.17 میں دکھایا گیا ہے۔



شکل 6.17: بار بڑھنے کا اثر

شکل میں  $\hat{E}_a$  داوری سمتیہ کی نوک گول دائرہ پر رہتی ہے۔ یوں اس کا طول تبدیل نہیں ہوتا۔ زاویہ بڑھنے سے قوی لچھے کی برقی رو کی مقدار بڑھنا صاف ظاہر ہے۔

• دگنی میکانی بار پر موٹر کو کل  $24400 + 800 + 1000 = 26200$  واٹ یا 26.2 کلو واٹ برقی طاقت درکار ہے۔ مساوات 6.29 کی مدد سے

$$\begin{aligned}
\sigma &= \arcsin \left( \frac{PX_s}{3V_a E_a} \right) \\
&= \arcsin \left( \frac{26200 \times 2.2}{3 \times 415 \times 43426} \right) \\
&= 6.12^0
\end{aligned}$$

یوں موٹر کی اندرونی بھیجانی برقی دباؤ

$$434.26 \angle (-6.12^0)$$

بہوگی اور قوی چھڑے کی برقی رو

$$\begin{aligned}
\hat{I}_a &= \frac{\hat{V}_a - \hat{E}_a}{jX_s} \\
&= \frac{415 \angle (0^0) - 434.26 \angle (-6.12^0)}{j2.2} \\
&= 22.384 \angle (19.928^0)
\end{aligned}$$

اس طرح

$$\begin{aligned}
\hat{I}_t &= \sqrt{3} \times \hat{I}_a \\
&= 38.77 \angle (19.928^0)
\end{aligned}$$

اور جزو ضربی طاقت  $\cos 19.928^0 = 0.94$  ہوگا۔ یہ آگے جزو ضربی طاقت  
ہمے۔

---

## 7 امالی مشین

گزشتہ برسوں میں قوی الیکٹرانکس<sup>311</sup> کی میدان میں بہت ترقی ہوئی۔ اس کا ایک نتیجہ یہ نکلا کہ امالی موٹروں کی رفتار پر قابو رکھنا ممکن ہوا اور یوں ان موٹروں نے کارخانوں میں یک سمتی رو موٹروں کی جگہ لینے شروع کی۔ یہاں یہ بتلاتا چلوں کہ اس سے پہلے جہاں بھی موٹر کی رفتار اہمیت رکھتی وہاں یک سمتی رو موٹر ہی استعمال ہوتی جن کی رفتار پر قابو رکھنا نہایت آسان ہوتا ہے۔ پچاس سال پہلے ترقی یافتہ ممالک میں یک سمتی سے امالی آلہ کی جانب تبدیلی شروع تھی۔ آج میں یہی تبدیلی پاکستان میں دیکھ رہا ہوں۔ امالی موٹروں کی مضبوطی اور دیر پا کام کرنے کی صلاحیت مثالی ہے۔ قوی الیکٹرانکس نے ان کی بے قابو رفتار کو قابو کر کے انہیں بلا مقابلہ بنا دیا۔

امالی موٹر ٹرانسفارمر کی ایک اور شکل ہے یا یوں کہنا بہتر ہوگا کہ یہ ایک ایسا ٹرانسفارمر ہے جس میں ثانوی چلھا حرکت بھی کرتا ہے۔ یوں امالی موٹر کے ساکن چلھے ٹرانسفارمر کے ابتدائی چلھے اور موٹر کے گھومتے چلھے ٹرانسفارمر کے ثانوی چلھوں کی جگہ ہوتے ہیں۔ موٹر کے ساکن چلھوں کو بیرونی برقی طاقت دی جاتی ہے جبکہ اس کے گھومتے چلھوں میں خلاء میں گھومتے مقناطیسی موج سے پیدا امالی برقی دباؤ ہی کام آتی ہے۔ اسی سے اس کا نام امالی موٹر نکلا ہے۔

اس باب کا مقصد امالی موٹر کی مساوی دور بنا کر اس کی خصوصیات

---

311 power electronics

پر غور کرنا ہے۔ ہم دیکھیں گے کہ ان کا مساوی دور ٹرانسفارمر کے مساوی دور کی طرح کا ہے۔

یہاں بھی ہم تصور کرتے ہیں کہ موٹر دو قطب اور تین دور کی ہے اور اس کے چھ ستارہ نما جڑے<sup>312</sup> ہیں۔ اس طرح چھوں میں برقی رو، لائن<sup>313</sup> کی برقی رو ہی ہوگی اور ان پر لاگو برقی دباؤ، دوری برقی دباؤ<sup>314</sup> ہوگی۔ ایسا کرنے سے مسئلہ پر غور کرنا آسان ہو جاتا ہے جبکہ نتیجہ کسی بھی موٹر کے لئے درست ہوتا ہے۔

## 7.1 ساکن چھوں کی گھومتی مقناطیسی موج

امالی مشین کے ساکن چھوں بالکل معاصر مشین کے ساکن چھوں کی طرح ہوتے ہیں۔ مزید یہ کہ اس کے گھومتے حصے کے اتنے ہی قطب ہوتے ہیں جتنے اس کے ساکن چھوں کے ہوتے ہیں۔ اگر ان ساکن چھوں کو متوازن تین دور کے برقی رو سے ہیجان کیا جائے تو یہ ایک گھومتے مقناطیسی دباؤ کی موج کو جنم دیں گے جسے مساوات 5.55 میں دکھایا گیا ہے۔ مساوات 5.61 اس موج کی معاصر رفتار دیتی ہے۔ یہ دونوں مساوات یہاں یاد دہانی کے لئے دوبارہ دیئے جاتے ہیں۔ یہاں ساکن چھوں میں برقی رو کی تعدد  $\omega_e$  لکھی گئی ہے اور  $\theta_0$  کو صفر لیا گیا ہے۔

312 star connected (Y-connected)

313 line current

314 phase voltage

$$\tau_s^+(\theta, t) = \frac{3\tau_0}{2} \cos(\theta - \omega_e t) \quad (7.1)$$

$$f_m = \frac{2}{P} f_e$$

## 7.2 مشین کی سرک<sup>315</sup> اور گھومتی موجوں پر تبصرہ

ہم دو قطب کے مشین پر غور کر رہے ہیں۔  $P$  قطب کا تذکرہ بھی بالکل اسی طرح ہے۔ ساکن چلھوں میں تین دور کی برقی رو کی تعدد  $f_e$  ہے۔ مساوات 5.61 کہتا ہے کہ دو قطب کی مشین میں موج کی معاصر رفتار بھی  $f_e$  چکر فی سیکنڈ ہے۔ اب تصور کریں کہ مشین کا گھومتا حصہ  $f$  میکانی چکر فی سیکنڈ سے موج کی سمت میں گھوم رہا ہے جہاں  $f < f_e$ ۔ اس صورت میں ہر سیکنڈ گھومتا حصہ مقناطیسی بہاؤ کی موج سے پیچھے سرک جائے گا۔ اس سرکنے کو موج کی معاصر رفتار کی نسبت سے یوں لکھا جاتا ہے

$$s = \frac{f_s - f}{f_s} \quad (7.2)$$

$$= \frac{f_e - f}{f_e}$$

یہاں  $s$  مشین کے سرک کی ناپ ہے۔ اس مساوات سے حاصل ہوتا ہے

$$\begin{aligned} f &= f_s(1-s) = f_e(1-s) \\ \omega &= \omega_s(1-s) = \omega_e(1-s) \end{aligned} \quad (7.3)$$

یہاں غور کریں۔ مقناطیسی بہاؤ کی موج  $f_e$  زاویاتی رفتار سے گھوم رہی ہے جبکہ گھومتے چلھے کی زاویاتی رفتار  $f$  ہے۔ گھومتے چلھے کے حوالہ سے مقناطیسی بہاؤ کی موج  $(f_e - f)$  رفتار سے گھوم رہی ہے۔ یعنی اگر گھومتے چلھے کو ساکن تصور کیا جائے تو گھومتے مقناطیسی بہاؤ کی موج  $(f_e - f)$  اضافی رفتار سے گھوم رہی ہوگی۔ یوں گھومتے چلھے میں امالی برقی دباؤ کی تعدد بھی  $(f_e - f)$  ہوگی۔ مساوات 7.3 کی مدد سے اس امالی برقی دباؤ کی تعدد  $f_r$  کو یوں لکھا جاسکتا ہے

$$f_r = f_e - f = f_e - f_e(1-s) = s f_e \quad (7.4)$$

اگر مشین کو ایک امالی موٹر کے طور پر استعمال کیا جا رہا ہو تو اس کے گھومتے چلھے کسر دور رکھے جاتے ہیں۔ یوں ان چلھوں میں برقی رو کی تعدد  $s f_e$  اور ان کی مقدار چلھوں میں پیدا امالی برقی دباؤ اور چلھوں کی مقاومت پر منحصر ہوتی ہے۔ چلھوں کی مقاومت برقی رو کی تعدد پر منحصر ہوتی ہے۔

ساکن موٹر جب چالو کی جائے تو اس کی سرک  $s$  ایک ہوتی ہے اور



یوں اس کے گھومتے چلھوں میں برقی رو کی تعدد  $f_e$  ہوتی ہے۔ گھومتے چلھوں میں  $f_e$  تعدد کی برقی رو ایک گھومتی مقناطیسی دباؤ کی موج کو جنم دے گی جو معاصر رفتار سے گھومے گی۔ یہ بالکل اسی طرح ہے جیسے ساکن چلھوں میں برقی رو سے گھومتا مقناطیسی دباؤ کا موج وجود میں آتا ہے۔ لہذا ساکن اور گھومتے چلھے دونوں کے گھومتے مقناطیسی دباؤ کے موج ایک ہی رفتار سے گھومتے ہیں۔ یہ دو مقناطیسی دباؤ کی موجیں دو گھومتے مقناطیسوں کی طرح یہی جو کوشش کریں گے کہ ان کے مابین زاویہ صفر ہو۔ یوں موٹر مروڑ<sup>316</sup> پیدا ہوتا ہے جس کا حساب مساوات 5.101 سے لگایا جا سکتا ہے۔ اگر موٹر کے ڈھرے پر لدھے بار کو مشین کا پیدا کردا مروڑ گھما سکے تو مشین گھومے گی۔ اس کی رفتار تیز ہو کر ایک برقرار حد تک پہنچ جائے گی۔ امالی موٹر کی رفتار کبھی بھی معاصر رفتار تک نہیں پہنچ سکتی چونکہ اس رفتار پر اس کے گھومتے چلھوں کی نسبت سے ساکن چلھوں کی گھومتی مقناطیسی دباؤ کی موج ساکن ہوگی اور گھومتے چلھوں میں کوئی امالی برقی دباؤ پیدا نہیں ہوگا۔

$$f + s f_e = f + f_e - f = f_e \quad (7.5)$$

یہ ایک بہت اہم نتیجہ ہے۔ یہ مساوات کہتا ہے کہ موثر کسی بھی رفتار سے گھوم رہی ہو، گھومتے چھوٹے لچھوٹے پیدا مقناطیسی دباؤ کی موج ساکن لچھوٹے پیدا مقناطیسی دباؤ کی موج کی رفتار سے ہی گھومتی ہے۔

مثال 7.1:

ایک چار قطب کی ستارا جڑی 50 ہرٹز 415 وولٹ پر چلنے والی امالی موثر 15 کلو واٹ کی اپنی پوری بار پر پانچ فی صد سرک پر چلتی ہے۔

- اس موثر کی معاصر رفتار کیا ہے
- پورے بار پر اس کی کیا رفتار ہے
- پورے بار پر گھومتے لچھے میں برقی تعداد ارتعاش کیا ہے
- پورے بار سے لدے موثر کی دھرمے پر مروڑ حاصل کریں

حل:

$$f_m = \frac{2}{P} f_e = \frac{2}{4} \times 50 = 25 \quad \text{مساوات 7.1 کی مدد سے معاصر رفتار}$$

چکر فی سیکنڈ یا  $25 \times 60 = 1500$  چکر فی منٹ ہے۔

- پورے بار سے لدا موثر پانچ فی صد سرک پر چلتا ہے لہذا اس کی رفتار

معاصر رفتار سے قدر کم ہوگی۔ موٹر کی رفتار مساوات 7.3 کی مدد سے  
 $f = f_s(1-s) = 25 \times (1-0.05) = 23.75$  چکر فی سیکنڈ یا  
 $23.75 \times 60 = 1425$  چکر فی منٹ ہوگی۔

• گھومتے چھری کی برقی تعداد ارتعاش  $f_r = s f_e = 0.05 \times 50 = 2.5$  ہرٹز ہے۔

• اس کے دھری پر مروڑ  $\tau = \frac{P}{\omega_m} = \frac{15000}{2 \times \pi \times 23.75} = 100.5 \text{ N}\cdot\text{m}$  ہوگی۔

### 7.3 ساکن لچھوں میں امالی برقی دباؤ

مساوات 7.1 کا پہلا جُز ساکن لچھوں کی پیدا کردہ مقناطیسی دباؤ کی  
 موج کو ظاہر کرتی ہے۔ یہ مقناطیسی دباؤ مشین کی خلائی درز میں مقناطیسی  
 شدت  $H^+(\theta)$  پیدا کرے گی جس سے وہاں کثافتِ مقناطیس بہاؤ  $B^+(\theta)$   
 پیدا ہوگا۔ اگر اس خلائی درز کی رداس کی سمت میں لمبائی  $l_g$  ہو تو

$$\begin{aligned} B^+(\theta) &= \mu_0 H^+(\theta) = \frac{\mu_0 \tau^+(\theta)}{l_g} \\ &= \frac{3 \mu_0 \tau_0}{2 l_g} \cos(\theta - \omega_e t) \\ &= B_0 \cos(\theta - \omega_e t) \end{aligned} \quad (7.6)$$

یہ مساوات بالکل مساوات 5.72 کی طرح ہے۔ یوں مساوات 5.82 اس مقناطیسی موج  $B^+(\theta)$  کی ساکن چلہوں میں پیدا کردہ امالی برقی دباؤ کو ظاہر کرے گی۔ یہ مساوات یہاں دوبارہ دیا جا رہا ہے۔

$$\begin{aligned} e_{as}(t) &= \omega_e N_s \phi_0 \cos(\omega_e t - 90^\circ) = E_s \cos(\omega_e t - 90^\circ) \\ e_{bs}(t) &= \omega_e N_s \phi_0 \cos(\omega_e t + 150^\circ) = E_s \cos(\omega_e t + 150^\circ) \\ e_{cs}(t) &= \omega_e N_s \phi_0 \cos(\omega_e t + 30^\circ) = E_s \cos(\omega_e t + 30^\circ) \end{aligned} \quad (7.7)$$

$N_s$  ساکن چلھے کے چکر ہیں اور

$$E_s = \omega_e N_s \phi_0 \quad (7.8)$$

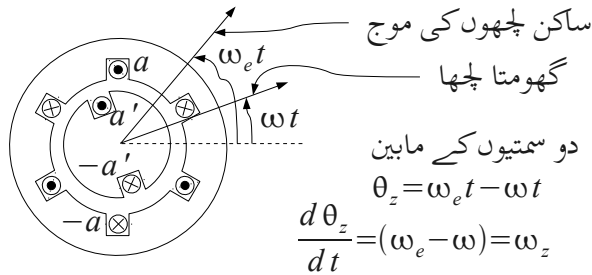
یہاں  $e_{as}(t)$  لکھنے میں چھوٹے حروف میمی  $a$ ، دور کو ظاہر کرتا ہے اور  $s$ <sup>317</sup>، ساکن کو ظاہر کرتا ہے یعنی یہ ساکن  $a$  دور کی چلھے کی امالی برقی دباؤ ہے۔ امالی موٹر کے دور  $a$  کی بات ہی آگے کرتے ہیں۔ گھومتی مقناطیسی دباؤ کی موج اس دور کی چلھے میں امالی برقی دباؤ  $e_{as}(t)$  پیدا کرتی ہے۔

---

317  $s$  لفظ ساکن کے پہلے حرف  $s$  کو ظاہر کرتا ہے

## 7.4 ساکن چھوٹی موج کا گھومتے چھوٹی کے ساتھ اضافی رفتار اور ان میں پیدا امالی برقی دباؤ

مساوات 7.1 کا پہلا جُز، ساکن چھوٹی کی پیدا کردہ، گھومتے مقناطیسی دباؤ کی موج کو ظاہر کرتا ہے۔ اس موج کا فراز<sup>318</sup> اس مقام پر ہوتا ہے جہاں  $(\theta - \omega_e t)$  صفر کے برابر ہو۔ یوں لمحہ صفر پر اس کا فراز صفر زاویہ پر ہوگا اور لمحہ  $t$  پر اس موج کا فراز زاویہ  $\omega_e t$  پر ہوگا۔ ساکن چھوٹی کی مقناطیسی دباؤ کی موج کا زاویہ کسی بھی نقطہ کے حوالے سے کیا جا سکتا ہے۔ اس کتاب میں صفر زاویہ ساکن چھوٹی  $a$  کو لیا جاتا ہے۔ اس طرح یہ زاویہ نقطہ دار افقی لکیر سے ناپا جاتا ہے۔ شکل 7.1 میں ایسا ہی دکھایا گیا ہے۔ اس شکل میں ایک امالی موثر دکھائی گئی ہے جس کے تین دوری ساکن چھوٹی ہیں۔



شکل 7.1: امالی موثر اور اس کے گھومتے مقناطیسی دباؤ کی موجیں

گھومتے چھہ بھی بالکل اسی طرح ہوتے ہیں اگرچہ شکل میں صرف ایک ہی گھومتا چھا دکھایا گیا ہے۔ مشین  $f$  زاویاتی رفتار سے گھوم رہی ہے۔ تصور کریں کہ لمحہ صفر یعنی  $t=0$  پر گھومتے حصہ کا  $a$  چھا صفر زاویہ پر ہے، یعنی یہ نقطہ دار افقی لکیر پر ہے مزید یہ کہ اس لمحہ ساکن چھوں کی گھومتی مقناطیسی دباؤ کی موج بھی اسی افقی لکیر پر ہے۔ اب کچھ دیر بعد لمحہ  $t$  پر یہ موج زاویہ  $\omega_e t$  پر ہوگی۔ اتنی دیر میں گھومتا حصہ گھوم کر زاویہ  $\omega t$  تک پہنچ جائے گا جہاں  $\omega = 2\pi f$  مشین کی زاویاتی رفتار ہے۔ یہ سب شکل میں دکھایا گیا ہے۔ لہذا لمحہ  $t$  پر موج اور گھومتے چھہ کے درمیان زاویہ  $\theta_z$  یہ ہوگا

$$\theta_z = (\omega_e t - \omega t) \quad (7.9)$$

اگرچہ مقناطیسی موج نے  $\omega_e t$  زاویہ طے کیا لیکن گھومتے چھہ کے حوالے سے اس نے صرف  $(\omega_e t - \omega t)$  زاویہ طے کیا۔ اسی طرح گھومتے چھہ کے حوالے سے اس موج کی اضافی زاویاتی رفتار <sup>319</sup>  $\omega_z$  <sup>320</sup> یہ ہوگی

$$\omega_z = \frac{d\theta_z}{dt} = (\omega_e - \omega) \quad (7.10)$$

---

319 relative angular speed

320 یہاں  $z$  لفظ اضافی کے ض کو ظاہر کرتا ہے

اس کو مساوات 7.4 کی مدد سے یوں لکھ سکتے ہیں

$$\omega_z = 2\pi(f_e - f) = 2\pi s f_e = s \omega_e \quad (7.11)$$

یہ مساوات کہتا ہے کہ گھومتے پلچھے کے حوالے سے مقناطیسی موج کی رفتار سرک  $s$  پر منحصر ہے۔ اس موج کا حیط البتہ تبدیل نہیں ہوا۔ اس طرح گھومتے پلچھے کے حوالے سے مقناطیسی موج کی مساوات جو کہ مساوات 7.4 میں دی گئی ہے تبدیل ہو کر یہ بن جائے گی

$$\begin{aligned} B_{s,rz}^+(\theta, t) &= B_0 \cos(\theta - \omega_z t) \\ &= B_0 \cos(\theta - s \omega_e t) \end{aligned} \quad (7.12)$$

$B_{s,r}^+$  میں + کا نشان گھڑی کی اُلٹی سمت گھومتی موج کو ظاہر کرتا ہے جبکہ چھوٹی لکھائی میں  $s, rz$ <sup>321</sup> اس بات کی یاد دہانی کرتا ہے کہ یہ موج ساکن پلچھوں کی وجہ سے وجود میں آیا اور اسے گھومتے یعنی رواں پلچھوں کے حوالے سے دیکھا جا رہا ہے۔ مزید یہ کہ اس مساوات کی تعدد اضافی تعدد  $s \omega_e$  کے برابر ہے۔

---

321  $s$  لفظ ساکن کے س کو ظاہر کرتا ہے،  $r$  لفظ رواں کے ر کو ظاہر کرتا ہے اور  $z$  لفظ اضافی کے ض کو ظاہر کرتا ہے

یوں گھومتے چھوٹے چھوٹے دباؤ مساوات 7.7 کی طرح ہی ہوگی مگر ان کی تعدد  $\omega_z = s\omega_e$  ہوگی یعنی<sup>322</sup>

$$\begin{aligned} e_{arz}(t) &= s\omega_e N_r \Phi_0 \cos(s\omega_e t - 90^\circ) = sE_r \cos(s\omega_e t - 90^\circ) \\ e_{brz}(t) &= s\omega_e N_r \Phi_0 \cos(s\omega_e t + 150^\circ) = sE_r \cos(s\omega_e t + 150^\circ) \\ e_{crz}(t) &= s\omega_e N_r \Phi_0 \cos(s\omega_e t + 30^\circ) = sE_r \cos(\omega_e t + 30^\circ) \end{aligned} \quad (7.13)$$

ان مساوات میں  $N_r$  گھومتے چھوٹے چکر ہیں اور

$$E_r = \omega_e N_r \Phi_0 \quad (7.14)$$

اب تصور کریں کہ گھومتے چھوٹے کو کسر دور کر دیا گیا ہے۔ یہ امالی برقی دباؤ گھومتے چھوٹے میں برقی رو  $i_{arz}$ <sup>323</sup> وغیرہ پیدا کرے گی جس کی تعدد  $s\omega_e$  ہوگی۔ بالکل ساکن چھوٹے کی طرح، گھومتے چھوٹے کی مزاحمت  $R_r$ <sup>324</sup> اور اس کی امالہ  $L_r$  ہوگی جس کی متعاملیت  $j s\omega_e L_r$  ہوگی۔ اسے ہم یوں لکھ سکتے ہیں

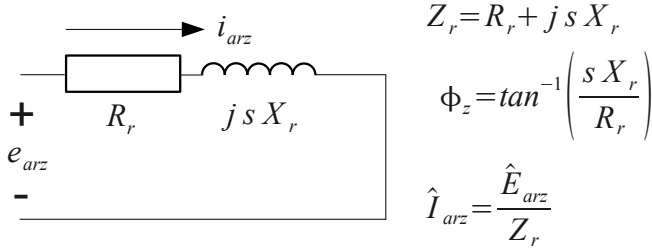
322  $e_{arz}(t)$  میں دور  $a$  ہے۔  $r$  گھومتے چھوٹے کو اور  $z$  اضافی کو ظاہر کرتا ہے  
323 یہاں  $r$  گھومتے چھوٹے کو ظاہر کرتا ہے اور  $z$  اس بات کی یاد دہیانی کرتا ہے کہ اس برقی رو کی تعدد، اضافی تعدد ہے۔

324 ٹرانسفارمر کی استلا میں ثانوی چھوٹے کے متغیر کو 2 سے ظاہر کرتے ہیں



$$j s \omega_e L_r = s j X_r \quad (7.15)$$

جہاں  $j X_r$  کو  $j \omega_e L_r$  کے برابر لیا گیا ہے، یعنی  $j X_r$  اس چھڑے کی ساکن حالت میں متعاملیت ہے جب سرک ایک کے برابر ہو۔ گھومتے چھڑوں میں برقی رو  $i_{arz}$  شکل 7.2 کی مدد سے حاصل کی جا سکتی ہے جہاں گھومتے چھڑے میں امالی برقی دباؤ  $e_{arz}(t)$  مساوات 7.13 میں دیئے گئے ہیں۔



$$i_{arz}(t) = \frac{s E_r}{|Z_r|} \cos(s \omega_e t - 90^\circ - \phi_z) = I_{0r} \cos(s \omega_e t - 90^\circ - \phi_z)$$

شکل 7.2: گھومتے چھڑے کی مساوی دور اور اس میں اضافی تعدد کی رو

یہ شکل بالکل شکل 1.14 کی طرح ہے لہذا مساوات 1.59 اس میں برقی رو دیے گئی

$$\begin{aligned}
i_{arz}(t) &= \frac{s E_r}{\sqrt{R_r^2 + s^2 X_r^2}} \cos(s \omega_e t - 90^0 - \phi_z) \\
&= I_{0r} \cos(s \omega_e t + \theta_0) \\
i_{brz}(t) &= \frac{s E_r}{\sqrt{R_r^2 + s^2 X_r^2}} \cos(s \omega_e t + 150^0 - \phi_z) \\
&= I_{0r} \cos(s \omega_e t - 120^0 + \theta_0) \\
i_{crz}(t) &= \frac{s E_r}{\sqrt{R_r^2 + s^2 X_r^2}} \cos(s \omega_e t + 30^0 - \phi_z) \\
&= I_{0r} \cos(s \omega_e t + 120^0 + \theta_0)
\end{aligned} \tag{7.16}$$

یہ تین دور کے برقی رو ہیں جو آپس میں  $120^0$  کا زاویہ رکھتے ہیں۔ یہاں  $\phi_z$  مقاومت کا زاویہ ہے۔ امید کی جاتی ہے کہ اسے آپ مقناطیسی بہاؤ نہی سمجھیں گے۔ یہاں

$$\begin{aligned}
\theta_0 &= (-90^0 - \phi_z) \\
I_{0r} &= \frac{s E_r}{\sqrt{R_r^2 + s^2 X_r^2}}
\end{aligned} \tag{7.17}$$

شکل 7.2 سے واضح ہے کہ ایک گھومتے چھڑے کی مزاحمت میں

---

325 تکنیکی دنیا میں مقاومت کے زاویہ کے لئے  $\phi_z$  استعمال ہوتا ہے۔ یہاں یہی کیا گیا ہے

$$P_{rhl} = I_{0r}^2 R_r \quad (7.18)$$

$P_{rhl}$  <sup>326</sup> برقی طاقت کا ضیاع ہو گا۔ یہ طاقت حرارت میں تبدیل ہو کر اس مزاحمت کو گرم کرے گی۔ یہاں دھیان رہے کہ  $P_{rhl}$  طاقت کو ظاہر کرتا ہے نہ کہ مقناطیسی قطبین کو۔

## 7.5 گھومتے چھوٹی گھومتی مقناطیسی دباؤ کی موج

ہم جانتے ہیں کہ ساکن تین دور چھوٹی میں  $f_e$  تعدد کی برقی رو گھومتے مقناطیسی دباؤ کی موج کو جنم دیتی ہے جو اس ساکن چھوٹے کے حوالے سے  $f_e$  معاصر زاویاتی رفتار سے گھومتی ہے۔ اسی طرح گھومتے تین دور چھوٹی میں  $s f_e$  تعدد کی برقی رو ایک گھومتی مقناطیسی دباؤ کی موج  $\tau_{rz}^+$  کو جنم دیتی ہے جو اس گھومتے چھوٹے کے حوالے سے  $s f_e$  زاویاتی رفتار سے گھومتی ہے۔

$$\tau_{rz}^+(\theta, t) = k_w \frac{4}{\pi} \frac{N_r I_{0r}}{2} \cos(\theta - s \omega_e t - \theta_0) \quad (7.19)$$

یہاں  $I_{0r}$  اور  $\theta_0$  مساوات 7.17 میں دیئے گئے ہیں۔ اب چونکہ گھومتا چھوٹا از

---

<sup>326</sup>  $P_{rhl}$  میں  $r$  گھومتے چھوٹا،  $h$  حرارت اور 1 ایک چھوٹے کو ظاہر کرتے ہیں

خود  $f$  زاویاتی رفتار سے گھوم رہا ہے لہذا اس کی پیدا کردہ مقناطیسی دباؤ کی موج خلاء میں  $(f + s f_e)$  زاویاتی رفتار سے گھومتی ہے۔ اس رفتار کو مساوات 7.3 کی مدد سے یوں لکھ سکتے ہیں

$$f + s f_e = f_e(1 - s) + s f_e = f_e \quad (7.20)$$

لہذا گھومتے چھوٹی چھوٹی مقناطیسی دباؤ کی موج کو ساکن چھوٹی کے حوالے سے یوں لکھا جا سکتا ہے

$$\tau_{r,s}^+(\theta, t) = k_w \frac{4}{\pi} \frac{N_r I_{0r}}{2} \cos(\theta - \omega_e t - \theta_0) \quad (7.21)$$

$\tau_{r,s}^+$  میں + کا نشان گھڑی کی اُلٹی سمت گھومتی موج کو ظاہر کرتا ہے جبکہ چھوٹی لکھائی میں  $r, s$  اس بات کی وضاحت کرتا ہے کہ یہ موج گھومتے یعنی رواں چھوٹی کی وجہ سے وجود میں آیا ہے مگر اسے ساکن چھوٹی کے حوالے سے دیکھا جا رہا ہے۔

یہاں وقفہ لے کر ذرا غور کرتے ہیں۔ مساوات 7.21 کے مطابق گھومتا چھوٹی خود کسی بھی رفتار سے گھوم رہا ہو، اس کی پیدا کردہ گھومتی مقناطیسی دباؤ کی موج ساکن چھوٹی کے پیدا کردہ موج کی رفتار سے ہی گھومے گی۔ لہذا مشین میں دو گھومتی مقناطیسی دباؤ کی موجیں ہیں جو ایک ہی معاصر رفتار سے گھوم رہی

ہیں۔ مساوات 5.100 میں کہا گیا ہے کہ دو مقناطیسی دباؤ کی موجودگی پیدا کرتی ہیں جو ان کے مابین زاویہ پر منحصر ہے۔ لہذا امالی مشین میں موجود دو مقناطیسی موجیں پیدا کرتی ہیں اور اس کی مقدار ان دو موجوں کے مابین زاویہ پر منحصر ہوتی ہے۔ امالی موٹر اس پر لدے بار کے مطابق ان دو موجوں کے مابین زاویہ رکھتی ہے اور یوں درکار پیدا کرتی ہے۔

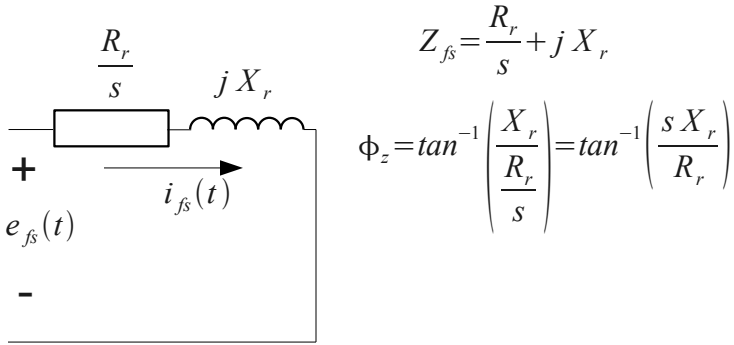
## 7.6 گھومتے چھوٹے کے مساوی فرضی ساکن چھوٹے

اب دوبارہ اصل موضوع پر آتے ہیں۔ اگر گھومتے چھوٹے کی جگہ  $N_r$  چکر کے تین دور کے فرضی ساکن چھوٹے ہوں تو مساوات 7.7 کی طرح ان میں امالی برقی دباؤ پیدا ہوگی یعنی<sup>327</sup>

$$\begin{aligned} e_{afs}(t) &= \omega_e N_r \phi_0 \cos(\omega_e t - 90^\circ) = E_r \cos(\omega_e t - 90^\circ) \\ e_{bfs}(t) &= \omega_e N_r \phi_0 \cos(\omega_e t + 150^\circ) = E_r \cos(\omega_e t + 150^\circ) \\ e_{cfs}(t) &= \omega_e N_r \phi_0 \cos(\omega_e t + 30^\circ) = E_r \cos(\omega_e t + 30^\circ) \end{aligned} \quad (7.22)$$

---

327 اس مساوات میں چھوٹی لکھائی میں  $f$  لفظ فرضی کے ف کو ظاہر کرتا ہے



شکل 7.3: گھومتے پلھوں کی جگہ فرضی ساکن پلھے کی دور

مزید فرض کریں کہ ان فرضی ساکن پلھوں کی مزاحمت  $R_r/s$  اور متعاملیت  $jX_r$  ہے یعنی

$$Z_{fs} = \frac{R_r}{s} + jX_r \quad (7.23)$$

۔ اگر ان پر مساوات 7.22 میں دیئے گئے برقی دباؤ لاگو کی جائے جیسے شکل 7.3 میں دکھایا گیا ہے تو ان میں برقی رو یہ ہو گی۔

$$\begin{aligned}
i_{afs}(t) &= \frac{E_r}{\sqrt{\frac{R^2}{s^2} + X^2}} \cos(\omega_e t - 90^\circ - \phi_z) \\
&= I_{0r} \cos(\omega_e t + \theta_0) \\
i_{bfs}(t) &= \frac{E_r}{\sqrt{\frac{R^2}{s^2} + X^2}} \cos(\omega_e t + 150^\circ - \phi_z) \\
&= I_{0r} \cos(\omega_e t - 120^\circ + \theta_0) \\
i_{cfs}(t) &= \frac{E_r}{\sqrt{\frac{R^2}{s^2} + X^2}} \cos(\omega_e t + 30^\circ - \phi_z) \\
&= I_{0r} \cos(\omega_e t + 120^\circ + \theta_0)
\end{aligned} \tag{7.24}$$

یہاں مساوات 7.17 استعمال کی گئی ہے۔ اس مساوات میں دھیان رہے کہ  
مقاومت کا زاویہ  $\phi_z$  وہی ہے جو گھومتے چلنے کا تھا یعنی

$$\phi_{fz} = \tan^{-1} \left( \frac{X}{\left( \frac{R}{s} \right)} \right) = \tan^{-1} \left( \frac{sX}{R} \right) = \phi_z \tag{7.25}$$

ان برقی رو کی تعدد  $\omega_e$  ہے اور ان کا پیدا کردہ گھومتا مقناطیسی موج یہ ہوگا

$$\tau_{fs,s}^+(\theta, t) = k_w \frac{4}{\pi} \frac{N_r I_{0r}}{2} \cos(\theta - \omega_e t - \theta_0) \quad (7.26)$$

یہ مقناطیسی موج ہو ہو گھومتے چھہ کی موج  $\tau_{r,s}^+(\theta, t)$  ہے ۔

## 7.7 امالی موٹر کا مساوی برقی دور

ہم ٹرانسفارمر کی ابتدائی جانب چھہ کی برقی دور پہلے بنا چکے ہیں جہاں چھہ کی مزاحمت  $R_1$  اور اس کی رستا متعاملیت  $j X_1$ <sup>328</sup> تھی۔ ٹرانسفارمر کے مرکز<sup>329</sup> میں وقت کے ساتھ بدلتی مقناطیسی بہاؤ اس چھہ میں امالی برقی دباؤ  $\hat{E}_1$  پیدا کرتی۔ یوں

$$\hat{V}_1 = \hat{I}_1 (R_1 + j X_1) + \hat{E}_1 \quad (7.27)$$

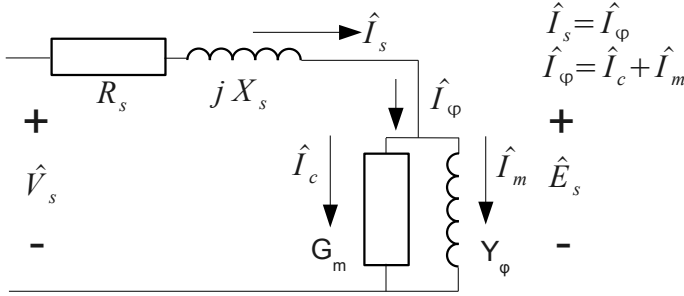
جہاں  $\hat{V}_1$  ابتدائی چھہ پر لاگو بیرونی برقی دباؤ ہے۔ ہم دیکھیں گے کہ امالی موٹر کے ساکن چھہ کے لئے بھی یہی مساوات حاصل ہوگی۔

---

328 leakage reactance

329 core





شکل 7.4: مالی موثر کے ساکن چھوٹے مساوی برقی دور

تصور کریں کہ مشین کے گھومتے چھوٹے کھلے دور ہیں اور اس کے ساکن چھوٹے پر تین دوری برقی دباؤ لاگو ہے۔ اس صورت میں ساکن چھوٹے میں رواں برقی رو ایک گھومتے مقناطیسی دباؤ کی موج  $\tau_s^+(\theta, t)$  پیدا کرے گی جو مساوات 7.1 میں دی گئی ہے۔

باب کے اس حصہ میں ہم مشین کے ایک دور کو مدِ نظر رکھیں گے، مثلاً دور  $a$  - یہاں شکل 7.4 سے رجوع کریں۔ اگر ساکن چھوٹے کی مزاحمت  $R_s$  اور متعاملیت  $jX_s$  ہو اور اس پر لاگو بیرونی برقی دباؤ  $v_s(t)$  ہو تو کرچوف<sup>330</sup> کے برقی دباؤ کے قانون کے تحت

330 Kirchoff's voltage law

$$v_s(t) = i_s R_s + L_s \frac{di_s}{dt} + e_s(t) \quad (7.28)$$

$e_s(t)$  مساوات 7.7 میں دی گئی اس موج کی ساکن چلھے میں پیدا امالی برقی دباؤ ہے۔ اسی کو دوری سمتیہ کے طور پر یوں لکھ سکتے ہیں

$$\hat{V}_s = \hat{I}_s (R_s + j X_s) + \hat{E}_s \quad (7.29)$$

ٹرانسفارمر کی مثال آگے بڑھاتے ہیں۔ اگر موٹر کا گھومتا چلھا کھلا برقی دور<sup>331</sup> رکھا جائے تو مرکز میں ایک ہی گھومتی مقناطیسی دباؤ کی موج  $\tau_s^+(\theta, t)$  ہوگی۔ ساکن چلھے میں صرف برقی رو  $\hat{I}_\varphi$  ہوگا جو مرکز<sup>332</sup> میں مقناطیسی بہاؤ  $\varphi_s$  کو جنم دے گی۔ یہ برقی رو  $\hat{I}_\varphi$  غیر سائن نما ہوتی ہے۔ فورئیر تسلسل<sup>333</sup> سے اس کے بنیادی جُز اور ہارمونی جُز معلوم کئے جا سکتے ہیں۔ اس کے بنیادی جُز کے دو حصے ہوتے ہیں۔ ایک حصہ  $\hat{I}_c$ ، لاگو بیرونی برقی دباؤ  $\hat{V}_s$  کے ہم دور ہوتا ہے اور یہ مرکز میں طاقت کے ضیاع کو ظاہر کرتا ہے اور دوسرا حصہ  $\hat{V}_s$  سے نوے درجہ پیچھے زاویہ پر رہتا ہے۔  $\hat{I}_\varphi$  میں سے  $\hat{I}_c$  منفی کر کے بقایا کو مقناطیسی جُز  $\hat{I}_m$  کہتے ہیں۔ یوں مقناطیسی

331 open circuited

332 core

333 Fourier series

جُز بنیادی جُز کے پیچھے حصے اور باقی سارے ہارمونی جُز کے مجموعے پر مشتمل ہوتا ہے اور یہ مرکز میں مقناطیسی بہاؤ  $\Phi_s$  پیدا کرتا ہے۔

$$\hat{I}_\varphi = \hat{I}_c + \hat{I}_m \quad (7.30)$$

امالی موثر کے مساوی دور میخی  $\hat{I}_c$  کو مزاحمت  $R_c$  سے اور  $\hat{I}_m$  کو  $j X_\varphi$  سے ظاہر کیا جاتا ہے۔ ان دونوں کا حساب چلتے موثر میخی متوقع برقی تعدد اور امالی برقی دباؤ  $\hat{E}_s$  پر کیا جاتا ہے یعنی

$$R_c = \frac{\hat{E}_s}{\hat{I}_c} = \frac{E_s}{I_c} \quad (7.31)$$

$$X_\varphi = \frac{|\hat{E}_s|}{|\hat{I}_m|} = \frac{E_s}{I_m}$$

مقناطیسی دباؤ کی موج  $\tau_s^+(\theta, t)$  گھومتے چلھے میخی بھی امالی برقی دباؤ پیدا کرے گی۔ مساوات 7.29 میں اگر مقاومت میخی برقی دباؤ کے گھٹنے کو نظر انداز کیا جائے تو لاگو بیرونی برقی دباؤ اور چلھے کی اندرونی امالی برقی دباؤ ہر حالت میخی برابر ہوں گے۔ اب تصور کریں کہ گھومتے چلھے کسر دور کر دیے جائیں۔ ایسا کرتے ہی ان میں برقی رو گزرنے لگے گا جو مقناطیسی دباؤ کی موج  $\tau_{r,s}^+(\theta, t)$  جو مساوات 7.21 میخی دی گئی ہے کو جنم دے گی۔ اس موج

سے ساکن چلھے میں امالی برقی دباؤ  $\hat{E}_s$  تبدیل ہو جائے گی اور یوں یہ لاگو برقی دباؤ کے برابر نہیں رہے گی۔ یہ ایک نا ممکنہ صورتِ حال ہے۔

ساکن چلھے میں امالی برقی دباؤ، لاگو برقی دباؤ کے برابر تب رہے گی کہ مرکز میں مقناطیسی دباؤ تبدیل نہ ہو۔ مشین کے مرکز میں مقناطیسی دباؤ برقرار یوں رہتی ہے کہ ساکن چلھے  $\tau_{r,s}^+(\theta, t)$  مقناطیسی دباؤ کی موج کی متضاد مقناطیسی دباؤ کی ایک موج پیدا کرتی ہے جو اس کے اثر کو مکمل طور پر ختم کر دیتی ہے۔ یہ موج پیدا کرنے کے لئے ساکن چلھوں میں برقی رو  $\hat{I}_\phi$  سے بڑھ کر  $(\hat{I}_\phi + \hat{I}_r)$  ہو جاتی ہے جہاں یہ اضافی برقی رو یہ ہے

$$\begin{aligned} i'_{ar}(t) &= I'_{0r} \cos(\omega_e t + \theta_0) \\ i'_{br}(t) &= I'_{0r} \cos(\omega_e t - 120^\circ + \theta_0) \\ i'_{cr}(t) &= I'_{0r} \cos(\omega_e t + 120^\circ + \theta_0) \end{aligned} \quad (7.32)$$

ان اضافی برقی رو کی متضاد مقناطیسی دباؤ کی موج یہ ہے

$$\tau_{(r)}^+(\theta, t) = k_w \frac{4}{\pi} \frac{N_s I'_{0r}}{2} \cos(\theta - \omega_e t - \theta_0) \quad (7.33)$$

ساکن چلھوں میں اضافی برقی رو نے ہر لمحہ گھومتے چلھوں کی برقی رو کے اثر کو

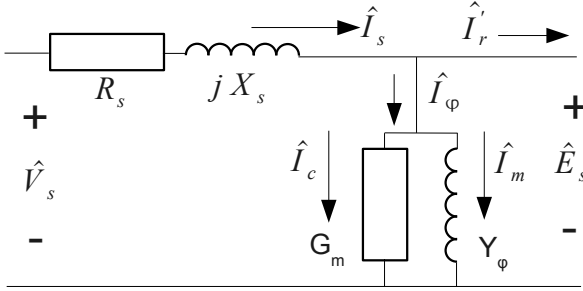
ختم کرنا ہے لہذا یہ دونوں برقی رو ہم دور<sup>334</sup> ہی ہوں گے۔ چونکہ یہ مساوات اور مساوات 7.21 برابر ہیں لہذا ان سے حاصل ہوتا ہے

$$\begin{aligned}
 N_s I'_{0r} &= N_r I_{0r} \\
 I'_{0r} &= \left( \frac{N_r}{N_s} \right) I_{0r} \\
 &= \left( \frac{N_r}{N_s} \right) \frac{s E_r}{\sqrt{R_r^2 + s^2 X_r^2}}
 \end{aligned} \tag{7.34}$$

آپ نے دیکھا کہ گھومتے چھڑے مقناطیسی دباؤ کی موج پیدا کرتے ہیں جن کے ذریعہ ساکن چھڑوں کو معلوم ہوتا ہے کہ موٹر پر بار لدا ہوا ہے اور وہ اس کے مطابق لاگو برقی دباؤ سے برقی رو لیتی ہیں۔ یہاں تک امالی موٹر کی مساوی برقی دور شکل 7.5 میں دکھائی گئی ہے۔

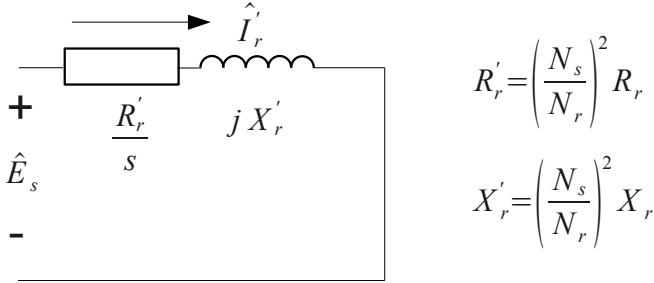
---

334 in-phase



شکل 7.5: مساوی دور اضافی برقی روکے ساتھ

یہاں ذرہ شکل 7.6 سے رجوع کریں۔ اس شکل میں



$$i'_a = \frac{s E_s}{\sqrt{R_r'^2 + s^2 X_r'^2}} \cos(\omega_e t - \theta_0 - \phi_z)$$

شکل 7.6: گھومتے لچھے کا ایک اور مساوی دور

$$\begin{aligned}
 R'_r &= \left( \frac{N_s}{N_r} \right)^2 R_r \\
 X'_r &= \left( \frac{N_s}{N_r} \right)^2 X_r
 \end{aligned}
 \tag{7.35}$$

پر ساکن چلھوں کی امالی برقی دباؤ  $\hat{E}_s$  لاگو ہے لہذا ان میں برقی رویہ ہوگی

$$\begin{aligned}
 i'_a(t) &= \frac{s E_s}{\sqrt{R_r'^2 + s^2 X_r'^2}} \cos(\omega_e t - 90^\circ - \phi_z) \\
 i'_b(t) &= \frac{s E_s}{\sqrt{R_r'^2 + s^2 X_r'^2}} \cos(\omega_e t + 150^\circ - \phi_z) \\
 i'_c(t) &= \frac{s E_s}{\sqrt{R_r'^2 + s^2 X_r'^2}} \cos(\omega_e t + 30^\circ - \phi_z)
 \end{aligned}
 \tag{7.36}$$

ان سب مساوات کا حیطہ برابر ہے۔ اگر ہم اس حیطہ میمی مساوات 7.8 اور مساوات استعمال کریں تو ملتا ہے

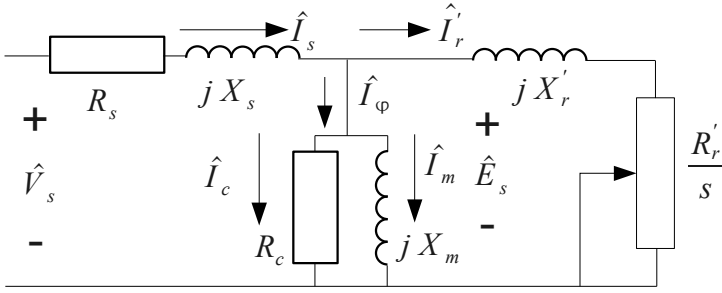
$$\begin{aligned}
\frac{s E_s}{\sqrt{R_r'^2 + s^2 X_r'^2}} &= \frac{s \omega_e N_s \Phi_0}{\left(\frac{N_s}{N_r}\right)^2 \sqrt{R_r'^2 + s^2 X_r'^2}} \\
&= \left(\frac{N_r}{N_s}\right) \frac{s \omega_e N_r \Phi_0}{\sqrt{R_r'^2 + s^2 X_r'^2}} \\
&= \left(\frac{N_r}{N_s}\right) I_{0r} = I_{0r}'
\end{aligned} \tag{7.37}$$

لہذا مساوات 7.36 اس طرح لکھا جاسکتا ہے

$$\begin{aligned}
i_a'(t) &= I_{0r}' \cos(\omega_e t - 90^\circ - \phi_z) \\
i_b'(t) &= I_{0r}' \cos(\omega_e t + 150^\circ - \phi_z) \\
i_c'(t) &= I_{0r}' \cos(\omega_e t + 30^\circ - \phi_z)
\end{aligned} \tag{7.38}$$

یہ مساوات بالکل مساوات 7.32 کی طرح ہے۔ لہذا اگر شکل 7.5 میں ساکن چلھوں کی امالی برقی دباؤ  $\hat{E}_s$  کے متوازی شکل 7.6 جوڑا جائے تو ایسا کرنے سے ساکن چلھوں میں اتنا ہی اضافی برقی رورواں ہوگا جو اصل موثر میں گھومتے چلھوں کی وجہ سے ہوتا ہے۔ شکل 7.7 میں ایسا ہی کیا گیا ہے لہذا شکل میں دیا برقی دور، امالی موثر کی صحیح عکاسی کرتی ہے۔ یہی امالی موثر کی مساوی برقی دور ہے۔





شکل 7.7: مالی موٹر کی مساوی برقی دور

## 7.8 مساوی برقی دور پر غور

مساوات 7.18 ایک گھومتے چہے میں برقی طاقت کے ضیاع کو ظاہر کرتا ہے۔ مساوات 7.35 اور 7.37 کی مدد سے اسے یوں لکھا جا سکتا ہے۔

$$\begin{aligned}
P_{rhl} &= I_{0r}^2 R_r \\
&= \left[ \left( \frac{N_s}{N_r} \right)^2 I_{0r}'^2 \right] \left[ \left( \frac{N_r}{N_s} \right)^2 R_r' \right] \\
&= I_{0r}'^2 R_r'
\end{aligned} \tag{7.39}$$

شکل 7.7 سے ظاہر ہے کہ ایک گھومتے چلھے کو کُل  $P_{rql}$  <sup>335</sup>

$$P_{rql} = I_{0r}'^2 \frac{R_r'}{s} \tag{7.40}$$

برقی طاقت دی جا رہی ہے جس میں سے  $P_{rhl}$  اس گھومتے چلھے کی مزاحمت میں ضائع ہو جاتی ہے۔ اس طرح ایک چلھا  $P_{mr l}$  میکانی طاقت فراہم کر

$$P_{mr l} = P_{rql} - P_{rhl} = I_{0r}'^2 \left( \frac{R_r'}{s} - R_r' \right) = \frac{I_{0r}'^2 R_r'}{s} (1 - s) = P_{rql} (1 - s) \tag{7.41}$$

سکتا ہے۔ یوں ایک تین دور کی لپٹی مشین جس میں تین چلھے ہوتے ہیں  $P_{mr l}$  کی تین گنا میکانی طاقت فراہم کر سکتی ہے یعنی

---

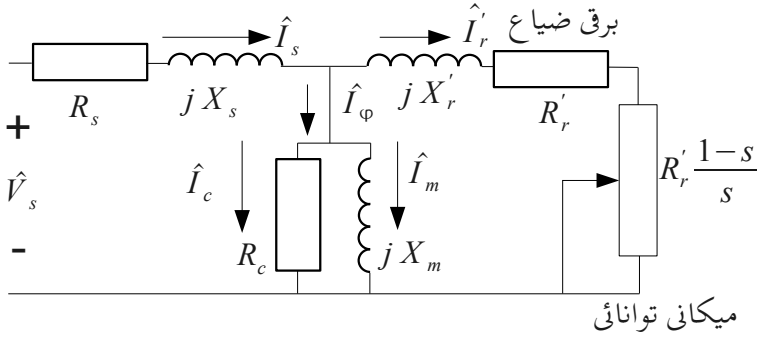
<sup>335</sup>  $P_{rql}$  میں  $r$  گھومتے چلھے،  $q$  کُل اور 1 ایک چلھے کو ظاہر کرتے ہیں

$$P_m = 3 P_{rml} = \frac{3 I_{0r}^2 R_r'}{s} (1-s) = P_{rq} (1-s) \quad (7.42)$$

اس مساوات میں  $P_m$  موٹر کی میکانی طاقت بتلاتی ہے جبکہ  $P_{rq}$  اس کے گھومتے حصے کو کُل فراہم کردہ برقی طاقت ہے۔ اس مساوات سے واضح ہے کہ اگر سرک ایک کے برابر ہو تو موٹر کوئی میکانی طاقت فراہم نہیں کرے گی اور گھومتے حصے کو جتنی برقی توانائی مل رہی ہو وہ ساری کی ساری اس میں ضائع ہو کر اسے گرم کرے گی۔ یوں موٹر کے گرم ہو کر جل جانے کا امکان ہوتا ہے۔ آپ اس مساوات سے دیکھ سکتے ہیں کہ امالی موٹر کی سرک صفر کے قریب رہنی چاہئے ورنہ یہ ناقابل قبول حد تک برقی توانائی ضائع کرے گا۔ ہم امالی موٹر کی مساوی برقی دور کو شکل 7.8 کی طرح بھی بنا سکتے ہیں۔ اس شکل میں شکل 7.7 میں دیئے مزاحمت  $R_r'/s$  کو دو حصوں میں لکھا گیا ہے یعنی

$$\frac{R_r'}{s} = R_r' + R_r' \frac{1-s}{s} \quad (7.43)$$

یوں شکل 7.7 میں مزاحمت  $R_r'$  میں برقی طاقت کی ضیاع  $I_{0r}^2 R_r'$  گھومتے چمھے کی ضیاع بتلاتی ہے جبکہ مزاحمت  $R_r'(1-s)/s$  میں برقی طاقت کی ضیاع  $I_r'^2 R_r'(1-s)/s$  دراصل میکانی طاقت بتلاتی ہے۔ یاد رہے کہ تین دور کی مشین کے لئے یہاں سے حاصل نتائج کو تین سے ضرب دینا ہوگا۔



شکل 7.8: امالی موٹر کی ایک اور مساوی برقی دور

میکانیکی طاقت، مروڑ ضربِ میکانیکی زاویاتی رفتار ہوتی ہے۔ امالی موٹر کی میکانیکی زاویاتی رفتار مساوات 7.3 میں دی گئی ہے جبکہ مساوات 5.61 میں میکانیکی معاصر رفتار  $\omega_{sm}$  دی گئی ہے۔ یوں

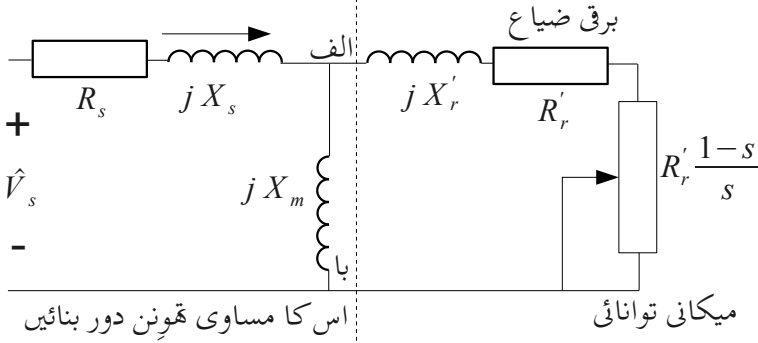
$$P_m = T \omega = T 2\pi f = T 2\pi (1-s) f_s = T (1-s) \omega_{sm} \quad (7.44)$$

لہذا

$$T = \frac{P_m}{(1-s)\omega_{sm}} = \frac{3 I_{0r}'^2 R_r'}{\omega_{sm} s} \quad (7.45)$$

اصل موٹر میں رگڑ، مرکزی ضیاع، چلھوں میخی ضیاع اور دیگر وجوہات کی بنا پر ڈھڑے پر طاقت یا مروڑ اس سے قدر کم ہوگی۔

ٹرانسفارمر کے سادہ ترین مساوی دور بناتے وقت  $R_c$  اور  $jX_m$  کو نظر انداز کیا گیا تھا۔ امالی موٹر میں ایسا کرنا ممکن نہی ہوتا چونکہ موٹروں میخی خلائی درز ہوتی ہے جس میخی مقناطیسی بہاؤ پیدا کرنے کے لئے بہت زیادہ مقناطیسی دباؤ درکار ہوتی ہے۔ حقیقت میں بے بار امالی موٹر کو اپنے پورے برقی رو کے تیس سے پچاس فی صد برقی رو مرکز کو ہیجان کرنے کے لئے درکار ہوتی ہے۔ مزید یہ کہ خلائی درز کی وجہ سے اس کی رستا املہ بھی زیادہ ہوتی ہے اور اسے نظر انداز کرنا ممکن نہیں ہوتا۔ البتہ مساوی دور میں  $R_c$  کو نظر انداز کیا جا سکتا ہے جیسے شکل 7.9 میں دکھایا گیا ہے۔ اس شکل میں نقطہ دار لکیر کی بائیں جانب کا مساوی قہونن دور بنایا جا سکتا ہے۔ ایسا کرنے سے امالی موٹر پر غور کرنا نہایت آسان ہو جاتا ہے۔ اب ہم ایسا ہی کرتے ہیں۔



شکل 7.9: امالی موٹر کی سادہ دور۔ مرکزی ضیاع کو نظر انداز کیا گیا ہے

ستارا جڑی چھ قطب پچاس ہرٹز اور 415 وولٹ پر چلنے والی  
15 کلو واٹ کی امالی موٹر کے مساوی دور کے جزیہ ہیں

مثال 7.2:

$$R_s = 0.5 \Omega \quad R'_r = 0.31 \Omega$$

$$X_s = 0.99 \Omega \quad X'_r = 0.34 \Omega \quad X_m = 22 \Omega$$

موٹر میں رگڑ سے طاقت کا ضیاع 600 واٹ ہے۔ مرکزی ضیاع کو اسی کا حصہ  
تصور کیا گیا ہے۔ اس کو اٹل تصور کیا جائے۔

یہ موٹر درکار وولٹ اور تعداد ارتعاش پر دو فی صد سرک پر چل رہی ہے۔

اس حالت میں موٹر کی رفتار، اس کے دھرمے پر پیدا مروڑ اور طاقت، اس کے ساکن لچھے کی برقی رو اور اس کی فی صد استعداد حاصل کریں۔

حل:

• موٹر کی معاصر رفتار  $f_m = \frac{2}{p} f_e = \frac{2}{6} \times 50 = 16.666$  چکر فی

سیکنڈ یا  $16.666 \times 60 = 1000$  چکر فی منٹ۔ دو فی صد سرک پر

موٹر کی رفتار  $f = f_m (1 - s) = 16.66 \times (1 - 0.02) = 16.33$  چکر

فی سیکنڈ یا  $16.33 \times 60 = 979.8$  چکر فی منٹ ہے۔

• شکل 7.9 میں دائیں جانب

$$j X_r' + R_r' + R' \frac{1-s}{s} = j X_r' + \frac{R_r'}{s} = j 0.34 + \frac{0.31}{0.02} = j 0.34 + 15.5$$

اور  $j X_m$  متوازی جڑے ہیں۔ ان کی مساوی مقاومت یہ ہے

$$\begin{aligned} \frac{1}{Z} &= \frac{1}{15.5 + j 0.34} + \frac{1}{j 22} \\ Z &= \frac{(15.5 + j 0.34) \times (j 22)}{15.5 + j 22 + j 0.34} \\ &= 10.147 + j 7.375 \\ &= R + j X \end{aligned}$$

موٹر پر لاگو دوری برقی دباؤ  $\frac{415}{\sqrt{3}}=239.6$  وولٹ ہے۔ یوں ساکن چھڑے کی برقی رو

$$\begin{aligned}\hat{I}_s &= \frac{V_s}{R_s + jX_s + Z} \\ &= \frac{239.6}{0.5 + j0.99 + 10.147 + j7.373} \\ &= 17.6956 \angle (-38.155^\circ)\end{aligned}$$

ہے۔ اس موٹر کے گھومتے حصہ کو وہی طاقت منتقل ہو رہی ہے جو مقاومت  $Z = 10.147 + j7.375$  کو منتقل ہو رہی ہے۔ یعنی مساوات 7.40 کو ہم یوں بھی لکھ سکتے ہیں۔

$$P_{rql} = I_{0r}^2 \frac{R_r'}{s} = I_s^2 R = 17.6956^2 \times 10.147 = 3177.37 \text{ W}$$

تین دور کے لئے یہ مقدار  $3177.37 \times 3 = 9532$  واٹ ہوگی۔ مساوات 7.42 موٹر کی اندرونی میکانی طاقت دیتی ہے یعنی

$$P_m = P_{rq}(1 - s) = 9532 \times (1 - 0.02) = 9341 \text{ W}$$



اس سے طاقت کا ضیاع منفی کر کے  $8741 = 600 - 9341$  واٹ رہ جاتا ہے۔  
یہ موٹر کے دھرمے پر میکانی طاقت ہوگی جس سے دھرمے پر مروڑ

$$T = \frac{P_m}{\omega_m} = \frac{8741}{2 \times \pi \times 16.33} = 85.1 \text{ N} \cdot \text{m}$$

• موٹر کو کل مہیا برقی طاقت

$$P = \sqrt{3} \times 415 \times 17.6956 \times \cos(-38.155^\circ) = 10001.97 \text{ W}$$

ہے۔ یوں اس موٹر کی استعداد  $\frac{8741}{10001.97} \times 100 = 87.39\%$  ہے۔

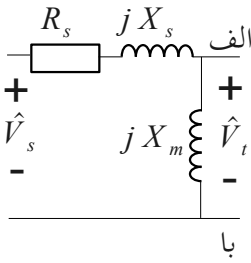
## 7.9 امالی موٹر کا مساوی تھونن دور<sup>336</sup>

مسئلہ تھونن کے مطابق کسی بھی سادہ برقی دور کو اس کے دو برقی سروں کے مابین ایک مقاومت اور ایک برقی دباؤ کی مساوی دور سے ظاہر کیا جا سکتا ہے۔ اس مساوی دور کو مساوی تھونن دور کہتے ہیں جبکہ اس مساوی تھونن دور کی مقاومت کو تھونن مقاومت اور برقی دباؤ کو تھونن برقی دباؤ کہتے ہیں۔

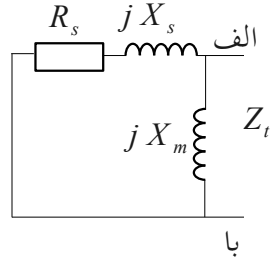
برقی دور کے دو برقی سروں کے مابین تھونن مقاومت حاصل کرنے کے لئے اس برقی دور کے اندرونی برقی دباؤ کسر دور کر کے ان دو برقی سروں کے مابین مقاومت معلوم کی جاتی ہے۔ یہی مقاومت، تھونن مقاومت ہے۔ انہیں برقی سروں پر تھونن برقی دباؤ حاصل کرنے کے لئے دیئے گئے برقی دور کے اندرونی برقی دباؤ برقرار رکھ کر ان دو سروں پر برقی دباؤ معلوم کی جاتی ہے۔ یہی برقی دباؤ در

<sup>336</sup> Thevenin equivalent circuit

حقیقت تھونن برقی دباؤ ہے۔ بعض اوقات ہم ایک برقی دور کے ایک خاص حصے کا مساوی تھونن دور بنانا چاہتے ہیں۔ ایسا کرتے وقت بقایا برقی دور کو اس حصے سے مکمل طور پر منقطع کیا جاتا ہے۔



تھونن برقی دباؤ حاصل کریں



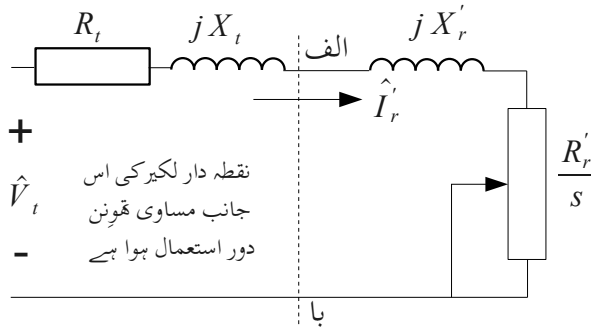
تھونن مقاومت حاصل کریں

شکل 7.10: تھونن مقاومت اور تھونن برقی دباؤ حاصل کرنے کے دور

یوں شکل 7.10 سے واضح ہے کہ دو سروں الف اور با کے مابین مساوی تھونن مقاومت اور تھونن برقی دباؤ یہ ہیں۔

$$Z_t = \frac{(R_s + jX_s)jX_m}{R_s + jX_s + jX_m} = R_t + jX_t \quad (7.46)$$

$$\hat{V}_t = \frac{jX_m \hat{V}_s}{R_s + jX_s + jX_m}$$



شکل 7.11: قہون دور استعمال کرنے کے بعد امالی موثر کا مساوی دور

کسی بھی مخلوط عدد  $Z_t$  کو ایک حقیقی عدد  $R_t$  اور ایک فرضی عدد  $jX_t$  لکھا جا سکتا ہے۔ یہی اس مساوات میں کیا گیا ہے۔

ہم یوں امالی موثر کی مساوی برقی دور کو شکل 7.11 کی طرح بنا سکتے

337 complex number

ہیں جہاں سے دوری سمتیہ کی استعمال سے مندرجہ ذیل برقی رو  $\hat{I}'_r$  حاصل ہوتی ہے۔

$$\hat{I}'_r = \frac{\hat{V}_t}{R_t + j X_t + \frac{R'_r}{s} + j X'_r} \quad (7.47)$$

$$|\hat{I}'_r| = I'_{0r} = \frac{V_t}{\sqrt{\left(R_t + \frac{R'_r}{s}\right)^2 + (X_t + X'_r)^2}}$$

مساوات 7.45 سے یوں تین دور کی لیٹی مشین کی مروڑ یہ ہوگی

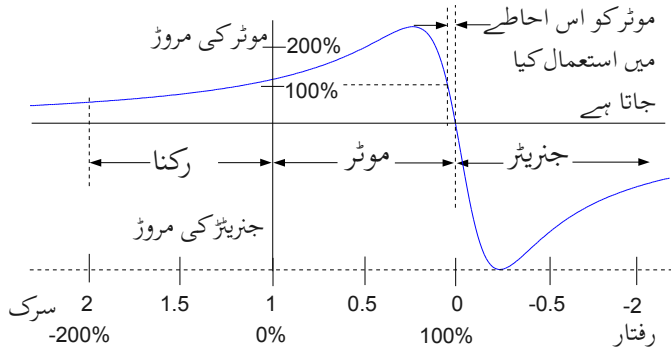
$$T = \frac{1}{\omega_{sm}} \frac{3 V_t^2 \left(\frac{R'_r}{s}\right)}{\left(R_t + \frac{R'_r}{s}\right)^2 + (X_t + X'_r)^2} \quad (7.48)$$

$$= \frac{1}{\omega_{sm}} \frac{3 V_t^2 \left(\frac{R'_r}{s}\right)}{\frac{R_r'^2}{s^2} + 2 R_t \frac{R'_r}{s} + R_t^2 + (X_t + X'_r)^2}$$

اس مساوات کو شکل 7.12 میں دکھایا گیا ہے۔ اس شکل میں موٹر کی رفتار کو معاصر رفتار کی نسبت سے دکھایا گیا ہے۔ موٹر از خود گھومتے مقناطیسی موج کی سمت میں گھومتی ہے اور اس کی رفتار معاصر رفتار سے قدر کم رہتی ہے۔ زیادہ سرک پر موٹر کی استعداد نہایت خراب ہو جاتی ہے۔ اسی لئے لگاتار استعمال کے وقت اسے تقریباً پانچ فیصد سے کم سرک پر چلایا جاتا ہے بلکہ ان کی تخلیق یوں کی جاتی ہے کہ امالی موٹر اپنی پوری طاقت تقریباً پانچ فیصد سے کم سرک پر حاصل کر دیتی ہے۔

اگر موٹر کو زبردستی ساکن لچھوں کی گھومتے مقناطیسی موج کی سمت میں معاصر رفتار سے زیادہ رفتار پر گھمایا جائے تو یہ ایک جنریٹر کے طور پر کام کرنے شروع ہو جائے گی۔ ایسا کرنے کے لئے بیرونی میکانی طاقت درکار ہوگی۔ اگرچہ امالی مشین عام طور پر کبھی جنریٹر کے طور پر استعمال نہیں ہوتے البتہ ہوا سے برقی طاقت پیدا کرنے میں یہ جنریٹر کے طور پر کار آمد ثابت ہوتے ہیں۔

شکل میں منفی رفتار بھی دکھائی گئی ہے جہاں سرک ایک سے زیادہ



شکل 7.12: مالی موٹر کی موٹر بالمقابل سُرک کا خط

ہے۔ ایسا تب ہوتا ہے جب موٹر کو ساکن چلوں کی گھومتی مقناطیسی دباؤ کی موج کی اُلٹ سمت میں گھمایا جائے۔ موٹر کو جلد ساکن حالت میں لانے کے لئے یوں کیا جاتا ہے۔ تین دور کی موٹر پر لاگو برقی دباؤ کی کسی دو دور کو آپس میں اُلٹا دیا جاتا ہے۔ اس طرح موٹر کی ساکن چلوں کی گھومتی مقناطیسی موج یکدم اُلٹ سمت میں گھومنے شروع ہو جاتی ہے جبکہ موٹر ابھی پہلی سمت میں ہی گھوم رہی ہوتی ہے۔ اس طرح موٹر تیزی سے آہستہ ہوتی ہے اور جیسے ہی موٹر رکھ کر دوسری جانب گھومنا چاہتی ہے اس پر لاگو برقی دباؤ منقطع کر دی جاتی ہے۔ اسی لئے اس احاطے کو رکنے کا احاطہ کہتے ہیں۔

مالی موٹر کی زیادہ سے زیادہ موٹر مساوات 7.48 سے یوں حاصل کی جا سکتی ہے۔ موٹر اُسی لمحہ زیادہ سے زیادہ ہوگی جب گھومتے حصے کو زائدہ

سے زیادہ طاقت میسر ہو۔ زیادہ سے زیادہ طاقت منتقل کرنے کا مسئلہ<sup>338</sup> کہتا ہے کہ کسی بھی مقاومت  $(Z = R + jX)$  کو اُس وقت زیادہ سے زیادہ طاقت منتقل ہوتی ہے جب اس مقاومت  $Z$  اور لاگو برقی دباؤ کے مابین مقاومت  $(Z^* = R - jX)$  آپس میں جوڑی دار مخلوط اعداد<sup>339</sup> ہوں۔

شکل 7.11 میں ہم  $R'_r/s$  میں زیادہ سے زیادہ طاقت کی منتقلی چاہتے ہیں، لہذا اس صورت میں اس مسئلہ کے مطابق مزاحمت  $R'_r/s$  اور لاگو برقی دباؤ کے مابین جوڑی مقاومت کی مقدار برابر ہونی چاہیے یعنی

$$\frac{R'_r}{s} = |R_t + jX_t + jX'_r| = \sqrt{R_t^2 + (X_t + X'_r)^2} \quad (7.49)$$

اس مساوات سے زیادہ سے زیادہ طاقت پر سرک  $s_z$  کو یوں لکھ سکتے ہیں۔

$$s_z = \frac{R'_r}{\sqrt{R_t^2 + (X_t + X'_r)^2}} \quad (7.50)$$

مساوات 7.48 کے نچلے حصے میں مساوات 7.49 کے استعمال سے زیادہ سے زیادہ مروڑ یہ ہوگی

---

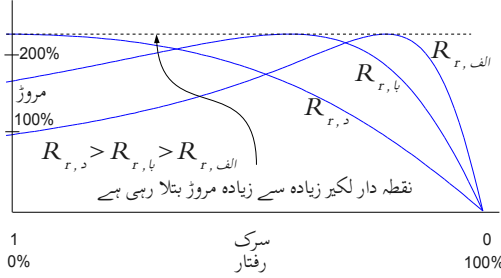
338 Maximum power transfer theorem

339 complex conjugate numbers

$$\begin{aligned}
T_z &= \frac{1}{\omega_{sm}} \frac{3 V_t^2 \left( \frac{R_r'}{s} \right)}{\frac{R_r'^2}{s^2} + 2 R_t \frac{R_r'}{s} + \frac{R_r'^2}{s^2}} \\
&= \frac{1}{\omega_{sm}} \frac{3 V_t^2}{2 \left( R_t + \frac{R_r'}{s} \right)} \quad (7.51) \\
&= \frac{1}{\omega_{sm}} \frac{3 V_t^2}{2 \left( R_t + \sqrt{R_t^2 + (X_t + X_r')^2} \right)}
\end{aligned}$$

اس مساوات کے مطابق امالی موٹر کی زیادہ سے زیادہ مروڑ اس کے گھومتے لچھوں کی مزاحمت پر منحصر نہیں۔ یہ ایک اہم معلومات ہے جسے استعمال کر کے امالی موٹر کی زیادہ سے زیادہ مروڑ درکار رفتار پر یوں حاصل کی جا سکتی ہے۔





شکل 7.13: بیرونی مزاحمت لگانے کے مروڑ بالمقابل سرک کے خطوط پر اثرات

امالی موٹر کے گھومتے پلھوں کے برقی سروں کو سرک چھلوں<sup>340</sup> کے ذریعہ باہر نکالا جاتا ہے<sup>341</sup> جہاں ان کے ساتھ سلسلہ وار بیرونی مزاحمت جوڑی جاتی ہے۔ اس طرح گھومتے پلھوں کی مزاحمت  $R_r$  بڑھائی جاتی ہے۔ ایسا کرنے سے مساوات 7.49 کے مطابق زیادہ سے زیادہ مروڑ نسبتاً زیادہ سرک یعنی کم زاویاتی رفتار پر حاصل کی جا سکتی ہے۔ شکل میں  $R_{r, \gamma}$  مزاحمت کے ساتھ ساکن موٹر کو چالو کرتے وقت زیادہ سے زیادہ مروڑ حاصل ہو سکتی ہے۔ اس طرح بار بردار موٹر ساکن حالت سے ہی بار اٹھانے کے قابل ہوتا ہے۔ چونکہ

<sup>340</sup> slip rings

<sup>341</sup> شکل 6.1 کے نمونے پر

زیادہ سرک پر موٹر کی استعداد خراب ہوتی ہے لہذا اس طرح موٹر کو زیادہ دیر نہیں چلایا جاتا اور جیسے ہی اس کی رفتار بڑھ جاتی ہے، اس سے جڑے بیرونی مزاحمتیں منقطع کر کے گھومتے چلوں کے برقی سرے کسر دور کر دیئے جاتے ہیں۔

### مثال 7.3:

مثال 7.2 میں دی گئی امالی موٹر اس مثال میں استعمال کریں۔ رگٹر سے طاقت کی ضیاع کو نظر انداز کریں۔

- اگر موٹر درکار وولٹ اور تعداد ارتعاش پر تین فی صد سرک پر چل رہی ہو تو (الف) ساکن لچھے میں گھومتے لچھے کے حصہ کی برقی رو  $I_r$  حاصل کریں۔ (با) اس کی اندرونی میکانی طاقت اور مروڑ حاصل کریں۔
- موٹر کی زیادہ سے زیادہ اندرونی پیدا مروڑ اور اس مروڑ پر موٹر کی رفتار حاصل کریں۔
- موٹر کی چالو ہونے کے لمحہ پر مروڑ اور اسی لمحہ اس کی  $I_r$  حاصل کریں۔

حل:

- (الف) دوری برقی دباؤ  $415/\sqrt{3}=239.6$  استعمال کرتے ہوئے مساوات 7.46 کی مدد سے

$$Z_t = \frac{(0.5 + j0.99) \times j22}{0.5 + j0.99 + j22} = 0.4576 + j0.9573$$

$$\hat{V}_t = \frac{j22 \times 239.6 \angle 0^\circ}{0.5 + j0.99 + j22} = 229.2 \angle 1.246^\circ$$

مساوات 7.47 میں تین فی صد سرک پر  $R'_r/s = 10.3333$  کے استعمال سے

$$\hat{I}'_r = \frac{229.2 \angle 1.2459^\circ}{0.4576 + j0.9573 + 10.3333 + j0.34} = 21.1 \angle (-5.6^\circ)$$

$$I'_r = |\hat{I}'_r| = 21.1$$

حل (با):

مساوات 7.42 اور 7.44 کی مدد سے

$$P_m = \frac{3 \times 21.1^2 \times 0.31}{0.03} \times (1 - 0.03) = 13387.46 \text{ W}$$

$$T = \frac{13387.46}{(1 - 0.03) \times 2 \times \pi \times 16.66} = 131.83 \text{ N} \cdot m$$

• مساوات 7.50 سے زیادہ سے زیادہ طاقت پر سرک

$$s_z = \frac{0.31}{\sqrt{0.4576^2 + (0.9573 + 0.34)^2}} = 0.1638$$

اور اس پر موٹر کی رفتار  $1000 \times (1 - 0.1638) = 836.2$  چکر فی منٹ ہوگی۔

• چالو کرتے لمحہ پر سرک ایک ہوگی لہذا  $R_r/s = 0.31$

$$\hat{I}_r' = \frac{229.2 \angle 1.2459^0}{0.4576 + j0.9573 + 0.31 + j0.34} = 152.07 \angle (-58.14^0)$$

$$I_r' = |\hat{I}_r'| = 152.07 \text{ A}$$

اس لمحہ مروڑ

$$T = \frac{3 \times 152.07^2 \times 0.31}{2 \times \pi \times 16.66} = 205.427 \text{ N} \cdot m$$

مثال 7.4:

ایک تین دور دو قطب ستارا جڑا پچاس ہرٹز پر چلنے والا امالی موٹر 2975 چکر فی منٹ کی رفتار پر بارہ کلواٹ کے میکانی بار سے لدا ہے۔

- موٹر کی سرک کتنی ہے۔
- دھرمے پر مروڑ کتنی ہے۔

حل:

- معاصر رفتار  $\frac{2}{P} f_e = \frac{2}{2} \times 50 = 50$  چکر فی سیکنڈ یا  $50 \times 60 = 3000$  چکر فی منٹ ہے۔ یوں سرک

$$s = \frac{n_s - n}{n_s} = \frac{3000 - 2975}{3000} = 0.00833 \text{ یا } 0.833 \text{ فی صد ہے۔}$$

- موٹر کی رفتار  $2975/60 = 49.58333$  چکر فی سیکنڈ ہے۔ یوں اس کے دھرمے پر مروڑ  $\tau = \frac{P}{\omega_m} = \frac{12000}{2 \times \pi \times 49.58333} = 38.513 \text{ N}\cdot\text{m}$  ہے۔

## 7.10 پنجرہ نما امالی موثر

گھومتے پلھوں کی ساخت پر زرا غور کرتے ہیں۔ گھومتے پلھوں کے  $N_r$  چکر ہوتے ہیں جہاں  $N_r$  کوئی بھی عدد ہو سکتا ہے۔ سادہ ترین صورت میں  $N_r$  ایک کے برابر ہو سکتا ہے یعنی ایک ہی چکر کا گھومتا پلھا۔ اب بجائے اس کے کہ مرکز میں پلھوں کے لئے شگاف بنائے جائیں اور ہر شگاف میں تانبے کی تار کا ایک چکر لپٹا جائے ہم یوں بھی کر سکتے ہیں کہ ہر شگاف میں سیدھا تانبے کا ایک سلاخ رکھ دیں اور اس طرح کے سب سلاخوں کی ایک جانب کے سروں کو تانبے کی ایک دائرہ نما سلاخ سے کسر دور کر دیں اور اسی طرح دوسری جانب کے سب سروں کو بھی ایک تانبے کی دائرہ نما سلاخ سے کسر دور کر دیں۔ اس طرح تانبے کی سلاخوں کا پنجرہ بن جاتا ہے۔ اسی لئے ایسے امالی موثر کو پنجرہ نما امالی موثر کہتے ہیں۔

حقیقت میں شگافوں میں پگلا تانبا یا سلور<sup>342</sup> ڈالا جاتا ہے جو ٹھنڈا ہو کر ٹھوس ہو جاتا ہے اور مرکز کو جھکڑ لیتا ہے۔ دونوں اطراف کے دائرہ نما کسر دور کرنے والے چھلے بھی اسی طرح اور اسی وقت بنائے جاتے ہیں۔ اس طرح یہ ایک مضبوط گھومتا حصہ بن جاتا ہے۔ اسی مضبوطی کی وجہ سے پنجرہ نما امالی موثر نہایت مقبول ہوا ہے۔ ایسے موثر سالوں تک بغیر دیکھ بال کے کام کرتے ہیں اور عام زندگی میں ہر جگہ پائے جاتے ہیں۔ گھروں میں پانی کے پمپ اور پنکھے انہیں سے چلتے ہیں۔

<sup>342</sup> copper or aluminium

## 7.11 بے بار موثر اور رکے موثر کے معائنہ

امالی موثر کی کارکردگی دو معائنوں سے معلوم کی جاتی ہے۔ انہی سے اس کے مساوی برقی دور کے جُز بھی حاصل کئے جاتے ہیں۔ ہم تین دور کی امالی موثر کی مثال سے ان معائنوں کا تذکرہ کرتے ہیں۔

### 7.11.1 بے بار موثر کا معائنہ

یہ معائنہ بالکل ٹرانسفارمر کے بے بار معائنہ کی طرح ہے۔ اس میں موثر کی ہیجان انگیز برقی رو اور بے بار موثر میں طاقت کے ضیاع کی معلومات حاصل ہوتی ہیں۔

اس میں بے بار امالی موثر پر تین دور کی مساوی برقی دباؤ  $V_{bb}$ <sup>343</sup> لاگو کر کے بے بار موثر کی برقی طاقت کا ضیاع  $P_{bb}$  اور اس کے ساکن چلھے کی ہیجان انگیز برقی رو  $I_{s,bb}$  ناپی جاتی ہے۔ یہ معائنہ امالی موثر کی پورے برقی دباؤ اور برقی تعدد پر کیا جاتا ہے۔

بے بار امالی موثر صرف اتنی مروڑ پیدا کرتی ہے جتنی رگڑ اور دیگر طاقت کے ضیاع کی وجہ سے درکار ہو۔ اتنی کم مروڑ بہت کم سرک پر حاصل ہو جاتی ہے۔ مساوات 7.47 سے ظاہر ہے کہ بہت کم سرک پر  $I_r'$  بھی نہایت کم ہوگی اور اس سے گھومتے چلھوں میں برقی طاقت کے ضیاع کو نظر انداز کیا جا سکتا ہے۔ اسی بات کو شکل 7.7 کی مدد سے بھی سمجھا جا سکتا ہے جہاں یہ واضح ہے کہ بہت کم سرک پر مزاحمت  $R_r'/s$  کی قیمت بہت زیادہ ہو جاتی ہے

343  $V_{bb}$  میں بے بار کے پہلے حروف ب اور ب کو چھوٹے لکھائی میں bb سے ظاہر کیا گیا ہے

اور اس کو کھلے دور سمجھا جا سکتا ہے۔ ایسا کرنے سے شکل 7.14 حصہ الف ملتا ہے۔

شکل 7.9 الف میں  $R_c$  اور  $j X_m$  کے متوازی دور کا مساوی سلسلہ وار دور شکل کے حصہ با میں دکھایا گیا ہے۔ کسی بھی امالی موثر کی  $R_c$  کی قیمت اس کی  $X_m$  کی قیمت سے بہت زیادہ ہوتی ہے۔ متوازی دور کی مقاومت  $Z_m$  سے مساوی سلسلہ وار مقاومت  $Z_s$  یوں حال ہوتی ہے

$$\begin{aligned}
 Z_m &= \frac{(R_c)(j X_m)}{(R_c + j X_m)} \\
 &= \frac{(j R_c X_m)(R_c - j X_m)}{(R_c + j X_m)(R_c - j X_m)} \\
 &= \frac{j R_c^2 X_m + R_c X_m^2}{R_c^2 + X_m^2} \quad R_c \gg X_m \quad (7.52) \\
 &\approx \frac{j R_c^2 X_m + R_c X_m^2}{R_c^2} \\
 &\approx j X_m + \frac{X_m^2}{R_c} = j X_m + R_c^* = Z_s
 \end{aligned}$$

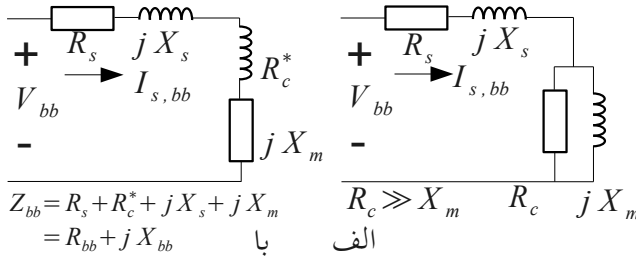
بے بار ٹرانسفارمر میں ابتدائی لچھوں کے برقی طاقت کے ضیاع کو بھی نظر انداز کیا جاتا ہے۔ بے بار امالی موثر کی ہیجان انگیز برقی رو کافی زیادہ ہوتی ہے لہذا ان کے ساکن لچھوں کی برقی طاقت کے ضیاع کو نظر انداز نہیں کیا جا سکتا۔



بے بار امالی موٹر کی  $P_{bb}$  سے اگر تین ساکن چھوٹی برقی ضیاع منفی کی جائے تو اس میں میکانی طاقت کے ضیاع  $P_m$  کا حساب لگایا جا سکتا ہے یعنی

$$P_m = P_{bb} - 3 I_{s,bb}^2 R_s \quad (7.53)$$

میکانی طاقت کا ضیاع بے بار اور بار بردار موٹر کے لئے یکساں تصور کیا جاتا ہے۔



شکل 7.14: بے بار امالی موٹر کا معائنہ

شکل کے حصہ با سے ہم لکھ سکتے ہیں

$$\begin{aligned}
 R_{bb} &= \frac{P_{bb}}{3I_{s,bb}^2} \\
 |Z_{bb}| &= \frac{V_{bb}}{I_{s,bb}} \\
 X_{bb} &= \sqrt{|Z_{bb}|^2 - R_{bb}^2} \\
 X_{bb} &= X_s + X_m
 \end{aligned} \tag{7.54}$$

یوں اس معائنہ سے موثر کی بے بار متعاملیت  $X_{bb}$  حاصل ہوتی ہے۔ اگر کسی طرح ساکن چھوے کی متعاملیت  $X_s$  معلوم ہو تب اس مساوات سے  $X_m$  حاصل کی جا سکتی ہے۔ اگلے معائنہ میں ہم  $X_s$  کا اندازہ لگا سکیں گے۔

### 7.11.2 رکے موثر کا معائنہ

یہ معائنہ ٹرانسفارمر کے کسر دور معائنہ کی طرح ہے۔ اس میں مشین کے رستا امالوں کی معلومات حاصل ہوتی ہے۔ البتہ امالی موثر کا مسئلہ ذرا زیادہ پیچیدہ ہے۔ امالی موثر کی رستا امالہ گھومتے چھوے می برقی تعدد اور مرکز کے سیراب ہونے پر منحصر ہوتے ہیں۔

اس معائنہ میں امالی موثر کے گھومتے حصے کو حرکت کرنے سے زبردستی روک دیا جاتا ہے جبکہ ساکن چھوے پر بیرونی برقی دباؤ  $V_{rk}$  لاگو کر کے برقی طاقت  $P_{rk}$  اور ساکن چھوے کی برقی رو  $I_{s,rk}$  ناپی جاتی ہیں۔ اصولی

طور پر یہ معائنہ اُن حالات کو مدِ نظر رکھ کر کیا جاتا ہے جن پر موٹر کی معلومات درکار ہوں۔ مثلاً

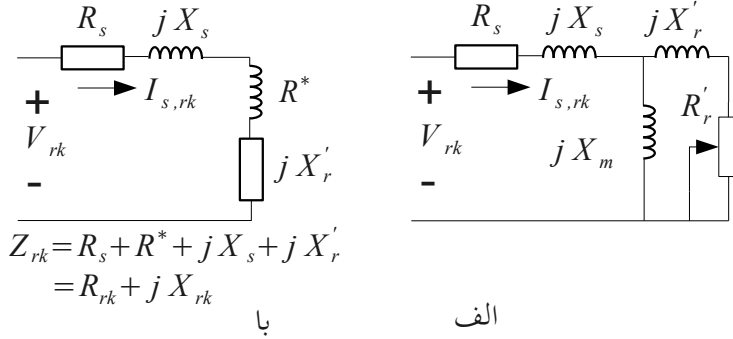
جس لمحہ ایک موٹر کو ساکن حالت سے چالو کیا جائے اس لمحہ موٹر کی سرک ایک کے برابر ہوتی ہے اور اس کے گھومتے چھوٹے چھوٹے  $f_e$  کی برقی رو  $I_{t=0}$ <sup>344</sup> ہوتی ہے، لہذا اگر اس لمحہ کے نتائج درکار ہوں تو موٹر کے ساکن چھوٹے چھوٹے پر عام تعدد یعنی  $f_e$  کی اتنی برقی دباؤ لاگو کی جائے گی جتنی سے اس کے گھومتے چھوٹے می  $I_{t=0}$  برقی رو ہو۔ اسی طرح اگر عام چالو حالت میں بار بردار موٹر کے نتائج درکار ہوں جب موٹر کی سرک  $s$  اور اس کے گھومتے چھوٹے میں برقی رو  $I_{t=\infty}$ <sup>345</sup> ہوتی ہے تو معائنہ میں  $s f_e$  برقی تعدد کی برقی دباؤ استعمال کی جائے گی اور اس کی مقدار اتنی رکھی جائے گی جتنی سے گھومتے چھوٹے میں  $I_{t=\infty}$  برقی رو وجود میں آئے۔ تقریباً  $20 kVA$  سے چھوٹی موٹروں میں برقی تعدد کے اثرات قابلِ نظر انداز ہوتے ہیں لہذا ان کا معائنہ عام برقی تعدد  $f_e$  کی برقی دباؤ پر ہی کیا جاتا ہے۔

یہاں شکل 7.7 کو رکے موٹر کے معائنہ کی نقطہ نظر سے دوبارہ بناتے ہیں۔ رکے موٹر کی سرک ایک کے برابر ہوتی ہے۔ مزید یہ کہ اس معائنہ میں لاگو برقی دباؤ عام چالو موٹر پر لاگو برقی دباؤ سے خاصی کم ہوتی ہے۔ اتنی کم لاگو برقی دباؤ پر مرکزی ضیاع کو نظر انداز کیا جا سکتا ہے۔ شکل میں  $R_e$  کو کھلے دور کرنا مرکزی ضیاع کو نظر انداز کرنے کے مترادف ہے۔ ایسا کرنے سے شکل 7.15

344 اس لمحہ کے برقی رو کو چھوٹی لکھائی میں وقت صفر سے منسلک کیا گیا ہے یعنی  $t=0$

345 چھوٹی لکھائی میں  $t=\infty$  اس بات کو ظاہر کرتی ہے کہ موٹر کافی دیر سے چالو ہے اور یہ ایک برقرار رفتار تک پہنچ گئی ہے

حصہ الف ملتا ہے۔ چونکہ  $s=1$  ہے لہذا اس شکل میں  $R_r'/s$  کو  $R_r'$  لیا گیا ہے۔



شکل 7.15: زکے امالی موٹر کا معائنہ

شکل کے حصہ الف میں  $jX_m$  اور  $(R_r' + jX_r')$  متوازی جڑے ہیں۔ ان کا مساوی سلسلہ وار دور شکل کے حصہ با میں دکھایا گیا ہے۔ اس متوازی دور کی مزاحمت  $Z_m$  سے سلسلہ وار مزاحمت  $Z_s$  یوں حاصل ہوتی ہے۔

$$\begin{aligned}
Z_m &= \frac{(j X_m)(R'_r + j X'_r)}{(R'_r + j(X_m + X'_r))} \\
&= \frac{(j X_m R'_r - X_m X'_r)}{(R'_r + j(X_m + X'_r))} \frac{(R'_r - j(X_m + X'_r))}{(R'_r - j(X_m + X'_r))} \\
&= \frac{j X_m R_r'^2 + X_m R'_r(X_m + X'_r) - X_m X'_r R'_r + j X_m X'_r(X_m + X'_r)}{R_r'^2 + (X_m + X'_r)^2} \quad (7.55) \\
&= \frac{X_m^2 R'_r}{R_r'^2 + (X_m + X'_r)^2} + j \frac{(X_m R_r'^2 + X_m^2 X'_r + X_m X_r'^2)}{R_r'^2 + (X_m + X'_r)^2} \\
&= R^* + j X^* = Z_s
\end{aligned}$$

اگر ان مساوات میں  $X_m \gg R'_r$  اور  $X_m \gg X'_r$  لیا جائے تو حاصل ہوتا ہے

$$R^* \approx R'_r \left( \frac{X_m}{X_m + X'_r} \right)^2 \quad (7.56)$$

$$X^* \approx \frac{X_m R_r'^2}{X_m^2} + \frac{X_m^2 X'_r}{X_m^2} + \frac{X_m X_r'^2}{X_m^2} \approx X'_r \quad (7.57)$$

اس معائنہ میں ناپے مقداروں اور شکل 7.15 کے حصہ با سے

$$\begin{aligned}
Z_{rk} &= \frac{V_{rk}}{I_{s,rk}} \\
R_{rk} &= \frac{P_{rk}}{3 I_{s,rk}^2} \\
X_{rk} &= \sqrt{Z_{rk}^2 - R_{rk}^2}
\end{aligned} \tag{7.58}$$

حاصل ہوتے ہیں۔ اس مساوات کے پہلے جُز میں ناپے برقی دباؤ اور برقی رو سے مقاومت حاصل کی گئی ہے، اس کے دوسرے جُز سے مزاحمت اور تیسرے میپی متعاملیت۔

اب شکل کے حصہ با سے واضح ہے کہ

$$X_{rk} = X_s + X'_r \tag{7.59}$$

اس رِستہ متعاملیت  $X_{rk}$  کو ساکن اور گھومتے پلچھوں میں مندرجہ ذیل فہرست کی مدد سے تقسیم کیا جاتا ہے۔

$X_r$	$X_s$	گھومتے حصہ کی بناوٹ
$0.5 X_{rk}$	$0.5 X_{rk}$	لپٹا ہوا
$0.5 X_{rk}$	$0.5 X_{rk}$	بناوٹ $A$
$0.6 X_{rk}$	$0.4 X_{rk}$	بناوٹ $B$
$0.7 X_{rk}$	$0.3 X_{rk}$	بناوٹ $C$
$0.5 X_{rk}$	$0.5 X_{rk}$	بناوٹ $D$

اسی طرح شکل کے حصہ با سے واضح ہے کہ  $R_{rk} = R^* + R_s$  لہذا اگر ساکن پلچھے کی مزاحمت  $R_s$  براہ راست مزاحمت ناپنے کے مشین یعنی اوہم میٹر<sup>346</sup> سے ناپی جائے تو

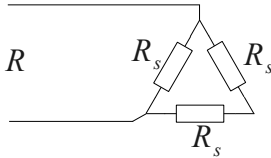
$$R^* = R_{rk} - R_s \quad (7.60)$$

اور اب  $R'_r$  کو مساوات 7.56 سے حاصل کیا جا سکتا ہے جہاں  $X_m$  بے بار امالی موثر کے معائنہ میں حاصل کی جاتی ہے۔

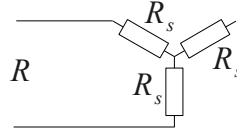
---

<sup>346</sup> Ohm meter

اوہم میٹر کی مدد سے ساکن چھہ کی مزاحمت ناپتے وقت یہ جاننا ضروری ہے کہ موٹر ستارا یا تکونی جڑی ہے۔ شکل 7.16 میں چھہ کو دونوں طرح جڑا دکھایا گیا ہے۔ اگر ایک دور کی مزاحمت  $R_s$  ہو تو ستارا جڑی موٹر میں اوہم میٹر  $2 R_s$  مزاحمت دے گی جبکہ تکونی جڑی موٹر کے لئے یہ  $2 R_s/3$  مزاحمت دے گی۔



$$\frac{1}{R} = \frac{1}{R_s} + \frac{1}{2 R_s}$$



$$R = R_s + R_s = 2 R_s$$

شکل 7.16: ستارا اور تکونی جڑی موٹروں کی ساکن چھہ کی مزاحمت اوہم میٹر کی مدد سے حاصل کرنا

ستارا جڑی چار قطب پچاس ہرٹز 415 وولٹ پر چلنے والی موٹر کے معائنہ کے نتائج مندرجہ ذیل ہیں۔ موٹر کی بناوٹ درجہ بندی

مثال 7.5:



$A$  کے مطابق ہے۔

- اوہم میٹر کسی بھی دو برقی سروں کے مابین 0.55 اوہم پڑتا ہے۔
- بے بار معائنہ:

$$V_{bb}=415 V; \quad I_{bb}=4.1 A; \quad P_{bb}=906 W; \quad f_{bb}=50 Hz$$

- رکے موٹر معائنہ:

$$V_{rk}=50 V; \quad I_{rk}=13.91 A; \quad P_{rk}=850 W; \quad f_{rk}=15 Hz$$

اس موٹر کی مساوی برقی دور بنائیں اور پانچ فیصد سرک پر اس کی اندرونی میکانی طاقت حاصل کریں۔

حل:

اوہم میٹر کی مدد سے ستارا جڑی موٹر کے ساکن لچھے کی مزاحمت

$$R_s=0.98/2=0.49 \Omega$$

ہے۔ بے بار معائنہ میں دوری برقی دباؤ  $415/\sqrt{3}=239.6$  وولٹ ہے جس سے

$$R_{bb} = \frac{906}{3 \times 4.1^2} = 17.965$$

$$|Z_{bb}| = \frac{239.6}{4.1} = 58.439$$

$$X_{bb} = \sqrt{58.439^2 - 17.965^2}$$

$$= 55.609 = X_s + X_m$$

لہذا رکے موٹر معائنہ کے نتائج سے  $X_s$  حاصل کرنے کے بعد  $X_m$  حاصل ہو جائے گی۔

ساکن چھڑے کی مزاحمت میں اس برقی رو پر کُل

$$3I_{bb}^2 R_s = 3 \times 4.1^2 \times 0.275 = 13.86825W$$

برقی طاقت کا ضیاع ہوگا لہذا رگڑ اور دیگر طاقت کی ضیاع

$$906 - 13.86 = 892W$$

ہوگی۔

رکے موٹر کے معائنہ میں دوری برقی دباؤ  $50/\sqrt{3} = 28.8675$  وولٹ ہیں یوں اس معائنہ سے

$$R_{rk} = \frac{850}{3 \times 13.91^2} = 1.464$$

$$|Z_{rk}| = \frac{28.8675}{13.91} = 2.075$$

$$X_{rk,15} = \sqrt{2.075^2 - 1.464^2} = 1.47$$

حاصل ہوتے ہیں۔ اس معائنہ میں برقی تعدد 15 ہرٹز تھی لہذا 50 ہرٹز پر متعاملیت

$$X_{rk,50} = \frac{50}{15} \times X_{rk,15}$$

$$= \frac{50}{15} \times 1.47 = 4.9$$

ہے۔ درجہ بندی A کی امالی موٹر کے لئے یہ متعاملت ساکن اور گھومتے چھہ میں یکساں تقسیم ہوتی ہے لہذا

$$X_s = X'_r = \frac{X_{rk,50}}{2} = \frac{4.9}{2} = 2.45$$

یوں

$$X_m = X_{bb} - X_s = 55.609 - 2.45 = 53.159$$

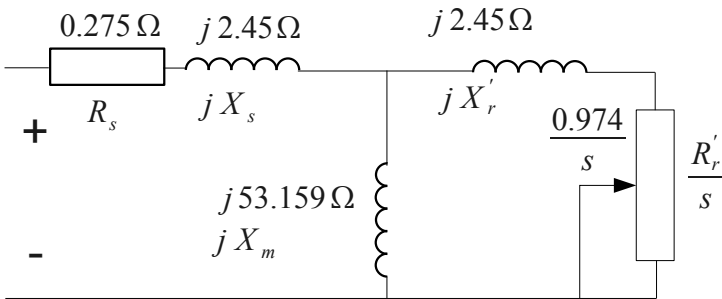
چونکہ  $R_s = 0.275$  اوہم ہے اور

$$R_{rk} = R_s + R'_r$$

لہذا

$$R'_r = 1.464 - 0.49 = 0.974$$

ہوگی۔ یہ مساوی برقی دور شکل میں دکھایا گیا ہے۔



شکل 7.17: امالی موٹر کی مساوی برقی دور

پانچ فی صد سرک پر اندرونی میکانی طاقت کی خاطر بائیں جانب کا تھونن  
مساوی دور استعمال کرتے ہوئے

$$\hat{V}_t = 229 \angle 0.2833^0$$

$$Z_t = 0.251 + j2.343$$

$$|\hat{I}_r'| = 11.8A$$

$$P_m = \frac{3 \times 11.8^2 \times 0.974 \times (1 - 0.05)}{0.05} = 7730W$$

---

## 8 یک سمتی رو مشین

یک سمتی رو مشین یا تو یک سمتی رو<sup>347</sup> برقی طاقت پیدا کرتے ہیں یا پھر یہ  
یک سمتی رو برقی طاقت سے چلتے ہیں۔ یک سمتی رو موٹروں کی اہمیت بتدریج کم  
ہوتی جا رہی ہے اور ان کی جگہ امالی موٹر استعمال ہونے لگے ہیں جو جدید طرز  
کے قوی الیکٹرانکس<sup>348</sup> سے قابو کئے جاتے ہیں۔ موجودہ دور میں گاڑیوں میں  
لگے یک سمتی جنریٹر بھی دراصل سادہ بدلتی رو جنریٹر ہوتے ہیں جن کے اندر  
نسب ڈایوڈ<sup>349</sup> ان کی بدلتی محرک برقی دباؤ کو یک سمتی محرک برقی دباؤ میں تبدیل  
کر دیتی ہے۔

اس باب میں دو قطب کے یک سمتی آلوں کا مطالعہ کیا جائے گا۔ آلہ تبدیل  
رکھنے والے یک سمتی آلوں میں میدانی چلھا ساکن ہوتا ہے جبکہ قوی چلھا گھومتا  
ہے۔

### 8.1 آلہ تبدیل کی بنیادی کارکردگی

جنریٹر بنیادی طور پر بدلتی رو برقی دباؤ ہی پیدا کرتا ہے۔ یک سمتی جنریٹر  
کے اندر نسب آلہ تبدیل<sup>350</sup> میکانی طریقہ سے اس بدلتی رو کو یک سمتی رو میں

---

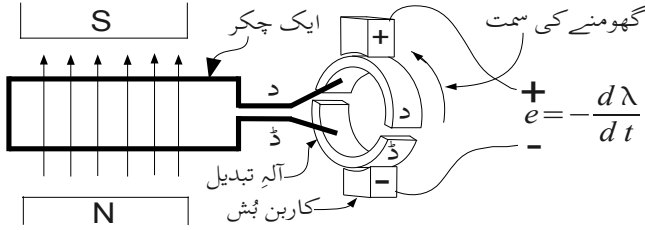
347 direct current ( DC )

348 power electronics

349 diode

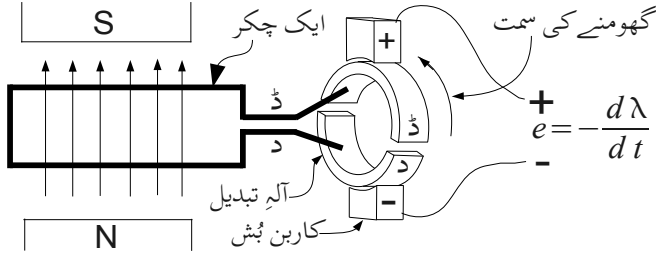
350 commutator

تبدیل کرتا ہے اور یوں جنریٹر کی برقی سروں سے یک سمتی برقی دباؤ حاصل ہوتا ہے۔



شکل 8.1: آلہ تبدیل

آلہ تبدیل کو شکل 8.1 میں دکھایا گیا ہے۔ اس شکل میں جنریٹر کے قوی چلھے کو ایک چکر کا دکھایا گیا ہے اگرچہ حقیقت میں ایسا نہیں ہوتا۔ قوی چلھے کے برقی سروں کو  $d$  اور  $\delta$  سے ظاہر کیا گیا ہے جو آلہ تبدیل کے  $d$  اور  $\delta$  حصوں کے ساتھ جڑے ہیں۔ قوی چلھا اور آلہ تبدیل ایک ہی ڈھڑے پر نسب ہوتے ہیں اور یوں یہ ایک ساتھ حرکت کرتے ہیں۔ تصور کریں کہ یہ دونوں گھڑی کی اُلٹی سمت مقناطیسی میدان میں گھوم رہے ہیں۔ مقناطیسی میدان اُفقی سطح میں  $N$  سے  $S$  کی جانب ہے جسے نوکدار لکیروں سے دکھایا گیا ہے۔ آلہ تبدیل کے ساتھ کاربن کے ساکن بُش، اسپرنگ کی مدد سے دبا کر رکھے جاتے ہیں۔ ان کاربن کے بُشوں سے برقی دباؤ بیرون جنریٹر موصل برقی تاروں کے ذریعہ منتقل کی جاتی ہے۔ ان بُشوں کو مثبت نشان یعنی  $+$  اور منفی نشان یعنی  $-$  سے ظاہر کیا گیا ہے۔



شکل 8.2: آدھے چکر کے بعد بھی + بُش مثبت ہی ہے

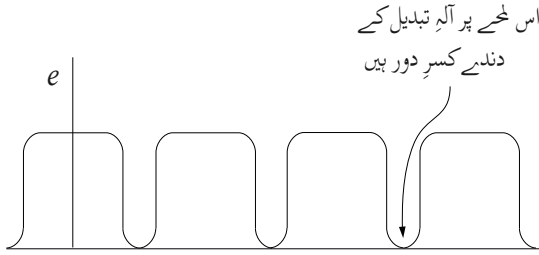
دکھائے گئے لمحہ پر پلھے میں پیدا برقی دباؤ  $e$  کی وجہ سے پلھے کا برقی سیرا  $D$  مثبت اور اس کا برقی سیرا  $d$  منفی ہے۔ یوں آلہ تبدیل کا حصہ  $D$  مثبت اور اس کا حصہ  $d$  منفی ہے جس سے کاربن کے + نشان والا بُش مثبت اور - نشان والا بُش منفی ہے۔

آدھے چکر بعد خلا میں پلھے کی  $D$  اور  $d$  اطراف آپس میں جگہیں تبدیل کر لیں گی۔ یہ شکل 8.2 میں دکھایا گیا ہے۔ پلھے کے  $D$  اور  $d$  اطراف اب بھی آلہ تبدیل کے  $D$  اور  $d$  حصوں کے ساتھ جڑے ہیں۔ اس لمحہ پر پلھے پر برقی دباؤ اُلٹ ہوگی اور اب اس کا  $D$  طرف منفی اور  $d$  طرف مثبت ہوگا جیسے شکل میں دکھایا گیا ہے۔ یہاں آلہ تبدیل کی کارکردگی سامنے آتی ہے اور ہم دیکھتے ہیں کہ



کاربن کا + نشان والا بُش اب بھی مثبت اور - نشان والا بُش اب بھی منفی ہے۔ یوں جنریٹر کے بیرونی برقی سروں پر اب بھی برقی دباؤ پہلے کی سمت میں ہی ہے۔ آلہ تبدیلی کے دانتوں کے مابین برقی دباؤ ہوتا ہے لہذا ان کو غیر موصل شہ کی مدد ایک دونوں سے اور دُھڑے سے دور رکھا جاتا ہے۔

گھومتے وقت ایک ایسا لمحہ آتا ہے جب آلہ تبدیل کے دونوں دانت کاربن کے دونوں بُشوں کے ساتھ جڑے ہوتے ہیں یعنی اس لمحہ کاربن کے بُش چلھے کو کسر دور کرتے ہیں۔ کاربن کے بُش محیط پر اس طرح رکھے جاتے ہیں کہ جس لمحہ چلھے میں برقی دباؤ مثبت سے منفی یا منفی سے مثبت ہونے لگے اسی لمحہ کاربن کے بُش چلھے کو کسر دور کرے۔ چونکہ اس لمحہ چلھے کے پیدا کردہ برقی دباؤ صفر ہوتی ہے لہذا اسے کسر دور کرنے سے کوئی نقصان نہیں ہوتا۔ اس طرح حاصل برقی دباؤ شکل 8.3 میں دکھایا گیا ہے۔



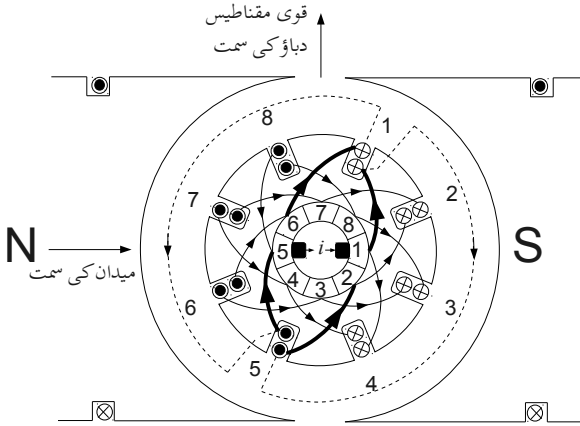
شکل 8.3: دو دندوں کے آلہ تبدیل سے حاصل یک سمتی برقی دباؤ

یہاں دو دندوں والا آلہ تبدیل اور دو مقناطیسی قطب کے درمیان گھومتا ایک ہی قوی چلھا دکھایا گیا ہے۔ حقیقت میں جنریٹر کے بہت سارے قطب ہوں گے اور ہر ایک قطب کے لئے آلہ تبدیل کے کئی دندے ہوں گے۔ مزید یہ کہ نہایت چھوٹی آلوں میں مقناطیسی میدان مقناطیس ہی فراہم کرتا ہے جبکہ بڑی آلوں میں مقناطیسی میدان ساکن میدانی چلھے فراہم کرتے ہیں۔ مشین کے دونوں قسم کے چلھے تقسیم شدہ ہوتے ہیں۔

اب ہم زیادہ دندوں کے ایک آلہ تبدیل کو دیکھتے ہیں۔

### 8.1.1 آلہ تبدیل تفصیل کے ساتھ

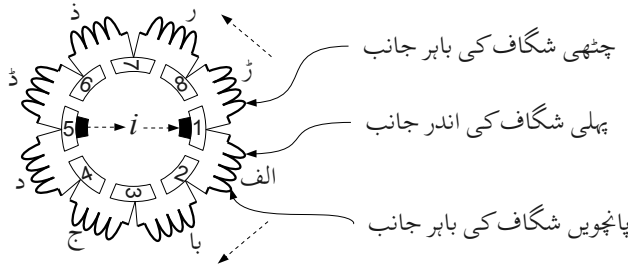
پچھلے حصہ میں آلہ تبدیل کی بنیادی کارکردگی سمجھائی گئی۔ اس حصہ میں اس پر تفصیلاً غور کیا جائے گا۔ یہاں شکل 8.4 سے رجوع کریں۔ اس شکل میں اندر کی جانب دکھائے گئے آلہ تبدیل کے دندوں کو ہندسوں سے ظاہر کیا گیا ہے۔ آلہ تبدیل کی اندر جانب کاربن بُش دکھائے گئے ہیں جبکہ  $i$  بیرونِ جزیرہ برقی رو کو ظاہر کرتی ہے۔ شگافوں کو بھی ہندسوں سے ظاہر کیا گیا ہے۔ اس جزیرہ کے دو قطب ہیں جبکہ اس میں کُل آٹھ شگاف ہیں۔ اس طرح اگر ایک شگاف ایک قطب کے سامنے ہو تو تین شگاف چھوڑ کر موجود شگاف دوسرے قطب کے سامنے ہوگا۔ ہم کہتے ہیں کہ ایسے دو شگاف ایک قطب فاصلے پر ہیں مثلاً شگاف ایک اور پانچ ایک قطب کے فاصلے پر ہیں۔



شکل 8.4: کاربن بُش آلہ تبدیل کے دندوں کو کسر دور نہیں کر رہا

شگافوں میں موجود پلچھوں میں برقی رو کی سمتیں نقطہ اور صلیب سے ظاہر کئے گئے ہیں۔ نقطہ صفحہ سے عمودی طور پر باہر جانب کی سمت کو ظاہر کرتی ہے جبکہ صلیب کے نشان اس کی الٹ سمت کو ظاہر کرتی ہے۔ یوں پہلی شگاف میں برقی رو کی سمت عمودی طور پر صفحہ کی اندر جانب کو ہے۔

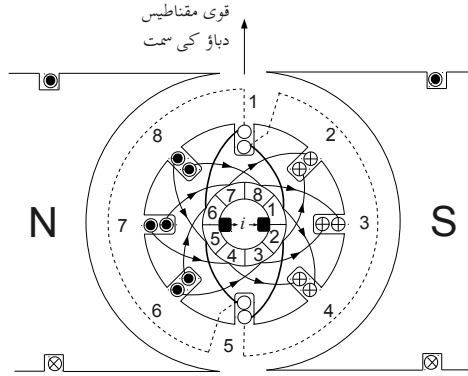
ہر شگاف میں دو پلچھے دکھائے گئے ہیں۔ پہلی شگاف کی اندر جانب موجود پلچھا، آلہ تبدیل کی پہلی دانت سے جڑا ہے۔ یہ جوڑ موٹی لکیر سے ظاہر کی گئی ہے۔ شگاف کے نچلے سرے سے نکل کر یہ پلچھا پانچ نمبر شگاف کے نچلے سرے میں باہر جانب کو داخل ہوتا ہے۔ اس بات کو نقطہ دار لکیر سے دکھایا گیا ہے۔ اسی طرح دو پلچھے دوسرے اور چٹے شگافوں میں بھی ہیں۔ ان میں ایک پلچھا دوسرے شگاف میں اندر کی جانب اور چٹے شگاف میں باہر کی جانب ہے جبکہ دوسرا پلچھا دوسرے شگاف میں باہر کی جانب اور چٹے شگاف میں اندر کی جانب ہے۔ نقطہ دار لکیریں صرف پہلی اور پانچویں شگاف کے لئے دکھائے گئے ہیں۔ آپ خود باقی شگافوں کے لئے انہیں بنا سکتے ہیں۔ ہر پلچھے کی ایک طرف شگاف میں اندر جانب اور اس کی دوسری طرف ایک قطب دور موجود شگاف میں باہر جانب کو ہوتی ہے۔ آلہ تبدیل کا یہی پہلا دانت چوتھے شگاف کی باہر جانب موجود پلچھے سے بھی جڑا ہے۔ آپ یہاں رکھ کر شکل 8.5 کی مدد سے مشین میں برقی رو کی سمتیں سمجھیں اور تسلی کر لیں کہ یہ درست دکھائے گئے ہیں۔ اس شکل میں پلچھوں کو الف، با، ج وغیرہ نام دیئے گئے ہیں جبکہ آلہ تبدیل کے دندوں کو ہندسوں سے ظاہر کیا گیا ہے۔ کاربن کے بُش پہلے اور پانچویں دانت سے جڑے دکھائے گئے ہیں۔



شکل 8.5: آلہ تبدیل سے جڑے لچھے

اس شکل میں کاربن بُش سے برقی رو آلہ تبدیل کی پہلے دانت سے ہوتے ہوئے دو برابر مقداروں میں تقسیم ہو کر دو یکساں متوازی راستوں گزرے گی۔ ایک راستہ سلسلہ وار جڑے الف-با-ج اور د لچھوں سے بنتا ہے جبکہ دوسرا راستہ سلالہ وار جڑے ژ-ز-ذ اور ڈ لچھوں سے بنتا ہے۔ یہ دو سلسلہ وار راستے آپس میں متوازی جڑے ہیں۔ برقی رو کی سمت نقطہ دار چونچ ولی لکیر سے ظاہر کی گئی ہے۔ دو متوازی راستوں سے گزرتا برقی رو ایک بار دوبارہ مل کر ایک ہو جاتا ہے اور آلہ تبدیل کے پانچویں دانت سے جڑے کاربن بُش کے ذریعہ مشین سے باہر نکل جاتا ہے۔ آپ دیکھ سکتے ہیں کہ گھومتے حصے کی شکافوں میں موجود لچھوں میں برقی رو مقناطیسی دباؤ کو جنم دے گی جو ساکن مقناطیسی دباؤ کی عمودی سمت میں ہوگی جیسا شکل 8.4 میں دکھایا گیا ہے۔ یہ دو مقناطیسی دباؤ ڈھرے پر گھڑی کی سمت میں مروڑ پیدا کریں گے۔ یوں اگر مشین موٹر کے طور پر استعمال

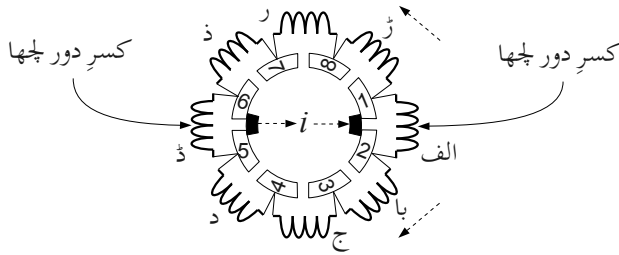
کی جا رہی ہو تو یہ گھڑی کی سمت گھومے گی۔ اس صورت میں کاربن بُش پر بیرونی یک سمتی برقی دباؤ اس سمت میں لاکو کی جائے گی کہ اس میں برقی رو دکھلائی گئی سمت میں ہو۔



شکل 8.6: کاربن بُش آلہ تبدیل کے دندوں کو کسر دور کر رہا ہے

اب یہ تصور کریں کہ مشین ایک جنریٹر کے طور پر استعمال کی جا رہی ہو اور اسے گھڑی کی اُلٹی سمت بیرونی میکانی طاقت سے گھمایا جا رہا ہو۔ یوں آلہ تبدیل کے آدھے دانت برابر حرکت کرنے کے بعد یہ شکل 8.6 میں دکھائے حالت اختیار کر لے گی۔ اس شکل میں دائیاں کاربن بُش آلہ تبدیل کے پہلے اور دوسرے دانت کے ساتھ جبکہ بائیاں کاربن بُش اس کے پانچویں اور چھٹے دانت کے ساتھ جڑ گئے ہیں۔ یوں پہلے اور پانچویں شگافوں میں موجود چمھے کسر دور ہو گئے ہیں

جبکہ بقایا شگافوں میں موجود چھوٹے چھوٹے برقی رو ہو گا جن سے مقناطیسی دباؤ اب بھی پہلے کی طرح ساکن مقناطیسی کی دباؤ کی عمودی سمت میں ہو گا۔ اس لمحہ کی صورت شکل 8.7 میں زیادہ واضح ہے۔



شکل 8.7: آلہ تبدیل دو چھوٹے کو کسر دور کر رہا ہے

مشین جب آلہ تبدیل کے ایک دانت برابر حرکت کر لے تو کاربن کے بُش دوسرے اور چھٹے دانت سے جڑ جائیں گے۔ پہلے اور پانچویں شگافوں میں برقی رو کی سمت پہلی سے اُلٹ ہو جائے گی جبکہ باقی شگافوں میں برقی رو کی سمتیں برقرار رہیں گی۔ گھومتے چھوٹے کا برقی دباؤ اب بھی اُسی سمت میں ہو گا۔

جتنے لمحے کے لئے کاربن کے بُش دو چھوٹے کو کسر دور کرتے ہیں اتنے وقت میں ان چھوٹے میں برقی رو کی سمت اُلٹ ہو جاتی ہے۔ کوشش کی جاتی ہے کہ

اس دوران برقی رو وقت کے ساتھ بتدریج تبدیل ہو۔ ایسا نہ ہونے سے کاربن کے بُش سے چنگاریاں نکلتی ہیں جن سے یہ بُش جلد ناکارہ ہو جاتے ہیں۔

حقیقت میں ایک سمتی جنریٹر میں درجن دانت فی قطب والا آلہ تبدیل استعمال ہوگا اور اگر مشین نہایت چھوٹی نہ ہو تو اس میں دو سے زیادہ قطب ہوں گے۔

## 8.2 ایک سمتی جنریٹر کی برقی دباؤ

گزشتہ حصہ میں شکل 8.5 میں الف-ب-ج اور د چھوٹے سلسلہ وار جڑے ہیں۔ اسی طرح ڈ-ڈ-ر اور ژ سلسلہ وار جڑے ہیں۔ حصہ 5.3 میں مساوات 5.24 ایک چھوٹے کی ایک سمتی جنریٹر کی محرک برقی دباؤ  $e_1$  دیتی ہے۔ اسے یہاں یاد دہانی کی خاطر دوبارہ دیا جاتا ہے۔

$$e_1 = \omega N \Phi_m = \omega N A B_m \quad (8.1)$$

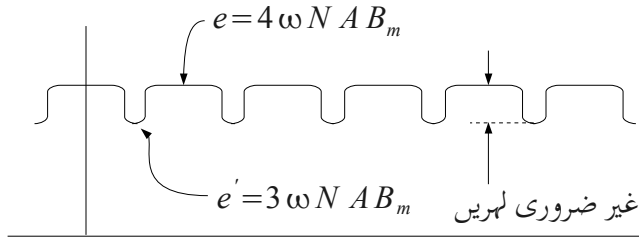
اگر خلائی درز میں  $B_m$  کی مقدار ہر جگہ یکساں ہو تو سب چھوٹوں میں برابر محرک برقی دباؤ پیدا ہوگا۔ یوں شکل 8.4 میں دکھائے لمحہ جنریٹر کی کل محرک برقی دباؤ  $e$  ایک چھوٹے کی محرک برقی دباؤ کی چار گنا ہوگی یعنی

$$e = 4 e_1 = 4 \omega N A B_m \quad (8.2)$$



جبکہ شکل 8.6 میں دکھائے لمحہ صرف تین چلہوں کی محرکی برقی دباؤ زیر استعمال آتی ہے یعنی اس لمحہ جنریٹر کی کل محرک برقی دباؤ یہ ہوگی

$$e' = 3 e_1 = 3 \omega N A B_m \quad (8.3)$$



شکل 8.8: آٹھ دندوں کی آلہ تبدیل سے حاصل برقی دباؤ

شکل 8.8 میں اس آٹھ دندوں والے آلہ تبدیل سے حاصل برقی دباؤ دکھائی گئی ہے۔ شکل میں یک سمتی برقی دباؤ پر سوار غیر ضروری لہریں دکھائی گئی ہیں۔

اگر جنیٹر میں ایک جوڑی قطب پر کُل  $n$  چھپے ہوں تو شکل 8.5 کی طرح یہ دو  $n/2$  سلسلہ وار چھپوں جتنی محرکی برقی دباؤ پیدا کرے گی۔

$$e = \left(\frac{n}{2}\right) \omega N A B_m = \left(\frac{n}{2}\right) \omega N \Phi_m \quad (8.4)$$

اس صورت میں یہ غیر ضروری لہریں کُل یک سمتی برقی دباؤ کی تقریباً

$$\frac{\omega N \Phi_m}{\left(\frac{n}{2}\right) \omega N \Phi_m} \times 100 = \left(\frac{2}{n}\right) \times 100 \quad (8.5)$$

فی صد ہوگی۔ آپ دیکھ سکتے ہیں کہ اگر فی قطب دندوں کی تعداد بڑھائی جائے تو حاصل برقی دباؤ زیادہ بھوار ہوگی اور یہ غیر ضروری لہریں قابلِ نظر انداز ہوں گے۔

اب تصور کریں کہ شکل 8.4 میں دیئے مشین کی خلائی درز می  $B_m$  کی مقدار ہر جگہ یکساں نہیں۔ اس صورت میں چھپوں میں محرک برقی دباؤ مساوات 8.1 کے تحت مختلف زاویوں پر مختلف ہوگی۔ اس طرح مشین سے حاصل کُل برقی دباؤ چار سلسلہ وار چھپوں کی مختلف محرک برقی دباؤ کے مجموعہ کے برابر ہوگی یعنی

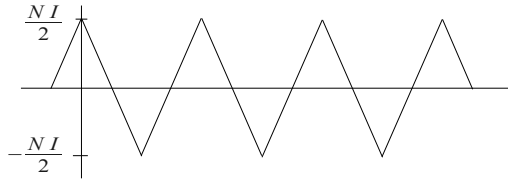
$$e = e_1 + e_2 + e_3 + e_4 \quad (8.6)$$

جہاں  $e_1, e_2$  مختلف چھوٹی محرک برقی دباؤ کو ظاہر کرتے ہیں۔

اب شکل 8.4 پر غور کریں۔ اگر گھومتا حصہ صرف ایک دندے برابر حرکت کرے تو اس شکل کی حالت دوبارہ حاصل ہوتی ہے اور اس سے حاصل برقی دباؤ بھی دوبارہ وہی ملتی ہے۔ اگر آلہ تبدیل کی فی قطب دندوں کی تعداد زیادہ کر دی جائے تو یہ حرکت قابلِ نظر انداز ہو جاتی ہے۔ اب اگر خلائی درز میں کثافتِ مقناطیسی بہاؤ بھواری کے ساتھ تبدیل ہو تو اتنی کم حرکت کے احاطے میں  $B_m$  کی مقدار میں کوئی خاص تبدیلی نہیں آئے گی اور اس احاطے میں اسے یکساں تصور کیا جا سکتا ہے۔ یوں اگر چلھا اس احاطے میں حرکت کرے تو اس میں محرک برقی دباؤ تبدیل نہیں ہوگی۔ یعنی جس چلھے کی محرکی برقی دباؤ  $e_1$  ہے اُس کی اس احاطے میں محرکی برقی دباؤ یہی رہے گی۔ یوں اگرچہ  $e_1, e_2$  وغیرہ آپس میں مختلف ہو سکتے ہیں مگر ان کی مقدار قطعی ہے، لہذا اس صورت میں مساوات 8.6 میں دی گئی محرکی برقی دباؤ کی مقدار بھی قطعی ہوگی۔

ہم نے دیکھا کہ اگر خلائی درز میں  $B_m$  بھواری کے ساتھ تبدیل ہو تو جنیٹر سے معیاری یک سمتی محرک برقی دباؤ حاصل ہوتی ہے۔ بدلتی رو جنیٹروں میں  $B_m$  سائن نما رکھنی ضروری ہوتی ہے۔ نہایت چھوٹی یک سمتی آلوں میں خلائی درز میں  $B_m$  یکساں رکھا جاتا ہے جبکہ بڑی آلوں میں اسے بھواری کے ساتھ تبدیل کیا جاتا ہے۔ جیسا اوپر ذکر ہوا عملاً آلہ تبدیل کے دندوں تک چلھوں

کے سروں کی رسائی ممکن تب ہوتی ہے جب ہر شگاف میں دو چمکے رکھے جائیں۔ اس طرح رکھے چمکوں کی خلائی درز میں مقناطیسی دباؤ آری کے دندوں کی مانند ہوتا ہے۔ یہ شکل 8.9 میں دکھایا گیا ہے۔



شکل 8.9: آری دندوں نما کثافتِ مقناطیسی دباؤ

زیادہ قطب کے مشین میں شمالی اور جنوبی قطب کے ایک جوڑے کی پیدا کی گئی ہے۔ اس سے حاصل ہوگی جہاں  $n$  ایک قطبین کے جوڑے پر آلہ تبدیل کے دندوں کی تعداد ہوگی۔ یوں زیادہ قطبین کے جوڑوں سے حاصل کی گئی ہے۔

### 8.3 مروڑ

ایک سمتی آلہ کی امالی برقی دباؤ اور مروڑ خلائی درز میں مقناطیسی دباؤ

کی شکل پر منحصر نہیں۔ اپنی سہولت کے لئے ہم ان کی خلائی درز میں مقناطیسی دباؤ سائن نما تصور کرتے ہیں۔۔ شکل 8.9 میں دکھائے گئے قوی چلھے کی مقناطیسی دباؤ کی بنیادی فوریئر جُز یہ ہے

$$\tau_q = \frac{8}{\pi^2} \frac{N I}{2} \quad (8.7)$$

یوں چونکہ یک سمتی مشین میں ساکن اور گھومتے چلھوں کی مقناطیسی دباؤ عمودی ہیں لہذا ان میں مروڑ مساوات 5.112 کی طرح

$$T = -\frac{\pi}{2} \left( \frac{P}{2} \right)^2 \Phi_m \tau_q \quad (8.8)$$

ہوگی۔

مثال 8.1:

دو قطب بارہ دندوں کے آلہ تبدیل کے یک سمتی جنریٹر میں ہر قوی چلھا بیس چکر کا ہے۔ ایک چلھے سے گزرتی مقناطیسی بہاؤ 0.0442 ویبر ہے اور یہ جنریٹر 3600 چکر فی منٹ کی رفتار سے

گھوم رہا ہے۔

• اس کی پیدا یک سمتی برقی دباؤ میں غیر ضروری لہریں کُل برقی دباؤ کے

کتنے فی صد ہیں۔

- یک سمتی برقی دباؤ حاصل کریں۔

حل:

- مساوات 8.5 سے غیر ضروری لہریں

$$\left(\frac{2}{n}\right) \times 100 = \left(\frac{2}{12}\right) \times 100 = 16.66$$

فی صد ہیں۔

- جنریٹر کی رفتار  $3600/60=60$  ہرٹز ہے یوں مساوات 8.4 کی مدد سے حاصل یک سمتی برقی دباؤ

$$e = \left(\frac{12}{2}\right) \times 2 \times \pi \times 60 \times 20 \times 0.0442 = 1999.82 V$$

ہے۔

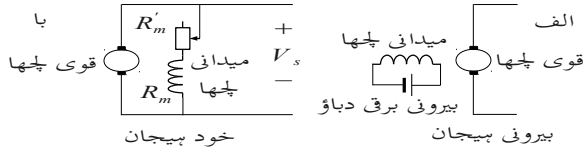
#### 8.4 خارجی ہیجان شدہ اور داخلی ہیجان شدہ یک سمتی جنریٹر

خارجی ہیجان شدہ<sup>351</sup> یک سمتی جنریٹر کے میدانی پلھے کو بیرونی یک

---

351 separately excited

سمتی برق دباؤ مہیا کی جاتی ہے جبکہ داخلی ہیجان شدہ<sup>352</sup> یک سمتی جنریٹر کے میدانی لچھے کو اس جنریٹر کی اپنی پیدا کردہ محرک برق دباؤ ہی مہیا کی جاتی ہے۔ یک سمتی جنریٹر کی کارکردگی اس کو ہیجان کرنے کے طریقے پر منحصر ہے۔



شکل 8.10: بیرونی ہیجان اور خود ہیجان یک سمتی جنریٹر

شکل 8.10 حس الف میں قوی لچھے<sup>353</sup> اور میدانی لچھے<sup>354</sup> کو عمودی بنایا گیا ہے۔ یہ ایک سادہ طریقہ ہے جس سے یہ یاد رہتا ہے کہ ان لچھوں کی پیدا کردہ مقناطیسی دباؤ عمودی ہیں۔ یہاں قوی لچھے کی شکل آلہ تبدیل کی طرح بنائی گئی ہے۔

چونکہ میدانی اور قوی لچھوں کی مقناطیسی دباؤ عمودی ہیں ہم اس سے

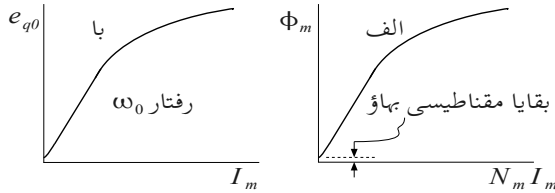
352 self excited

353 armature coil

354 field coil

یہ اخذ کرتے ہیں کہ ایک چلھے کی برقی دباؤ دوسرے چلھے کی برقی دباؤ پر اثر انداز نہیں ہوتی۔ اس کا مطلب ہے کہ مقناطیسی مرکز کی کسی ایک سمت میں سیرابیت اس سمت کی عمودی سمت میں سیرابیت پر اثر انداز نہیں ہوتی۔

شکل میں خارجی ہیجان شدہ مشین کی میدانی چلھے کو بیرونی یک سمتی برقی طاقت مہیا کی گئی ہے۔ یوں میدانی چلھے کی برقی رو تبدیل کر کے اس کی میدانی مقناطیسی دباؤ  $\tau_m$ ، میدانی مقناطیسی بہاؤ  $\Phi_m$  اور کشافت مقناطیسی بہاؤ  $B_m$  تبدیل کی جا سکتی ہے۔ یہ شکل میں دکھایا گیا ہے۔ یوں جنریٹر کی محرک برقی دباؤ مساوات 8.1 کے تحت تبدیل کی جا سکتی ہے یا پھر موٹر کی مروڑ مساوات 8.8 کے تحت تبدیل کی جا سکتی ہے۔



شکل 8.11: میدانی برقی رو سے محرک برقی دباؤ قابو کی جاتی ہے



برقی رو بڑھانے سے مرکز کا سیراب ہونا شکل 8.11 میں واضح ہے۔ یوں برقی رو بڑھاتے ہوئے شروع میں محرک برقی دباؤ اور میدانی چلھے کی برقی رو براہ راست متناسب ہوگی جبکہ زیادہ برقی رو پر ایسا نہیں۔ شکل میں خط با مشین کے کھلے سرے معائنہ سے حاصل کی جا سکتی ہے۔ اس شکل میں محرکی برقی دباؤ کو  $e$  کی بجائے  $e_{q0}$  لکھ کر اس بات کی یاد دہانی کرائی گئی ہے کہ یہ محرکی رو قوی چلھے سے حاصل کی گئی ہے اور یہ ایک معین رفتار  $\omega_0$  پر حاصل کی گئی ہے۔ اگر کسی اور رفتار  $\omega$  پر اس خط سے محرکی برقی دباؤ  $e_q$  حاصل کرنی ہو تو مساوات 8.4 کی مدد سے

$$\frac{e_q}{e_{q0}} = \frac{\left(\frac{n}{2}\right) \omega N A B}{\left(\frac{n}{2}\right) \omega_0 N A B} = \frac{\omega}{\omega_0} \quad (8.9)$$

یعنی

$$e_q = \frac{\omega}{\omega_0} e_{q0} = \frac{rpm}{rpm_0} e_{q0} \quad (8.10)$$

جہاں رفتار کو چکر فی منٹ<sup>355</sup> میں بھی لیا گیا ہے۔ یاد رہے کہ یہ مساوات صرف

355 rounds per minute ( rpm )

اُس صورت میں درست ہے جب مقناطیسی میدان تبدیل نہ ہو۔

مقناطیسی مرکز اگر مقناطیس بنائی جائے تو اس میں بقایا مقناطیسی بہاؤ رہتی ہے۔ یہ شکل کے حصہ الف میں دکھائی گئی ہے۔ یوں اگر میدانی چلھے کو ہیجان نہ بھی کیا جائے تو جنریٹر کچھ محرکی برقی دباؤ پیدا کرے گی<sup>356</sup>۔ یہ بقایا محرکی برقی دباؤ شکل با میں صفر میدانی برقی رو پر دکھائی گئی ہے۔

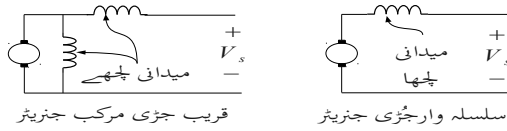
اگر داخلی ہیجان شدہ جنریٹر کو ساکن حال سے چالو کیا جائے تو بقایا محرکی برقی دباؤ پیدا ہوگی۔ اس محرک برقی دباؤ سے میدانی چلھے میں برقی رو رواں ہوگا اور یوں مقناطیسی میدان پیدا ہوگا جس سے مشین ذرا زیادہ ہیجان ہو جائے گا اور یوں اس کی محرکی برقی دباؤ بھی کچھ بڑھ جائے گی۔ اس طرح کرتے کرتے مشین جلد پوری محرک برقی دباؤ پیدا کرنے شروع ہوتا ہے۔ یہ سب اسی اثنا میں ہوتا ہے جب مشین کی رفتار بڑھ رہی ہوتی ہے۔

شکل 8.10 میں داخلی ہیجان شدہ مشین دکھائی گئی ہے جس کے میدانی اور قوی چلھے متوازی جڑے ہیں۔ اس طرح جڑی جنریٹر کو داخلی ہیجان شدہ متوازی جڑی<sup>357</sup> جنریٹر کہتے ہیں۔ اس شکل میں میدانی چلھے کے ساتھ ایک مزاحمت سلسلہ وار جڑی ہے۔ اس مزاحمت کو تبدیل کر کے میدانی برقی رو تبدیل کی جاتی ہے جس سے بالکل خارجی ہیجان شدہ مشین کی طرح جنریٹر کی محرکی برقی دباؤ یا موثر کی مروڑ تبدیل کی جاتی ہے۔

---

356 آپ ٹھیک سوچ رہے ہیں۔ جنریٹر بنانے والے کارخانے میں مرکز کو پہلی بار مقناطیس بنانا پڑتا ہے

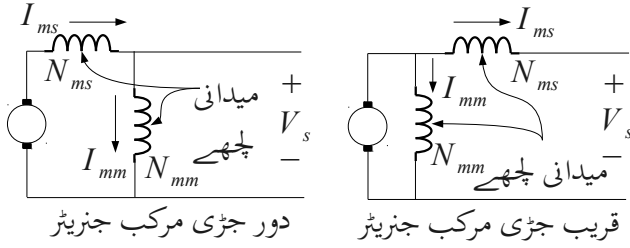
357 parallel connected



شکل 8.12: سلسلہ وار جڑی اور قرب جڑی مرکب جنریٹر

شکل 8.12 میں داخلی ہیجان شدہ جنریٹر کی دو اور قسمیں دکھائی گئی ہیں۔ ایک داخلی ہیجان شدہ سلسلہ وار جڑی جنریٹر اور دوسری داخلی ہیجان شدہ مرکب جنریٹر ہے۔ سلسلہ وار جڑی جنریٹر میں میدانی اور قوی چلھے سلسلہ وار جڑے ہوتے ہیں۔ مرکب جنریٹر میں میدانی چلھے کے دو حصے ہوتے ہیں جن میں ایک قوی چلھے کے متوازی اور دوسرا اس کے سلسلہ وار جڑے ہوتے ہیں۔ مزید یہ کہ متوازی جڑا حصہ قوی چلھے کے قریب ہو سکتا ہے یا پھر یہ سلسلہ وار چلھے کے دوسری جانب یعنی دور جڑا ہو سکتا ہے۔ پہلی صورت میں اسے قریب جڑی مرکب جنریٹر اور دوسری صورت میں دور جڑی مرکب جنریٹر کہیں گے۔ شکل 8.13 میں مرکب جنریٹر کے دونوں اشکال دکھائے گئے ہیں۔

یک سمتی موثر بھی اسی طرح پکارے جاتے ہیں۔ یعنی شکل 8.10 کی طرح جڑی دو موثر کو خارجی ہیجان شدہ موثر اور داخلی ہیجان شدہ متوازی جڑی موثر کہیں گے۔ موثر میں قوی چلھے کی برقی رو کی سمت جنریٹر کے برقی رو کی سمت کے الٹ ہوتی ہے۔



شکل 8.13: مرکب جنریٹر

کسی بھی طرح جڑی یک سمتی جنریٹر کی میدانی مقناطیسی دباؤ اس کے میدانی چھے کے چکر ضرب اس میں برقی رو کے برابر ہوتی ہے یعنی

$$\tau = N_m I_m \quad (8.11)$$

شکل 8.10 میں داخلی ہیجان شدہ متوازی جڑی جنریٹر کی میدانی چھے میب برقی رو اس چھے اور اس کے ساتھ جڑی مزاحمت کے مجموعہ مزاحمت پر منحصر ہوگی یعنی  $R = R_m + R'_m$  یوں داخلی ہیجان شدہ  $I_m = V_s / R$

متوازی جڑی جنریٹر کے لئے اس مساوات کو یوں لکھا جائے گا۔

$$\tau_{m,m} = N_m \left( \frac{V_s}{R_m + R'_m} \right) \quad (8.12)$$

سلسلہ وار جڑی جنریٹر میں میدانی برقی رو جنریٹر کے قوی پلھے کی برقی رو کے برابر ہوتی ہے لہذا اس صورت میں اس مساوات کو یوں لکھا جا سکتا ہے۔

$$\tau_{m,s} = N_m I_q \quad (8.13)$$

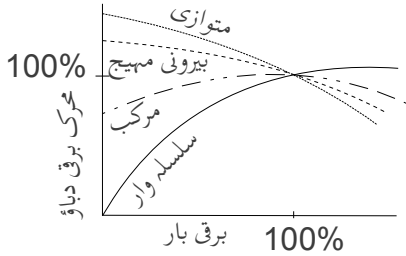
شکل 8.13 میں مرکب جنریٹر میں میدانی مقناطیسی دباؤ کے دو حصے ہیں۔ اس میں  $N_{mm}$  چکر کے متوازی جڑے میدانی پلھے میں  $I_{mm}$  برقی رو اور  $N_{ms}$  چکر کے سلسلہ وار جڑے میدانی پلھے میں  $I_{ms}$  برقی رو ہے لہذا

$$\tau_{m,mk} = N_{ms} I_{ms} + N_{mm} I_{mm} \quad (8.14)$$

## 8.5 یک سمتی آلوں کی کارکردگی کے خط

### 8.5.1 حاصل برقی دباؤ بالمقابل برقی بار

مختلف طریقوں سے جڑے یک سمتی جنریٹروں سے حاصل برقی دباؤ بمقابلہ ان پر لدھے برقی بار کے خط شکل 8.14 میں دکھائے گئے۔ گھومتی رفتار معین تصور کی گئی ہے۔ ڈھڑے پر لاگو بیرونی میکانی طاقت جنریٹر کی مرور کے خلاف اسے گھمائے گی۔



شکل 8.14: یک سمتی جنریٹر کی محرک برقی دباؤ بمقابلہ برقی بار کے خط

ان خط کو سمجھنے کی خاطر پہلے خارجی ہیجان شدہ جنریٹر پر غور

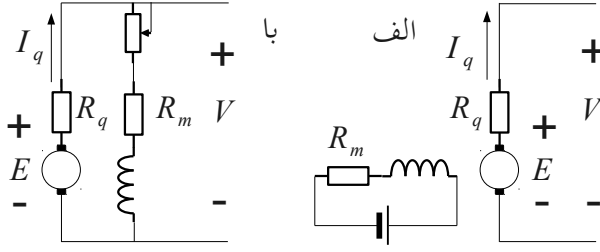
کرتے ہیں جس کی مساوی برقی دور شکل 8.15 حصہ الف میں دی گئی ہے۔  
 خارجی بیجان شدہ جنریٹر پر برقی بار لادن سے اس کے قوی چھڑے کی مزاحمت  
 $R_q$  <sup>358</sup> میں برقی رو  $I_q$  گزرنے سے اس میں برقی دباؤ گھٹتی ہے۔ لہذا جنریٹر  
 سے حاصل برقی دباؤ  $V$  ، جنریٹر کی اندرونی محرک برقی دباؤ  $E_q$  سے قدر  
 کم ہوتی ہے یعنی

$$V = E_q - I_q R_q \quad (8.15)$$

برقی بار یعنی  $I_q$  بڑھانے سے جنریٹر سے حاصل برقی دباؤ کم ہوگی۔ شکل میں  
 خارجی بیجان شدہ جنریٹر کی خط ایسا ہی رجحان ظاہر کرتی ہے۔ حقیقت میں  
 کچھ اور وجوہات بھی کار آمد ہوتے ہیں جن سے یہ خط سیدھی نہیں بلکہ جھکی  
 ہوتی ہے۔

---

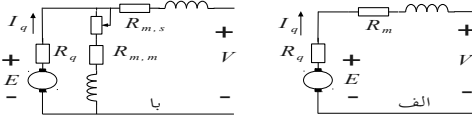
358 علامت  $R_q$  میں چھوٹی لکھائی میں  $q$  لفظ قوی کے پہلی حرف  $q$  کو ظاہر کرتی ہے



شکل 8.15: خارجی ہیجان شدہ اور متوازی جڑی جنریٹر کی مساوی برقی دور

متوازی جڑی جنریٹر کے خط کا یہی رجحان ہے۔ متوازی جڑی جنریٹر پر بھی برقی بار لادنے سے قوی چلھے کی مزاحمت میں برقی دباؤ گھٹتی ہے۔ یوں اس کے میدانی چلھے پر لاگو برقی دباؤ کم ہو جاتی ہے جس سے میدانی چلھے میں برقی رو بھی گھٹتی ہے۔ اس سے محرک برقی دباؤ مزید کم ہوتی ہے۔ اس طرح ان جنریٹر سے حاصل برقی دباؤ بمقابلہ برقی بار کے خط کی ڈھلان بیرونی ہیجان جنریٹر کی خط سے زیادہ ہوتی ہے۔





شکل 8.16: سلسلہ وار اور مرکب جنریٹر کا مساوی برقی دور

شکل 8.16 میں سلسلہ وار اور مرکب جنریٹر کی مساوی برقی داو دکھائے گئے ہیں۔ سلسلہ وار جڑی جنریٹر کے میدانی لچھے میں لدھے بار کی برقی رو ہی گزرتی ہے۔ اس طرح بار بڑھانے سے میدانی مقناطیسی دباؤ بھی بڑھتی ہے جس سے محرک برقی دباؤ بڑھتی ہے۔ اس کا خط یہی دکھا رہا ہے۔ اس طرح جڑی جنریٹر عموماً استعمال نہیں ہوتے چونکہ ان سے حاصل برقی دباؤ، بار کے ساتھ بہت زیادہ تبدیل ہوتی ہے۔

مرکب جڑی جنریٹر کی کارکردگی سلسلہ وار اور متوازی جڑی جنریٹروں کے مابین ہے۔ مرکب جنریٹر میں بار بڑھانے سے قوی لچھے کی وجہ سے حاصل برقی دباؤ میں کمی کو میدانی لچھے کی بڑھتی مقناطیسی دباؤ پورا کرتی ہے۔ یوں مرکب جنریٹر سے حاصل برقی دباؤ اس پر لدھے بار کے ساتھ بہت کم تبدیل ہوتی ہے۔

بیرونی ہیجان، متوازی اور مرکب جڑی جنریٹروں سے حاصل برقی دباؤ کو متوازی جڑی لچھے میں برقی رو کی مدد سے وسیع حد تک تبدیل کیا جا سکتا ہے۔

قوی لچھا چونکہ برقی بار کو درکار برقی رو فراہم کرتی ہے لہذا یہ موٹی موصل تار کی بنی ہوئی ہے اور اس کے عموماً کم چکر ہوتے ہیں۔ سلسلہ وار جنریٹر کے میدانی لچھے سے چونکہ مشین کا پوری برقی رو ہی گزرتا ہے لہذا یہ بھی موٹی موصل تار کی بنی ہوئی ہے۔ باقی آلوں میں میدانی لچھے میں پورے برقی بار کے چند ہی فی صد برقی رو گزرتی ہے لہذا یہ باریک موصل تار کی بنائی جاتی ہے اور اس کے عموماً زیادہ چکر ہوتے ہیں۔

### 8.5.2 رفتار بالمقابل مروڑ

یہاں بھی شکل 8.15 اور 8.16 سے رجوع کریں البتہ شکل میں برقی رو کی سمتیں الٹ کر دیں۔ یک سمتی موٹر بھی جنریٹروں کی طرح مختلف طریقوں سے جڑے جاتے ہیں۔ موٹر کو معین بیرونی برقی دباؤ دی جاتی ہے جہاں سے یہ برقی رو حاصل کرتی ہے۔ برقی رو باہر سے قوی لچھے کی جانب چلتی ہے لہذا موٹر کے لئے لکھا جائے گا

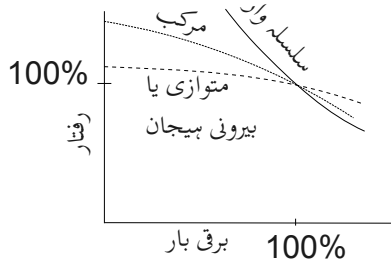
$$\begin{aligned} V &= E_q + I_q R_q \\ I_q &= \frac{V - E_q}{R_q} \end{aligned} \quad (8.16)$$

بیرونی بیجان اور متوازی جڑی موٹروں میں میدانی لچھے کو برقرار معین بیرونی برقی دباؤ فراہم کی جاتی ہے لہذا میدانی مقناطیسی بہاؤ پر میکانی بار کا کوئی اثر نہیں۔ بڑھتی میکانی بار اٹھانے کی خاطر مساوات 8.8 کے تحت قوی لچھے کی

مقناطیسی بہاؤ بڑھنی ہوگی۔ یہ تب ممکن ہوگا کہ اس میں برقی رو بڑھے۔ مساوات 8.16 سے ہم دیکھتے ہیں کہ قوی لچھے کی محرکی برقی دباؤ  $E_q$  گھٹنے سے ہی ایسا ممکن ہے۔  $E_q$  موٹر کی رفتار پر منحصر ہے لہذا موٹر کی رفتار کم ہو جائے گی۔ یوں میکانی بار بڑھانے سے موٹر کی رفتار کم ہوتی ہے۔ شکل 8.17 میں یہ دکھایا گیا ہے۔

متوازی جڑی یا بیرونی ہیجان موٹر تقریباً معین رفتار ہی برقرار رکھتی ہے۔ اس کی رفتار بے بار حالت سے پوری طرح بار بردار حالت تک تقریباً صرف پانچ فی صد گھٹتی ہے۔ ان موٹروں کی رفتار نہایت آسانی سے میدانی لچھے کی برقی رو تبدیل کر کے تبدیل کی جاتی ہے۔ ایسا میدانی لچھے کے ساتھ سلسلہ وار جڑی مزاحمت کی تبدیلی سے کیا جاتا ہے۔ ان کی رفتار یوں وسیع حدود کے مابین تبدیل کرنا ممکن ہوتا ہے۔ موٹر پر لاگو بیرونی برقی دباؤ تبدیل کر کے بھی رفتار قابو کی جا سکتی ہے۔ ایسا عموماً قوی الیکٹرانکس کی مدد سے کیا جاتا ہے۔

ان موٹر کی ساکن حال سے چالو کرتے لمحہ کی مروڑ اور ان کی زیادہ سے زیادہ مروڑ قوی لچھے تک برقی رو پہنچانے کی صلاحیت پر منحصر ہے یعنی یہ آلہ تبدیل پر منحصر ہے۔



شکل 8.17: یک سمتی موثر کی میکانی بار بمقابلہ رفتار کے خط

سلسلہ وار جڑی موثر پر لدی میکانی بار بڑھانے سے اس کے قوی اور میدانی پلچھوں میں برقی رو بڑھے گی۔ میدانی مقناطیسی بہاؤ بڑھے گی اور مساوات 8.16 کے تحت  $E_q$  کم ہوگی جو موثر کی رفتار کم ہونے سے ہوتی ہے۔ بار بڑھانے سے ان موثر کی رفتار کافی زیادہ کم ہوتی ہے۔ ایسے موثر ان جگہوں بہتر ثابت ہوتے ہیں جہاں زیادہ مروڑ درکار ہو۔ بڑھتی مروڑ کے ساتھ ان کی رفتار کم ہونے سے ان کو درکار برقی طاقت مروڑ کے ساتھ زیادہ تبدیل نہیں ہوت

یہاں اس بات کا ذکر ضروری ہے کہ بے بار سلسلہ وار جڑی موثر کی رفتار خطرناک حد تک بڑھ سکتی ہے۔ ایسے موثر کو استعمال کرتے وقت اس بات کا خاص خیال رکھنا ضروری ہے کہ موثر ہر لمحہ بار بردار رہے۔

ساکن حالت سے موثر چالو کرتے وقت  $I_q$  یعنی مقناطیسی بہاؤ زیادہ ہونے کہ وجہ سے ان کی مروڑ خاصی زیادہ ہوتی ہے۔ یہ ایک اچھی خوبی ہے جس سے ساکن بار بردار موثر کو چالو کرنا آسان ہوتا ہے۔

مرکب موٹروں میں ان دو قسموں کی موٹروں کے خصوصیات پائے جاتے ہیں۔ جہاں بار بردار موثر چالو کرنا ضروری ہو لیکن رفتار میں سلسلہ وار موثر جتنی تبدیلی منظور نہ ہو وہاں مرکب موثر کارآمد ثابت ہوتے ہیں۔

مثال 8.2:

ایک 75 کلو واٹ 415 وولٹ اور 1200 چکر فی منٹ کی رفتار سے چلنے والے متوازی جڑی یک سمتی موٹر کے قوی لچھے کی مزاحمت 0.072 اوہم اور اس کی میدانی لچھے کی مزاحمت 83.2 اوہم ہے۔ موٹر جس بار سے لدا ہے اس پر موٹر 1123 چکر فی منٹ کی رفتار سے چلتے ہوئے 112 ایمپیئر لے رہی ہے۔

- میدانی برقی رو اور قوی لچھے کی برقی رو حاصل کریں۔
- موٹر کی اندرونی پیدا کردہ برقی دباؤ حاصل کریں۔
- اگر میدانی لچھے کی مزاحمت 100.2 اوہم کردی جائے مگر قوی لچھے کی برقی رو تبدیل نہ ہو تو موٹر کی رفتار حاصل کریں۔ مرکز کی سیرابیت کو نظر انداز کریں۔

حل:

- شکل 8.18 سے رجوع کریں۔ 415 وولٹ پر میدانی لچھے کی برقی رو

$$I_m = \frac{V}{R_m + R'_m} = \frac{415}{83.2} = 4.988 A$$

ہوگی۔ یوں قوی لچھے کی برقی رو

$$I_q = I_b - I_m = 112 - 4.988 = 107.012 A$$

ہے۔

- یوں یک سمتی موٹر کی اندرونی پیدا کردہ برقی دباؤ

$$E_q = V - I_q R_q = 415 - 107.012 \times 0.072 = 407.295 V$$

ہے۔

- اگر میدانی لچھے کی مزاحمت 100.2 اوہم کر دی جائے تب

$$I_m = \frac{V}{R_m + R'_m} = \frac{415}{100.2} = 4.1417 A$$

ہوگی۔

- اگر قوی لچھے کی برقی رو 107.012 ایمپیئر بھی رکھی جائے تب

$$E_q = V - I_q R_q = 415 - 107.012 \times 0.072 = 407.295 V$$

بھی رہے گی۔

- مساوات 8.4 کی مدد سے چونکہ اندرونی پیدا کردہ برقی دباؤ تبدیل نہیں ہوئی

مگر مقناطیسی بہاؤ تبدیل ہوا ہے لہذا موٹر کی رفتار تبدیل ہوگی۔ ان دو مقناطیسی بہاؤ اور رفتاروں پر اس مساوات کی نسبت

$$\frac{E_{q1}}{E_{q2}} = \frac{\left(\frac{n}{2}\right) \omega_1 N \Phi_{m1}}{\left(\frac{n}{2}\right) \omega_2 N \Phi_{m2}}$$

میں چونکہ  $E_{q1} = E_{q2}$  لہذا

$$\omega_1 \Phi_{m1} = \omega_2 \Phi_{m2}$$

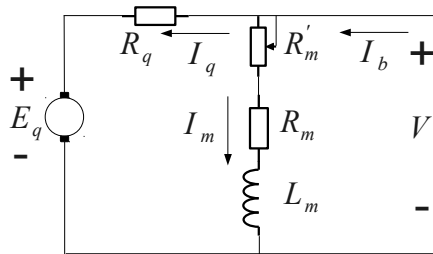
مرکزی سیرابیت کو نظر انداز کرتے ہوئے چونکہ مقناطیسی بہاؤ میدانی دباؤ پر منحصر ہے جواز خود میدانی برقی رو پر منحصر ہے۔ لہذا اس آخری مساوات کو یوں لکھ سکتے ہیں۔

$$\frac{\omega_1}{\omega_2} = \frac{rpm_1}{rpm_2} = \frac{\Phi_{m2}}{\Phi_{m1}} = \frac{I_{m2}}{I_{m1}}$$

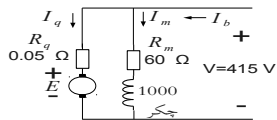
جس سے نئی رفتار

$$rpm_2 = \left(\frac{I_{m1}}{I_{m2}}\right) \times rpm_1 = \left(\frac{4.988}{4.1417}\right) \times 1123 = 1352.47$$

چکر فی منٹ حاصل ہوتی ہے۔ اس مثال میں ہم دیکھتے ہیں کہ میدانی برقی رو کم کرنے سے موٹر کی رفتار بڑھتی ہے۔



شکل 8.18: یک سمیتی موثر کی مثال



شکل 8.19: متوازی جُڑی موثر کی مثال



مثال 8.3:

ایک 60 کلو واٹ، 415 وولٹ، 1000 چکر فی منٹ متوازی جڑی یک سمتی موٹر کی قوی لچھے کی مزاحمت 0.05 اوہم اور میدان لچھے کی 60 اوہم ہے۔ بے بار موٹر کی رفتار 1000 چکر فی منٹ ہے۔ میدان لچھا 1000 چکر کا ہے۔

(1) جب یہ موٹر  $I = 70$  ایمپیئر لے رہی ہو اس وقت اس کی رفتار معلوم کریں۔

(2) 140 ایمپیئر پر اس کی رفتار معلوم کریں

(3) 210 ایمپیئر پر اس کی رفتار معلوم کریں

(4) اس موٹر کی رفتار بالمقابل مروڑ گراف کریں

حل پہلا جُز: شکل 8.19 میں یہ موٹر دکھائی گئی ہے۔ متوازی میدان لچھے کی برقی رو پر بار لادن سے کوئی فرق نہیں پڑتا۔ لہذا میدان مقناطیسی بہاؤ بے بار اور بار بردار موٹر میں یکساں ہے۔ بے بار یک سمتی موٹر کی قوی لچھے کی برقی رو  $I_q$  قابل نظر انداز ہوتی ہے۔ اس طرح مساوات 8.16 اور 8.10 سے

$$E_q = V - I_q R_q = 415 - 0 R_q = 415 V$$

$$I_m = \frac{V}{R_m} = \frac{415}{60} = 6.916 A \quad (8.17)$$

یعنی 415 وولٹ محرکی برقی دباؤ پر رفتار 1000 چکر فی منٹ یا 16.66 چکر فی سیکنڈ (ہرٹز) ہے۔ 70 ایمپیئر برقی بار پر بھی  $I_m = 6.916 A$  ہی ہے جبکہ

$$I_q = I_b - I_m = 70 - 6.916 = 63.086 A \quad (8.18)$$

لہذا مساوات 8.16 سے اس صورت میں

$$E_q = V - I_q R_q = 415 - 63.086 \times 0.05 = 411.8458 V \quad (8.19)$$

اور مساوات 8.10 سے رفتار (چکر فی منٹ) یوں حاصل ہوتا ہے

$$rpm = \frac{e_q}{e_{q0}} rpm_0 = \frac{411.8458}{415} (1000) = 991.95 \quad (8.20)$$

حل دوسرا جُز: یہی کچھ دوبارہ کرتے ہیں۔ یہاں  $I_b = 140 A$  ہے

$$\begin{aligned}
I_q &= I_b - I_m = 140 - 6.916 = 133.084 \text{ A} \\
E_q &= 415 - 133.084 \times 0.05 = 408.3458 \text{ V} \\
rpm &= \frac{408.3458}{415} \times 1000 = 983.96
\end{aligned} \tag{8.21}$$

حل تیسرا جُز: یہاں  $I_b = 210 \text{ A}$  ہے

$$\begin{aligned}
I_q &= I_b - I_m = 210 - 6.916 = 203.084 \text{ A} \\
E_q &= 415 - 203.084 \times 0.05 = 404.8458 \text{ V} \\
rpm &= \frac{404.8458}{415} \times 1000 = 975.83
\end{aligned} \tag{8.22}$$

حل چوتھا جُز: موٹر میں طاقت کے ضیاع کو نظر انداز کرتے ہیں۔ یوں اس کی میکانی طاقت اسے فراہم کی گئی برقی طاقت کے برابر ہوگی یعنی

$$e_q I_q = \tau \omega \tag{8.23}$$

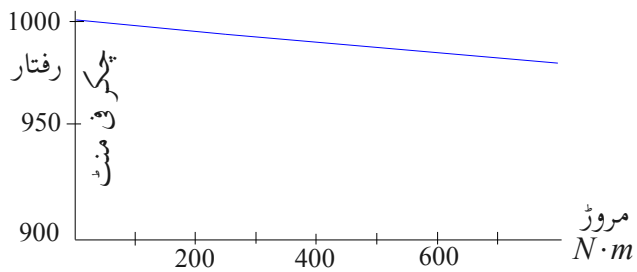
یوں پچھلے جز سے حاصل جوابات کی مدد سے بے بار موٹر کی مروڑ صفر ہو گی یعنی  $\tau_0 = 0 \text{ N}\cdot\text{m}$  جبکہ 70 ایمپیئر پر مروڑ کی قیمت

$$\tau_{70} = \frac{e_q I_q}{\omega} = \frac{411.8458 \times 63.086}{2\pi \times 16.5325} = 250.088 \text{ N} \cdot \text{m} \quad (8.24)$$

بہوگی۔ یہاں 991.95 چکر فی منٹ کی رفتار کو 16.5325 ہرٹز لکھا گیا ہے۔  
اسی طرح

$$\begin{aligned} \tau_{140} &= \frac{e_q I_q}{\omega} = \frac{408.3458 \times 133.084}{2 \times \pi \times 16.399} = 527.35 \text{ N} \cdot \text{m} \\ \tau_{210} &= \frac{e_q I_q}{\omega} = \frac{404.8458 \times 203.084}{2 \times \pi \times 16.26} = 804.65 \text{ N} \cdot \text{m} \end{aligned} \quad (8.25)$$

یہ نتائج شکل 8.20 میں گراف کئے گئے ہیں۔



شکل 8.20: رفتار بالمقابل مروڑ

## index

AC.....	306
AC generator.....	306
AC machines.....	273
AC voltage.....	315
air-core transformer.....	120
alternating current.....	306
aluminium.....	438
ampere per meter.....	69
ampere-turn.....	67
armature coil.....	257, 471
axial length.....	309
Cartesian co-ordinate system.....	12
Celsius.....	226
Centigrade.....	226
circuit breaker.....	338
co-ordinates.....	12
coercivity.....	93
communication circuits.....	120
commutator.....	315, 454

complex conjugate numbers.....	431
complex number.....	364, 427
conductivity.....	54
conservative field.....	215
copper.....	60, 438
core.....	410
core loss.....	124, 130
core loss component.....	129
cosine law.....	323
crest.....	397
cross product.....	34
cross section.....	25
cross sectional area.....	25
CT .....	120
current density.....	59
current transformation.....	134
current transformer .....	120
cylindrical co-ordinate system.....	15
DC.....	454
DC generator.....	315
DC voltage.....	315
delta.....	315

delta connected.....	185
design.....	173
differentiation.....	42, 222
diode.....	454
direct current.....	454
distributed windin.....	270
dot product.....	34
earth.....	187
eddy current loss.....	124
eddy currents.....	124, 246
effective value.....	44
efficiency.....	379
electric current density.....	57
electric field.....	27, 59
electric field intensity.....	27p., 57, 59
electromagnets.....	255
electromotive force.....	124, 266, 313
emf.....	124, 266
enamel.....	124
energy.....	89
equivalent circuit.....	349
Euler's equation.....	48



excitation current.....	121, 123p.
excitation voltage.....	123
excited coil.....	123
Faraday's law.....	245
ferromagnetic core.....	112
field coil.....	257, 471
field intensity.....	69
Fleming's right hand rule.....	71
flux linkage.....	80
force.....	201
Fourier series.....	48, 128, 273, 410
frequency.....	254
full load.....	371
function.....	211
fundamental component.....	128
furnaces.....	226
ground.....	187
ground wire.....	187
harmonic components.....	129
Henry.....	80
Henry per meter.....	64
Hertz.....	254

high voltage coil.....	113
hunting.....	338
hysteresis loop.....	94
hysterisys.....	108
ideal transformer.....	131
impedance transformation.....	142
in-phase.....	142
induced voltage.....	79, 102, 123
induction motor.....	339
integral.....	217
integration.....	214
International System Of Units.....	10
Joule.....	89
Kirchoff's voltage law.....	409
lagging.....	51, 162, 355
laminations.....	65, 124, 246
leading.....	51, 355
leakage magnetic flux.....	159
leakage reactance.....	159, 408
line current.....	195, 339
line integral.....	43
line voltage.....	188

loaded transformer.....	140
log.....	94
Lorenz equation.....	202, 210
lost synchronism.....	338
low voltage coil.....	113
low voltage side.....	113
magnetic circuit.....	54
magnetic core.....	65, 245
magnetic field.....	27
magnetic field intensity.....	29, 65
magnetic flux.....	62
magnetic flux density.....	65
magnetizing current.....	129
magneto-motive force.....	62
mass.....	10
Maximum power transfer theorem.....	431
Michael Faraday.....	79
mmf.....	62
mutual flux linkage.....	87
mutual inductance.....	79, 87
name plate.....	194
neutral.....	187

non-salient poles.....	270
North pole.....	248
Ohm meter.....	447
Ohm' law.....	57
open circuit test.....	172
open circuited.....	410
orthnormal vectors.....	12
parallel connected.....	474
partial differentiation.....	42
permeability.....	80, 330
phase current.....	188
phase voltage.....	188, 195, 339
phasor.....	48, 352
potential difference.....	265
potential transformer.....	119
power.....	89
power electronics.....	389, 454
power factor.....	355
power factor angle.....	355
primary coil.....	113
primary side.....	113
prime mover.....	371

PT.....	119
pull-out torque.....	338
radians.....	247
radius .....	272
rating.....	120, 194
relative angular speed.....	398
relative permeability.....	56
relay.....	201
reluctance.....	63
residual magnetic flux density.....	93
resistance.....	54
right hand rule.....	202
right handed cartesian co-ordinate system.....	13
rms.....	44
root mean square .....	44
rotor coil.....	206
rpm.....	247
salient poles.....	270
saturation.....	95
scalar.....	10, 174
secondary coil.....	113
secondary side.....	113

self excited.....	471
self flux linkage.....	87
self inductance.....	79, 87
separately excited.....	470
series connection.....	256
shaft.....	309, 325, 334
short circuit.....	80
short circuit test.....	177
SI.....	10
single phase winding.....	287
slip.....	391
slip rings.....	334, 433
South pole.....	249
spiral coil.....	83
star.....	315
star connected.....	185, 195
stator coil.....	206
steady state.....	199
steady state operation.....	337
step down transformer.....	119
step up transformer.....	118
surface density.....	30

surface integral.....	45, 342
synchronous machines.....	246
synchronous speed.....	299, 333
Thevenin equivalent circuit.....	425
three dimensional.....	12
three phase winding.....	290
three-phase.....	315
torque.....	201, 317, 393
unit perpendicular vectors.....	12
unloaded transformer.....	120
vector.....	11
velocity.....	202
volt.....	265
volt-ampere.....	153
voltage.....	60, 265
voltage transformation.....	133
voltage transformation property.....	114
volume density.....	32
Watt.....	89
wavelength.....	43
weber-turn.....	80
winding factor.....	283

Y-connected..... 195

## فرہنگ

355 ,51.....	اَگے
366.....	اَگے زاویہ
454 ,315.....	آلہ تبدیل
113.....	ابتدائی جانب
113.....	ابتدائی لچھا
270.....	اُبھرے قطب
79.....	اِرْتِبَاطِ بہاؤ
371.....	اصل محرک
80.....	امالہ
226.....	امالی برقی بھٹیاں
123 ,102 ,79.....	امالی برقی دباؤ
339.....	امالی موثر
338.....	انتہائی مروڑ
194.....	اہلیت
30.....	اوسط سطحی کثافت
57.....	اُوبم کا قانون
447.....	اوبم میٹر
287.....	ایک دور کی لپٹی
69.....	ایمپیئر فی میٹر



ایمپیئر-چکر.....	67
ایمپیئر-چکر فی ویپر.....	68, 56
بار بردار ٹرانسفارمر.....	140
بدلتی رو.....	306
بدلتی رو والا برقی جنریٹر.....	306
بدلتی رو والے مشین.....	273
برقرار حال.....	199
برقی اہلیت.....	120
برقی دباؤ.....	265, 60
برقی رو.....	60
برقی مقناطیس.....	255
برقی میدان.....	59, 28
برقی میدان کی شدت.....	59, 57, 28
بقایا کثافتِ مقناطیسی بہاؤ.....	93
بناوٹ.....	173
بنیادی اکائیاں.....	10
بنیادی جُز.....	128
بہنور نما برقی رو.....	246, 124
بہنور نما برقی رو کا ضیاع.....	124
بین الاقوامی نظامِ اکائی.....	10
بے بار ٹرانسفارمر.....	120
پتری.....	246

124.....	پتریاں
270.....	پھیلے لچھے
371.....	پورے برقی بار
225 ,83.....	پیچدار لچھا
355 ,162 ,51.....	پیچھے
366.....	پیچھے زاویہ
195.....	تار
374.....	تار برقی دباؤ
188.....	تار کی برقی دباؤ
188.....	تار کی برقی رو
60.....	تانبہ
133 ,130 ,114.....	تبادلہ برقی دباؤ
134 ,130.....	تبادلہ برقی رو
146.....	تبادلہ مقاومت
194.....	تختی
222.....	تدریجی فرق
338.....	تعقب
42.....	تفرق
214.....	تکمل
185.....	تکوئی جوڑ
425.....	تھونن دور
221 ,89 ,79.....	توانائی

315.....	تین دور
290.....	تین دور کی لپٹی
12.....	تین طرفہ
113.....	ثانوی جانب
113.....	ثانوی چھا
226.....	ٹلسٹس
.....	ٹرانسفارمر
118.....	برقی دباؤ بڑھانے والا
119.....	برقی دباؤ گھٹانے والا
187.....	ٹھنڈی تار
69.....	ٹیسلم
89.....	جاؤل
283.....	جُز و ضربی پھیلاؤ
42.....	جُزوی تفرق
249.....	جنوبی قطب
431.....	جوڑی دار مخلوط اعداد
338.....	چالو
32.....	حجمی کثافت
43.....	خطی تکمل
120.....	خلائی مرکز
120.....	خلائی مرکز کے ٹرانسفارمر
87.....	خود ارتباطِ بہاؤ

87 ,79.....	خود امالہ
71.....	دائیں ہاتھ کا قانون
13.....	دائیں ہاتھ کا نظام
202.....	دائیں ہاتھ کے قانون
119.....	دباؤ کے ٹرانسفارمر
334.....	دُھرے
338.....	دور شکن
390 ,339 ,195.....	دوری برقی دباؤ
188.....	دوری برقی دباؤ
188.....	دوری برقی رو
352 ,48.....	دوری سمتیہ
199.....	دوری عرصہ
120.....	ذرائع ابلاغ کے دور
454.....	ڈایوڈ
272.....	رداس
159.....	رستا مقناطیسی بہاؤ
159.....	رستا متعاملہ
408.....	رستا متعاملیت
24.....	رقبہ عمودی تراش
25.....	رقبہ عمودی تراش
120.....	رو کے ٹرانسفارمر
124.....	روغن

187.....	زمین
188.....	زمینی برقی رو
187.....	زمینی تار
113.....	زیادہ برقی دباؤ کا چلھا
114.....	زیادہ برقی دباؤ والی جانب
248 ,206.....	ساکن چلھا
195.....	ستارا نما
390 ,339.....	ستارا نما جڑے
185.....	ستارا نما جوڑ
391.....	سرک
433 ,334.....	سرک چھلے
342 ,45.....	سطحی تکمل
30.....	سطحی کثافت
279.....	سلسلہ وار
11.....	سمتیہ
95.....	سیرابیت
10.....	سیکنڈ
248.....	شمالی قطب
34.....	ضربِ صلیبی
34.....	ضربِ نقطہ
89.....	طاقت
358.....	طاقت بالمقابل زاویہ

355.....	طاقت کا جُز و ضربی
355.....	طاقت کے جُز و ضربی کا زاویہ
43.....	طولِ موج
12.....	عمودی اکائی سمتیہ
25.....	عمودی تراش
338.....	غیر معاصر
273 , 128 , 48.....	فوریر تسلسل
245.....	فیراڈے
79.....	قانونِ فیراڈے
215.....	قدامت پسند میدان
201.....	قوت
454 , 389.....	قوی الیکٹرانکس
257.....	قوی چلھا
471.....	قوی چلھے
12.....	کارتیسی محدد کا نظام
59 , 57.....	کثافتِ برقی رو
65.....	کثافتِ مقناطیسی بہاؤ
80.....	کسرِ دور
177.....	کسرِ دور معائنہ
10.....	کلوگرام
113.....	کم برقی دباؤ کا چلھا
113.....	کم برقی دباؤ والی جانب

10.....	کمیت
410.....	کھلا برقی دور
172.....	کھلے دور معائنہ
221.....	کو-توانائی
27.....	کولمب کا قانون
187.....	گرم تار
206.....	گھومتا چلھا
390 ,339.....	لائن
94.....	لاگی
206.....	لچھا
261.....	لچھے کی سمت
202.....	لورینز
119.....	لوہے کے مرکز والے تین دور کے قوی ٹرانسفارمر
131.....	مثالی ٹرانسفارمر
12.....	محدد
313 ,306 ,266 ,123.....	محرك برقی دباؤ
309.....	محوری لمبائی
364.....	مخلوط عدد
102 ,44.....	مربع کی اوسط کا جزر
408 ,248 ,246 ,112.....	مرکز
130 ,124.....	مرکزی ضیاع
129.....	مرکزی ضیاع کا جُز

393, 317, 201.....	مرور
54.....	مزاحمت
.....	مسئلہ
431.....	زیادہ سے زیادہ طاقت منتقل
87.....	مشترکہ ارتباطِ بہاؤ
87, 79.....	مشترکہ امالہ
.....	معاصر
246.....	آلات
255.....	ایک دور چار قطب
248.....	ایک دور دو قطب
261.....	تین دور دو قطب
333, 299.....	رفتار
299.....	میکانی رفتار
142.....	مقاومت کا تبادلہ
10.....	مقداری
129.....	مقناطیس بنانے والا برقی رو
108.....	مقناطیسی چال
94.....	مقناطیسی چال کا دائرہ
62.....	مقناطیسی دباؤ
273.....	مقناطیسی دباؤ کی سمت
62.....	مقناطیسی دور
65.....	مقناطیسی مرکز



65 ,29.....	مقناطیسی میدان کی شدت.....
93.....	مقناطیسیت ختم کرنے والی شدت.....
314 ,44.....	موثر قیمت.....
129.....	موسیقائی جُز.....
54.....	موصلیت.....
10.....	میٹر.....
59.....	میدانی شدت.....
257.....	میدانی لچھا.....
471.....	میدانی لچھے.....
56.....	نسبتِ نفوذ پذیری.....
330 ,80 ,55.....	نفوذ پذیری.....
15.....	نلکی محدود کا نظام.....
63 ,55.....	ہیچکچاہٹ.....
142.....	ہم دور.....
270.....	ہموار قطب.....
124.....	ہیجان انگیز برقی رو.....
123.....	ہیجان انگیز برقی دباؤ.....
123 ,121 ,107.....	ہیجان انگیز برقی رو.....
123.....	ہیجان پیدا کرنے.....
123.....	ہیجان شدہ لچھا.....
80.....	ہینری.....
64.....	ہینری فی میٹر.....

89.....	واٹ
10.....	وقت
265.....	وولٹ
28.....	وولٹ فی میٹر
153.....	وولٹ-ایمپیئر
68.....	ویبر
69.....	ویبر فی مربہ میٹر
80.....	ویبر-چکر
.....	یک سمتی آلات
470.....	خارجی ہیجان شدہ
471.....	داخلی ہیجان شدہ
475.....	داخلی ہیجان شدہ سلسلہ وار جڑی
474.....	داخلی ہیجان شدہ متوازی جڑی
475.....	داخلی ہیجان شدہ مرکب
475.....	دور جڑی مرکب
475.....	قریب جڑی مرکب
48.....	یولر مساوات